



This is a digital copy of a book that was preserved for generations on library shelves before it was carefully scanned by Google as part of a project to make the world's books discoverable online.

It has survived long enough for the copyright to expire and the book to enter the public domain. A public domain book is one that was never subject to copyright or whose legal copyright term has expired. Whether a book is in the public domain may vary country to country. Public domain books are our gateways to the past, representing a wealth of history, culture and knowledge that's often difficult to discover.

Marks, notations and other marginalia present in the original volume will appear in this file - a reminder of this book's long journey from the publisher to a library and finally to you.

### Usage guidelines

Google is proud to partner with libraries to digitize public domain materials and make them widely accessible. Public domain books belong to the public and we are merely their custodians. Nevertheless, this work is expensive, so in order to keep providing this resource, we have taken steps to prevent abuse by commercial parties, including placing technical restrictions on automated querying.

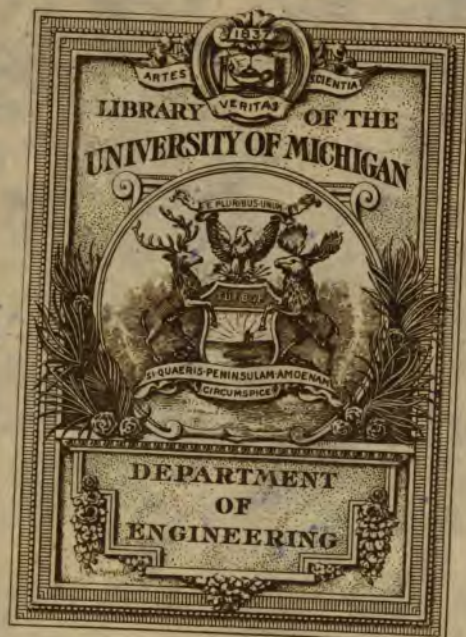
We also ask that you:

- + *Make non-commercial use of the files* We designed Google Book Search for use by individuals, and we request that you use these files for personal, non-commercial purposes.
- + *Refrain from automated querying* Do not send automated queries of any sort to Google's system: If you are conducting research on machine translation, optical character recognition or other areas where access to a large amount of text is helpful, please contact us. We encourage the use of public domain materials for these purposes and may be able to help.
- + *Maintain attribution* The Google "watermark" you see on each file is essential for informing people about this project and helping them find additional materials through Google Book Search. Please do not remove it.
- + *Keep it legal* Whatever your use, remember that you are responsible for ensuring that what you are doing is legal. Do not assume that just because we believe a book is in the public domain for users in the United States, that the work is also in the public domain for users in other countries. Whether a book is still in copyright varies from country to country, and we can't offer guidance on whether any specific use of any specific book is allowed. Please do not assume that a book's appearance in Google Book Search means it can be used in any manner anywhere in the world. Copyright infringement liability can be quite severe.

### About Google Book Search

Google's mission is to organize the world's information and to make it universally accessible and useful. Google Book Search helps readers discover the world's books while helping authors and publishers reach new audiences. You can search through the full text of this book on the web at <http://books.google.com/>

**B** 480831







QA  
501  
.S94

QA  
501  
.S94



**ELEMENTE**  
DER  
**DARSTELLENDE GEOMETRIE**

VON



**DR. RUDOLF STURM,**  
ORD. PROFESSOR AN DER UNIVERSITÄT ZU Breslau.

---

ZWEITE UMGEARBEITETE UND ERWEITERTE AUFLAGE.

---

MIT 61 FIGUREN IM TEXTE UND 7 LITHOGRAPHIRTEN TAFELN.



LEIPZIG,  
DRUCK UND VERLAG VON B. G. TEUBNER.  
1900.



**ALLE RECHTE,  
EINSCHLIESSLICH DES ÜBERSETZUNGSRECHTS, VORBEHALTEN.**

## Vorrede zur zweiten Auflage.

Durch die am 1. April v. J. in Kraft getretene neue Prüfungsordnung für die Candidaten des höheren Lehramts in Preussen wird für die Mathematiker auch die darstellende Geometrie eingeführt, freilich in einer besonderen Lehrbefähigung: Angewandte Mathematik, welche aufer ihr noch die technische Mechanik und die Geodäsie umfasst. Mehrere meiner Fachgenossen an Universitäten, mit denen ich darüber correspondirt habe, theilen mit mir die Ansicht, dass man damit der Bedeutung der darstellenden Geometrie nicht gerecht worden ist: sie ist nicht blos angewandte Mathematik. Von der Begründung dieses Zweiges der Geometrie als besonderer wissenschaftlichen Disciplin durch Monge vor etwa 100 Jahren datirt der gewaltige Aufschwung der modernen Geometrie; diese ist ganz erfüllt und beeinflusst von Vorstellungen, welche aus der darstellenden Geometrie erwachsen sind und gewissermassen das Lebelement der heutigen Geometrie bilden; es genügt, die Begriffe: projective Eigenschaften, projective Geometrie, geometrische Verwandtschaften zu nennen. Dazu kommt, dass, wer mit darstellender Geometrie sich beschäftigt, eine wesentliche Kräftigung seiner Fähigkeit, im Raume denkend sich zu bewegen, erfährt. So sollte denn für jeden Studirenden der Mathematik, der ein ordentlicher Geometer werden will, für jeden künftigen Lehrer, welcher später guten Unterricht in der Stereometrie geben und in dieser doch wesentlich geometrischen Disciplin nicht ihren rechnerischen Theil zur Hauptsache werden lassen will, die darstellende Geometrie ein unerlässlicher und grundlegender Theil seines geometrischen Studiums sein. Leider haben bis vor nicht langer Zeit die Universitäten gerade diesen Zweig der Geometrie vernachlässigt; wir alle aber, die in den letzten Jahren etwas für seine Einführung gethan, hätten es lieber gesehen, wenn er der bisherigen Lehrbefähigung für (reine) Mathematik eingefügt worden wäre. Das wäre ein wirklicher Fortschritt gewesen; während über die Wirksamkeit der neuen Lehrbefähigung, über welche noch ziemliche Unklarheit herrscht, vielfach Zweifel gehegt werden. (Vergl. den Jahresbericht der deutschen Mathematiker-Vereinigung Bd. VIII S. 127.) Es wird,

nebenbei bemerkt, für längere Zeit noch Schwierigkeiten machen, Examinatoren zu finden, die alle drei in ihr vereinigten Fächer beherrschen.

Wie dem aber auch sei, den Studirenden der Mathematik ist jetzt empfohlen worden, sich mit der darstellenden Geometrie zu beschäftigen; der Umstand, dass die erste Auflage meiner Elemente der darstellenden Geometrie, welche infolge meiner damaligen Stellung an der technischen Hochschule in Darmstadt in erster Linie bestimmt waren für die Studirenden der Technik, zu Ende geht, hat mich in die Lage gesetzt, zu geeigneter Zeit dieselben in neuer umgearbeiteter Auflage als Lehrbuch erscheinen zu lassen, welches nunmehr vorzugsweise den Universitäts-Studirenden dienen soll; für ihr weiteres geometrisches Studium werden die in der darstellenden Geometrie auftretenden Verwandtschaften (Affinität, Homologie) in ihm eingehend behandelt, wird auf allgemein-projective und speciell-projective Eigenschaften aufmerksam gemacht, wird die perspective Ansicht vom Parallelismus und das Princip der Dualität eingeführt, werden Betrachtungen über die Mannigfaltigkeit der Elemente des Raumes vorgenommen.

Ich hoffe aber, dass das Buch auch noch für künftige Techniker Werth haben wird; das zeichnerische Moment ist nicht vernachlässigt, wie aus den vielfachen Bemerkungen über Controlen und über Überwindung von Schwierigkeiten, die durch den beschränkten Raum des Zeichenblattes entstehen, entnommen werden mag.

Einige Veränderungen und Zusätze dieser neuen Auflage finden sich schon in der italienischen Übersetzung der ersten Auflage. Die Beschränkung auf die geradlinigen und ebenflächigen Gebilde — mit wenigen naheliegenden Überschreitungen — ist dem Buche erhalten worden; eine durch Herrn Collegen Heffter in Bonn vorgeschlagene Erweiterung hat es durch die vier letzten Abschnitte erfahren. Auf die Nothwendigkeit und Erspriesslichkeit des ersten Abschnitts: Darstellung auf einer einzigen Projectionsebene, lege ich Werth.

Stereometrische Figuren, welche in der ersten Auflage fehlten, habe ich diesmal hinzugefügt, und die Verlagshandlung, der ich für ihr Entgegenkommen zu Danke verpflichtet bin, hat sich bereitwillig damit einverstanden erklärt, dass der grössere Theil der Figuren in den Text aufgenommen werde.

Breslau, im März 1900.

R. Sturm.

## Inhalt.

	Seite
Einleitung . . . . .	1
Erster Abschnitt. Darstellung auf einer einzigen Projectionsebene . . . . .	9
a) Darstellung des Punktes und der Gerade . . . . .	9
b) Darstellung der Ebene; Sätze über Neigungswinkel; Umlegung und Affinität; perspective Ansicht vom Parallelismus. . . . .	11
Zweiter Abschnitt. Darstellung auf zwei Projectionsebenen . . . . .	35
a) Darstellung des Punktes . . . . .	36
b) Darstellung der Gerade . . . . .	39
c) Darstellung der Ebene. . . . .	46
Dritter Abschnitt. Weitere Aufgaben. . . . .	61
Vierter Abschnitt. Drehung der dargestellten Gebilde um Axen . . . . .	76
Fünfter Abschnitt. Einführung weiterer Projectionsebenen. . . . .	79
a) Die neue Projectionsebene ist einer der früheren parallel . . . . .	79
b) Die neue Projectionsebene steht auf beiden früheren senkrecht . . . . .	81
c) Die neue Projectionsebene steht nur auf einer der früheren senkrecht . . . . .	86
d) Die neue Projectionsebene ist zu keiner der gegebenen normal . . . . .	88
Sechster Abschnitt. Polyeder. . . . .	89
a) Darstellung von Polyedern . . . . .	89
b) Ebene Schnitte von Polyedern; perspective Lage; Homologie. . . . .	97
c) Gegenseitige Schnitte von Polyedern . . . . .	111
d) Abwicklung von Polyedern . . . . .	119
Siebenter Abschnitt. Centralprojection oder Perspective . . . . .	121
Achter Abschnitt. Schräge Parallelprojection . . . . .	135
Neunter Abschnitt. Axonometrie . . . . .	143
Zehnter Abschnitt. Schatten und Beleuchtung. . . . .	151

Anmerkung. Hier im Inhaltsverzeichnisse sind nachträglich zwei Überschriften erweitert worden.





# Elemente der darstellenden Geometrie.

## Einleitung.

1. Die graphische Darstellung eines räumlichen Gebildes im Raume selbst bietet im allgemeinen Schwierigkeiten; es fragt sich deshalb, ob es nicht möglich sei, *räumliche Gebilde auf einer Ebene darzustellen*, d. h. die zur Darstellung des Gebildes im Raume vorzunehmenden Constructionen durch solche zu ersetzen, die in der Ebene geschehen. Diese Darstellung in der Ebene muss aber offenbar derartig sein, dass sie auch wirklich das räumliche Gebilde ersetzt, dass dasselbe also aus dieser ebenen Darstellung im Raume wieder hergestellt werden kann, sei es in geistiger Vorstellung oder, wie bei Gegenständen der Technik: Bauwerken, Maschinen, in wirklicher Aufführung. Es ist demnach nothwendig, dass die Lage der einzelnen Theile des Gebildes, ihre Dimensionen, die vorkommenden Winkel aus der ebenen Darstellung und zwar durch Constructionen, die nur in der Ebene des Zeichenblattes erfolgen dürfen, zu ermitteln sind.

*Die Methoden zu lehren, durch welche eine solche ebene Darstellung eines räumlichen Gebildes ermöglicht wird, aus derselben das Gebilde selbst reconstruirt werden kann, die Beziehungen aufzufinden, die zwischen dem räumlichen Gebilde und seiner ebenen Darstellung bestehen, ist Sache des Theils der Geometrie, welcher darstellende (beschreibende, descriptive) Geometrie genannt wird.* Als Gründer derselben gilt Monge (1746—1818), weil er zuerst die (zum Theil schon vor ihm bekannten) Methoden und Sätze mathematisch begründete und zu einem wissenschaftlichen Ganzen zusammenfügte. Die erste Auflage seines berühmten wiederholt aufgelegten Lehrbuches: *Géométrie descriptive* erschien 1795 unter dem Titel: *Leçons de Géométrie descriptive données à l'Ecole normale*.

2. Die Methode der Darstellung ist die sogenannte Projectionsmethode. Man sagt, ein Gebilde  $\mathcal{G}_1$  ist die Projection eines andern  $\mathcal{G}$ ,

wenn im allgemeinen jedem Punkte von  $\mathcal{G}$  ein Punkt von  $\mathcal{G}_1$ , seine Projection, entspricht. Unter Projection (oder Projiciren) versteht man aber auch die Operation, durch welche man vom Gebilde  $\mathcal{G}$  zum Gebilde  $\mathcal{G}_1$ , von den Elementen (Punkten, Geraden) jenes zu den entsprechenden Elementen dieses gelangt. Die Geraden, welche Punkte mit ihren Projectionen verbinden, heissen ihre *projicirenden oder Projectiionsstrahlen*. Für unsern Zweck ist es nun nothwendig, dass die Projection eben sei; man projicirt also auf eine Ebene, die *Projectionsebene*.

3. Wir besprechen zuerst die allgemeinen Eigenschaften der *Centralprojection (Perspective)*, bei welcher die *Projectiionsstrahlen sämmtlich durch einen festen Punkt  $O$  gehen, das Projectiionscentrum*. Sie ist zwar nicht die einfachste Projectiionsmethode, umfasst aber die Parallelprojection als Specialfall, und es ist werthvoll, gleich von vornherein sich hinsichtlich der wichtigeren Eigenschaften klar zu machen, welche von ihnen von der Centralprojection in die Parallelprojection übergehen oder nicht und welche nur für diese und insbesondere für die Orthogonalprojection gelten.

Die Projectionsebene sei  $\Pi$ . Ist  $P$  ein Punkt des darzustellenden Gebildes, so ist derjenige Punkt  $P_1$ , in dem diese Ebene von dem Projectiionsstrahle  $OP$  getroffen wird, die *Centralprojection von  $P$* . Zu jedem Punkte  $P_1$  in  $\Pi$  giebt es daher unendlich viele Punkte, von denen er Projection ist, alle Punkte des Strahls  $OP_1$ .

Es wäre unpraktisch, das Centrum in die Projectionsebene fallen zu lassen, weil dann alle Punkte des Raums die nämliche Projection hätten.

Die Punkte in  $\Pi$  fallen mit ihren Projectionen zusammen.

Es giebt Punkte, welche, wie wir vorläufig noch sagen müssen, keine Projectionen haben, alle Punkte der Ebene  $\Pi^*$ , welche durch  $O$  parallel zu  $\Pi$  geht und die *Verschwindungsebene* genannt werden soll; denn die Projectiionsstrahlen dieser Punkte und nur dieser Punkte sind zu  $\Pi$  parallel.

Die Projection des Centrum  $O$  ist völlig unbestimmt: jeder Punkt von  $\Pi$  kann als Projection angesehen werden.

4. Wenn  $g^*$  eine Gerade ist, welche dargestellt werden soll, so liegen die Projectiionsstrahlen aller ihrer Punkte in der Ebene, welche  $O$  mit  $g$  verbindet, die Projectionen also auf der Gerade  $g_1$ , in der diese Ebene die Projectionsebene schneidet. Diese Ebene  $Og$  nennt

---

\*) Es soll möglichst daran festgehalten werden, dass bei der Bezeichnung eines Punktes, einer Gerade, einer Ebene durch einen einzigen Buchstaben dieser bez. aus dem grossen lateinischen, dem kleinen lateinischen, dem griechischen Alphabete genommen wird.

man deshalb die *projicirende Ebene* von  $g$ , und  $g_1$  ist die *Projection* von  $g$ . Man beachte, daß, während projicirender Strahl und Projectionsstrahl dasselbe bedeuten, projicirende Ebene und Projectionsebene wesentlich verschiedene Bedeutung haben.

Die Projectionen der Punkte einer Geraden  $g$  liegen auf der Projection derselben. Oder: *Wenn der Punkt  $P$  auf der Geraden  $g$  liegt, so liegt auch die Projection  $P_1$  auf der Projection  $g_1$ .* Aber umgekehrt ist der Satz nicht richtig: wenn  $P_1$  auf  $g_1$  liegt, so kann man nur schliessen, dass es auf  $g$  einen Punkt giebt, der dieselbe Projection hat wie  $P$ , oder dass der projicirende Strahl  $OPP_1$  die Gerade  $g$  trifft.

Für sämtliche Geraden der Verschwindungsebene  $\Pi^*$  ist diese die projicirende Ebene; sie haben daher keine Projectionen.

*Alle Geraden einer andern durch  $O$  gehenden Ebene haben deren Schnittlinie mit  $\Pi$  zur gemeinsamen Projection.*

Wir wissen schon, alle Punkte einer durch  $O$  gehenden Geraden  $g$  haben dieselbe Projection, und man wird daher diesen Punkt als Projection von  $g$  bezeichnen. Damit sind Ausnahmegeraden erkannt, welche nicht Geraden, sondern Punkte zu Projectionen haben. Es giebt aber eine andere Auffassung, bei welcher diese Geraden auch Geraden zu Projectionen haben. Die projicirende Ebene wird bei einer derartigen Gerade  $g$  unbestimmt: jede Ebene durch  $g$  kann als projicirende Ebene aufgefasst werden, und dieser Büschel von Ebenen schneidet in die Ebene  $\Pi$  einen Büschel von Strahlen um jenen Punkt. Wir können jeden von diesen Strahlen als Projection von  $g$  ansehen. Die Erhaltung eines allgemeinen Satzes in allen Fällen durchzusetzen und Ausnahmen zu entfernen, ist immer vortheilhaft: Wir sehen z. B. gleich, dass bei dieser Auffassung der vorige Satz, dass alle Geraden einer durch  $O$  gehenden Ebene die Schnittlinie derselben mit  $\Pi$  zur gemeinsamen Projection haben, keine Ausnahme erleidet; während wir bei der ersten Auffassung die durch  $O$  gehenden Geraden der Ebene ausnehmen müssen, weil sie nicht die ganze Schnittlinie, sondern nur einen Punkt derselben zur Projection haben. Immerhin werden wir doch die erste Auffassung bevorzugen.

Der Punkt, in dem eine nicht zu  $\Pi$  parallele Gerade  $g$  dieser Ebene begegnet, nennt man ihre *Spur* (Spurpunkt). Dieser Punkt vereinigt sich mit seiner Projection und liegt daher auf  $g_1$ ; *die Projection einer nicht zu  $\Pi$  parallelen Gerade geht immer durch die Spur derselben.* Er wird die Projection, wenn  $g$  durch  $O$  geht.

Wenn aber  $g$  zu  $\Pi$  parallel ist (ohne in  $\Pi^*$  zu liegen), so befindet sie sich mit  $g_1$  zwar in derselben Ebene  $Og$ , kann aber von ihr als einer Gerade von  $\Pi$  nicht geschnitten werden. Also sind  $g$

und  $g_1$  parallel. Eine zu  $\Pi$  parallele Gerade ist zu ihrer Projection parallel.

Die projecirenden Strahlen der Punkte von  $g$  theilen diese beiden parallelen Geraden ersichtlich proportional; also sind Strecken, welche auf einer zu  $\Pi$  parallelen Gerade liegen, zu ihren Projectionen proportional.

5. Wenn die Geraden  $g$  und  $l$  sich in  $P$  schneiden, so haben ihre Projectionen  $g_1$  und  $l_1$  die Projection  $P_1$  gemein; im Strahle  $OPP_1$  schneiden sich die beiden projecirenden Ebenen  $Ogg_1$  und  $Oll_1$ .

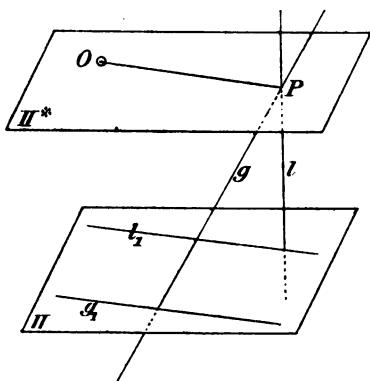


Fig. 1.

Liegt aber  $P$  in der Verschwindungsebene  $\Pi^*$ , so wird  $OP$  zu  $\Pi$  parallel; er liegt mit den Projectionen  $g_1, l_1$ , je in derselben Ebene  $Og$ , bez.  $Ol$ , schneidet sie aber, da sie in  $\Pi$  liegen, nicht, ist also zu ihnen parallel, und folglich sind sie auch einander parallel (Fig. 1).

Die Projectionen von zwei Geraden  $g$  und  $l$ , welche sich auf der Verschwindungsebene schneiden, sind parallel, und ihre gemeinsame Richtung ist die des Strahls von  $O$  nach dem Schnittpunkte.

Alle Geraden also, welche durch einen Punkt  $P$  der Verschwindungsebene gehen, projeciren sich in parallele Geraden von der Richtung  $OP$ .

Wir können deshalb sagen: Ein in der Verschwindungsebene gelegener Punkt projecirt sich in eine Richtung; damit entfernen wir wiederum eine Ausnahme: auch die Punkte der Verschwindungsebene, denen wir bisher Projectionen absprachen, erhalten solche, freilich nicht Punkte, sondern Richtungen.

Wenn zwei parallele Geraden  $a, b$  bez. in nicht parallelen Ebenen  $\alpha, \beta$  liegen, so ist deren Schnittlinie  $\alpha\beta$  zu ihnen parallel; denn  $a$  liegt mit  $\alpha\beta$  in der Ebene  $\alpha$ , ist andererseits zu  $\beta$  parallel, weil zu der in  $\beta$  liegenden  $b$ ; daher kann sie die in  $\beta$  liegende  $\alpha\beta$  nicht schneiden, ist also zu ihr parallel.

Es seien umgekehrt  $g$  und  $l$  zwei sich in  $P$  schneidende Geraden, deren Projectionen  $g_1$  und  $l_1$  parallel sind; dann ist die Schnittlinie  $OP$  der beiden projecirenden Ebenen zu  $g_1, l_1$  und zu  $\Pi$  parallel, liegt in  $\Pi^*$  und mit ihr  $P$ .

Die Projectionen zweier sich schneidenden Geraden können nur dann parallel sein, wenn der Schnittpunkt in der Verschwindungsebene liegt.

Nunmehr seien  $g$  und  $l$  selbst parallel (Fig. 2); die Schnittlinie der beiden projicirenden Ebenen, welche nicht parallel sind, da sie  $O$  gemeinsam haben, ist zu ihnen parallel. Sind  $g$  und  $l$  auch zu  $\Pi$  parallel, so wird es auch diese Schnittlinie; die Projectionen  $g_1$  und  $l_1$  sind dann zu  $g, l$  parallel, also zu einander; alle vier Geraden haben dieselbe Richtung. Sind aber  $g$  und  $l$  nicht zu  $\Pi$  parallel, so gilt dies auch für jene Schnittlinie, und in dem Punkt, in welchem sie  $\Pi$  schneidet, schneiden sich die Schnittlinien der beiden projicirenden Ebenen mit  $\Pi$ , die Projectionen  $g_1$  und  $l_1$  von  $g$  und  $l$ . Also:

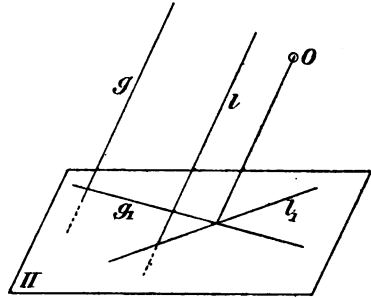


Fig. 2.

*Zwei zu einander, aber nicht zu  $\Pi$  parallele Geraden haben sich schneidende Projectionen, und der Schnittpunkt ist der Punkt, in welchem  $\Pi$  von der zu ihnen durch das Centrum gezogenen Parallele getroffen wird. Oder allgemeiner: Alle Geraden einer festen Richtung, die nicht zur Projectionsebene parallel ist, projiciren sich in Geraden, die durch einen festen Punkt gehen, den Punkt, in dem die Projectionsebene von der durch das Centrum gehenden Gerade dieser Richtung geschnitten wird.*

Wir können wiederum sagen: *Die gemeinsame Richtung projicirt sich in einen Punkt, und nur dann in eine Richtung und zwar dieselbe, wenn die parallelen Geraden zu  $\Pi$  parallel sind, wenn also die gemeinsame Richtung in der Projectionsebene und der Verschwindungsebene enthalten ist.*

Der gemeinsame Punkt der Projectionen paralleler Geraden wird *Fluchtpunkt* genannt.

Zwei nicht in derselben Ebene gelegene Geraden (*windschiefe Geraden*) haben projicirende Ebenen mit einem gemeinsamen Punkte  $O$ , also einer gemeinsamen Gerade, der einzigen, welche durch  $O$  geht und mit jeder von ihnen in einer Ebene liegt, also im allgemeinen beide schneidet. Diese Gerade fällt gewöhnlich nicht in die Verschwindungsebene und schneidet die Projectionsebene, und in diesem Schnittpunkte treffen sich die Projectionen der beiden Geraden (Fig. 3). Die

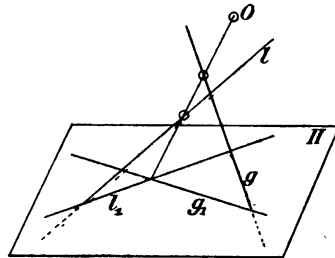


Fig. 3.

Projectionen  $g_1, l_1$  zweier windschiefen Geraden  $g, l$  schneiden sich im allgemeinen; man nennt den Schnittpunkt, in welchen sich *verschiedene*



Punkte bez. von  $g$  und  $l$  projiciren, *scheinbaren Schnitt* von  $g$  und  $l$ . Nur dann sind  $g_1, l_1$  parallel, wenn die Schnittlinie der beiden projicirenden Ebenen in die Verschwindungsebene fällt.

Wir sehen, dass wir aus der Lage der Projectionen  $g_1$  und  $l_1$  gar keinen Schluss auf die Lage von  $g$  und  $l$  im Raume machen können.

6. Eine Ebene  $E$ , die nicht parallel zu  $\Pi$  ist, hat mit ihr eine Schnittgerade  $s = E\Pi$ , welche ihre *Spur* oder Spurlinie genannt wird. Jede Gerade in  $E$ , welche zu  $\Pi$  parallel ist, ist auch zu dieser Spur parallel, weshalb wir dieses System von Parallelen in  $E$  die *Spurparallelen* dieser Ebene nennen. Sie sind, als Parallelen zu  $\Pi$ , zu ihren Projectionen parallel, und daher *sind auch die Projectionen zur Spur parallel*. Alle anderen Geraden von  $E$  treffen die Spur und begegnen sich im Treffpunkte je mit ihren Projectionen. Die Spur und ihre Punkte decken sich mit ihren Projectionen.

Die Projectionen der Punkte und Geraden von  $E$  bedecken die ganze Projectionsebene  $\Pi$ . Und wir erhalten *eine eindeutige Beziehung zwischen den Elementen von  $E$  und  $\Pi$* . Wir wissen schon: jeder Punkt  $P$ , jede Gerade  $g$  von  $E$  hat eine (und nur eine) Projection  $P_1$  und  $g_1$  in  $\Pi$ ; aber auch umgekehrt jedes Element  $P_1$ , bez.  $g_1$  in  $\Pi$  hat nur ein Element in  $E$ , von welchem es Projection ist; denn der durch  $P_1$  gehende Projectionsstrahl  $P_1O$ , die durch  $g_1$  gehende projicirende Ebene  $g_1O$  hat nur einen Punkt  $P$ , nur eine Gerade  $g$  mit  $E$  gemein. Durch Parallelismen entstehen, wie wir wissen, Ausnahmen, die jedoch nur vorläufig sind und daher hier nicht nochmals erwähnt werden.

Diese eindeutige Beziehung — *perspective Lage der beiden Ebenen  $E$  und  $\Pi$*  — ist der Ausgangspunkt des grossen Gebiets der geometrischen Verwandtschaften, deren Theorie im 19. Jahrhundert ausgebildet worden ist.

Wir fanden, dass, wenn  $P$  auf  $g$  fällt, dann auch  $P_1$  auf  $g_1$  zu liegen kommt, konnten aber im allgemeinen das Umgekehrte nicht behaupten; wissen wir aber, dass  $P$  und  $g$  in  $E$  liegen, so können wir, da, wenn  $P_1$  auf  $g_1$  liegt, der Strahl  $OP_1$  in die Ebene  $Og_1$  fällt, schliessen, dass der Schnitt  $P$  des ersteren mit  $E$  auf die Schnittlinie  $g$  der zweiten fallen muss.

Geht  $E$  durch das Centrum  $O$ , so wird man im allgemeinen sagen, dass alle Punkte von  $E$  ihre Projectionen auf der Spur haben, alle Geraden von  $E$  sich in diese projiciren (mit Ausnahme der durch  $O$  gehenden, welche sich nur in Punkte der Spur projiciren). Kurz, *die Spur ist die Projection von  $E$* . Aber da dem  $O$  als Punkt von  $E$  und den durch ihn gehenden Geraden auch unbestimmte Projectionen zugeschrieben werden können, so kann man sagen, dass die Projectionen

der Punkte und Geraden auch einer solchen Ebene über die ganze  $\Pi$  sich ausbreiten.

*Wenn  $E$  zu  $\Pi$  parallel ist, so sind alle ihre Geraden zu  $\Pi$  parallel; jede Figur in  $E$  und ihre Projection sind ähnlich als Schnitte einer Pyramide (eines Kegels) mit zwei parallelen Ebenen.*

7. Denken wir uns das Auge im Projectionscentrum, so wird sich jeder Punkt des Raumes mit seiner Projection scheinbar decken: die Centralprojection eines räumlichen Gebildes wird mithin auf das Auge den nämlichen Eindruck machen wie das Gebilde selbst. Deshalb ist die Centralprojection oder Perspective insbesondere für die Malerei von grossem Werthe, und wir verdanken ihre erste Behandlung auch den grossen Malern der Renaissance. Aber ihre Constructionen sind nicht so einfach, dass die darstellende Geometrie mit ihr begonnen werden kann. Wir wenden uns daher zu einer leichteren Art der Projection, der *Parallelprojection*, bei welcher die *Projectionsstrahlen parallel* sind.

*Die Parallelprojection eines Punktes  $P$  auf die Ebene  $\Pi$  ist also der Schnittpunkt  $P_1$  mit  $\Pi$  des durch  $P$  in der gegebenen Richtung gezogenen Projectionsstrahles; wie bei der Centralprojection die Lage des Centrum  $O$  in  $\Pi$ , so muss man hier vermeiden, dass die Projectionsstrahlen zur Projectionsebene parallel sind. Thut man dies, so trifft jeder Projectionsstrahl die  $\Pi$ , jeder Punkt hat eine Projection, was ein wesentlicher Unterschied von der Centralprojection ist.*

Die beiden parallelen Projectionsstrahlen von zwei Punkten einer Gerade  $g$  bestimmen eine Ebene; diese nimmt die Gerade in sich auf; der Projectionsstrahl jedes weiteren Punktes von  $g$  hat daher denselben mit ihr gemeinsam und ist zu ihr parallel, fällt also in sie. *Diese Ebene, welche die Projectionsstrahlen aller Punkte von  $g$  enthält, nennen wir die projicirende Ebene von  $g$ ; wir bestimmen sie am besten durch  $g$  und irgend einen jener Projectionsstrahlen.*

Da diese Projectionsstrahlen alle die  $\Pi$  schneiden, so thut es auch die Ebene und ihr Schnitt mit  $\Pi$ , auf welchen die Projectionen der Punkte von  $g$  fallen, ist die Projection  $g_1$  von  $g$ . Es gilt also auch hier: *wenn  $P$  auf  $g$  liegt, so liegt  $P_1$  auf  $g_1$ ; und ebenfalls besteht die Umkehrung nicht, da jeder Punkt  $P_1$  in  $\Pi$  Projection von unendlich vielen, von allen Punkten ist, die auf dem durch ihn gehenden Projectionsstrahle liegen.*

Die parallelen Projectionsstrahlen theilen  $g$  und  $g_1$  proportional; was bei der Centralprojection nur für Geraden gilt, die zu  $\Pi$  parallel sind, gilt hier für jede Gerade: *Die Projectionen zweier auf derselben Gerade gelegenen Strecken verhalten sich wie diese.* Die Mitte einer Strecke projicirt sich in die Mitte.

Da jeder Punkt eine Projection hat, so *projiciren sich bei der Parallelprojection zwei sich schneidende Geraden immer in zwei sich schneidende.*

Es seien  $g$  und  $l$  parallel; die projicirenden Ebenen sind dann auch parallel; denn in ihnen sind  $g$  und  $l$  parallel und die Projectionsstrahlen je eines Punktes von ihnen. Folglich sind auch die Schnitte mit  $\Pi$  parallel. *Bei der Parallelprojection projiciren sich parallele Geraden immer in ebenfalls parallele Geraden.* Ein Parallelogramm geht daher in ein Parallelogramm über; daraus folgt, dass zwei gleiche und parallele Strecken sich in gleiche und parallele Strecken projiciren. Liegen zwei ungleiche parallele Strecken vor, so legt man auf die Gerade der einen eine mit der anderen gleiche Strecke und schliesst mit Hilfe des obigen Satzes: *Die Projectionen ungleicher paralleler Strecken verhalten sich wie diese.*

Windschiefe Geraden projiciren sich im allgemeinen in sich schneidende; aber die projicirenden Ebenen können parallel werden, und dann haben sie parallele Projectionen. Man sieht, dass auch hier kein sicherer Schluss aus der Lage der Projectionen auf die Lage der Geraden im Raume zu machen ist.

8. In Bezug auf die Spuren und die in  $\Pi$  gelegenen Elemente gilt ersichtlich das Nämliche wie im vorigen Falle.

*Eine zu  $\Pi$  parallele Gerade ist aus demselben Grunde wie früher zu ihrer Projection parallel; aber die parallelen Projectionsstrahlen bewirken Gleichheit einer auf ihr gelegenen Strecke mit der Projection. Eine Figur in einer zu  $\Pi$  parallelen Ebene ist mit ihrer Projection congruent; die Pyramide (Kegel) des vorigen Falles ist ein Prisma (Cylinder) geworden, das von parallelen Ebenen in congruenten Figuren geschnitten wird.*

Für eine Gerade, welche die Richtung der Projectionsstrahlen hat, ist ihre Spur die Projection; jede Ebene durch sie ist den Projectionsstrahlen parallel und kann als projicirende Ebene angesehen werden und daher, wenn man will, jeder Strahl in  $\Pi$  durch die Spur als Projection der Gerade.

Die Projectionen der Elemente einer Ebene  $E$ , die nicht zu den Projectionsstrahlen parallel ist, breiten sich über die ganze Projectionsebene aus; es entsteht auch hier *eine eindeutige Beziehung* und zwar hier eine völlig ausnahmslose: jedem Elemente der einen Ebene entspricht eines in der anderen; auch die Elemente von  $E$  sind Projectionen derer in  $\Pi$ . *Wenn  $P$  und  $g$  in  $E$  liegen, so folgt sowohl, dass  $P_1$  auf  $g_1$  liegt, wenn  $P$  auf  $g$  liegt, als auch umgekehrt. Wenn  $g$  und  $l$  in  $E$  liegen, so folgt aus ihrer Convergenz oder ihrem Parallelismus die*

*Convergenz, bezw. der Parallelismus von  $g_1, l_1$ ; aber auch umgekehrt, wie sich  $g_1$  und  $l_1$  verhalten, so verhalten sich  $g$  und  $l$ .*

Eine Ebene, welche den Projectionsstrahlen parallel ist, projectirt sich in ihre Spur, ihre Punkte und ihre Geraden von der Richtung der Projectionsstrahlen projectiren sich in Punkte der Spur, ihre übrigen Geraden in die Spur.

Man sieht, die Projectionsrichtung ist an Stelle des Projectionscentrums getreten.

9. Unter den Parallelprojectionen ist nun die am meisten angewandte und einfachste die *rechtwinklige* oder *orthogonale* (auch orthographische oder Normalprojection), bei welcher die Projectionsstrahlen auf der Projectionsebene senkrecht stehen. Eine Parallelprojection, bei der das nicht der Fall ist, heisst *schräge Parallelprojection*, auch *klinogonale* oder *klinographische* Projection. Wir betrachten im Folgenden die Orthogonalprojection; unter Projection schlechthin wird gewöhnlich Orthogonalprojection verstanden.

## Erster Abschnitt.

### Darstellung auf einer einzigen Projectionsebene.

#### a) Darstellung des Punktes und der Gerade.

10. Die orthogonale Projection  $A_1$  eines Punktes  $A$  auf eine Ebene  $\Pi$  ist der Fusspunkt des aus  $A$  auf  $\Pi$  gefällten Lothes. Die Länge  $AA_1$  giebt uns die Entfernung des Punktes von  $\Pi$  an oder, indem wir der Bequemlichkeit der Anschauung und der Sprache halber  $\Pi$  horizontal voraussetzen, die Höhe von  $A$  über  $\Pi$  (die Tiefe unter  $\Pi$ ); wir wollen diesen Abstand positiv oder negativ annehmen, je nachdem  $A$  über oder unter  $\Pi$  liegt.

Durch  $A$  ist ersichtlich  $A_1$  bestimmt, nicht aber umgekehrt  $A$  durch  $A_1$ ;  $A_1$  ist Projection von allen Punkten des Loths, das in  $A_1$  auf  $\Pi$  errichtet ist.

11. Die projectirende Ebene einer Gerade  $g$  enthält die Projectionsstrahlen (Projectionslothe) aller Punkte von  $g$  und ist deshalb ebenfalls senkrecht zu  $\Pi$ .

Steht eine Gerade auf der Projectionsebene senkrecht, so projectirt sie sich als Punkt. Sie bildet dann bekanntlich mit allen durch ihren Fusspunkt in  $\Pi$  gezogenen Geraden rechte Winkel.

Wir wissen (Nr. 7), dass die Parallelprojectionen verschiedener Strecken auf einer Gerade oder parallelen Geraden sich verhalten, wie

die Strecken; also ist das Verhältniss der Projection zur Strecke für jede Richtung ein festes. Es hat bei der Orthogonalprojection eine sehr einfache geometrische Bedeutung.

Der spitze Winkel, welchen  $g$  mit der Orthogonalprojection  $g_1$  einschliesst, ist, wie die Stereometrie lehrt, der kleinste von den Winkeln, welche  $g$  mit den durch ihre Spur in  $\Pi$  gezogenen Geraden bildet, und heisst deshalb *der Neigungswinkel von  $g$  gegen  $\Pi$* ; sei derselbe  $\gamma$ , so ist ersichtlich:

$$\cos \gamma = \frac{A_1 B_1}{AB}, \quad A_1 B_1 = AB \cos \gamma.$$

Daraus ergibt sich, dass *die Orthogonalprojection einer Strecke im allgemeinen kleiner ist als die Strecke selbst*. Gleichheit findet statt, wenn  $AB$  zu  $\Pi$  parallel ist; es muss dann  $\cos \gamma = 1$ , also  $\gamma = 0^\circ$  sein, was zu der Ausdrucksweise berechtigt, dass man den Neigungswinkel einer Gerade gegen eine andere Gerade oder gegen eine Ebene, zu der sie parallel ist, gleich Null annimmt. (Nr. 39).

Ist  $\gamma = 90^\circ$ , so ergibt sich  $A_1 B_1 = 0$ , also ein Punkt.

Sich schneidende Geraden projiciren sich wiederum in sich schneidende Geraden, parallele in parallele, windschiefe im allgemeinen in sich schneidende, ausnahmsweise in parallele.

12. Ist  $g$  gegeben, so ist auch  $g_1$  gegeben, aber nicht umgekehrt mit  $g_1$  auch  $g$ ; vielmehr ist  $g_1$  die Projection von unendlich vielen Geraden, von allen Geraden, die in der längs  $g_1$  auf  $\Pi$  senkrecht errichteten Ebene liegen (mit Ausnahme der zu  $\Pi$  senkrechten in dieser Ebene; denn diese haben nur einen Punkt von  $g_1$  zu ihrer Projection).

Die Mannigfaltigkeit der Geraden, welche die nämliche Projection  $g_1$  haben, ist ersichtlich viel grösser als die der Punkte auf einem Projectionsloth, welche dessen Fusspunkt zur Projection haben. Alle diese Punkte können wir durch ihren Abstand von einem festen Punkte des Loths, z. B. dem Fusspunkt, bestimmen, also durch *eine* Grösse, und indem wir dieser alle unendlich vielen (positiven und negativen) Werthe geben, erhalten wir alle Punkte und sagen deshalb, es giebt auf einer Gerade *einfach* unendlich viele Punkte.

Die sämmtlichen Geraden aber einer Ebene müssen wir durch zwei Grössen bestimmen, etwa in folgender Weise. Die Strahlen eines Büschels sind auch einfach unendlich; für jeden Strahl bestimmend mag der Winkel mit einem festen Strahle des Büschels sein. Durch jeden Punkt dieses festen Strahls kann man zu jedem Strahle des Büschels die Parallelen ziehen, und erhält je einfach unendlich viele Parallelen zu jedem Strahle; zweite bestimmende Grösse sei dann die



Entfernung des gewählten Punktes auf dem festen Strahle vom Scheitel. Wir haben so alle Geraden der Ebene erhalten und wegen der zwei bestimmenden Grössen, von denen jede unendlich viele Wërthe annehmen kann, sagt man: die Ebene enthält *zweifach* unendlich viele Geraden. Aber man wird leicht erkennen, dass der Process ein der Potenzirung analoger ist: wir haben einfach unendlich mal einfach unendlich viele Geraden, und man sagt deshalb correcter: es giebt in der Ebene  $\infty^2$  Geraden; und die einfache Unendlichkeit bezeichnet man durch  $\infty^1$ .

Wir erhalten daher genauer: *Jeder Punkt in  $\Pi$  ist Projection von  $\infty^1$  Punkten, jede Gerade in  $\Pi$  hingegen Projection von  $\infty^2$  Geraden.*

Zwar müssen im letzteren Falle die Geraden in der Ebene, welche die Richtung der Projectionsstrahlen haben, also jetzt senkrecht zu  $\Pi$  sind, ausgenommen werden; diese bilden eine einfache Unendlichkeit; von der einen bestimmenden Grösse, dem Winkel, ist ein Werth auszulassen; es bleiben also für sie immer noch  $\infty^1$  Werthe, und „der Grad der Unendlichkeit“ wird nicht vermindert.

### b) Darstellung der Ebene.

13. Wenn eine Ebene  $E$  senkrecht auf  $\Pi$  steht, so fallen die Projectionsstrahlen aller ihrer Punkte in sie hinein, die Projectionen derselben liegen auf der Spur  $s$ , ebenso aber fallen auch die Projectionen aller in  $E$  gelegenen (geraden und krummen) Linien mit  $s$  oder mit einem Theile von  $s$  zusammen. Die Spur ist die Projection der Ebene.

In einer nicht zu  $\Pi$  parallelen Ebene  $E$  haben wir schon die zur Spur parallelen Geraden, welche in sie durch die zu  $\Pi$  parallelen Ebenen eingeschnitten werden und mit  $h$  bezeichnet werden mögen, hervorgehoben; ihre Projectionen  $h_1$  fanden sich auch zur Spur parallel. Wir heben zweitens *die zu  $s$  und den  $h$  normalen Geraden* von  $E$  hervor, welche  $f$  heissen mögen.

Durch jeden Punkt in  $E$  geht eine Gerade  $h$  und eine Gerade  $f$ .

Jede Ebene  $E$ , welche  $\Pi$  schneidet, hat  $\infty^1$  Spurparallelen und Spurnormalen.

Sei  $f$  (Fig. 4) eine Spurnormale in  $E$ ,  $S_f$  ihr Spurpunkt, der also auf  $s$  liegt,  $P$  irgend ein anderer Punkt auf ihr; so ist  $P_1 S_f$  die Projection  $f_1$ . Da nun  $f$  aus dem Punkte  $P$  in  $E$  auf deren Schnittlinie  $s$  mit  $\Pi$  senkrecht gefällt ist,  $PP_1$  aber senkrecht auf  $\Pi$  selbst, so ist nach einem

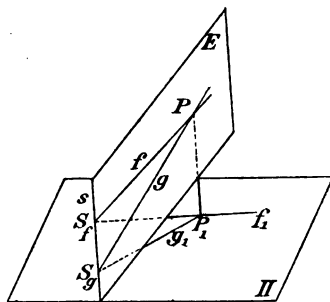


Fig. 4.

bekannten Satze der Stereometrie  $f_1$  senkrecht zu  $s$  und also auch zu den  $h_1$ .

Wie die Spurparallelen und Spurnormalen in  $E$  selbst zu einander normal sind, so sind es auch ihre Projectionen. Oder:

*Die von den Spurparallelen und Spurnormalen einer Ebene gebildeten rechten Winkel gehen durch Orthogonalprojection nicht verloren.*

Denken wir uns einen rechten Winkel in einer gegen  $\Pi$  geneigten Ebene, so aber, dass sein einer Schenkel zu  $\Pi$  parallel ist, so ist dieser Schenkel eine Spurparallele, der andere eine Spurnormale in der Ebene; die Projection des rechten Winkels ist mithin wieder ein rechter.

Also erhalten wir folgenden wichtigen Satz:

*Die Orthogonalprojection eines rechten Winkels, dessen einer Schenkel der Projectionsebene parallel ist, ist wieder ein rechter Winkel.*

Ein gleichschenkliges Dreieck, von dem die Basis oder die Basis-höhe der Projectionsebene parallel ist, projectirt sich demnach wieder gleichschenklig; denn die Halbierung der Basis durch die Höhe bleibt auch erhalten.

Im allgemeinen verändert ein Winkel, von dem nicht beide Schenkel der Projectionsebene parallel sind, seine Grösse.

14. Es sei nun ein spitzer Winkel betrachtet, dessen einer Schenkel zu  $\Pi$  parallel ist. Das rechtwinklige Dreieck, das von seinen Schenkeln mit einer Spurnormale  $f$  seiner Ebene gebildet wird, projectirt sich wieder als rechtwinkliges Dreieck, also der spitze Winkel wieder als spitzer. Die diesen beiden spitzen Winkeln anliegenden Katheten sind gleich, die Gegenkathete des gegebenen spitzen Winkels grösser als die, welche der Projection gegenüberliegt (Nr. 11); also ist auch der gegebene spitze Winkel grösser als seine Projection. Weil der Nebenwinkel eines stumpfen ein spitzer ist, so erhalten wir folgende zwei Sätze:

*Die Orthogonalprojection eines spitzen Winkels, dessen einer Schenkel der Projectionsebene parallel ist, ist ein kleinerer (spitzer) Winkel, die eines stumpfen Winkels, für den dasselbe gilt, ein grösserer (stumpfer) Winkel.*

Die Differenz zwischen einem Winkel, dessen einer Schenkel der Projectionsebene parallel ist, und seiner Orthogonalprojection convergirt gegen Null, sowohl wenn der Winkel sich  $0^\circ$  (oder  $180^\circ$ ), als wenn er sich  $90^\circ$  nähert.

Liegt die durch den Scheitel eines Winkels gehende Spurparallele seiner Ebene innerhalb des Winkels und theilt ihn in zwei spitze Winkel, so werden die Theile und demnach auch der ganze Winkel

durch Projection verkleinert; also ein spitzer oder rechter Winkel, innerhalb dessen die durch den Scheitel gehende Spurparallele liegt, oder, was dasselbe ist, von dem nur ein Schenkel die  $\Pi$  trifft, verkleinert sich.

Liegt hingegen die durch den Scheitel gehende Spurparallele ausserhalb des Winkels, macht aber mit beiden Schenkeln spitze Winkel, so vergrössert sich der Winkel durch Projection; also ein stumpfer oder rechter Winkel, von dem beide Schenkel die  $\Pi$  treffen oder beide nicht, wird durch Projection grösser.

Es ist leicht einzusehen, dass man auch umgekehrt in diesen Fällen aus der Projection auf den Winkel selbst schliessen kann; denn ebenso wie sich die durch den Scheitel gehende Spurparallele zum Winkel selbst verhält, so verhält sich ihre Projection zur Projection des Winkels.

Es projicirt sich also auch ein rechter Winkel nur dann in einen rechten, wenn sein einer Schenkel zur Projectionsebene parallel ist. Die Orthogonalprojection eines Winkels ist der Neigungswinkel der projicirenden Ebenen der beiden Schenkel, und der zu  $\Pi$  parallele Schenkel steht auf der Schnittlinie dieser Ebenen, einer Normale auf  $\Pi$ , senkrecht. *Daher kann ein rechter Winkel nur so mit seinen Schenkeln in zwei zu einander senkrechte Ebenen gelegt werden, dass der eine Schenkel auf der Schnittlinie derselben senkrecht steht.*

15. Da eine Spurnormale  $f$  und ihre Projection  $f_1$  beide in demselben Punkte  $S_f$  auf  $s$  normal sind (Nr. 13) und bez. in  $E$ ,  $\Pi$  liegen, so bilden sie die beiden Schenkel eines Neigungswinkels von  $E$  gegen  $\Pi$ ; der Winkel zwischen  $f$  und  $f_1$  ist aber auch der Neigungswinkel von  $f$  gegen  $\Pi$  (Nr. 11); also *haben die Spurnormalen einer Ebene gegen  $\Pi$  die nämliche Neigung  $\alpha$  wie die Ebene selber.*

Sei  $g$  (Fig. 4) irgend eine andere Gerade in  $E$ ,  $P$  der Punkt, in dem sie eine Spurnormale  $f$  trifft,  $S_f$  und  $S_g$  die beiden Spuren von  $f$  und  $g$ ,  $P_1$  die Projection von  $P$ , so sind  $P_1S_f$  und  $P_1S_g$  die Projectionen  $f_1$  und  $g_1$ ;  $P_1S_f$  ist normal zu  $s$ , also kleiner als  $P_1S_g$ , mithin  $\angle PS_gP_1$  kleiner als  $\angle PS_fP_1$ , weil die Gegenkathete dieselbe  $PP_1$  ist; diese Winkel sind aber die Neigungen  $\alpha_g$  und  $\alpha_f = \alpha$  gegen  $\Pi$ .

*Die Spurnormalen einer Ebene  $E$  haben also unter allen ihren Geraden die grösste Neigung gegen  $\Pi$ .* Unter Neigungswinkeln sind hier und im Folgenden immer Winkel im ersten Quadranten gemeint.

*Man kann demnach in einer Ebene  $E$  keine Gerade von grösserer Neigung gegen  $\Pi$  ziehen als  $\alpha = (E, \Pi)$ .* Sämmtliche in  $E$  möglichen Richtungen und Neigungen gegen  $\Pi$  sind schon durch die Strahlen



winkel schneidet; sie treffe  $g_1$  und  $s$ , die Spuren der beiden Ebenen, in  $G$  und  $S$ , so ist  $GPS$  dieser Neigungswinkel. Die Neigungsebene steht auf beiden Ebenen senkrecht,  $\Pi$  ist auch auf  $\gamma$  normal; folglich ist auch die Schnittlinie  $GS$  zu  $\gamma$  und den in dieser Ebene gelegenen Geraden  $g_1$  und  $PG$  normal. Wir haben die rechtwinkligen Dreiecke  $P_1S_\gamma S_g$ ,  $PP_1S_\gamma$ ,  $S_gGS$  und  $PGS$ . Sie zeigen, dass, wenn der Winkel  $P_1S_\gamma S_\gamma$  oder  $(g_1, s)$  bleibt, auch  $P_1S_\gamma$ ,  $GS$ ,  $\angle PS_\gamma P_1$  und  $\angle GPS$  bleiben, wenn aber jener Winkel wächst,  $P_1S_\gamma$ ,  $GS$  und  $\angle GPS$  wachsen,  $\angle PS_\gamma P_1$  aber abnimmt. *Somit ist jeder Neigungswinkel zwischen  $\beta$  und  $90^\circ$  durch zwei Ebenen des Büschels vertreten, deren Flächenwinkel durch die beiden den Grenzneigungen zugehörigen Ebenen  $E_k$  und  $\gamma$  halbiert werden und deren Spuren Winkel bilden, welche die Spuren  $s_k$  und  $g_1$  dieser Ebenen zu Halbirungslinien haben.*

Ist  $g$  zu  $\Pi$  normal, so schrumpft das Intervall auf den einzigen Werth  $90^\circ$  zusammen; alle Ebenen des Büschels sind zu  $\Pi$  normal.

Ist aber  $g$  parallel zu  $\Pi$ , so erweitert sich das Intervall auf den ganzen Quadranten, und Ebenen jeder Neigung gegen  $\Pi$  sind im Büschel enthalten, zu  $\Pi$  parallele Ebenen nur in diesem Falle.

17. Von den Geraden, welche in  $\Pi$  durch die Spur von  $g$  gehen, bildet, wie schon gesagt, die Projection  $g_1$  von  $g$  den kleinsten Winkel mit  $g$ , nämlich den Neigungswinkel  $\beta$  von  $g$  gegen  $\Pi$ ; den grössten Winkel bildet mit  $g$  die zu  $g_1$  senkrechte  $s_k$ , nämlich einen rechten; diese ist, wie wir sahen, auch zu  $g$  senkrecht. *Also sind von den Strahlen  $s$  des Büschels in  $\Pi$  um  $S_g$  diejenigen mit der kleinsten und grössten Neigung  $\beta$ ,  $90^\circ$  gegen  $g$  wiederum rechtwinklig zu einander.* Der  $\angle PS_\gamma S_\gamma$  der obigen Figur ist der Winkel  $(g, s)$ ; mit dem Winkel  $(g_1, s)$  bleibt und wächst  $P_1S_\gamma$ ,  $PS_\gamma$  und  $\angle PS_\gamma S_\gamma$ . Und so sehen wir, dass in dem Strahlenbüschel um  $S_g$  in  $\Pi$  von den Zwischen-Neigungswinkeln gegen  $g$  jeder durch zwei Strahlen  $s$  vertreten ist, deren Winkel diejenigen Strahlen zu Halbirungslinien haben, welche die Grenz-Neigungswinkel  $\beta$  und  $90^\circ$  mit  $g$  bilden.

Solche zwei Strahlen des Büschels haben gleiche Neigungswinkel gegen  $g$ , welche Spuren von Ebenen durch  $g$  sind, die gleiche Neigung gegen  $\Pi$  haben. Die Ebenen durch  $g$  von grösster und kleinster Neigung gegen  $\Pi$  gehen durch die Strahlen kleinster und grösster Neigung gegen  $g$ , und wenn die Neigung einer Ebene durch  $g$  gegen  $\Pi$  abnimmt, so nimmt die Neigung ihrer Spur gegen  $g$  zu.

Man kann den Begriff des Winkels zweier Geraden auch auf den Fall, dass sie nicht in derselben Ebene liegen, auf windschiefe Geraden ausdehnen. *Der Winkel zweier windschiefen Geraden ist der, welcher von zwei zu ihnen parallelen sich schneidenden Geraden gebildet*



wird, oder (was dasselbe) der entsteht, wenn eine von ihnen parallel verschoben wird, bis sie die andere schneidet. Also kann man unsern Satz erweitern:

*Hat eine Gerade  $g$  gegen die Ebene  $\Pi$  — denn die bisher als Projectionsebene bezeichnete Ebene kann ja jede beliebige Ebene sein — die Neigung  $\beta$ , so giebt es in  $\Pi$  nur Gerade, welche mit  $g$  Winkel von  $\beta$  bis  $90^\circ$  bilden. Die, welche die Minimalneigung  $\beta$  besitzen, sind zur Projection von  $g$  auf  $\Pi$  parallel, die, welche die Maximalneigung  $90^\circ$  haben, auf derselben senkrecht; jede Zwischenneigung ist durch zwei Richtungen in  $\Pi$  vertreten, die mit jeder der beiden eben genannten Richtungen gleiche Winkel bilden.*

Ist  $\beta = 90^\circ$ , so haben alle Geraden in  $\Pi$  gegen  $g$  die Neigung  $90^\circ$ .

Wenn aber  $g$  zu  $\Pi$  parallel ist, so giebt es in  $\Pi$  Geraden von allen Neigungswinkeln (von  $0^\circ$  bis  $90^\circ$ ) gegen  $g$ , solche vom Neigungswinkel  $0^\circ$  nur in diesem Falle.

18. Wenn eine Gerade  $p$  auf einer Ebene  $\Pi$  senkrecht steht, so ist der Winkel  $(g, p)$ , den eine andere Gerade  $g$  mit  $p$  bildet, das Complement des Winkels  $(g, \Pi)$ , den  $g$  mit  $\Pi$  bildet; und der Winkel  $(E, p)$  einer Ebene  $E$  gegen  $p$  ist das Complement des Winkels  $(E, \Pi)$  dieser Ebene gegen  $\Pi$ .

Wenn  $g$  das Loth  $p$  nicht trifft, so werde sie parallel verschoben, bis sie es thut (in  $P$ ), wodurch die Winkel  $(g, p)$  und  $(g, \Pi)$  keine Aenderung erleiden. Sind  $F$  und  $S$  die Spuren von  $p$  und  $g$  in  $\Pi$ , so

ist  $FS$  die Projection  $g_1$  von  $g$ , also  $PSF$  der  $\sphericalangle (g, \Pi)$ , andererseits ersichtlich  $FPS$  der  $\sphericalangle (g, p)$ ; sie ergänzen sich zum Rechten, da  $p \perp FS$  ist.

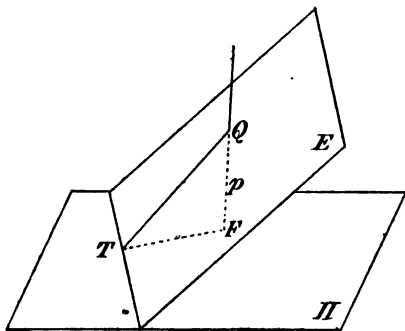


Fig. 6.

Ferner sei  $Q$  (Fig. 6) der Punkt  $pE$ , in dem  $p$  die Ebene  $E$  trifft, dann ziehe man durch  $Q$  die Spurnormale in  $E$  gegen  $\Pi$ , deren Spur  $T$  und Projection  $FT$  ist; so ist  $\sphericalangle QTF$  der Neigungswinkel  $(E, \Pi)$  (Nr. 15); also steht dessen

Ebene senkrecht auf  $E$ , mithin ist sie die Ebene, welche  $p$  auf  $E$  projectirt, also  $QT$  die Projection von  $p$  auf  $E$ , demnach  $TQF$  der Neigungswinkel  $(E, p)$ .  $TQF$  und  $QTF$  sind Complementwinkel.

Die Lothe auf zwei Ebenen bilden denselben (spitzen) Winkel, wie die Ebenen selbst.

Die Ebenen seien  $E$  und  $\Phi$ , die Lothe  $p$  und  $q$ . Weil  $q$  und  $\Phi$  rechtwinklig sind, so ist  $\angle(p, q) = 90^\circ - \angle(p, \Phi)$ , und weil  $p$  und  $E$  senkrecht sind, so ist  $\angle(E, \Phi) = 90^\circ - \angle(p, \Phi)$ ; daher  $\angle(p, q) = \angle(E, \Phi)$ .

19. Es seien nun  $g$  und  $l$  zwei — im allgemeinen windschiefe — Geraden; wir wollen die Winkel der Ebenen durch  $g$  gegen  $l$  betrachten. Sei  $\Pi$  eine zu  $l$  normale Ebene, so ist nach Nr. 18 der Winkel  $(l, E)$  einer Ebene  $E$  gegen  $l$  das Complement von  $(E, \Pi)$ .

Wenn  $E$  durch  $g$  geht, so bewegt sich  $(E, \Pi)$  zwischen  $(g, \Pi)$  und  $90^\circ$  (Nr. 16) oder, da  $(g, \Pi)$  und  $(g, l)$  auch complementär sind, zwischen  $90^\circ - (g, l)$  und  $90^\circ$ , folglich  $(l, E)$  zwischen  $(g, l)$  und  $0^\circ$ .

*Man kann also durch  $g$  nicht Ebenen legen, welche mit  $l$  einen grösseren Winkel bilden als  $(g, l)$ .*

*Die Ebene durch  $g$ , welche mit  $l$  den Minimalwinkel  $0^\circ$  bildet, ist die (einzige) zu  $l$  parallele; sie steht auf der zu  $l$  normalen Ebene  $\Pi$  senkrecht. Die Ebene durch  $g$ , welche mit  $l$  den grösstmöglichen Winkel, nämlich  $(l, g)$ , bildet, steht auf jener senkrecht; denn sie muss mit  $\Pi$  den kleinstmöglichen Winkel  $(g, \Pi)$  bilden (Nr. 16).*

*Die Zwischenneigungen sind wieder stets durch je zwei Ebenen vertreten, deren Winkel durch die beiden Ebenen mit der Maximal- und der Minimalneigung gegen  $l$  halbirt werden.*

Nur wenn  $g$  mit  $l$  einen rechten Winkel bildet, geht durch sie eine Ebene, welche auf  $l$  senkrecht ist; sind ja doch alle Geraden einer Ebene, die auf einer Gerade senkrecht stehen, unter  $90^\circ$  gegen dieselbe geneigt (Nr. 17).

In diesem Falle kommen unter den Neigungen der Ebenen durch  $g$  gegen  $l$  alle von  $0^\circ$  bis  $90^\circ$  vor.

Sind dagegen  $g$  und  $l$  parallel, bilden sie also den Winkel  $0^\circ$ , so bilden auch alle Ebenen durch  $g$  mit  $l$  diesen Winkel, sind mit  $l$  parallel, wie bekannt.

20. Es seien zwei gleiche Winkel gegeben und die Schenkel des einen unter denselben Winkeln gegen  $\Pi$  geneigt wie des des andern; ferner mögen die durch die Scheitel zu  $\Pi$  parallel gelegten Ebenen beide schneiden oder beide nicht schneiden. Die Schenkel haben dann auch gleiche Neigungen gegen die aus den Scheiteln gefällten Projectionslothe, und die dreiseitigen Ecken, welche die Schenkel und solche Halbstrahlen der Lothe, mit denen gleiche Winkel von den Schenkeln gebildet werden, zu Kanten haben, sind congruent; daher sind auch die Flächenwinkel an den Lothen, d. h. die Projectionen der Winkel, gleich, sowie auch die Neigungswinkel der Lothe gegen die Gegenflächen und deren Complementary, die Neigungswinkel der Ebenen der Winkel gegen die Projectionsebene, also:

*Wenn zwei gleiche Winkel mit gleichen Neigungen der Schenkel gegen die Projectionsebene derart liegen, dass beide Winkel durch die durch den Scheitel zur Projectionsebene parallel geführte Ebene getheilt oder beide nicht getheilt werden, so haben diese Winkel gleiche Projectionen und ihre Ebenen gleiche Neigungen gegen die Projectionsebene.*

21. Wir kehren zur Betrachtung der Ebene  $E$  zurück und schliessen an Nr. 13 an.

Denken wir uns die Ebene  $E$  (durch ihren spitzen oder ihren stumpfen Flächenwinkel mit  $\Pi$ ) um ihre Spur  $s$  gedreht, bis sie mit der Projectionsebene zusammenfällt. Es ist ersichtlich, dass bei der Drehung alle Gebilde in  $E$  in ihrer Grösse und gegenseitigen Lage unverändert bleiben, die Punkte auf  $s$  verändern nicht einmal ihre Lage im Raume. Wenn also eine Gerade  $g$  in  $E$  den Punkt  $S$  (auf  $s$ ) zur Spur hat, so geht auch die Gerade  $g_0$ , mit der sie nach Vollendung der Drehung zusammenfällt, ihre Umlegung, durch  $S$  und trifft sich dort also mit der Projection  $g_1$  von  $g$ . Der Winkel, den  $g$  mit  $s$  bildet, verändert sich nicht:  $\sphericalangle(g, s) = (g_0, s)$ .

Im allgemeinen ist nun  $\sphericalangle(g, s)$  und also auch  $\sphericalangle(g_0, s)$  von  $\sphericalangle(g_1, s)$  verschieden; also fällt  $g_0$  nicht auf  $g_1$ . Ist aber  $g$  eine Spurnormale  $f$  von  $E$ , so ist  $\sphericalangle(f, s) = \sphericalangle(f_1, s) = 90^\circ$  (Nr. 14), mithin ist  $f_0$  mit  $f_1$  identisch.

*Die Spurnormalen einer Ebene kommen also beim Umlegen derselben auf ihre Projectionen zu liegen.*

Ist  $h \parallel s$ , so ist auch  $h_1 \parallel s$ , oder aber  $h_0 \parallel s$ .

*Die Umlegung  $g_0$  einer Geraden  $g$  in  $E$  und ihre Projection  $g_1$  treffen sich auf der Spur  $s$  von  $E$  oder sind beide zu ihr parallel.*

Dies gilt auch bei der Centralprojection und der allgemeinen Parallelprojection, aber die eben ausgesprochene Eigenschaft der Spurnormalen besteht nur bei der Orthogonalprojection.

Sei nun  $A$  ein Punkt von  $E$ ,  $A_1$  seine Projection,  $A_0$  seine Umlegung,  $f$  die durch  $A$  gehende Spurnormale, welche sich auf die durch  $A_1$  gehende Projection  $f_1$  legt. Man sieht demnach, dass die Verbindungslinie der Projection  $A_1$  eines Punktes  $A$  in  $E$  und seiner Umlegung  $A_0$  mit  $E$  senkrecht zur Spur  $s$  von  $E$  ist. Ist  $A'$  der Punkt, wo diese Linie die  $s$  trifft, so ist ersichtlich

$$\frac{A'A_1}{A'A_0} = \frac{A'A_1}{A'A} = \cos \alpha,$$

wenn  $\alpha$  der Neigungswinkel ( $E, \Pi$ ) ist.

*Die Umlegung eines Punktes von  $E$  liegt also stets auf dem Lothe, das aus der Projection auf die Spur von  $E$  gefällt ist, und zwar weiter als die Projection.*

Construirt man aus der Entfernung  $A_1A'$  als Kathete und dem Neigungswinkel  $\alpha$  als anliegendem Winkel das rechtwinklige Dreieck, so giebt dessen Hypotenuse die Entfernung  $A_0A'$ .

Der Fall, wo die Ebene  $E$  senkrecht zu  $\Pi$  ist, schliesst sich wohl der obigen Formel an ( $A_1$  liegt auf  $s$ , also  $A'A_1 = 0$ ), aber diese Construction wird illusorisch. Er wird also jetzt ausgeschlossen und später besonders betrachtet (Nr. 28).

$A_0$  und  $A_1$  liegen auf derselben oder auf verschiedenen Seiten von  $s$ , je nachdem die Umlegung um den spitzen oder den stumpfen Winkel ( $E, \Pi$ ) geschieht. Man zieht die Umlegung um den stumpfen Winkel vor, weil man dann meistens nicht collidirende Figuren in der Umlegung und der Projection bekommt.

Statt das rechtwinklige Dreieck aus einer Kathete und dem anliegenden Winkel zu construiren, kann man es auch (und dies geschieht sogar in den meisten Fällen) aus derselben Kathete  $A'A_1$  und der andern  $AA_1$ , dem Abstände des Punktes  $A$  von der Projectionsebene, construiren, denn derselbe wird aus einer zweiten Projectionsebene (s. zweiten Abschnitt) bekannt sein. Zur Herstellung des Dreiecks kann man den rechten Winkel ( $A'A_1, s$ ) benutzen.

Umgekehrt kann man aber auch, wenn die Umlegung  $A_0$  und der Winkel  $\alpha$  der Ebene bekannt ist, aus dem Lothe  $A_0A'$  als Hypotenuse und dem spitzen Winkel  $\alpha$  die beiden Katheten finden; die anliegende giebt die Entfernung  $A'A_1$  und damit die Projection  $A_1$ , die andere den Abstand des nach  $A_0$  umgelegten Punktes  $A$  in  $E$  von  $\Pi$ .

22. Als Anwendung dieser Umlegungs-Construction wollen wir die *constructive Ermittlung der Flächenwinkel (Winkel) einer dreikantigen Ecke, deren Kantenwinkel (Seiten) gegeben sind*, anschliessen. Wir nennen die drei Kanten  $a, b, c$  und ebenso die zugehörigen Flächenwinkel, während die gegenüberliegenden Ebenen und Kantenwinkel  $\alpha, \beta, \gamma$  heissen mögen. Einen von ihnen,  $\beta$ , wollen wir in  $\Pi$  gelegt (Fig. 7) denken, und den beiden andern gleiche seien zu beiden Seiten angelegt, so dass sie als Umlegungen der Winkel  $\alpha, \gamma$  um die Spuren  $c, a$  nach aussen aufgefasst werden können; wir nennen sie, die verschiedenen Umlegungen unterscheidend,  $\alpha'_0, \gamma''_0$ ; es sind  $b'_0, b''_0$  die beiden Umlegungen der Kante  $b$ . Zwei gleich weit vom Scheitel  $S$  entfernte Punkte  $P'_0, P''_0$  auf ihnen sind daher Umlegungen desselben Punktes  $P$  auf  $b$ . Der Punkt  $P_1$ , in dem die Lothe aus  $P'_0$  auf  $c$  und aus  $P''_0$  auf  $a$ , deren Fusspunkte  $P_c$  und  $P_a$  seien, sich treffen, ist die Projection dieses Punktes  $P$  auf  $\Pi$ . Das rechtwinklige Dreieck  $P_cP_1P''_0$ , in welchem  $P_cP''_0 = P_cP'_0$  ist, auch eine Umlegung, liefert in seinem Winkel bei  $P_c$  den Flächenwinkel an der

Kante  $c$  oder seinen Nebenwinkel, je nachdem  $P_1$  auf der andern Seite von  $c$  liegt als  $P'_0$  oder auf derselben. Aehnlich wird  $a = \alpha_0^{IV}$  construirt. Um die Grösse des Winkels bei  $b$  zu

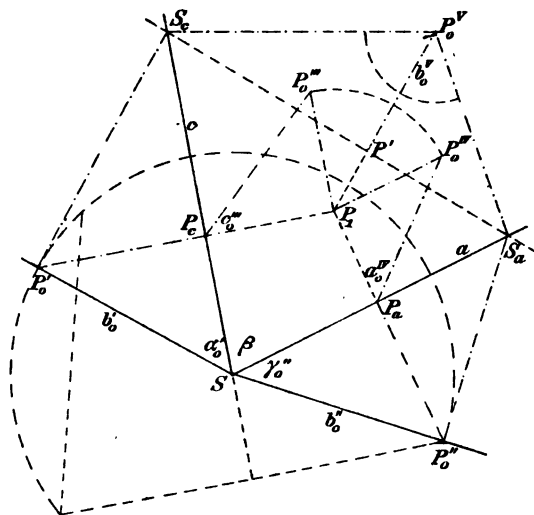


Fig. 7.

ermitteln, denken wir ihn am Punkte  $P$  construirt; die Lothe in  $P'_0$  auf  $b'_0$ , in  $P''_0$  auf  $b''_0$  sind die umgelegten Schenkel, die Schnitte  $S_c, S_a$  mit  $c, a$  ihre Spuren, also  $S_c S_a$  die Spur der Ebene dieses Winkels und aus dem Abstände  $P_1 P'$  des  $P_1$  von ihr und der Entfernung  $PP_1 = P_0''' P_1 = P_0^{IV} P_1$  als Katheten

construiren wir die Hypotenuse  $P' P_0^{IV}$  auf  $P_1 P'$  und haben in  $S_c P_0^{IV} S_a$  den gesuchten Winkel  $b = b_0^V$ .

Zur Möglichkeit der Auflösung ist nothwendig, dass  $P'_0 P_c > P_c P_1$  und  $P''_0 P_a > P_a P_1$  ist; man weise nach, dass das bedingt, dass einer (und dann jeder) der drei Winkel  $\alpha, \beta, \gamma$  zwischen der Summe und der Differenz der beiden anderen liegt.

23. In Nr. 21 ergaben sich uns zwei in  $\Pi$  befindliche ebene Systeme oder „Felder“ von Punkten und Geraden, von denen das eine aus den Umlegungen, das andere aus den Projectionen der Punkte und Geraden einer Ebene  $E$  besteht. Jedem Punkte  $P_0$ , jeder Gerade  $g_0$  des einen Systems entspricht ein Punkt  $P_1$ , bzw. eine Gerade  $g_1$  des andern Systems, welche beide demselben Punkte  $P$ , bzw. derselben Gerade  $g$  in  $E$  entsprechen, und umgekehrt. Liegt  $P_0$  auf  $g_0$ , so liegt  $P$  auf  $g$  und  $P_1$  auf  $g_1$ ; und umgekehrt, liegt  $P_1$  auf  $g_1$ , so muss  $P$  auf  $g$  (Nr. 6,8), also auch  $P_0$  auf  $g_0$  liegen, weil die Umlegung daran nichts ändert.

Entsprechende Geraden  $g_0$  und  $g_1$  treffen sich auf  $s$  oder sind zu  $s$  parallel (Nr. 21); die Verbindungslinien entsprechender Punkte  $P_0$  und  $P_1$  sind alle auf  $s$  normal (Nr. 21), also unter einander parallel.

Diese Beziehung der beiden Felder nennt man *homologische* (oder *perspective*) *Affinität*.

Die Umlegung einer Ebene und ihre Projection sind also (homologisch) affin.\*)

Die Spur  $s$  der Ebene heisst die *Affinitätsaxe*; alle ihre Punkte entsprechen sich selber.

Die parallelen Verbindungslinien entsprechender Punkte, welche den Spurnormalen von  $E$  und also (Nr. 21) sich selbst entsprechen, heissen *Affinitätsstrahlen*.

Wird bei der schrägen Parallelprojection dieselbe Umlegung mit einer Ebene vorgenommen, wie eben bei der orthogonalen, so ergibt sich gleichfalls Affinität, aber nicht mit zu  $s$  normalen Affinitätsstrahlen; bei der Centralprojection aber haben die Verbindungslinien entsprechender Punkte einen Punkt (Centrum) gemein, nicht die Richtung. Die Beziehung heisst dann Homologie (oder auch perspective oder centrische Collineation). Wir werden sie in Nr. 120 genauer betrachten.

24. Kennt man bei der Affinität die Axe  $s$ , die Richtung der Affinitätsstrahlen

(welche in unserem Falle normal zur Axe ist) und ein Paar entsprechender Punkte  $A_0$  und  $A_1$  — wobei also in unserem Falle  $A_0$  stets weiter von der Axe  $s$  entfernt ist als  $A_1$  —, so ist die ganze Affinität bestimmt; d. h. man kann zu jedem Punkte, jeder Gerade des einen Feldes den entsprechenden Punkt, die entsprechende Gerade im andern construiren (Fig. 8). Es sei  $X_0$  ein beliebiger zweiter Punkt des ersten

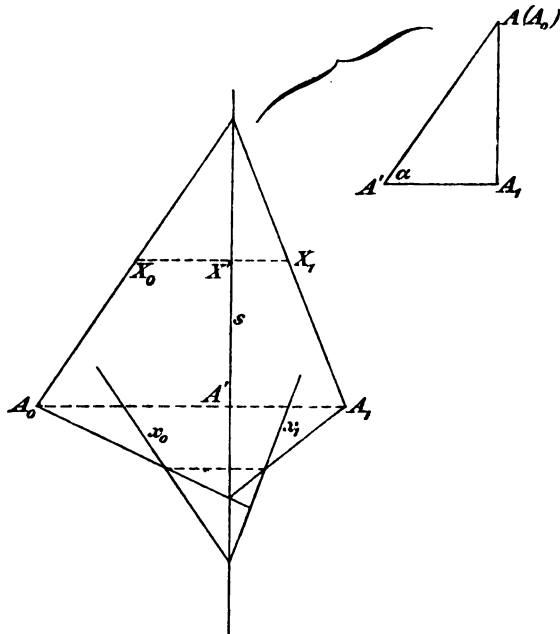


Fig. 8.

des hier durch die Umlegung entstandenen —, so findet man  $X_1$  als den Schnitt des Affinitätsstrahls durch  $X_0$ , also des Loths aus  $X_0$  auf  $s$  mit der Gerade,

\*) Da in diesem Buche keine Gelegenheit ist, die *allgemeine* Affinität kennen zu lernen, so können wir den den speciellen Fall charakterisirenden Zusatz weglassen.

welche der  $A_0X_0$  entspricht, mithin durch  $X_1$  geht und sich mit  $A_0X_0$  auf  $s$  begegnet (bezw. zu  $s$  parallel ist, wenn das bei  $A_0X_0$  der Fall ist). In umgekehrter Weise findet man aus  $X_1$  den Punkt  $X_0$ . Soll zu einer Gerade  $x_0$  die entsprechende  $x_1$  gesucht werden, so suche man den entsprechenden Punkt irgend eines Punktes auf  $x_0$  und verbinde ihn mit dem Schnittpunkte  $x_0s$ , bezw. zieht durch ihn zu  $s$  die Parallele, wenn  $x_0 \parallel s$  ist; ebenso findet man  $x_0$  aus  $x_1$ .

Dass die Affinität bestimmt sein musste, wenn die *Axe* und ein Paar entsprechender Punkte  $A_0, A_1$  (ausser der hier von selbst gegebenen Richtung der Affinitätsstrahlen) bekannt ist, erhellt auf der Stelle; denn ist wieder  $A'$  der Punkt  $(A_0A_1, s)$ , so geben  $A'A_0 (= A'A)$  als Hypotenuse und  $A_1A'$  als eine Kathete eines rechtwinkligen Dreiecks in der andern Kathete  $AA_1$  den Abstand des Punktes  $A$ , dessen Projection  $A_1$  ist, von  $\Pi$ . Nun giebt es zwar zwei Punkte zu beiden Seiten von  $\Pi$ ; jeder von ihnen liefert mit  $s$  eine Ebene; aber es ist ersichtlich, dass die aus den (gleichartigen) Umlegungen dieser beiden Ebenen entstandenen Felder identisch sind; zwei Punkte in den beiden Ebenen, welche dieselbe Projection haben, kommen stets nach der Umlegung an dieselbe Stelle.

Besitzt man also ein Paar entsprechender Punkte auf Grund der Construction von Nr. 21 (mit Hilfe des rechtwinkligen Dreiecks), so kann man auf die jetzt angegebene Weise zu jedem weitem Punkte, zu jeder Gerade der Umlegung oder der Projection den entsprechenden Punkt, die entsprechende Gerade der Projection, bezw. der Umlegung construiren.

Man kann aber auch — und dies wird sich für die graphische Ausführung empfehlen — durchweg mit den rechtwinkligen Dreiecken arbeiten, weil man, besonders wenn aus der Umlegung die Projection zu construiren ist, dann gleich die Abstände der Punkte von der Projectionsebene erhält, was für die zweite Projectionsebene (s. nächsten Abschnitt) wichtig sein wird, und die Affinität als — nothwendige — Controlle benutzen.

25. In der Ebene  $E$  sei ein *Kreis*  $K$  (Fig. 9, Taf. I, wo er mit  $E$  umgelegt ist) gegeben; wir wollen *seine orthogonale Projection*  $K_1$  betrachten. Die Durchmesser des Kreises projeciren sich in Strecken, welche durch die Projection  $C_1$  des Centrums  $C$  ebenfalls halbt werden; dieselben heissen auch für die Curve  $K_1$  *Durchmesser* und  $C_1$  das *Centrum* von  $K_1$ . Aber die Durchmesser von  $K_1$  sind nicht gleich, weil sie verschiedene Neigungen gegen  $\Pi$  haben; die beiden zu einander senkrechten Durchmesser  $a$  und  $b$  von  $K$ , welche zu der Spur  $s$  parallel, bezw. normal sind, haben, weil sie die kleinste und grösste

Neigung gegen  $\Pi$  besitzen, zu Projectionen den grössten und kleinsten Durchmesser von  $K_1$ ; dieselben sind nach Nr. 13 ebenfalls zu einander senkrecht: sie heissen *die Axen der Kreisprojection* (grosse, kleine Axe). Die Längen der *halben Axen* bezeichnen wir auch mit  $a, b$ ; ist  $r$  der Radius des Kreises und  $\alpha$  der Winkel ( $E, \Pi$ ), so ist  $a = r, b = r \cos \alpha$ .

Sonst projiciren sich zwei zu einander normale Durchmesser nicht in wieder zu einander normale; aber eine andere Eigenschaft bleibt erhalten. Von zwei zu einander normalen Durchmessern eines Kreises halbt jeder die dem andern parallelen Sehnen und die Tangenten in seinen Endpunkten sind zum andern parallel. Man nennt deshalb diese Durchmesser *conjugirte*. Da Parallelismus und Halbiring durch Parallelprojection nicht verloren gehen, so gilt auch für die Durchmesser der Kreisprojection, welche von conjugirten Durchmessern des Kreises herühren, dass jeder die dem andern parallelen Sehnen halbt. Und da die Tangente einer Curve definirt wird als die Verbindungslinie zweier unendlich naher Punkte der Curve, so ist zunächst ersichtlich, dass die Projection der Tangente einer Curve Tangente an die Projection ist; ferner dass die Tangenten an die Kreisprojection in den Endpunkten des einen von zwei Durchmessern, welche Projectionen zweier conjugirter Kreisdurchmesser sind, dem andern parallel sind.

Kurz: *Conjugirte Durchmesser eines Kreises projiciren sich wieder als conjugirte Durchmesser.*

Dass aber die Tangente auf dem nach ihrem Berührungspunkte gehenden Durchmesser senkrecht steht, geht nicht vom Kreise auf seine Projection über.

Die Projection des Kreises ist die Curve, welche *Ellipse* genannt wird.

Jede zum spurparallelen Durchmesser von  $K$  normale Sehne von der Länge  $2s$  projicirt sich in eine zur grossen Axe von  $K_1$  normale Sehne von der Länge  $2s_1 = 2s \cos \alpha$ ; sodass  $s_1 : s = b : a$ . Daraus folgt die bekannte *Construction der Ellipse*: Man schlägt über den beiden Axen  $2a, 2b$  als Durchmessern Kreise, schneidet sie mit einem Halbstrahle aus dem Mittelpunkt in  $\mathcal{A}, \mathcal{B}$ , zieht durch  $\mathcal{A}$  die Senkrechte zur grossen Axe, durch  $\mathcal{B}$  die zur kleinen; der Schnittpunkt beider ist ein Punkt der Ellipse.

Bei schräger Parallelprojection ergibt sich auch eine Ellipse aus dem Kreise, und was über die conjugirten Durchmesser gesagt ist, bleibt bestehen; nur die rechtwinkligen conjugirten Durchmesser, die Axen, ergeben sich nicht aus den Durchmessern des Kreises, welche spurparallel und spurnormal sind.

In Folge der Affinität ist ersichtlich, dass jede Tangente des um-



gelegten Kreises sich mit der Tangente an die Projection im entsprechenden Punkte, weil sie entsprechende Geraden sind, auf der Spur trifft (bez. beide zu derselben parallel sind); was für die Construction der Tangente wesentlich ist. Sollte der Begegnungspunkt mit  $s$  unbequem liegen, so würde man zur Bestimmung der Tangente noch von einem beliebigen zweiten Punkte die Projection construiren.

Zur Uebung mag noch empfohlen werden: die Curve in einer (durch Spur und Neigungswinkel) gegebenen Ebene zu zeichnen, deren Projection ein Kreis ist.

Sie ist ebenfalls eine Ellipse; aber sie hat ihre kleine Axe parallel zur Spur, die grosse senkrecht darauf.

26. Es sei  $F$  der Inhalt eines Trapezes in der Ebene  $E$ , dessen parallele Gegenseiten  $g_1, g_2$  zur Spur parallel sind; die Höhe sei  $h$ . Es projecirt sich in ein Trapez vom Inhalte  $F_1$  mit den ebenfalls parallelen Gegenseiten  $g_1, g_2$  und der Höhe  $h_1 = h \cos \alpha$ ; denn der rechte Winkel zwischen den Grundlinien und der Höhe bleibt erhalten;  $\alpha$  ist wiederum der Winkel  $(E, \Pi)$ , unter dem ja auch  $h$  gegen  $\Pi$  geneigt ist. Daher ist:

$$F_1 = \frac{1}{2}(g_1 + g_2)h \cos \alpha = F \cos \alpha.$$

Analoges gilt für ein Dreieck, dessen Grundlinie spurparallel ist. Jede andere geschlossene ebene Figur theilt man durch spurparallele Geraden — die, wenn die Figur krummlinig umschlossen ist, unendlich nahe liegen — in solche Trapeze und Dreiecke. Weil die erhaltene Formel für die Theilfiguren und ihre Projectionen gilt, so gilt sie auch für die ganzen Figuren. Also:

*Das Verhältniss des Flächeninhalts der Orthogonalprojection einer ebenen Figur zu dem der Figur selbst ist gleich dem Cosinus des Neigungswinkels der Ebene der Figur gegen die Projectionsebene.*

Der Inhalt der Ellipse als Projection eines Kreises vom Radius  $r$  ist also  $r^2 \cos \alpha \cdot \pi$ , mithin  $ab\pi$ .

Wenn die Ebene einer Figur zur Projectionsebene parallel ist, so ist  $F_1 = F$  (Nr. 8), also  $\cos \alpha = 1$ ,  $\alpha = 0^\circ$ . —

Auch bei der schrägen Parallelprojection ist das genannte Verhältniss für alle Figuren einer Ebene (und der zu ihr parallelen Ebenen) ein constantes.

27. Mit Hilfe der Umlegung mag noch eine Vergleichung der Grösse eines Winkels und seiner Projection vorgenommen werden. Wir nehmen an, dass beide Schenkel des Winkels die Spur seiner Ebene treffen; dasselbe geschieht dann auch in der Projection. In den anderen Fällen ersetzt man, um sie auf diesen Fall zurückzuführen,



Berührungspunkte  $F'''$ , der zwischen  $F_0$  und  $F''$  liegt, die Lage von  $F_1$  an, bei welcher  $\varphi_1$  das Maximum erreicht; zwei gleich weit von  $F'''$  abstehende Punkte gehören gleichen Winkeln  $\varphi_1$  an; ist  $F_1$  in  $F''$ , so ist  $\varphi_1 = \varphi$ ; liegt  $F_1$  zwischen  $F''$  und  $F'$ , so ist  $\varphi_1 < \varphi$ . Also während  $\alpha$  von  $0^\circ$  bis  $90^\circ$  wächst, wächst  $\varphi_1$  von  $\varphi$  bis zu dem Maximalwerth  $DF'''E$  und fällt, zunächst die eben erhaltenen Werthe bis  $\varphi$  nochmals durchlaufend, bis  $0^\circ$ .

Umgekehrt, ist  $\varphi_1$  constant, so sei  $F^{IV}$  der zweite Schnittpunkt des Kreises  $DF_1E$  mit  $F'F_1$ . Liegt  $F^{IV}$  zwischen  $F'$  und  $F_1$ , so ist, weil  $F_0$  jenseits  $F_1$  liegen muss,  $\varphi$  stets  $< \varphi_1$  und fällt von  $\varphi_1$  bis  $0^\circ$ . Liegt aber  $F^{IV}$  jenseits  $F_1$ , wo dann auch  $F'''$  liegen muss, so wächst  $\varphi$  zunächst von  $\varphi_1$  bis zu einem Maximalwerthe  $DF'''E$  und fällt dann bis  $0^\circ$ .

28. *Steht eine Ebene E senkrecht auf  $\Pi$* , so reducirt sich die ganze Projection auf die Spur; es kommt also durch Umlegung und Projection keine Affinität zu stande. Die rechtwinkligen Dreiecke, welche zur Construction der Umlegung von Punkten dienen (Nr. 21), schrumpfen, weil die in  $\Pi$  befindliche Kathete null ist, in gerade Linien zusammen; um die *Umlegung* zu bewirken, ist es nothwendig, die in E hineinfallenden und auf der Spur senkrechten Abstände der Punkte von  $\Pi$  zu kennen. Kennt man diese — und sobald mit zwei Projectionsebenen gearbeitet wird, sind sie bekannt —, so ist die Umlegung einer Figur in einer zu  $\Pi$  senkrechten Ebene wesentlich einfacher, als in einer zu  $\Pi$  schrägen Ebene; man hat nur diese Abstände in den Projectionen der Punkte, die ja auf der Spur liegen, senkrecht zu dieser Spur zu errichten, und zwar nach derselben oder verschiedenen Seiten der Spur, je nachdem die Abstände auf derselben oder verschiedenen Seiten der Projectionsebene liegen.

Kennt man z. B. die Projection einer Strecke und die Abstände der Endpunkte von  $\Pi$ , so erhält man durch die Umlegung der projectirenden Ebene die *wahre Länge der Strecke und ihren Neigungswinkel gegen ihre Projection, d. i. gegen die Projectionsebene* (Nr. 11).

29. Statt eine Ebene E um ihre Spur  $s$  in die Projectionsebene  $\Pi$  umzulegen, empfiehlt es sich oft — besonders wenn der beschränkte Raum auf dem Zeichenblatte es erfordert —, sie *um eine Spurparallele  $h$  in die durch dieselbe gehende Parallelebene  $\Pi^*$  zu  $\Pi$  umzulegen*;  $\Pi^*$  ist eine Projectionsebene, durch welche wir  $\Pi$  vorübergehend ersetzen;  $h$  ist die Spur von E in  $\Pi^*$ . Die Umlegung in  $\Pi^*$  und die Projection in  $\Pi^*$  sind ersichtlich affin mit  $h$  als Axe. Projectiren wir nun diese beiden Figuren von  $\Pi^*$  in  $\Pi$ , so erhalten wir zwei zu ihnen congruente Figuren, die daher auch affin sind mit  $h_1$  als Axe und dazu

senkrechten Affinitätsstrahlen. An Stelle der Abstände eines Punktes  $P$  von  $\Pi$  und  $s$  und der Projection  $P_1$  von  $s$  sind die (gewöhnlich kleineren und deshalb bequemer) Abstände des  $P$  von  $\Pi^*$  und  $h$ , des  $P_1$  von  $h_1$  getreten (Fig. 11).

$P_0^*$  ist die Umlegung von  $P$  in  $\Pi^*$ ,  $P_0$  die Projection von  $P_0^*$  in  $\Pi$ , nicht die Umlegung von  $P$  in  $\Pi$ ; diese ist  $P_0'$ .

Steht die umzulegende Ebene auf  $\Pi$  normal, so ist  $h_1$  mit  $s$  identisch. Will man die *wahre Länge einer Strecke* ermitteln, so wird die

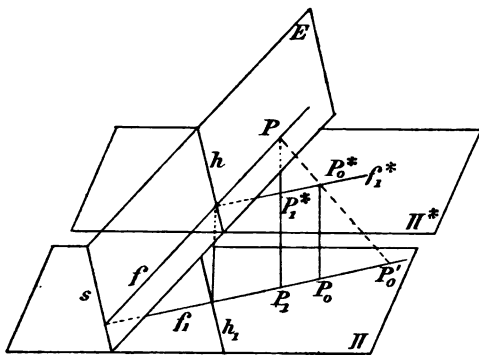


Fig. 11.

projicirende Ebene in die durch den einen Endpunkt gehende  $\Pi^*$  umgelegt; es tritt dann an Stelle des (ev. verschlungenen) Trapezes, das von der Projection der Strecke, den umgelegten Abständen der Endpunkte und der umgelegten Strecke selbst eingeschlossen ist, ein rechtwinkliges Dreieck, dessen Katheten die Projection und die *algebraische* Differenz der Endpunktabstände sind und dessen Hypotenuse die umgelegte Strecke ist. Diese Construction führt besonders dann zur Raumerparniss, wenn die Endpunkte auf derselben Seite von  $\Pi$  liegen, die algebraische Differenz eine wirkliche Differenz ist; während im andern Falle diese Figur oft zu gross wird und die Trapezfigur vorzuziehen ist.

Man erhält auch hier den Neigungswinkel der Geraden gegen die  $\Pi$  (oder, was dasselbe, gegen  $\Pi^*$ ).

30. Ist eine Gerade  $g$  zu einer Ebene  $E$  im Punkte  $F$  normal, so ist sie zu allen durch  $F$  in  $E$  gezogenen Geraden normal, also auch zu der durch  $F$  gehenden Spurparallele  $h$ ; der rechte Winkel  $(g, h)$  bleibt, weil der eine Schenkel zur Projectionsebene parallel ist, erhalten (Nr. 13);  $g_1$  ist demnach senkrecht zu  $h_1$ , mithin auch zu den Projectionen aller Spurparallelen und zur Spur von  $E$ .

*Wenn also eine Gerade  $g$  zu einer Ebene  $E$  normal ist, so ist ihre Orthogonalprojection  $g_1$  zu der Spurlinie  $s$  und den Projectionen der Spurparallelen von  $E$  normal.*

Dieser sehr werthvolle Satz gilt nur für die Orthogonalprojection; und da jede  $g_1$  in  $\Pi$  Projection von  $\infty^2$  Geraden ist, so ist seine Umkehrung nicht richtig.

Die durch den Fusspunkt  $F$  gehende Spurnormale  $f$  von  $E$  hat,

weil  $f_1$  durch  $I'_1$  geht und zu  $s$  normal ist, dieselbe Projection wie  $g$ ; liegen ja auch ersichtlich beide in derselben zu  $\Pi$  normalen Ebene.

Kennt man den Neigungswinkel  $\alpha$  und die Spur  $s$  einer Ebene  $E$ , ferner die Projection  $P_1$  eines Punktes  $P$  und den Abstand desselben von  $\Pi$ , so ist leicht sein Abstand von  $E$  zu ermitteln; denn ist  $F$  der Fusspunkt dieses Abstandslothes und  $S$  der des von  $P_1$  auf  $s$  gefällten Lothes, so sind die für die Construction des (bisweilen verschlungenen) Vierecks  $PP_1SF$  nothwendigen Stücke bekannt.

31. a) Steht  $E$  normal auf  $\Pi$ , so ist der Fusspunkt des aus  $P_1$  auf die Spur  $s$  gefällten Lothes die Projection des Fusspunktes des aus  $P$  auf  $E$  gefällten Lothes, und jenes Loth ist diesem gleich, weil letzteres parallel zu  $\Pi$  ist.

b) Ist eine Gerade  $g$  normal zu  $\Pi$ , so ist die Projection des aus einem Punkte  $P$  auf sie gefällten Lothes die Verbindungslinie von  $P_1$  mit dem Punkte, in den sich  $g$  projicirt; und auch hier ist die Projection dem Lothe gleich.

c) Wenn eine Gerade  $g$  parallel zu  $\Pi$  ist, so ist das aus  $P_1$  auf  $g_1$  gefällte Loth die Projection des aus  $P$  auf  $g$  gefällten Lothes (Nr. 13).

d) Wenn  $E$  zu  $\Pi$  normal und  $g$  zu  $E$  parallel ist, so ist die Projection von  $g$  zu der Spur (Projection) von  $E$  parallel, denn die projicirende Ebene von  $g$  ist mit  $E$  parallel.

e) Sind zwei Ebenen  $E$  und  $\Phi$  beide auf  $\Pi$  normal, so giebt der Winkel ihrer Spuren ihren Neigungswinkel; weil  $\Pi$  zur Schnittlinie  $E\Phi$  senkrecht ist.

f) Wenn zwei Ebenen  $E$  und  $\Phi$  zu einander normal sind und die eine zu  $\Pi$  senkrecht ist, so bilden die Spuren einen rechten Winkel;

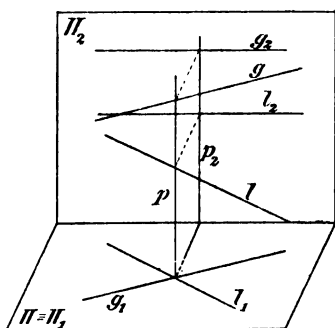


Fig. 12.

in der That, es sei  $\Phi$  die zu  $\Pi$  senkrechte, sie ist dann auf der Schnittlinie von  $E$  und  $\Pi$ , der Spur von  $E$ , senkrecht, und folglich ist diese auch normal zur Spur von  $\Phi$ .

32. Wenn zwei (im allgemeinen windschiefe) Geraden  $g$  und  $l$  zu  $\Pi$  parallel sind (Fig. 12), so ist der Winkel ihrer Projectionen, welche ihnen bez.

parallel sind, gleich ihrem eigenen Winkel (Nr. 17). Durch jede der beiden Geraden geht eine Ebene  $\gamma$ , bez.  $\lambda$ , welche zur andern parallel ist, die, welche sie in der Richtung dieser andern projicirt. Diese beiden Ebenen  $\gamma$ ,  $\lambda$  sind einander parallel, weil die

Richtungen von  $g$  und  $l$  in beiden enthalten sind, und sind auch zu  $\Pi$  parallel. Jede Gerade, welche mit  $g$  und  $l$  rechte Winkel bildet, ist zu  $\gamma$ ,  $\lambda$  und  $\Pi$  normal, projicirt sich demnach als Punkt; diejenige (einzige)  $p$  unter diesen Geraden, welche zugleich beide schneidet, hat den Punkt  $g_1 l_1$  zur Projection.

Nehmen wir eine andere Projectionsebene dazu, welche zur früheren senkrecht, also zu diesem gemeinsamen Loth parallel ist. Da jeder der beiden rechten Winkel  $(g, p)$ ,  $(l, p)$  einen zu dieser Projectionsebene parallelen Schenkel hat, so sind ihre Projectionen  $(g_2, p_2)$ ,  $(l_2, p_2)$  auf die zweite Projectionsebene ebenfalls rechte Winkel, also  $g_2 \parallel l_2$ ;  $\gamma$  und  $\lambda$  sind die nach  $g_2$  und  $l_2$  projicirenden Ebenen. Die Strecke auf  $p$  zwischen den beiden Fusspunkten projicirt sich in der neuen Projectionsebene in wahrer Grösse als eines der Lothe zwischen den Parallelen  $g_2$  und  $l_2$ .

Schneiden sich  $g$  und  $l$ , so fallen  $g_2$  und  $l_2$  zusammen: das gemeinsame Loth  $p$  steht auf ihrer Ebene im Schnittpunkte senkrecht und die Fusspunkte haben sich in diesem vereinigt.

33. Wenn eine ebene Figur oder ein ganzes ebenes Feld in zwei verschiedenen Weisen durch Parallelstrahlen auf die nämliche Ebene  $\Pi$  projicirt wird, so sind die beiden Projectionen affin (Fig. 13).

In der That, die beiden Projectionen  $g_1$  und  $g'$  einer Gerade  $g$  des Feldes schneiden sich in der Spur der Gerade, also immer auf der Spur der Ebene  $E$ , in der das Feld liegt; ferner alle die Ebenen, welche die beiden Projektionsstrahlen  $PP_1$ ,

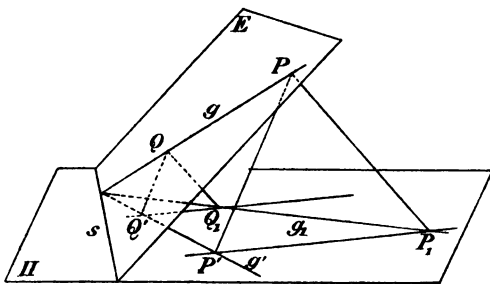


Fig. 13.

$PP'$  eines Punktes  $P$  verbinden, sind parallel, weil sie die Richtungen der einen und andern Projektionsstrahlen enthalten; folglich sind auch die Spuren dieser Ebenen parallel; das sind aber die Verbindungslinien je der beiden Projectionen  $P_1, P'$ ; diese Geraden sind übrigens auch die Projectionen der einen Projektionsstrahlen in der Richtung der andern. Und endlich, wenn  $P_1$  auf  $g_1$  liegt, dann liegt (Nr. 6)  $P$  auf  $g$  und daher wiederum  $P'$  auf  $g'$ ; und ebenso umgekehrt. Damit sind die Eigenschaften der Affinität bewiesen; Axe der Affinität ist die Spur der Ebene; Affinitätsstrahlen sind jene Geraden  $P_1 P'$ .

Der Schatten, den eine Figur auf eine Ebene wirft bei parallelen Lichtstrahlen, ist nichts anderes als Parallelprojection. Daher sind die

*Parallelprojection einer ebenen Figur und der Schatten, den sie bei parallelen Lichtstrahlen auf die Projectionsebene wirft, affin; Affinitätsaxe* ist die Spur der Ebene, Affinitätsstrahlen sind die Projectionen der Lichtstrahlen oder die Schatten der Projectiionsstrahlen.

An die Stelle der Affinität tritt Homologie, wenn mindestens eine der beiden Projectionen central ist; die Verbindungsebenen zusammengehöriger Projectiionsstrahlen gehen durch die Gerade, welche das Centrum der einen Projection in der Richtung der andern projicirt oder beide Centren verbindet, und die Verbindungslinien der beiden Projectionen eines Punktes (Homologiestralen) laufen in den Schnittpunkt dieser Gerade mit  $\Pi$  zusammen.

34. Es scheint an dieser Stelle geeignet, die sogenannte *perspective Ansicht vom Parallelismus* einzuführen. Wenn in einer Ebene um einen festen Punkt eine Gerade sich bewegt, also einen Strahlenbüschel beschreibt, so hat jeder Strahl desselben mit einer festen Gerade der Ebene einen Punkt gemein, mit Ausnahme eines einzigen Strahls, nämlich des zur festen Gerade parallelen. Dieser hat mit der festen Gerade statt eines Punktes die Richtung gemein. Bei der Centralprojection oder Perspective ist erkannt worden, dass eine gemeinsame Richtung von Geraden im allgemeinen in einen Punkt übergeht und dass bisweilen Punkte in Richtungen übergehen. Man hat deshalb an Stelle von Richtung das Wort Punkt gesetzt und hat sich überzeugt, dass dies in allen Sätzen, bei denen man es nur mit Lagen-, nicht mit Masseigenschaften zu thun hat, unbedenklich geschehen kann; dies führt zu zahlreichen Vereinfachungen, weil Sätze, welche sonst selbständig neben einander aufgeführt werden müssen, sich unter einander subsumiren und viele Doppelsätze in einfache sich verwandeln.

Indem der gemeinsame Punkt des beweglichen Strahls des obigen Büschels mit der festen Gerade, je mehr der Strahl sich der Parallellage nähert, sich immer weiter nach der einen Seite entfernt und nachdem er bei der Parallellage und nur bei derselben verloren gegangen, auf der andern Seite wieder erscheint und zurückkommt, kann man diesen „uneigentlichen“ gemeinsamen Punkt, den man zwei parallelen Geraden anstatt der gemeinsamen Richtung zuschreibt, nur in unendliche Entfernung versetzen, und zwar ebensogut auf der einen Seite der Gerade als auf der andern. Wie eine Gerade nur eine Richtung, so kann sie also auch nur einen unendlich fernen Punkt haben. Es giebt dann in einer Ebene so viele unendlich ferne Punkte als sie Richtungen enthält, folglich als es Strahlen in einem Strahlenbüschel giebt, mithin  $\infty^1$ , so viele, wie eine gerade Linie Punkte enthält.

Man ersieht, dass nach dieser Ansicht die Doppelsätze: „Zwei

Geraden in derselben Ebene haben einen Punkt oder die Richtung gemein“ und „Zwei Geraden mit gemeinsamem Punkt oder gemeinsamer Richtung bestimmen eine Ebene“ in die einfachen Sätze übergehen: „Zwei Geraden derselben Ebene haben einen Punkt gemein“ und „Zwei Geraden mit gemeinsamem Punkt bestimmen eine Ebene.“

35. Zwei Ebenen haben entweder eine Gerade oder die „Stellung“ gemein, d. h. sie sind parallel; in Bezug auf Gerade und Stellung gilt nun ähnliches wie für Punkt und Richtung; man hat daher Stellung ersetzt durch „unendlich ferne Gerade“ und schreibt also jeder Ebene eine (einzige) unendlich ferne Gerade zu, den Inbegriff aller ihrer unendlich fernen Punkte. Der obige Doppelsatz verwandelt sich dann in den einfachen: Zwei Ebenen haben jederzeit eine Gerade gemein.

Parallele Ebenen haben also ihre unendlich ferne Gerade gemein.

Jede Gerade hat mit einer Ebene, in der sie nicht liegt, einen Punkt gemein, oder sie ist ihr parallel, d. h. sie ist einem System von Parallelen in der Ebene parallel, ihre Richtung ist in der Ebene enthalten; sie hat also mit jenen parallelen Geraden die Richtung, mithin den unendlich fernen Punkt gemein, also hat sie ihn auch mit der Ebene, in der diese Geraden liegen, gemein.

Folglich geht der Doppelsatz wieder in den einfachen über: Jede Gerade hat mit einer Ebene, welcher sie nicht angehört, einen Punkt gemein.

Zu jeder Gerade einer Ebene kann man in jeder zu der Ebene parallelen Ebene Parallelen ziehen; also jede Richtung einer Ebene ist auch in jeder zu derselben parallelen Ebene enthalten; oder ihre unendlich fernen Punkte hat eine Ebene mit allen ihr parallelen gemein; diese Punkte liegen auf der gemeinsamen unendlich fernen Gerade; was eben nichts anderes heisst als: jede Ebene, die dieselbe Stellung hat, wie die betrachtete Ebene, besitzt auch alle ihre Richtungen. Wenn man infolge dessen sagt: Eine Gerade, welche einer Ebene parallel ist, trifft deren unendlich ferne Gerade (weil sie mit einem System paralleler Geraden in der Ebene parallel ist), so ist dies, da sie ja in einer zu der Ebene parallelen Ebene liegt, nun blos ein specieller Fall des Satzes: Eine Gerade, die in der einen von zwei Ebenen liegt, trifft die andere auf der Schnittlinie.

Unendlich ferne Punkte und Geraden giebt es also im Raume so viele, als es Richtungen und Stellungen giebt, also so viele als durch einen Punkt Geraden und Ebenen gehen, je  $\infty^2$ ; mithin so viele als Punkte und Geraden in einer Ebene liegen. Dies stimmt wieder mit der Ansicht, nach der alle unendlich fernen Punkte und Geraden des Raumes in einer Ebene gedacht werden, „der unendlich fernen



Ebene des Raumes“, auf die hier jedoch nicht weiter eingegangen werden soll.

Alle  $\infty^1$  Geraden einer Ebene von gegebener Richtung bilden einen Strahlenbüschel, alle  $\infty^2$  Geraden des Raumes von gegebener Richtung einen Strahlenbündel mit unendlich fernem Scheitel. Alle  $\infty^1$  Ebenen von gegebener Stellung bilden einen Ebenenbüschel mit unendlich ferner Axe.

36. Eine Gerade parallel zu einer andern führen heisst jetzt: sie durch deren unendlich fernen Punkt ziehen; eine Ebene parallel zu einer Gerade oder Ebene construiren heisst: sie durch den unendlich fernen Punkt der Gerade, bez. die unendlich ferne Gerade der Ebene legen.

Der Satz: „Durch einen Punkt ist zu einer Gerade eine und nur eine Parallele möglich“ subsumirt sich unter den Satz: „Durch zwei Punkte ist eine und nur eine Gerade möglich.“

Die Sätze:

Durch einen Punkt lässt sich zu zwei (nicht parallelen) Geraden, durch eine Gerade lässt sich zu einer andern Gerade, und durch einen Punkt lässt sich zu einer Ebene jederzeit eine und nur eine parallele Ebene legen

sind nun specielle Fälle der beiden Sätze:

Durch drei nicht in gerader Linie befindliche Punkte und durch eine Gerade und einen ihr nicht angehörenden Punkt lässt sich jederzeit eine und nur eine Ebene legen.

Die Sätze: Eine Parallele zu einer Ebene, die mit ihr einen Punkt gemein hat, liegt ganz in ihr, und:

Eine Parallele zu einer Ebene liegt ganz in der Ebene, die durch einen Punkt auf ihr parallel zur Ebene geführt ist,

sind besondere Fälle des Satzes: Eine Gerade, die mit einer Ebene zwei Punkte gemein hat, liegt ganz in ihr.

Der Satz: Wenn durch eine Parallele zu einer Ebene eine andere Ebene gelegt wird, so ist die Schnittlinie beider Ebenen zu ihr parallel,

ist ein specieller Fall des Satzes: Wenn durch eine Gerade, die eine Ebene schneidet, eine andere Ebene geht, so geht die Schnittlinie beider Ebenen durch den Schnittpunkt der Gerade und der ersteren Ebene.

Die Sätze: Werden durch zwei parallele Geraden Ebenen gelegt, so ist ihre Schnittlinie den beiden parallelen Geraden parallel, und: Wenn eine Gerade in einer Ebene mit einer in einer andern Ebene parallel ist, so sind sie beide der Schnittlinie der Ebenen parallel, sind

in folgendem enthalten: Gehen durch zwei sich schneidende Geraden Ebenen, so geht ihre Schnittlinie durch den Schnittpunkt derselben; oder: Ein Punkt, der auf zwei Ebenen liegt, gehört ihrer Schnittlinie an; oder: Wenn eine Gerade in einer Ebene eine Gerade in einer andern Ebene trifft, so kann es nur auf der Schnittlinie geschehen.

In dem Doppelsatze:

Die drei Schnittlinien von drei Ebenen laufen in einen Punkt zusammen oder sind parallel,

ist der zweite Theil nun überflüssig, weil im ersten enthalten.

Der Satz: Wenn zwei Ebenen zwei Richtungen gemein haben (oder, wie gewöhnlich gesagt wird, wenn die Schenkel eines Winkels in der einen Ebene mit denen eines Winkels in der andern parallel sind), so sind die beiden Ebenen parallel und haben alle Richtungen gemein,

subsumirt sich unter den Satz:

Haben zwei Ebenen zwei Punkte gemein, so haben sie deren ganze Verbindungslinie gemein.

37. Aber auch Maasseigenschaften, wie die Rechtwinkligkeit, können der perspectiven Ansicht angepasst werden.

Alle Senkrechten auf einer Ebene  $\alpha$  sind parallel, also haben sie denselben unendlich fernen Punkt  $A_\infty$ , durch den aber auch die zu der Ebene  $\alpha$  senkrechten Ebenen gehen, da sie den senkrechten Geraden parallel sind.

Weil zwei Punkte eine Gerade, ein Punkt und eine Gerade eine Ebene bestimmen, so geht also durch jeden Punkt eine und nur eine senkrechte Gerade, durch eine Gerade eine und nur eine senkrechte Ebene zu einer gegebenen Ebene.

Zwei zu  $\alpha$  senkrechte Ebenen haben eine zu  $\alpha$  senkrechte Schnittlinie; denn beide gehen durch  $A_\infty$ , also thut es auch die Schnittlinie.

Steht  $\beta$  senkrecht auf  $\alpha$ , so muss jede zu  $\alpha$  senkrechte Gerade, die durch einen eigentlichen Punkt von  $\beta$  geht, ganz in  $\beta$  liegen, weil sie mit ihr dann zwei Punkte gemein hat.

Alle Ebenen, die auf derselben Gerade  $\alpha$  senkrecht stehen, haben, weil sie parallel sind, dieselbe unendlich ferne Gerade. Folglich geht durch jeden Punkt eine und nur eine zu der Gerade senkrechte Ebene.

38. Die Parallelprojection wird nach der perspectiven Ansicht ein specieller Fall der Centralprojection, d. h. alle Sätze der letzteren, die nicht gerade ein endliches Centrum voraussetzen, gelten auch für die Parallelprojection.

Ferner ist nun, wenn die Punkte und Geraden einer Ebene aus einem endlichen Centrum auf eine andere Ebene projicirt werden,

durchweg richtig, dass jeder Punkt, jede Gerade sich wieder in einen Punkt, eine Gerade projicirt, es haben nun *ausnahmslos* alle Punkte und alle Geraden bei der Centralprojection Projectionen; sind die Projectionsstrahlen, bez. projicirenden Ebenen zur Projectionsebene parallel, so sind die Projectionen uneigentlich, unendlich fern.

Bei der Parallelprojection hat jeder endliche Punkt einen endlichen und jeder unendlich ferne einen unendlich fernen zur Projection, d. h. jede Richtung eine Richtung (Nr. 7).

Jede Gerade  $g$  hat nach dieser Auffassung eine Spur in der Projectionsebene  $\Pi$ ; ist sie zu  $\Pi$  parallel, so ist der gemeinsame unendlich ferne Punkt von  $g$  und  $g_1$  die Spur. Die Spurparallelen einer Ebene haben also ihre Spurpunkte alle im unendlich fernen Punkte der Spur der Ebene (Nr. 13), und in dem Doppelsatze von Nr. 21: Die Umlegung  $g_0$  einer Gerade  $g$  von  $E$  und ihre Projection  $g_1$  treffen sich auf der Spur  $s$  von  $E$  oder sind beide ihr parallel, kann der zweite Theil wegfallen.

Jede Ebene hat nun eine Spur in  $\Pi$ ; ist sie zu  $\Pi$  parallel, so ist dieselbe die unendlich ferne Gerade von  $\Pi$ .

Die (homologische) Affinität ergibt sich als Specialfall der Homologie (vergl. Nr. 33); das Centrum ist unendlich fern geworden.

39. Entfernt sich der Schnittpunkt einer um einen festen Punkt beweglichen Gerade mit einer festen Gerade immer mehr, wie in Nr. 34, so wird ihr Winkel immer kleiner und wird null, wenn der Parallelismus eintritt (vergl. Nr. 11).

Ebenso wird der Winkel einer um einen festen Punkt beweglichen Gerade gegen eine Ebene immer kleiner, je weiter sich der Schnittpunkt entfernt, und null, wenn die Gerade mit der Ebene parallel wird.

Soll eine um eine feste Gerade  $a$  bewegliche Ebene mit einer festen Ebene  $\alpha$  parallel werden können, so muss  $a$  zu  $\alpha$  parallel sein (Nr. 16); dann bleibt die Schnittlinie mit  $\alpha$  zu sich (und zu  $a$ ) parallel, und je weiter sie sich entfernt, desto kleiner wird der Neigungswinkel der beiden Ebenen; wenn der Parallelismus erreicht, die gemeinsame Gerade ins Unendliche gelangt, also an ihre Stelle die gemeinsame Stellung getreten ist, wird er null (vergl. Nr. 26).

## Zweiter Abschnitt.

## Darstellung auf zwei Projectionsebenen.

40. Wir haben (Nr. 10, 12) gesehen, dass ein Punkt, eine Gerade durch ihre Projection auf einer (einzigen) Projectionsebene noch nicht bestimmt ist. Ebenso genügt die Spur in einer Projectionsebene nicht zur Bestimmung einer Ebene; würde noch der Neigungswinkel gegen die Projectionsebene hinzugefügt, so würde dadurch zwar die Ebene (freilich immer noch zweideutig) bestimmt, aber diese Bestimmung durch Spur und Neigungswinkel graphisch wenig bequem sein.

Man führt deshalb noch *eine zweite Projectionsebene* ein. *Dieselbe stellt man gewöhnlich auf die erste senkrecht*, und zwar wird die erste im allgemeinen horizontal, die andere also vertical vorgestellt und danach auch genannt und entsprechend die auf ihnen befindlichen Projectionen; die horizontale Projectionsebene heisst wohl auch Grundrissebene, die verticale Aufrissebene, und daher die Projectionen Grundrissprojection, Aufrissprojection oder kurz Grundriss, Aufriss.\*)

Wir behalten aber der Kürze und der grösseren Allgemeinheit halber, da die Horizontal- und Verticalstellung nicht nothwendig ist, die Namen erste und zweite Projectionsebene bei, bezeichnen sie mit  $\Pi_1$ ,  $\Pi_2$ , und die auf ihnen gelegenen Projectionen ebenfalls mit den (unteren) Zeigern (Indices) 1, 2;  $\Pi_1$  ist dabei die gewöhnlich horizontal vorgestellte.

Es giebt  $\infty^1$  horizontale Ebenen; sie bilden einen Parallelebenenbüschel. Jede enthält  $\infty^2$  Geraden, die sämmtlich horizontal sind; daher giebt es  $\infty^3$  horizontale Geraden, in jeder nicht horizontalen Ebene giebt es  $\infty^1$ .

Die verticalen Strahlen und verticalen Ebenen gehen alle durch den unendlich fernen Punkt in senkrechter Richtung zu den horizontalen Ebenen (Nr. 37) und bilden einen Strahlenbündel und Ebenenbündel mit diesem uneigentlichen Punkte als Scheitel; es giebt  $\infty^2$  verticale Geraden und ebenso viele verticale Ebenen. In jeder Ebene eines Bündels liegen  $\infty^1$  Strahlen desselben, und durch jeden Strahl des Bündels gehen  $\infty^1$  von seinen Ebenen. Dies gilt also auch für den Bündel der verticalen Strahlen und Ebenen. Zwei verticale Ebenen schneiden sich in einer verticalen Gerade, zwei verticale Geraden sind durch eine verticale Ebene verbunden.

---

\*) Bisweilen werden freilich die Spuren von Ebenen Risse genannt, was sich jedoch nicht empfiehlt.

In einer beliebigen Ebene befindet sich keine verticale Gerade, durch jede Gerade aber geht eine verticale Ebene.

41. Die Schnittlinie der beiden Projectionsebenen  $\Pi_1, \Pi_2$  heisst *Projectionssaxe* (Grundlinie); sie soll mit  $a$  bezeichnet werden. Sie theilt jede der beiden  $\Pi$  in zwei Hälften, eine positive und eine negative, bezeichnet mit  $\Pi_1^+, \Pi_1^-$ ; bez.  $\Pi_2^+, \Pi_2^-$ ; sind die beiden  $\Pi$  bez. horizontal und vertical, so wird der für den Beschauer vordere Theil von  $\Pi_1$  und der obere von  $\Pi_2$  als positive Hälfte angenommen. Der Raum wird durch die beiden  $\Pi$  in vier Theile getheilt, welche der erste, zweite, dritte, vierte Raum heissen, je nachdem sie von  $\Pi_1^+, \Pi_2^+$ ;  $\Pi_1^-, \Pi_2^+$ ;  $\Pi_1^-, \Pi_2^-$ ;  $\Pi_1^+, \Pi_2^-$  eingeschlossen werden.

*Um nun alles auf einem Blatte zeichnen zu können, wird die eine Projectionsebene um die Projectionssaxe umgelegt, bis sie mit der anderen zusammenfällt, und zwar geschieht das Umlegen stets so, dass Halbebenen mit entgegengesetzten Zeichen, also  $\Pi_1^+$  und  $\Pi_2^-$ ,  $\Pi_1^-$  und  $\Pi_2^+$  auf einander zu liegen kommen und, indem die Axe horizontal gezogen wird, jene unterhalb, diese oberhalb derselben. Im Geiste sind die Ebenen und die auf ihnen befindlichen Projectionen stets wieder in die richtige Lage zurückzubringen.*

In Bezug auf das Resultat ist es gleichgültig, welche der beiden Ebenen in die andere umgelegt wird; wir wollen daher den unbestimmten Ausdruck: „vereinigte Projectionsebenen“ gebrauchen, man könnte auch beide drehen und einander entgegen bringen. Bei Zeichnungen auf dem Reissbrette wird man die verticale Ebene in die horizontale umlegen, bei solchen auf der Wandtafel diese in jene.

Bei vielen Constructionen kommt es nur auf die Richtung der Axe an, nicht auf ihre Lage.

#### a) Darstellung des Punktes.

42. Die Fusspunkte  $P_1, P_2$  (Fig. 14\*) der aus einem Punkte  $P$  im Raume auf  $\Pi_1, \Pi_2$  gefällten Lothe  $p_1, p_2$  sind also seine beiden Projectionen: diese Lothe  $PP_1, PP_2$  selbst messen den Abstand von  $P$  von  $\Pi_1, \Pi_2$  und heissen sein erster, bez. zweiter Abstand. Da die beiden Lothe einen Punkt ( $P$ ) gemein haben, so erzeugen sie eine Ebene, welche, weil sie durch die zu  $\Pi_1, \Pi_2$  normalen Geraden  $PP_1, PP_2$  geht, auch auf diesen Ebenen selbst senkrecht steht, mithin auch auf deren Schnittlinie, der Axe  $a$ . Treffe sie dieselbe in  $P_a$ , so sind

\*) In Fig. 14a liegt  $P$  im ersten,  $Q$  im zweiten Raume. In Fig. 14b sind die Projectionsebenen vereinigt.

ihre Schnittlinien mit  $\Pi_1$ ,  $\Pi_2$  bez.  $P_1P_a$ ,  $P_2P_a$  und diese, sowie auch  $PP_a$  stehen auf  $a$  senkrecht.  $P_a$  ist demnach die Projection des Punktes  $P$  auf die Projectiionsaxe  $a$ , seine Axenprojection. Ferner zeigt sich, dass die von den Projectionen  $P_1$ ,  $P_2$  eines Punktes  $P$  auf die Projectiionsaxe gefällten Lothe diese in demselben Punkte treffen, der Axenprojection von  $P$ . Die beiden Lothe  $P_1P_a$ ,  $P_2P_a$  nennt man die

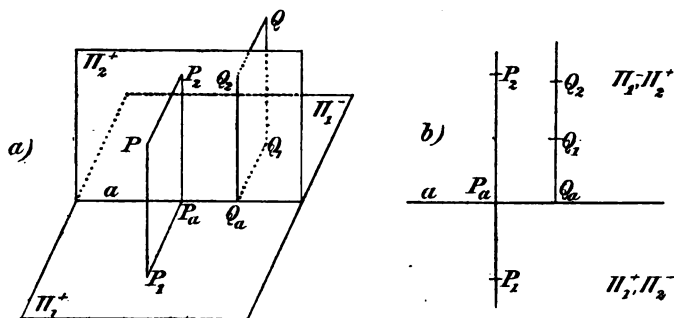


Fig. 14.

erste, zweite Ordinate des Punktes  $P$ . Eine Ordinate ist positiv oder negativ, je nachdem sie in der positiven oder negativen Halbebene der betreffenden  $\Pi$  liegt.

Sind die beiden  $\Pi$  vereinigt, so liegen diese beiden Lothe in einer Linie. Die beiden Projectionen  $P_1$ ,  $P_2$  eines Punktes in vereinigten Projectionsebenen liegen stets auf einer zur Projectiionsaxe senkrechten Gerade (Ordinatenlinie).

Dabei fallen die beiden Ordinaten  $P_1P_a$  und  $P_2P_a$  auf entgegengesetzte Seiten oder dieselbe Seite von  $a$ , je nachdem sie gleiches oder ungleiches Vorzeichen haben, also der Punkt im ersten oder dritten, oder im zweiten oder vierten Raume liegt. Die positiven ersten Ordinaten liegen stets unterhalb  $a$ , die positiven zweiten oberhalb. Wie liegen also die Projectionen eines Punktes je nach dem Raume, dem er angehört?

Zwei Punkte, bez. in  $\Pi_1$ ,  $\Pi_2$  gelegen, deren Verbindungslinie — bei vereinigten Projectionsebenen — nicht senkrecht zur Projectiionsaxe ist, oder — bei nicht vereinigten Projectionsebenen — deren Ordinaten nicht denselben Fusspunkt haben, können demnach nicht Projectionen eines und desselben Punktes im Raume sein.

Kennt man die eine Projection eines Punktes, so ist das (beiderseitig unendlich lange) Loth aus ihr auf die Axe der Ort für die andere Projection; besitzt man noch eine zweite (gerade oder krumme) Ortslinie für dieselbe, so bringt man das Loth mit ihr zum Schnitt

und nennt dieses Verfahren „die bekannte Projection auf diese Linie lothen“.

Diese Eigenschaft der beiden Projectionen eines Punktes hat auch statt, wenn die Projectionsebenen nicht einen rechten Winkel mit einander bilden, wofern nur auf beide orthogonal projicirt wird; denn die Ebene der beiden Projectiionsstrahlen eines Punktes ist auch dann senkrecht zu den beiden  $\Pi$  und zu  $a$ .

43. Umgekehrt, wenn  $P_1$  und  $P_2$  so liegen, dass  $P_1P_2$  senkrecht  $a$  (in  $P_a$ ) ist, d. h. bei nicht vereinigten Projectionsebenen, dass die aus ihnen auf  $a$  gefällten Lothe denselben Fusspunkt  $P_a$  haben, so giebt es immer einen und nur einen Punkt  $P$  im Raume, dessen Projectionen  $P_1$  und  $P_2$  sind. Denn weil  $P_1P_a$  und  $P_2P_a$  sich schneiden, so erzeugen sie eine Ebene, welche, da  $P_1P_a$  und  $P_2P_a$  auf  $a$  normal sind, ebenfalls auf  $a$  senkrecht steht und mithin auch auf den durch  $a$  gehenden Ebenen  $\Pi_1, \Pi_2$ . Alle Punkte nun, welche  $P_1$  zur ersten Projection haben, befinden sich auf dem in  $P_1$  auf  $\Pi_1$  errichteten Lothe  $p_1$ , alle, welche  $P_2$  zur zweiten Projection haben, auf dem in  $P_2$  auf  $\Pi_2$  errichteten Lothe  $p_2$ . Jenes so wie dieses liegt in der obigen Ebene, da dieselbe auf  $\Pi_1$ , bez.  $\Pi_2$  senkrecht steht und das Loth auf  $\Pi_1$ , bez.  $\Pi_2$  in einem Punkte ihrer Schnittlinie mit der Ebene errichtet ist. Da also beide Lothe in derselben Ebene liegen, so haben sie einen Punkt gemein und zwar, weil sie als Lothe auf nicht parallelen Ebenen nicht parallel sein können, jederzeit einen endlichen; mithin giebt es in der That stets einen und nur einen Punkt, welcher  $P_1$  und  $P_2$  zu seinen Projectionen hat, wenn sie die genannte Lage besitzen.

Jeder Punkt ist demnach durch seine beiden Projectionen vollständig bestimmt, d. h. theilt dieselben mit keinem andern Punkte.

44. Die Ordinate  $P_2P_a$  ist dem Abstände  $PP_1$  parallel; denn weil  $\Pi_2$  normal  $\Pi_1$  und  $P_2P_a$  in  $\Pi_2$  senkrecht  $a$  ist, so ist sie auch senkrecht  $\Pi_1$ ; ebenso ist  $P_1P_a \parallel PP_2$ ; demnach ist die Figur  $PP_1P_aP_2$  ein Rechteck, folglich auch  $P_2P_a = PP_1$  und  $P_1P_a = PP_2$ .

Also ist die zweite (erste\*) Ordinate eines Punktes gleich dem ersten (zweiten) Abstände desselben. Man kann folglich aus der zweiten (ersten) Projectionsebene an einer auf dem Zeichenblatte befindlichen Strecke den Abstand eines Punktes von der ersten (zweiten) Projectionsebene abgreifen. (Vgl. Nr. 21, 28.) Es ist demnach von Nutzen, beim „Lothen“ den Schnittpunkt der Ordinatenlinie mit der Projectionaxe stets zu markiren.

Dies, in Verbindung mit dem in Nr. 28, 29 Gesagten genügt, um

\*) Dieser Zusatz in Parenthese wird künftig im allgemeinen unterbleiben.

den Neigungswinkel  $\beta$  einer Geraden, von der zwei Punkte  $P, Q$  oder  $R, S$  durch ihre Projectionen in  $\Pi_1$  und  $\Pi_2$  gegeben sind, gegen  $\Pi_1$  (oder  $\Pi_2$ ) und die wahre Länge der Strecke zwischen diesen Punkten durch Umlegung der projicirenden Ebene in  $\Pi_1$  (oder  $\Pi_2$ ), bez. in eine Parallelebene zu  $\Pi_1$  (oder  $\Pi_2$ ) zu ermitteln.

In Figur 15a sind  $P_1P_0 = P_aP_2$  und  $Q_1Q_0 = Q_aQ_2$  senkrecht zu  $P_1Q_1$  errichtet und zwar nach verschiedenen Seiten, weil die beiden Ordinaten  $P_aP_2, Q_aQ_2$  verschiedene Vorzeichen haben;  $P_0Q_0$  ist die wahre Länge von  $PQ$  und  $\beta = (\angle P_0Q_0, P_1Q_1)$  der Neigungswinkel ( $PQ, \Pi_1$ ).

In Fig. 15b ist  $h'$  die durch  $S$  gezogene Parallele zur Spur der Ebene, welche  $RS$  auf  $\Pi_1$  projicirt, in  $\Pi_1$ , daher  $TR_2$  die algebraische Differenz der zweiten Ordinaten oder ersten Abstände der Punkte  $R, S$ ;  $R_1R_0 = TR_2$  ist senkrecht zu  $R_1S_1$  errichtet; dann ist  $S_1R_0$  die wahre Länge von  $SR$  und  $R_1S_1R_0$  der Winkel ( $RS, \Pi_1$ ).

Liegt ein Punkt in einer der beiden Projectionsebenen, so fällt er mit der betreffenden Projection zusammen; seine andere Projection befindet sich auf der Projectiionsaxe. Gehört er der Projectiionsaxe selbst an, so fällt er mit seinen beiden Projectionen zusammen.

### b) Darstellung der Gerade.

45. Die beiden Projectionen  $g_1$  und  $g_2$  einer Gerade  $g$  sind die Schnittlinien der durch  $g$  senkrecht zu  $\Pi_1, \Pi_2$  gelegten (projicirenden) Ebenen  $\gamma_1, \gamma_2$  mit  $\Pi_1$ , bez.  $\Pi_2$ .

Liegt ein Punkt  $P$  auf  $g$ , so muss sowohl  $P_1$  auf  $g_1$ , als  $P_2$  auf  $g_2$  liegen (Nr. 7).

Umgekehrt, wenn die Projectionen  $P_1$  und  $P_2$  eines Punktes  $P$  bez. auf den Projectionen  $g_1$  und  $g_2$  einer Gerade  $g$  liegen, so liegt  $P$  auf  $g$ . Denn  $g$  ist die Schnittlinie der in  $g_1$  und  $g_2$  senkrecht auf  $\Pi_1$ , bez.  $\Pi_2$  errichteten Ebenen  $\gamma_1, \gamma_2$ ,  $P$  der Schnittpunkt der in  $P_1$  und  $P_2$  auf  $\Pi_1, \Pi_2$  errichteten Lothe  $p_1, p_2$ . Da  $P_1$  auf  $g_1$  liegt, so muss  $p_1$  in  $\gamma_1$  liegen; ebenso  $p_2$  in  $\gamma_2$ . Folglich kann der Schnittpunkt  $P$  von  $p_1$  und  $p_2$  nur auf der Schnittlinie  $g$  von  $\gamma_1$  und  $\gamma_2$  sich befinden.

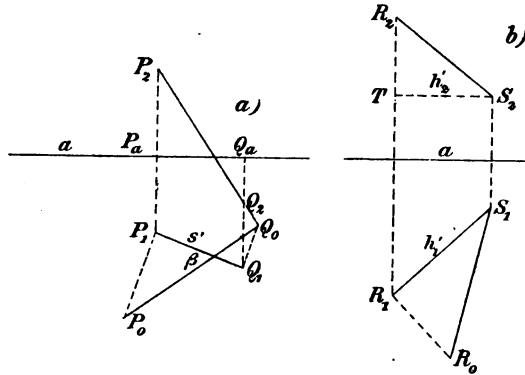


Fig. 15.



Es ist also leicht, *einen Punkt auf eine Gerade*, die durch ihre Projectionen gegeben ist, *zu legen* (Fig. 16a), d. h. seine Projectionen anzugeben, oder wenn die eine Projection eines Punktes  $P$  von  $g$  gegeben, die andere aufzufinden (Nr. 42).

Ist aber z. B.  $g_2$  normal oder nahezu normal zur Axe, so ist das Lothen unmöglich, bez. ungenau; kennt man noch die Projectionen zweier Punkte  $A$  und  $B$  von  $g$ , und will die zweite Projection  $P_2$  des auf  $g$  gelegenen Punktes  $P$ , von dem  $P_1$  bekannt ist, haben, so benutzt man den Umstand, dass

$$\frac{A_2 P_2}{B_2 P_2} = \frac{A_1 P_1}{B_1 P_1}, \text{ weil beide gleich } \frac{AP}{BP} \text{ sind (Nr. 7).}$$

Hieran kann man die Aufgabe anschliessen: *Auf eine gegebene Gerade  $g$  von einem Punkt  $P$  derselben eine gegebene Strecke aufzutragen*. Es sei  $Q$  ein zweiter Punkt der Gerade; dann construirt man nach Nr. 44 die wahre Länge  $P_0 Q_0$ , trage darauf von  $P_0$  (nach der vorgeschriebenen Seite) die gegebene Strecke als  $P_0 R_0$  ab;  $R_1$  liegt dann so auf  $g_1$ , dass  $R_1 R_0$  zu  $g_1$  senkrecht ist, und  $R_2$  ergibt sich durch Lothen auf  $g_2$ . Es sind  $P_1 R_1$ ,  $P_2 R_2$  die Projectionen der verlangten Strecke.

46. Die beiden Spuren einer Gerade heissen *ihre erste und zweite Spur* und sollen mit  $S'$ ,  $S''$  bezeichnet werden. In  $S'$ , bez.  $S''$  be-

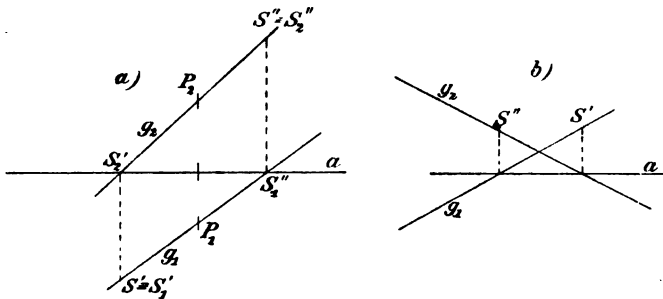


Fig. 16.

gegnet sich  $g$  mit ihrer ersten Projection  $g_1$ , bez. mit ihrer zweiten  $g_2$ .  $S'$ , weil in  $\Pi_1$  gelegen, fällt mit seiner ersten Projection zusammen, die zweite liegt also auf der Axe. Um mithin *die erste Spur einer durch ihre beiden Projectionen  $g_1$ ,  $g_2$  gegebenen Gerade  $g$  zu finden*, ermittle man (Fig. 16a und b) den Punkt  $g_2 a = S_2'$  und lothe ihn auf  $g_1$ , d. h. errichte in ihm auf  $a$  das Loth bis zum Schnitt mit  $g_1$ ; dieser Schnitt ist der gesuchte Punkt  $S'$ . Entsprechend wird  $S''$  gefunden.

Eine Gerade  $g$ , welche keiner der beiden  $\Pi$  parallel ist, hat zwei eigentliche Spuren; sie wird durch dieselben in ein endliches Stück und zwei unendlich lange getheilt, die in drei von den vier Räumen sich befinden; in den vierten gelangt sie nicht. Das endliche Stück liegt in dem Raume, welchen die die Spuren enthaltenden Projectionshalbebenen begrenzen. Eine Gerade, deren endliches Stück im ersten (zweiten) Raume liegt, kann durch Parallelverschiebung, wobei sie in dem Moment, wo sie der Axe begegnet, nur in zwei Scheiteltäumen liegt, in den dritten (vierten) Raum gebracht werden.

Trifft eine Gerade die Projectionssaxe, so begegnet sie sich dort mit ihren beiden Projectionen; beide Spuren haben sich vereinigt.

47. Wenn eine Gerade  $g$  der einen Projectionsebene  $\Pi_1$  parallel ist (ohne zur anderen normal zu sein), so ist die ungleichnamige Projection  $g_2$  der Axe parallel; denn in der zweiten projicirenden Ebene  $\gamma_2$  von  $g$  giebt es zwei Richtungen, die mit  $\Pi_1$  parallel sind, nämlich die von  $g$  nach Vor. und die der zweiten Projectionssstrahlen der Punkte von  $g$ , also ist  $\gamma_2 \parallel \Pi_1$ ; folglich sind ihre Schnittlinien mit  $\Pi_2$ , d. i.  $g_2$  und  $a$ , auch parallel. Umgekehrt, wenn  $g_2 \parallel a$  ist, so hat  $\gamma_2$ , die in  $g_2$  auf  $\Pi_2$  senkrechte Ebene, mit  $\Pi_1$  zwei Richtungen gemeinsam, die von  $g_2$  und  $a$  und die Richtung der zweiten Projectionssstrahlen; daher ist  $\gamma_2$  zu  $\Pi_1$  parallel, demnach auch die in ihr liegende  $g$ .

Man suche die Spur  $S'$  von  $g$ ; weil  $g_2 \parallel a$  ist, so ist der Punkt  $g_2 a$  unendlich fern, also auch das in ihm auf  $a$  errichtete Loth und dessen Schnittpunkt  $S'$  mit  $g_1$ . Man kann ebenso umgekehrt aus der unendlichen Entfernung von  $S'$  auf die von  $g_2 a$ , also auf den Parallelismus von  $g_2$  mit  $a$  schliessen.

Jede Gerade, die zu einer der beiden Projectionsebenen parallel ist, wird durch ihre endliche Spur (in der andern) in zwei Theile getheilt und befindet sich also nur in zwei Räumen.

Der Neigungswinkel ( $g, g_2$ ) einer mit  $\Pi_1$  parallelen Gerade  $g$  gegen die andere Projectionsebene  $\Pi_2$  stellt sich in seiner ersten Projection ( $g_1, a$ ) in wahrer Gestalt dar, weil seine Schenkel  $g$  und  $g_2$  beide zu  $\Pi_1$  parallel sind; die erste Projection von  $g_2$  ist  $a$ .

Ist eine Gerade  $g$  beiden Projectionsebenen und infolge dessen der Axe parallel, so sind auch beide Projectionen zu dieser parallel; und umgekehrt.

Beide Spuren sind unendlich fern: sie haben sich im unendlich fernen Punkt der Axe vereinigt, indem der jetzige Fall nach der perspectiven Ansicht sich dem am Ende von Nr. 46 erwähnten unterordnet.

Eine solche Gerade befindet sich nur in einem der vier Räume.

Liegt eine Gerade in einer der beiden Projectionsebenen (ohne zur andern normal zu sein), so fällt sie mit der zugehörigen Projection, die andere mit der Axe zusammen; die Axe selbst ist mit ihren beiden Projectionen identisch.

48. *Steht eine Gerade  $g$  auf der einen der beiden Projectionsebenen  $\Pi_1$  senkrecht, so ist ihre Projection  $g_1$  ein Punkt. Die andere Projection  $g_2$  steht senkrecht auf der Axe; denn die zweite projicirende Ebene  $\gamma_2$  steht als solche senkrecht auf  $\Pi_2$ , weil sie aber durch  $g$  geht, auch senkrecht auf  $\Pi_1$ , mithin auch auf der Axe, folglich steht diese auf der Schnittlinie  $\gamma_2\Pi_2 = g_2$  normal.*

Da alle Punkte von  $g$  ihre erste Projection in  $g_1$  haben, so muss — bei vereinigten Projectionsebenen — die durch den Punkt  $g_1$  gehende Ordinatenlinie durch alle Punkte von  $g_2$  gehen, also mit ihr zusammenfallen; d. h.  $g_2$  muss durch den Punkt  $g_1$  gehen.

Diese Eigenschaften bleiben bestehen, wenn der rechte Winkel zwischen  $\Pi_1$  und  $\Pi_2$  aufgegeben wird.

49. Ist eine Gerade zur Axe  $a$  normal (ohne sie gerade zu schneiden), so geht durch sie eine zu  $a$  normale Ebene (Nr. 19), welche dann auch zu beiden  $\Pi$  senkrecht ist, in der sich also beide projicirenden Ebenen vereinigen. In dem Punkte, in welchem diese Ebene auf  $a$  senkrecht steht, sind dann auch ihre Schnitte mit  $\Pi_1$ ,  $\Pi_2$ , die Projectionen, auf  $a$  normal.

*Die Projectionen einer zur Axe  $a$  rechtwinkligen Gerade stehen in demselben Punkte auf  $a$  normal und fallen daher zusammen, wenn die Projectionsebenen sich vereinigen.*

50. Legen wir uns jetzt die umgekehrte Form vor: Sind zwei Geraden  $g_1$  in  $\Pi_1$ ,  $g_2$  in  $\Pi_2$  stets Projectionen einer Gerade im Raume?

Die Geraden, welche sich in  $g_1$  auf  $\Pi_1$  projiciren, liegen in der Ebene  $\gamma_1$ , die in  $g_1$  auf  $\Pi_1$  normal ist, ebenso die in  $g_2$  auf  $\Pi_2$  sich projicirenden in der in  $g_2$  auf  $\Pi_2$  normalen Ebene  $\gamma_2$  (Nr. 12). Diese beiden Ebenen  $\gamma_1$  und  $\gamma_2$  haben im allgemeinen eine und nur eine und zwar gewöhnlich endliche Gerade gemein.

Also jede beliebige Gerade  $g_1$  in  $\Pi_1$  und jede beliebige Gerade  $g_2$  in  $\Pi_2$  sind im allgemeinen Projectionen einer (und nur einer) Gerade  $g$  im Raume; während zwei Punkte  $P_1$  (in  $\Pi_1$ ),  $P_2$  (in  $\Pi_2$ ), wenn sie Projectionen desselben Punktes im Raume sein sollen, an eine Bedingung gebunden sind (Nr. 42, 43).

*Eine Gerade ist im allgemeinen durch ihre beiden Projectionen bestimmt, d. h. theilt sie beide mit keiner andern Gerade.*

51. Es giebt aber hier Ausnahmefälle, welche davon herrühren, dass  $\gamma_1$  und  $\gamma_2$  parallel oder identisch sind, oder dass die Schnittlinie

$\gamma_1 \gamma_2$  senkrecht zu der einen  $\Pi$  wird. Sind  $\gamma_1$  und  $\gamma_2$  parallel (oder identisch), so stehen beide auf  $\Pi_1$  und  $\Pi_2$  senkrecht, also auf der Axe; mithin stehen auch ihre Schnittlinien  $g_1, g_2$  mit  $\Pi_1$ , bez.  $\Pi_2$  auf  $a$  normal. Sind  $\gamma_1$  und  $\gamma_2$  bloß parallel, so stehen  $g_1$  und  $g_2$  in verschiedenen Punkten senkrecht; also:

*Zu zwei Geraden  $g_1, g_2$ , welche bez. in  $\Pi_1, \Pi_2$  gelegen und auf der Projectionsebene, aber in verschiedenen Punkten senkrecht sind, gehört keine endliche Gerade  $g$  im Raume, deren Projectionen sie sind.*

Sind  $\gamma_1$  und  $\gamma_2$  identisch, so stehen  $g_1$  und  $g_2$  in demselben Punkte auf  $a$  normal; den identischen Ebenen  $\gamma_1$  und  $\gamma_2$  sind alle Geraden gemein.

Also: *Zwei Geraden  $g_1$  und  $g_2$ , welche bez. in  $\Pi_1, \Pi_2$  liegen und in demselben Punkte auf  $a$  normal stehen, sind gemeinsame Projectionen von  $\infty^2$  Geraden, allen Geraden der Ebene, die in diesem Punkte auf  $a$  senkrecht steht (mit Ausnahme derjenigen, die auf  $\Pi_1$  oder  $\Pi_2$  normal sind).*

Zwei solche Geraden als Projectionen fixiren also keine bestimmte Gerade im Raume; und jede Gerade, welche zwei solche Projectionen hat und dann also in einer zur Axe senkrechten Ebene liegt und deshalb selbst zur Axe (im allgemeinen windschief) senkrecht ist, ist durch diese Projectionen nicht bestimmt, sondern theilt sie noch mit  $\infty^2$  andern Geraden, muss also anders fixirt werden; was dadurch geschieht, dass entweder zwei Punkte auf ihr durch ihre Projectionen gegeben sind (denn bei Punkten findet eine solche Unbestimmtheit nie statt) oder ihre Projection auf einer dritten Ebene, die zu keiner der beiden ersten parallel ist, hinzugefügt wird.

Die Schnittlinie  $\gamma_1 \gamma_2$  wird auf einer  $\Pi$  senkrecht sein, z. B. auf  $\Pi_1$ , wenn  $g_2$  so liegt, dass  $\gamma_2$  nicht bloß auf  $\Pi_2$ , sondern auch auf  $\Pi_1$  senkrecht ist, d. h. wenn  $g_2$  zu  $a$  normal ist.

*Zwei Geraden  $g_1, g_2$  bez. in  $\Pi_1, \Pi_2$ , von denen die eine, z. B.  $g_2$ , senkrecht auf der Axe ist, die andere nicht, entspricht keine Gerade im Raume, von der sie die Projectionen sind; denn die Schnittlinie der zugehörigen Ebenen  $\gamma_1, \gamma_2$  hat zwar in  $\Pi_2$  die  $g_2$ , in  $\Pi_1$  aber nur einen Punkt von  $g_1$  zur Projection. Es wurde vorhin in Nr. 50 der Satz von Nr. 12 benutzt ohne Berücksichtigung des parenthetischen Zusatzes, der also in diesem Ausnahmefalle zur Geltung kommt.*

Lassen wir aber die Auffassung (Nr. 4, 8) gelten, dass als Projection einer solchen in einen Punkt sich projecirenden Gerade jeder Strahl um diesen Punkt in der Projectionsebene angesehen werden kann, so kann  $g_1$  als Projection aufgefasst werden; und wir haben keine Ausnahme.

52. Haben zwei Geraden  $g$  und  $l$  die eine Projection gemein, z. B.  $g_1 \equiv l_1$ , ohne dass dasselbe für die andere gilt, so sind sie verschieden. Beide liegen dann in der gemeinsamen ersten projicirenden Ebene ( $\tau_1 \equiv \lambda_1$ ) und haben also gewöhnlich einen endlichen Punkt gemein, ausnahmsweise ihren unendlich fernen oder sind parallel. Ist das letztere der Fall, so müssen ihre zweiten Projectionen  $g_2, l_2$  parallel sein, und umgekehrt, wenn  $g_2 \parallel l_2$ , so ist auch  $g \parallel l$  (Nr. 8). Schneiden sich  $g$  und  $l$ , so ist die zweite Projection des Punktes  $gl$  der Punkt  $g_2 l_2$ , durch dessen Herablothen auf  $g_1 \equiv l_1$  die erste Projection erhalten wird.

*Also sind zwei Geraden, welche die eine Projection gemeinsam haben, nie windschief, sondern schneiden sich oder sind parallel; und ob dies oder jenes der Fall ist, ist an ihren andern Projectionen zu erkennen.*

53. Wenn zwei Geraden  $g = (g_1, g_2)$  und  $l = (l_1, l_2)$ , welche keine ihrer gleichnamigen Projectionen gemeinsam haben, sich schneiden, so müssen  $g_1$  und  $l_1$  in der ersten Projection,  $g_2$  und  $l_2$  in der zweiten Projection des Schnittpunktes sich begegnen, und daher muss — Vereinigung der Projectionsebenen vorausgesetzt — die Verbindungslinie

der Punkte  $g_1 l_1$  und  $g_2 l_2$  senkrecht zur Axe sein.

Wenn  $g$  und  $l$  parallel sind, so sind sowohl  $g_1$  und  $l_1$ , als  $g_2$  und  $l_2$  parallel (Nr. 7).

Schneiden sich also sowohl  $g_1$  und  $l_1$  in einem (endlichen) Punkte, als auch  $g_2$  und  $l_2$  und liegen diese Punkte  $g_1 l_1$  und  $g_2 l_2$  so, dass sie nicht Projectionen eines Punktes sein können (Nr. 42, 43), so sind die Geraden  $g$  und  $l$  windschief (Fig 17).

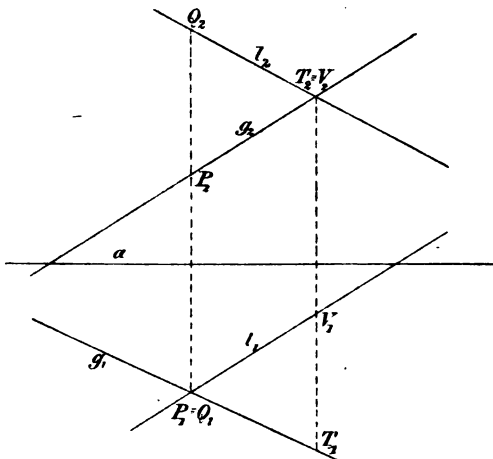


Fig. 17.

Das in  $g_1 l_1$  auf  $\Pi_1$  errichtete Loth trifft dann die beiden Geraden  $g$  und  $l$  in verschiedenen Punkten  $P$  und  $Q$ , welche beide  $g_1 l_1$  zur ersten Projection haben, dagegen verschiedene zweite Projectionen  $P_2, Q_2$ , welche von der durch  $g_1 l_1$  gehenden Ordinatenlinie geliefert werden. An der Lage von  $P_2, Q_2$  erkennt man, dass die Gerade  $l$  an der Stelle, wo sie sich für einen, der in der Richtung der ersten Projectiionsstrahlen (streng genommen aus unendlicher Entfernung) von der positiven Seite der  $\Pi_1$  her sieht, *scheinbar* mit  $g$  schneidet, *über*  $g$

geht. Das in  $g_2 l_2$  auf  $\Pi_2$  errichtete Loth trifft ebenfalls  $g$  und  $l$  in verschiedenen Punkten  $T, V$ , deren erste Projectionen  $T_1, V_1$  die durch  $g_2 l_2$  gehende Ordinatenlinie giebt. Die Lage von  $T_2, V_2$  zeigt, dass die Gerade  $g$  an der Stelle, wo sie sich für einen, der in der Richtung der zweiten Projectiionsstrahlen von der positiven Seite der  $\Pi_2$  her sieht, mit  $l$  zu kreuzen *scheint*, vor  $l$  läuft.

54. Wir haben aber noch umgekehrt nachzuweisen, dass, wenn die Verbindungslinie von  $g_1 l_1$  und  $g_2 l_2$  normal zur Axe ist,  $g$  und  $l$  einen Punkt gemeinsam haben, also in derselben Ebene liegen. Da  $g_1 l_1 = P_1$  und  $g_2 l_2 = P_2$  eine zu  $a$  normale Verbindungslinie haben, so sind sie Projectionen eines und desselben Punktes  $P$  im Raume (Nr. 43); weil nun  $P_1$  auf  $g_1$ ,  $P_2$  auf  $g_2$  liegt, so liegt  $P$  auf  $g$ ; ebenso weil  $P_1$  auf  $l_1$ ,  $P_2$  auf  $l_2$  liegt, liegt  $P$  auf  $l$ .

Wenn sowohl  $g_1 \parallel l_1$ , als auch  $g_2 \parallel l_2$ , so ist auch  $g \parallel l$ .

Da  $g_1 \parallel l_1$ , so sind die in ihnen auf  $\Pi_1$  senkrechten Ebenen  $\gamma_1$  und  $\lambda_1$  ebenfalls parallel; ebenso ist  $\gamma_2 \parallel \lambda_2$ , weil  $g_2 \parallel l_2$ . Legt man eine beliebige Ebene normal zu  $g = \gamma_1 \gamma_2$ , also auch normal auf  $\gamma_1$  und  $\gamma_2$ , so ist sie auch normal zu den parallelen Ebenen  $\lambda_1, \lambda_2$ , mithin auch zu deren Schnittlinie  $l$ ; so dass  $g$  und  $l$  beide auf derselben Ebene senkrecht sind.

Sind  $g_1$  und  $l_1$  parallel,  $g_2$  und  $l_2$  aber nicht (oder umgekehrt), so sind  $g$  und  $l$  windschief.

Hat  $g$  in der einen  $\Pi$ , z. B. in  $\Pi_1$ , einen Punkt zur Projection, so schneidet sie die Gerade  $l = (l_1, l_2)$ , oder ist zu ihr windschief, je nachdem der Punkt  $g_1$  auf  $l_1$  liegt, oder nicht. Im ersteren Falle sind die Punkte  $g_1$  und  $g_2 l_2$  die Projectionen des Schnittpunktes.

Werden eine Anzahl von Strecken (Kräften) durch Parallelverschiebung unter Festhaltung ihrer Länge und ihres Sinnes aneinander gereiht, so dass Endpunkt und Anfangspunkt zweier aufeinander folgenden zusammenfallen, so erhält man ihr Streckenpolygon (Kräftepolygon)  $C_0 C_1 C_2 \dots C_n$ . Die Schlussstrecke  $C_0 C_n$  heisst ihre *geometrische Summe*.

Man construirt für durch ihre Projectionen dargestellte Strecken diese geometrische Summe. Handelt es sich um Kräfte, deren Wirkungslinien durch einen Punkt gehen, so ist die ebenfalls auf eine Gerade durch diesen Punkt verlegte geometrische Summe ihre Resultirende.

55. Für vereinigte Projectionsebenen gilt Folgendes. Liegt ein Punkt im ersten oder dritten Raume, so befinden sich seine Projectionen auf verschiedenen Seiten der Projectiionsaxe und können nicht sich decken. Hingegen können Punkte des zweiten oder vierten Raumes *zusammenfallende Projectionen* haben, sobald nämlich ihre bei-

den Ordinaten oder Abstände absolut gleich sind. *Offenbar haben alle Punkte der Ebene  $\Gamma$ , welche den Flächenwinkel zwischen  $\Pi_2^+$  und  $\Pi_1^-$  und den Scheitel-Flächenwinkel  $(\Pi_1^+, \Pi_2^-)$  halbiert, und nur die Punkte dieser Ebene vereinigte Projectionen.*

Eine Gerade  $g$ , welche in  $\Gamma$  liegt, hat daher auch identische Projectionen, und umgekehrt, eine Gerade mit sich deckenden Projectionen liegt in  $\Gamma$ .

Die Ebene  $\Gamma$  heisst deshalb *die Ebene der Deckelemente*.

Die beiden Projectionen  $g_1$  und  $g_2$  irgend einer Gerade  $g$  haben einen Punkt gemein: in ihm sind die Projectionen des Schnittpunktes von  $g$  mit  $\Gamma$  vereinigt. Je nachdem also  $g_1$  und  $g_2$  einen endlichen Punkt gemein haben, oder ihren unendlich fernen, also parallel sind, oder ganz identisch sind; ist  $g$  gegen  $\Gamma$  geneigt, oder zu ihr parallel, oder liegt ganz in  $\Gamma$ .

Die Ebene  $\Sigma$ , welche die Winkel  $(\Pi_1^+, \Pi_2^+)$  und  $(\Pi_1^-, \Pi_2^-)$  halbiert, enthält alle Punkte, deren Projectionen zu beiden Seiten gleich weit entfernt von  $a$ , also symmetrisch in Bezug auf  $a$  liegen. Jede Gerade in  $\Sigma$  hat Projectionen, die einander und die Gerade selbst auf  $a$  treffen und deren Winkel durch  $a$  halbiert wird (bez. wenn sie beide und die Gerade selbst zu  $a$  parallel sind, gleichweit von  $a$  abstehen), mithin ebenfalls in Bezug auf  $a$  symmetrisch sind. Ist eine Gerade parallel zu  $\Sigma$ , so bilden ihre Projectionen gleiche Winkel mit  $a$ , ohne sich auf  $a$  zu schneiden und ohne einander parallel zu sein. Auf jeder andern Gerade  $g$  giebt es einen (endlichen) Punkt, dessen Projectionen in Bezug auf  $a$  symmetrisch sind, den Punkt  $g\Sigma$ .

Auch bei Projectionsebenen  $\Pi_1, \Pi_2$ , welche nicht einen rechten Winkel bilden, ist die eine der Halbirungsebenen der Flächenwinkel eine Ebene  $\Gamma$  der Deckelemente und die andere eine Ebene  $\Sigma$  der Elemente mit symmetrischen Projectionen.

### c) Darstellung der Ebene.

56. Jede Ebene  $E$  hat in jeder der beiden Projectionsebenen *eine Spur, die erste  $s'$  und die zweite  $s''$ . Trifft  $E$  die Projectionssaxe, so gehen durch diesen Punkt (Axenschnitt) beide Spuren; ist  $E$  der Axe parallel, so sind auch beide Spuren ihr parallel.*

Nach der perspectiven Ansicht vereinigt sich beides in den Satz: Die beiden Spuren einer Ebene treffen sich auf der Axe.

Jede der Spuren fällt mit ihrer gleichnamigen Projection zusammen, die andere ist die Axe.

Der Winkel, den die Spuren bei vereinigten Projectionsebenen bilden, ist natürlich nicht ihr eigentlicher Winkel.

Wir haben *erste und zweite Spurparallelen*  $h', h''$ . Weil  $h'$  zu  $s'$  parallel ist, so ist es auch die gleichnamige Projection  $h'_1$  (Nr. 6, 8); weil ferner  $h'$  zu  $\Pi_1$  parallel ist, so ist  $h'_2$  zu  $a$  parallel (Nr. 47); oder auch: die Projectionen  $h'_2$  und  $a$  von  $h'$  und  $s'$  auf  $\Pi_2$  sind parallel, weil  $h'$  und  $s'$  es sind. Ebenso ist  $h''_2$  zu  $s''$  und  $h''_1$  zu  $a$  parallel.

*Die gleichnamigen Projectionen einer Spurparallele sind zur gleichnamigen Spur parallel, die ungleichnamigen zur Axe.*

57. Ist  $E$  parallel zu einer Projectionsebene, z. B. zu  $\Pi_1$ , so hat sie nur eine endliche Spur  $s''$ , die andere  $s'$  ist unendlich fern.

*Die endliche zweite Spur und die Axe sind parallel* als Schnitte der parallelen Ebenen  $E$  und  $\Pi_1$  mit  $\Pi_2$ .

Also trifft auch  $s''$  die Axe  $a$  im unendlich fernen Punkte, wie die unendlich entfernte  $s'$ , und der obige Satz bleibt bestehen.

Da  $E$  auf  $\Pi_2$  senkrecht steht, so ist  $s''$  auch die zweite Projection von  $E$ .

*Es sei  $E$  normal zu einer Projectionsebene*, z. B. zu  $\Pi_1$ , ohne der andern parallel zu sein;  $s'$  schneidet dann  $a$  in einem endlichen Punkte und *die zweite Spur  $s''$  steht in diesem Punkte auf  $a$  normal*; denn sie ist die Schnittlinie der beiden zu  $\Pi_1$  normalen Ebenen  $E$  und  $\Pi_2$ , also selbst zu  $\Pi_1$  normal, folglich auch zu  $a$ .

Da  $\Pi_1$  auf  $E$  und auf  $\Pi_2$  normal ist, so ist der Winkel der Geraden  $s'$  und  $a$ , in denen diese von jener getroffen werden, der Neigungswinkel von  $E$  gegen  $\Pi_2$ .

Die Umlegung einer solchen Ebene in die  $\Pi_1$  ist der Hauptsache nach schon in Nr. 28 besprochen worden;  $P_1 P_0$  für einen Punkt in ihr steht in  $P_1$  auf der Spur  $s'$  senkrecht und ist gleich der zweiten Ordinate  $P_a P_2$  (Fig. 18). Aber auch die Umlegung in die andere Projectionsebene  $\Pi_2$  ist einfach; man überträgt  $P_1$  durch einen Kreisbogen um den Axenschnitt  $s's''$ , immer in demselben Drehsinne, auf die Axe und schneidet das Loth auf  $a$  in dem erhaltenen Punkte  $P'_{1,0}$  mit der Parallele durch  $P_2$  zur Axe; der Schnittpunkt ist die gewünschte Umlegung  $P'_0$  von  $P$ .

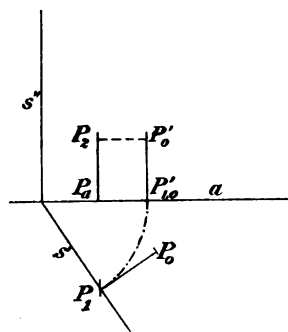


Fig. 18.

Steht eine Ebene  $E$  auf beiden Projectionsebenen, mithin auch auf  $a$  senkrecht, so stehen beide Spuren in demselben Punkte auf  $a$  normal und decken sich bei vereinigten Projectionsebenen.

Die Geraden einer solchen Ebene sind durch ihre Projectionen nicht bestimmt (Nr. 51), wohl aber die Punkte. Durch jeden Punkt im Raume geht eine zu  $a$  senkrechte Ebene.



58. Wenn zwei Ebenen parallel sind, so ist jede der Spuren der einen Ebene mit der gleichnamigen der andern parallel, weil sie Schnitte von parallelen Ebenen mit einer dritten sind.

Umgekehrt, sind die Spuren einer Ebene (ohne selbst parallel zu sein) mit denen einer andern Ebene parallel, so sind auch beide Ebenen parallel; denn diese Ebenen enthalten dann Winkel mit parallelen Schenkeln. Sind hingegen die Spuren der einen und der andern Ebene selbst schon parallel, so kann man nur auf den Parallelismus der Ebenen (und also auch ihrer Schnittlinie) mit der Axe schliessen.

59. Wenn die Gerade  $g$  auf der Ebene  $E$  senkrecht steht, so ist sowohl  $g_1$  senkrecht auf  $s'$  und den  $h_1'$ , als auch  $g_2$  auf  $s''$  und den  $h_2''$  (Nr. 30).

Wir fanden dort, dass, wenn man blos weiss, dass  $g_1$  auf  $s'$  (oder einer  $h_1'$ ) senkrecht ist, man keinen Schluss machen kann.

Nunmehr aber gilt der Satz:

Wenn  $g_1$  senkrecht ist auf  $s'$  oder einer  $h_1'$  (und dann allen) und zugleich  $g_2$  senkrecht auf  $s''$  oder einer  $h_2''$  (und dann allen), so steht  $g$  senkrecht auf der Ebene  $E$ , von der  $s'$ ,  $s''$  die Spuren und die  $h'$ ,  $h''$  Spurparallelen sind; vorausgesetzt jedoch, dass  $g$  vollständig durch ihre Projectionen  $g_1$ ,  $g_2$  bestimmt ist, d. h. dass die projicirenden Ebenen  $\gamma_1$ ,  $\gamma_2$  von  $g$  sich nicht decken (Nr. 51).

In der That, da  $s'$  auf  $g_1$  normal ist, der Schnittlinie der beiden zu einander senkrechten Ebenen  $\Pi_1$  und  $\gamma_1$ , und in  $\Pi_1$  liegt, so ist sie zu  $\gamma_1$  normal und folglich auch die durch  $s'$  gehende Ebene  $E$  auf  $\gamma_1$  senkrecht. Aus der zweiten Voraussetzung:  $g_2 \perp s''$  folgt ebenso, dass  $E$  senkrecht zu  $\gamma_2$  ist; folglich steht auch die Schnittlinie  $g$  von  $\gamma_1$ ,  $\gamma_2$  auf  $E$  senkrecht.

Dieser Schluss wird ersichtlich hinfällig, wenn  $\gamma_1$  und  $\gamma_2$  identisch sind. — Beachten wir aber, dass im Beweise die Rechtwinkligkeit von  $\Pi_1$  und  $\Pi_2$  nicht vorkommt, also nicht vorausgesetzt zu werden braucht.

60. Durch ihre beiden Spuren ist eine Ebene eindeutig bestimmt, ausser in dem Falle, wenn sie sich in der Axe vereinigen, wo man dann zur vollständigen Bestimmung der Ebene noch einen ihr angehörigen Punkt geben kann. Aber diese Bestimmung durch die Spuren ist nur ein besonderer Fall der Bestimmung der Ebene durch zwei in ihr befindliche Geraden, also zwei sich schneidende Geraden, worin, nach der perspectiven Ansicht, der Fall zweier parallelen Geraden mit inbegriffen ist. Auf diese Bestimmung durch zwei sich schneidende Geraden lassen sich die Bestimmung der Ebene durch drei nicht in gerader Linie befindliche Punkte und durch eine Gerade und

einen ihr nicht angehörigen Punkt, mit ihren Specialfällen (Nr. 36) zurückführen, indem wir bei jener einen der drei Punkte mit den beiden andern, bei dieser den Punkt mit einem Punkte der Gerade verbinden.

Wenn eine Ebene  $E$  in dieser *allgemeineren* Weise durch zwei sich schneidende Geraden  $g$  und  $l$  bestimmt ist, so können wir sofort ihre *Spuren* herstellen. Jede der beiden Spuren einer in  $E$  befindlichen Gerade liegt auf der gleichnamigen Spur von  $E$ . Die Spur  $s'$  von  $E$  verbindet daher die ersten Spuren von  $g$  und  $l$ , die  $s''$  die zweiten, welche Spuren wir nach Nr. 46 construiren. Als Controlle haben wir, dass  $s'$  und  $s''$  sich auf  $a$  treffen müssen.

Aber diese Ermittlung der Spuren ist für viele Aufgaben nicht nöthig, welche sich ebenso bequem lösen, wenn allgemein  $g$  und  $l$ , als wenn speciell die Spuren gegeben sind. Da aber immerhin die Bestimmung der Ebene durch die Spuren eine sehr häufige ist, so wollen wir die wichtigsten Aufgaben auch für diesen Fall behandeln.

61. Wenn man in eine gegebene Ebene  $E$  einen Punkt oder eine Gerade legen will, so kann man die eine Projection dieses Elements beliebig geben; und die Aufgabe hat dann im allgemeinen eine Lösung, denn der projicirende Strahl, die projicirende Ebene durch diese Projection treffen  $E$  in einem Punkte, einer Gerade. Eine Ausnahme macht nur der Fall, dass  $E$  auf derjenigen Projectionsebene senkrecht steht, in der die Projection gegeben ist; es muss in ~~ihm~~ die gegebene Projection eines Punktes auf der Spur der Ebene in dieser  $\Pi$  liegen, diejenige einer Gerade mit ihr zusammenfallen; und dann hat man  $\infty^1$ , bez.  $\infty^3$  Lösungen, also eine unbestimmte Aufgabe.

Jede Gerade, welche in einer durch zwei sich schneidende Geraden  $g, l$  bestimmten Ebene liegt, muss diese beiden Geraden (im weiteren Sinne der perspectiven Ansicht) schneiden. Es sei  $m_1$  ihre bekannte Projection (Fig. 19);

so hat man die Schnittpunkte  $g_1 m_1$  und  $l_1 m_1$  bez. auf  $g_1$  und  $l_1$  zu lothen;  $m_2$  verbindet die erhaltenen Punkte. Ist etwa  $m_1$  zu  $g_1$  parallel, so ist  $g_1 m_1$  unendlich fern und wird in den unendlich fernen Punkt von  $g_1$  gelothet und  $m_2$  wird zu dieser parallel,  $m$  zu  $g$ .

Entsprechend findet man  $m_1$  aus  $m_2$ .

Wir wollen in die Ebene  $E = gl$  je eine Spurparallele von beiden Arten legen; für jede wissen wir, dass die ihr ungleichnamige Projection der Axe parallel sein muss. Man zieht daher (Fig. 20)  $h_2'$

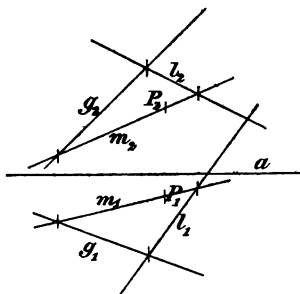


Fig. 19.



eine Gerade  $m$  der Ebene gegeben, so hat man sie mit  $s'$  und  $a$  (als ersten Projectionen von  $s'$  und  $s''$ ) in  $Q_1$  und  $R_1$  zu schneiden, diese Schnitte auf  $a$  und  $s''$  zu lothen und die erhaltenen Punkte  $R_2$  und  $Q_2$  durch  $m_2$  zu verbinden. Man ersieht, dass man in  $m_1s'$  und  $m_2s''$  die erste und zweite Spur  $R, Q$  von  $m$  construiert hat; deren ungleichnamige Projectionen sind die auf  $a$  gelegenen Punkte.

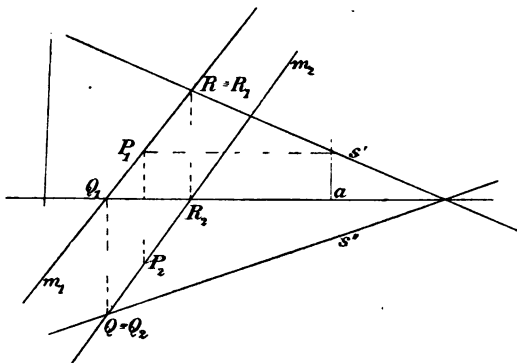


Fig. 21.

Wollen wir in eine durch ihre Spuren bestimmte Ebene eine erste *Spurparallele*  $h'$  legen, so haben wir (Fig. 22)  $h'_1$  parallel zu  $s'$  zu ziehen, den Schnitt  $h'_1a = Q_1$  auf  $s''$  zu lothen und durch den erhaltenen Punkt  $Q_2$  die Parallele  $h'_2$  zu  $a$  zu ziehen. Die beiden construierten Punkte sind die Projectionen der zweiten Spur  $Q$  von  $h'$ . Entsprechend construiren man eine zweite Spurparallele. Jede zwei Geraden, welche man in dieselbe Ebene gelegt hat, kontrollire man in Bezug auf ihren Schnitt.

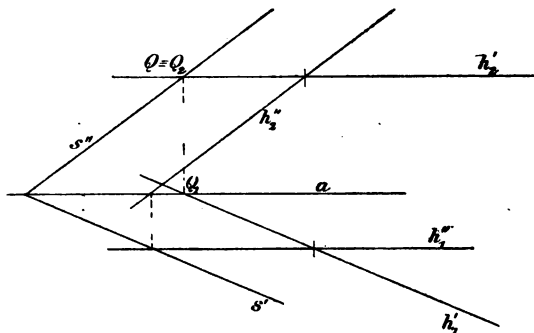


Fig. 22.

Will man eine erste *Spurnormale*  $f'$  in die Ebene legen, so hat man  $f'_1$  normal zu  $s'$  oder einer  $h'_1$  zu ziehen und dann  $f'_2$  zu construiren.

Die Aufgabe: in eine durch ihre Spuren gegebene Ebene einen Punkt zu legen, wird ebenso behandelt, wie oben, wo für die Ebene zwei sich schneidende Geraden gegeben waren (Fig. 21).

63. Wir wenden uns jetzt zur Aufgabe: Eine gegebene Ebene  $E = (g, l)$  [oder  $(s', s'')$ ] mit einer gegebenen Gerade  $n$  zu schneiden. Verschaffen wir uns eine in der Ebene gelegene und die  $n$  schneidende Gerade, so haben wir in deren Schnittpunkt den gesuchten Punkt. Eine Gerade aber, welche mit  $n$  die eine Projection gemein hat, schneidet sie (im weiteren Sinne) (Nr. 52). Daher construiren wir

nach Nr. 61 oder 62 (Fig. 23, in der  $E$  durch  $s', s''$  gegeben ist) in der Ebene die Gerade  $m$ , welche mit  $n$  die eine Projection gemeinsam

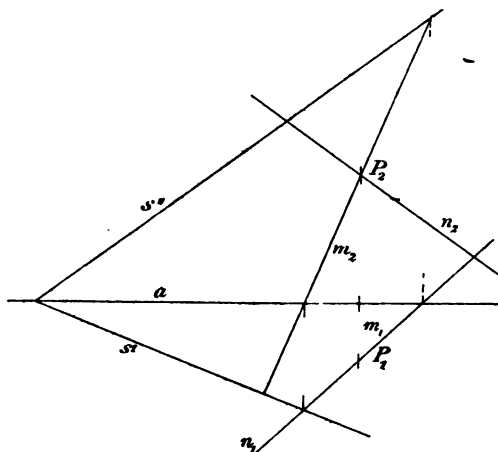


Fig. 23.

hat, etwa die erste; der Punkt  $n_2 m_2 = P_2$  ist dann die zweite Projection des gesuchten Schnittpunktes und durch Lothen auf  $n_1$  ergibt sich die erste  $P_1$ .\*) Fallen  $n_2$  und  $m_2$  parallel aus, so ist  $n$  zu  $m$  und  $E$  parallel; sind sie identisch, so liegt  $n$  in  $E$ .

Einfacher gestaltet sich die Aufgabe, wenn die Ebene durch ihre Spuren gegeben und zu einer der Projectionsebenen, etwa zu  $\Pi_2$ , nor-

mal ist; die zweite Projection des Schnittpunktes muss dann auf  $s''$  liegen, ist also  $s'' n_2$ , durch Lothen auf  $n_1$  ergibt sich die erste.

Für das oben Nr. 61 construirte Loth  $p$  aus dem Punkte  $P$  auf die Ebene  $E$  ermittle man den Schnitt- oder Fusspunkt  $F$  und dann (Nr. 44) die wahre Länge des Abstandes  $PF$ . Dies ist in Fig. 20 geschehen, wo  $E$  durch  $g, l$  bestimmt ist.

Nachdem man in eine gegebene Ebene einen Punkt gelegt hat, kann man auch noch beliebig viele Strahlen des Büschels in ihr um diesen Punkt construiren.

Ebenso mag man, wenn eine Gerade  $g$  gegeben ist, für mehrere Ebenen ihres Büschels die Spuren zeichnen, darunter auch für diejenigen Ebenen des Büschels, die bezw. zu  $\Pi_1, \Pi_2$  normal, zu  $a$  parallel sind.

64. Die Schnittlinie  $k$  zweier Ebenen  $E, \Phi$  erhält man, wenn man sich mindestens zwei Punkte von ihr verschafft; man bestimmt sie genauer, wenn man drei ihrer Punkte construiert. Einen solchen der Schnittlinie angehörigen Punkt erhält man, wenn man eine der beiden Ebenen mit einer Geraden, die in der andern liegt, z. B. einer der bestimmenden Geraden schneidet, oder wenn man zwei Geraden, die

\*) Ist  $n$  senkrecht zu  $\Pi_1$ , so kann man (Nr. 4) irgend eine Gerade in  $\Pi_1$  durch den Punkt, in welchen sich  $n$  projicirt, als erste Projection von  $n$  ansehen, in welche man  $m_1$  legt. Man erreicht, dass man dann genau zu der obigen Lösung der Aufgabe kommt: In  $E$  den Punkt zu construiren, dessen erste Projection in dem Fusspunkt von  $n$  gegeben ist.

bezw. in der einen und der andern Ebene liegen und nicht windschief sind, mit einander schneidet. Nicht windschief sind Geraden, welche in der einen Projection übereinstimmen. Man giebt also z. B. eine Gerade  $t_1 \equiv u_1$ , construirt  $t_2, u_2$  so, dass  $t$  in  $E$ ,  $u$  in  $\Phi$  liegt; den Schnitt  $P_2 = t_2 u_2$  lothet man auf  $t_1 \equiv u_1$  als  $P_1$  und hat in  $P$  einen Punkt der Schnittlinie  $E\Phi$ . Hat man jene Gerade  $t_1 \equiv u_1$  etwa parallel zu  $a$  gezogen, so sind die construirten Hilfslinien zweite Spurparallelen, welche aus  $E$  und  $\Phi$  durch dieselbe Parallelebene zu  $\Pi_2$  ausgeschnitten werden.

In Fig. 24 ist  $E$  durch die Parallelen  $g$  und  $l$ ,  $\Phi$  durch die Parallelen  $m$  und  $n$  bestimmt; der Punkt  $P$  der Schnittlinie  $k$  ist in der eben beschriebenen Weise construirt, die Punkte  $Q$  und  $R$  sind die Schnitte  $m, l\Phi$ .

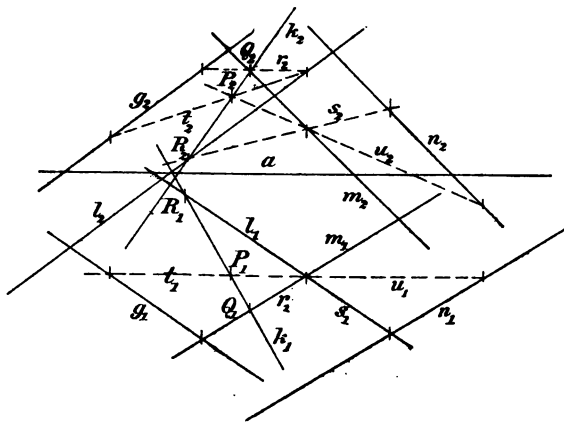


Fig. 24.

Sind die beiden Ebenen durch ihre *Spuren* gegeben:  $s'_E, s''_E$ , bezw.  $s'_\Phi, s''_\Phi$ , so sind ja die gleichnamigen Spuren sich schneidende Geraden der einen und der andern Ebene, und die Schnittpunkte sind Punkte der Schnittlinie  $k$ , offenbar deren Spuren.

Es seien also (Fig. 25)  $U$  der Schnitt der ersten,  $V$  der der zweiten Spuren; so ist jener mit  $U_1$ , dieser mit  $V_2$  identisch;  $U_2, V_1$  liegen auf  $a$ , und  $U_1 V_1, U_2 V_2$  sind  $k_1, k_2$ .

Man lasse die einen gleichnamigen Spuren parallel werden, sodann beide Paare, in welchem Falle die Ebenen parallel sind.

Man überzeuge sich, dass, wenn z. B.  $\Phi$  auf  $\Pi_1$  senkrecht steht, also  $s''_\Phi$  auf  $a$ , dann  $k_1$  in  $s'_\Phi$  fällt, welche ja Projection aller Geraden

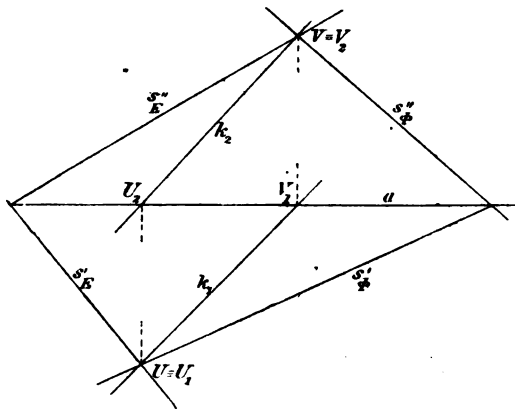


Fig. 25.

von  $\Phi$  in  $\Pi_1$  ist. Wenn  $E$  und  $\Phi$  beide zu  $\Pi_1$  normal sind, wird  $V_1$  und  $U_1 V_1$  unbestimmt.

Ist  $\Phi$  nicht bloß zu  $\Pi_1$  senkrecht, sondern zu  $\Pi_2$  parallel (Fig. 26), so dass  $s'_\Phi \equiv k_1$  parallel  $a$  ist, so wird  $k$  eine zweite Spurparallele in  $E$ ; in der That,  $s''_\Phi$  ist unendlich fern, dadurch wird auch  $V \equiv V_2$  unendlich fern auf  $s''_E$  und  $k_2$  parallel zu dieser Spur.

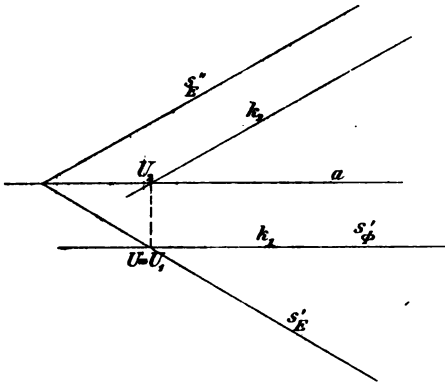


Fig. 26.

Die Construction ist genau die einer zweiten Spurparallele in  $E$  geworden, deren erste Projection bekannt ist.

Wenn ein ungünstiger Spurenschnitt, etwa  $U$ , vorliegt, so verschiebt man die eine Ebene parallel zu sich,  $\Phi$  nach  $\Phi^*$ , bis er zu stande kommt, construirt  $k^* = E\Phi^*$ , zu der dann  $k = E\Phi$  parallel ist; so dass man  $k_1$  durch  $V_1$  parallel zu  $k_1^*$ ,  $k_2$  durch  $V_2$  parallel zu  $k_2^*$  zu ziehen hat.

65. Die beiden Punkte  $U, V$  vereinigen sich und reichen nicht zur Bestimmung von  $k$  hin, wenn die Ebenen  $E$  und  $\Phi$  die Axe in demselben Punkte  $O$  treffen, in dem dann alle vier Spuren zusammenlaufen und der mit seinen beiden Projectionen sich deckt. Einen zweiten Punkt der Schnittlinie verschafft man sich durch sich schneidende Geraden der einen und andern Ebene. Indem wir oben diese dadurch gewannen, dass wir die eine Projection gemeinsam annahmen, schnitten wir beide Ebenen mit der gemeinsamen projicirenden Ebene. Diese *Hilfsebene*  $\Delta$ , welche aus  $E$  und  $\Phi$  sich treffende Geraden ausschneidet, braucht aber nicht nothwendig zu der einen Projectionsebene normal zu sein; sie kann in beliebiger Lage angenommen werden (Fig. 27), wenn sie nur bequem zu construierende Schnittlinien  $u = \Delta E$ ,  $t = \Delta \Phi$  liefert. Deren Schnittpunkt  $W = ut$  ist dann ein Punkt von  $k = E\Phi$ . Am einfachsten sind freilich solche Hilfsebenen  $\Delta$ , welche zu der einen Projectionsebene senkrecht, und besonders solche, die zur andern parallel sind und dann aus beiden Ebenen Spurparallelen ausschneiden. Man ist bei derartigen Ebenen unbequem gelegenen Schnittpunkten weniger ausgesetzt. Solche einen Punkt der Schnittlinie  $k$  liefernden Hilfsebenen sind übrigens ja auch die Projectionsebenen, wenn mit den Spurenschnitten  $U, V$  gearbeitet wird, oder die Parallelebene  $\Phi^*$ , welche den unendlich fernen Punkt von  $k$  liefert.

Es ist lehrreich, den verschiedenen Fällen entsprechende Figuren zu machen, vergleichende Beobachtungen daran zu knüpfen und die Erkenntniss sich zu erwerben, dass unendlich ferne Punkte günstiger sind als weit entfernte.

Nach der perspectivischen Ansicht subsumirt sich unserm Falle, dass  $E$  und  $\Phi$  die Axe in demselben Punkte  $O$  treffen, derjenige, dass beide zur Axe parallel sind; offenbar ist dann ihre Schnittlinie  $k$  auch zu derselben parallel, geht nach dem unendlich fernen  $O$ , und  $k_1, k_2$  sind auch parallel zu  $a$ ; einen endlichen Punkt von  $k$  erhält man in der eben besprochenen Weise.

Als interessante Anwendung der Aufgaben, durch welche die Construction von Schnittelementen verlangt werden, führen wir die

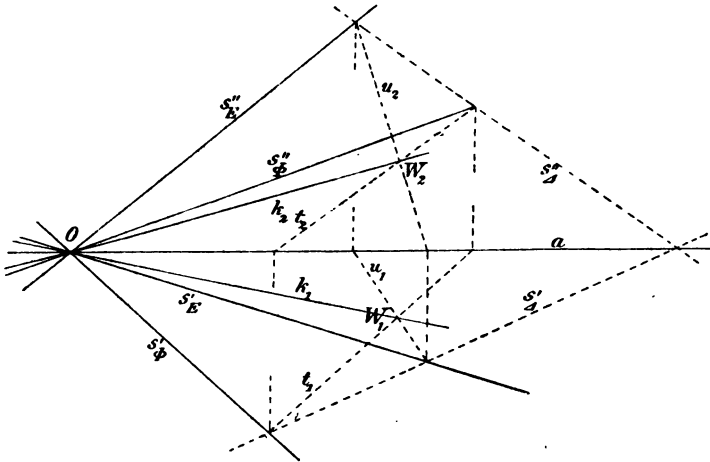


Fig. 27.

**Construction des Schattens von Punkten oder Geraden auf eine Ebene bei centralem oder parallelem Lichte an;** denn der Schatten, den ein Punkt  $P$ , bezw. eine Gerade  $g$  auf eine Ebene  $E$  wirft, ist, wenn  $L$  der leuchtende Punkt ist, der Schnitt der Gerade  $LP$  oder der Ebene  $Lg$  mit  $E$ . Ebenso kommen bei der Construction des Schnitts der Oberflächen zweier Polyeder diese Aufgaben zur Verwendung; die Ebenen, in denen sich die Polygone derselben befinden, sind dann am besten durch zwei Seiten derselben bestimmt; die Heranziehung der Spuren würde die Construction unnöthig complicirt machen.

66. Wenn die Projectionen einer ebenen Figur vorliegen, z. B. diejenigen einer Seitenfläche eines (durch seine Projectionen dargestellten) Polyeders, so wird man gut thun, die „Ebenheit“ möglichst zu bestätigen, indem man wiederholt folgende Construction vornimmt:



Sind  $g, l, m, n, \dots$  Geraden, welche der Figur angehören, so schneide man die einen Projectionen, etwa  $g_1, l_1, \dots$ , mit einer Gerade  $r_1$ , lothe die Schnitte auf  $g_2, l_2, \dots$  und muss, wenn die Figur wirklich eben ist, in gerader Linie  $r_2$  befindliche Punkte erhalten; da ja die Gerade der Ebene, deren Projection  $r_1$  ist, alle die Geraden  $g, l, \dots$  schneiden muss. Ähnliches gilt für eine krummlinige ebene Figur.

Ein Dreieck  $PQR$  ist immer eben, seine Ebene sei durch die Seiten begrenzt (Fig. 28), und  $g$  sei eine Gerade, welche diese be-

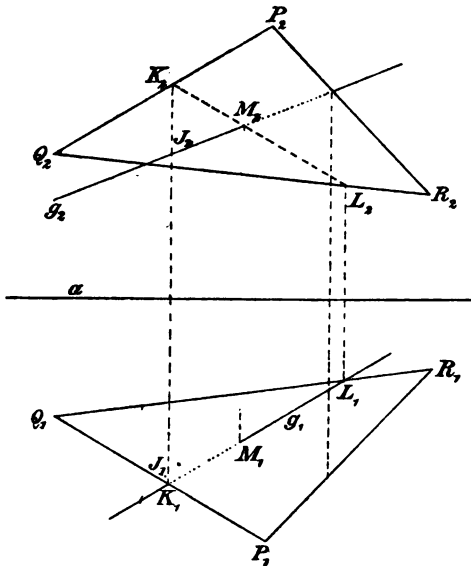


Fig. 28.

grenzte Ebene (also innerhalb des Dreiecks) trifft in dem Punkte  $M$ , der nach Nr. 63 construiert ist. Stellen wir uns die Dreiecksebene materiell vor, so wird  $g$  theilweise verdeckt sein, und zwar, da die Sehrichtung für die beiden Projectionsebenen verschieden ist, in beiden möglicherweise verschiedenartig. Betrachten wir die Sichtbarkeit in  $\Pi_1$ ;  $g_1$  schneidet zwei Seiten von  $P_1Q_1R_1$ , nämlich  $P_1Q_1$ ,  $Q_1R_1$ , also durchschneidet sich  $g$  scheinbar mit  $PQ$ ,  $QR$ . Es heisse der Punkt ( $g_1, P_1Q_1$ ), je nachdem er zu  $g_1$  oder  $P_1Q_1$  gehört,  $J_1$  oder  $K_1$ ; man

lothe ihn bez. auf  $g_2$  und  $P_2Q_2$  als  $J_2, K_2$ . Da  $K_2$  über  $J_2$  liegt, so beweist dies, dass für den in der Richtung der ersten Projectionstrahlen (von oben nach unten) Sehenden an der Stelle des scheinbaren Schnitts die Dreiecksseite  $PQ$  über der  $g$  weggeht. Da  $g$  bei  $M$  durch die Dreiecksebene geht, so geht an der Stelle des scheinbaren Schnitts von  $g$  und  $QR$  erstere über der letzteren weg, wie dies auch der Uebung halber noch genauer untersucht werden mag. Folglich ist  $g$  unterhalb  $J$  sichtbar, von  $J$  bis  $M$  unsichtbar, von  $M$  nach oben sichtbar;  $J_1M_1$  ist also zu punktieren, die beiden andern Theile sind auszuziehen.

Ebenso ist die Sichtbarkeit in der zweiten Projectionsebene zu untersuchen.

Zwei Dreiecksebenen durchdringen sich (Nr. 64) und bedecken sich gegenseitig theilweise; es ist die Sichtbarkeit der einzelnen Theile näher zu untersuchen.

Giebt man mehr als drei Punkte vollständig, d. h. durch beide Projectionen, und verbindet sie zu einem einfachen Polygone, so ist dieses im allgemeinen uneben.

*Soll das Polygon eben sein, so wird man nur drei von den Eckpunkten vollständig geben können, von den übrigen nur je eine Projection, indem die andere Projection dann so zu construiren ist, dass der betreffende Punkt in der durch die drei ersten Punkte bestimmten Ebene liegt (Nr. 61).*

Sind also  $P, Q, R$  die vollständig gegebenen Punkte\*); von einer vierten Ecke  $M$  sei bloss  $M_1$  gegeben; so ziehe man z. B.  $M_1 P_1$ , lothe den Punkt  $(M_1 P_1, Q_1 R_1) = N_1$  auf  $Q_2 R_2$  als  $N_2$  und dann  $M_1$  auf  $P_2 N_2$  als  $M_2$  (Fig. 29, Taf. I). Als Controlle dient eine Wiederholung der Construction in anderer Gruppierung. Die schon erhaltenen Punkte können natürlich für die Construction der weitem an Stelle der ursprünglichen treten.

67. Man wird aber bald bemerken, dass zwischen den beiden Feldern (von Punkten und Geraden), die sich durch die Projectionen des Feldes von Punkten und Geraden einer Ebene  $E$  auf beide Projectionsebenen ergeben, Vereinigung derselben vorausgesetzt, eine ähnliche Beziehung statt hat, wie zwischen den durch eine Projection und durch Umlegung entstandenen (Nr. 23), nämlich Affinität.

Zunächst ist klar, dass wenn  $P_1$  auf  $g_1$  liegt, dann  $P$  auf  $g$  in  $E$  liegt (Nr. 6, 8) und also  $P_2$  auf  $g_2$ ; ebenso umgekehrt.

Die Verbindungsgeraden entsprechender Punkte  $P_1$  und  $P_2$  sind ferner alle parallel, weil sie auf der Axe normal sind.

Endlich in jeden Punkt, in dem sich zwei entsprechende Geraden  $g_1, g_2$  (Projectionen derselben Gerade  $g$  in  $E$ ) schneiden, sind die Projectionen des Punktes von  $g$  zusammengefallen, in dem sie die Ebene  $\Gamma$  der Deckelemente trifft (Nr. 55); alle diese Punkte liegen für die Geraden von  $E$  auf einer Gerade, nämlich auf  $\Gamma E = m$ , der einzigen Gerade in  $E$ , deren Projectionen  $m_1$  und  $m_2$  sich vereinigen: in  $m_{12}$ . Auf dieser  $m_{12}$  treffen sich also alle entsprechenden Geraden  $g_1$  und  $g_2$  (bez. sind ihr beide parallel). Man sehe die Fig. 29, Taf. I.

Es sind nun alle Bedingungen der Affinität nachgewiesen.

*Die beiden Felder, welche durch die Projectionen einer Ebene  $E$  auf  $\Pi_1$  und  $\Pi_2$  sich ergeben, sind, wenn diese Ebenen vereinigt gedacht werden,*

\*) Es ist zu empfehlen, zur Bestimmung der Ebene nicht drei Nachbarpunkte, sondern ziemlich weit aus einander liegende Punkte zu wählen, denn je weiter die bestimmenden Punkte einer Gerade oder Ebene aus einander liegen, desto genauer ist die Zeichnung. Diese graphische Regel suche man so viel wie möglich zu befolgen.

*affin; Affinitätsaxe ist die identische erste und zweite Projection der Gerade, in welcher E die Ebene  $\Gamma$  der Deckelemente durchschneidet.*

Diese Affinität mit Affinitätsstrahlen, welche zu  $a$  senkrecht sind, bleibt bestehen, wenn der rechte Winkel der Projectionsebenen aufgegeben wird, beide Projectionen aber orthogonal erfolgen.

Sie ist auch eine werthvolle Controlle für die Ebenheit einer Figur.

Um die Affinitätsaxe zu ermitteln, suche man also die Schnittpunkte der Projectionen irgend zweier Geraden  $g$  und  $l$  der Ebene, z. B. derjenigen, durch welche man sich die Ebene bestimmt gedacht hat. Graphisch empfiehlt es sich freilich, diese Gerade, von der die ganze weitere Construction abhängt, durch mehr als zwei Punkte zu bestimmen.

Sind etwa  $l_1$  und  $l_2$  parallel, so ist auch  $m_{12}$  mit ihnen (die Ebene  $\Gamma$  mit  $l$ ) parallel; sind sowohl  $l_1$  und  $l_2$ , als auch  $g_1$  und  $g_2$  parallel, aber jene nicht diesen, so hat  $m_{12}$  zwei verschiedene unendlich ferne Punkte  $g_1g_2$ ,  $l_1l_2$ , ist mithin selbst unendlich fern. In der That,  $l$  sowohl wie  $g$  ist dann parallel mit  $\Gamma$ , und da sie einander nicht parallel sind, so ist  $E = gl$  parallel mit  $\Gamma$ , die Schnittlinie  $m$  also unendlich fern; jede Gerade in  $E$  ist mit  $\Gamma$  parallel, ihre Projectionen sind unter einander parallel.

Sind die Punkte  $g_1g_2$  und  $l_1l_2$  identisch (was z. B. auch eintritt, wenn alle vier Geraden  $g_1, \dots$  parallel sind), so genügen sie natürlich nicht zur Bestimmung von  $m_{12}$ . Dieser Fall liegt vor, wenn die Ebene durch ihre Spuren bestimmt ist; denn  $s'_1 = s'$ ,  $s'_2 = a$ ;  $s''_1 = a$ ,  $s''_2 = s''$ ; aber sowohl  $s'_1s'_2$  als  $s''_1s''_2$  ist der Punkt  $s's''$  auf der Projectionaxe. Jedenfalls liegt dieser Punkt auf der Affinitätsaxe und kann mit zu ihrer Festlegung dienen.

Die Richtung der Affinitätsstrahlen ist ein für alle Male bekannt als zur Projectionaxe normal. Kennt man nun noch die Affinitätsaxe  $m_{12}$  und ein Paar entsprechender Geraden  $g_1, g_2$ , so kann man zu jeder Gerade, jedem Punkte des einen Feldes die entsprechende Gerade, den entsprechenden Punkt im andern construiren, z. B. zu der ersten Projection  $b_1$  einer Gerade  $b$  in  $E$  die zweite  $b_2$ ;  $b_2$  und  $b_1$  müssen sich auf  $m_{12}$  begegnen. Durch den Punkt  $g_1b_1$  ziehe man den Affinitätsstrahl (die Ordinatenlinie) und erhält in dem Punkte, wo derselbe  $g_2$  trifft, einen zweiten bestimmenden Punkt für  $b_2$ . Oder es soll zu der ersten Projection  $P_1$  eines Punktes  $P$  in  $E$  die zweite Projection  $P_2$  gesucht werden. Der Affinitätsstrahl durch  $P_1$  ist der eine Ort für  $P_2$ . Man ziehe dann eine beliebige Gerade  $b_1$  durch  $P_1$ , welche  $g_1$  in  $B_1$  treffe; der Affinitätsstrahl durch  $B_1$  giebt den entsprechenden Punkt

$B_2$  auf  $g_2$ ; die Gerade  $b_2$ , welche  $B_2$  mit  $b_1 m_{12}$  verbindet, entspricht  $b_1$  und ist ein zweiter Ort für  $P_2$ .

Wenn man von zwei entsprechenden Punkten statt von zwei entsprechenden Geraden ausgeht, so ist die Construction von Nr. 24 anzuwenden. Es ist ferner ersichtlich, dass an Stelle der ursprünglichen entsprechenden Elemente schon construirte treten können und oft müssen, wenn unbequeme Lagen, schleifende Schnitte es erfordern.

68. Wir wollen mit den beiden Affinitäten nun folgende zwei Aufgaben construiren.

*Die Ebene eines Sechsecks  $ABCDEF$  ist dadurch bestimmt, dass drei (nicht benachbarte) Ecken  $A, C, E$  durch ihre beiden Projectionen gegeben sind; von den übrigen Ecken  $B, D, F$  ist nur die erste Projection (und damit die erste Projection der ganzen Figur) gegeben. Es soll die zweite Projection und die Umlegung in die Projectionsebene  $\Pi_1$ , also die wahre Gestalt construiert werden (Fig. 30, Taf. I).*

Wir ermitteln zuerst die Axe  $m_{12}$  der Affinität zwischen den Feldern der beiden Projectionen. Sie ist die Verbindungslinie der drei Punkte  $(A_1 C_1, A_2 C_2)$ ,  $(A_1 E_1, A_2 E_2)$ ,  $(C_1 E_1, C_2 E_2)$ . Nun suche man zu  $B_1$  den entsprechenden Punkt  $B_2$ ; man verbinde  $B_1$  mit dem weitesten der drei Punkte  $A_1, C_1, E_1$ , also in der Figur mit  $E_1$ , und durch den Punkt, wo  $B_1 E_1$  die Gerade  $m_{12}$  trifft, zieht man aus  $E_2$  die Gerade; dieselbe muss  $B_2$  enthalten. In der Figur ist jeder Punkt mehrfach construiert und auch nachträglich sind noch Controllen hinzugefügt.

Hat man nun  $B_2, D_2, F_2$  gefunden und damit die zweite Projection der Figur, so lege man einen Punkt um in die  $\Pi_1$ ; dazu ist freilich die erste Spur  $s'$  nothwendig. Von ihr ist schon bekannt der Punkt  $a m_{12}$  (Nr. 67); theoretisch genügt also noch die erste Spur einer der Seiten oder Diagonalen, praktisch wird man zur genaueren Fixirung dieser wichtigen Linie zwei Spuren construiren und, wie oben gesagt, diese drei bestimmenden Punkte nicht zu nahe an einander zu bringen suchen. Der Punkt  $A = (A_1, A_2)$  werde nun nach der früheren Anleitung umgelegt, indem man aus dem Perpendikel  $A_1 A'$  aus  $A_1$  auf  $s'$  und der zweiten Ordinate  $A_2 A_a$  als Katheten die Hypotenuse  $A' A_0$  construiert und diese auf dem ersten Perpendikel  $A' A_1$  von  $A'$  aufträgt. Die früher besprochene Affinität liefert nun die weiteren Umlegungen.

Mit den rechtwinkligen Dreiecken ist kontrollirt worden.\*)

\*) Es mag hier darauf hingewiesen werden, ohne dass jedoch näher darauf eingegangen werden soll, dass zwischen der zweiten Projection eines ebenen

69. Es sei die Ebene  $E$  der Figur durch ihre beiden Spuren  $s', s''$  gegeben und die Umlegung  $A_0B_0C_0D_0$  eines in ihr gelegenen Vierecks  $ABCD$  in die  $\Pi_1$ ; es sollen die beiden Projectionen desselben construirt werden. Es werde angenommen, dass  $ABCD$  sich in dem Theile von  $E$  oberhalb  $\Pi_1$  befindet (Fig. 31, Taf. I).

Man construire die Umlegung  $P_0$  eines Punktes  $P$  von  $s''$ , der ebenfalls oberhalb  $\Pi_1$  sich befindet; für ihn ist  $P_2 \equiv P$ , und  $P_1$  liegt auf  $a$ . Das Loth aus  $P_1$  auf  $s'$  sei  $P_1P'$ , aus ihm und der zweiten Ordinate  $P_1P_2$  als Katheten construiren wir das rechtwinklige Dreieck und tragen seine Hypotenuse auf jenem Lothe  $P_1P'$  nach der Seite von  $s'$ , wo  $A_0B_0C_0D_0$  liegt, als  $P'P_0$  auf. Der spitze Winkel des rechtwinkligen Dreiecks, welcher der Kathete  $P_1P'$  anliegt, ist der *Neigungswinkel  $\alpha'$  von  $E$  gegen  $\Pi_1^*$* ), den wir nachher für die Controllen brauchen werden. Nebenbei bemerken wir, dass in die Gerade  $s_0''$ , welche  $P_0$  mit dem Axenschnitte  $s's''$  verbindet, sich die zweite Spur  $s''$  umlegt und ihr Winkel mit  $s'$  uns die wahre Grösse des Winkels der beiden Spuren zeigt.

Man hat nun die entsprechenden Punkte  $P_0, P_1$  und kann zu den Ecken der Umlegung nach der Affinität von Nr. 23, 24 die ersten Projectionen construiren.

Für die andere Affinität fehlt noch die Axe; sie geht durch den Punkt  $s's''$ . Man lege irgend eine Gerade  $l$  in die Ebene  $E$ . Der Punkt  $l_1l_2$  ist ein zweiter Punkt von  $m_{12}$ , für welche noch ein dritter Punkt  $n_1n_2$  construirt ist. Da nun  $P_1, P_2$  (oder  $l_1, l_2$ ) bekannt sind, können nach Nr. 67 die entsprechenden Punkte  $A_2, B_2, C_2, D_2$  zu  $A_1, B_1, C_1, D_1$  construirt werden.

70. Es ist aber doch die Bemerkung hieran zu knüpfen, dass die Anwendung der Affinität sich erst lohnt, wenn die Zahl der zu construierenden Punkte nicht zu klein ist, also besonders, wenn für eine Curve eine grössere Zahl von Punkten zu construiren ist. Ferner zeigt es sich bei der praktischen Ausführung, dass in Bezug auf Genauigkeit und bequeme Lage die wiederholte Construction mit den rechtwinkligen Dreiecken, für die man den gemeinsamen Winkel  $\alpha'$  kennt, vorzuziehen ist, indem bei der Affinitätsmethode es sehr auf die ersten Punkte ankommt, deren etwaige Ungenauigkeit solche bei allen weiteren nach sich zieht, während bei der anderen Methode die

---

Feldes und der Umlegung in die erste Projectionsebene die *allgemeine Affinität* besteht, welche in der Anmerkung von Nr. 23 erwähnt wurde.

\*) Die Umlegung ist um den stumpfen Winkel erfolgt, damit Collisionen vermieden werden.

verschiedenen Punkte mehr von einander unabhängig erhalten werden. Auch stellen sich bei jener häufig schleifende Schnitte ein.

Es ist daher gut, wenn mit den beiden Methoden abgewechselt wird, oder wenn mit der einen Methode construiert, mit der andern controllirt wird, besonders das Schneiden entsprechender Geraden, also auch z. B. entsprechender Tangenten von Curven auf der Affinitätsaxe.

Zu versäumen ist die Controlle keinesfalls.

71. Hinsichtlich der *Umlegung* ist schon in Nr. 29 erwähnt worden, dass *dieselbe oft statt um eine Spur, z. B.  $s'$  in  $\Pi_1$ , um eine Spurparallele  $h'$  in die durch dieselbe parallel zu  $\Pi_1$  gehende (der umzulegenden Figur nähere) Ebene  $\Pi_1^*$  geschieht*. Es wird, wie dort gesagt, die congruente Projection der Umlegung construiert. Zwischen dieser und der Projection der Figur selbst findet ebenfalls Affinität statt. An Stelle von  $s'$  ist  $h_1'$  getreten, und die verkürzten zweiten Ordinaten sind die Entfernungen der zweiten Projectionen von  $h_2'$ , welche ja die Spur (und Projection) von  $\Pi_1^*$  in  $\Pi_2$  ist. Liegen die zweiten Projectionen zweier Punkte auf verschiedenen Seiten von  $h_2'$ , so befinden sich ihre ersten Projectionen auf verschiedenen Seiten von  $h_1'$ .

72. Die Umlegung, resp. Aufrichtung kann man auch *mit Hilfe von Spurparallelen* (siehe später Fig. 50 bei Nr. 106) vollziehen. Sei  $h'$  irgend eine erste Spurparallele, also  $h_1'$  parallel  $s'$ ; diese treffe  $a$  in  $Q_1$ ;  $Q_2 \equiv Q$  liegt auf  $s''$  und auf  $h_2'$ , welche parallel  $a$  ist;  $Q_0$  liegt auf der oben construirten Umlegung  $s_0''$  von  $s''$  ebenso weit von  $s's''$  (und natürlich auf der richtigen Seite) wie  $Q_2 \equiv Q$ ; durch ihn geht  $h_0'$  parallel  $s'$ . Ist also z. B.  $A_0$  aufzurichten, so ziehe man durch ihn  $h_0'$  parallel  $s'$ , erhält  $Q_0, Q_2, Q_1$ ; durch  $Q_2$  geht  $h_2'$  parallel zu  $a$ , durch  $Q_1$  aber  $h_1'$  parallel zu  $s'$ . Die Senkrechte aus  $A_0$  auf  $s'$  markirt auf  $h_1'$  den Punkt  $A_1$ , der nach  $h_2'$  als  $A_2$  gelothet wird. Umgekehrt erhält man aus  $A_1$  die Punkte  $A_0$  und  $A_2$ .

### Dritter Abschnitt.

#### Weitere Aufgaben.

73. Unsere früheren Betrachtungen über die Mannigfaltigkeiten der Grundelemente müssen wir nunmehr vervollständigen. In Nr. 12 hatten wir Gelegenheit, uns klar zu machen, dass auf einer Gerade  $\infty^1$  Punkte liegen, in einer Ebene  $\infty^2$  Geraden. Verschieben wir die Gerade parallel zu sich in einer Ebene, so erhalten wir alle Punkte derselben,  $\infty^1$  Punktreihen mit je  $\infty^1$  Punkten, also  $\infty^2$  Punkte in der

*Ebene*; und verschieben wir dann die Ebene parallel durch die  $\infty^1$  möglichen Lagen, die sie dabei einnehmen kann, so erhalten wir alle Punkte des Raumes, also  $\infty^3$ ; denn jeder liegt in einer von diesen parallelen Ebenen. Wir erkannten weiter in Nr. 40, dass ein Bündel  $\infty^2$  Strahlen und  $\infty^2$  Ebenen enthält; wir können uns diese Elemente als die projicirenden Elemente der  $\infty^2$  Punkte und  $\infty^2$  Geraden einer Ebene (einschliesslich der unendlich fernen Elemente derselben) denken und aus dieser ausnahmslos eindeutigen Beziehung zwischen Bündel und Feld die gleichen Mannigfaltigkeiten in beiden erkennen.

Legen wir zu jeder Ebene des Bündels die  $\infty^1$  parallelen Ebenen, so kommen wir zu allen Ebenen des Raums, und es sind deren  $\infty^3$ ; so dass die Mannigfaltigkeit der Ebenen die nämliche, wie die der Punkte.

Zu jedem der Strahlen des Bündels aber kann man  $\infty^2$  parallele Strahlen ziehen, nämlich durch jeden der  $\infty^2$  Punkte einer den Strahl schneidenden Ebene einen; so erhalten wir alle Strahlen des Raums, und es giebt deren  $\infty^4$ . Daher haben wir:

*Es giebt im Raume  $\infty^3$  Punkte,  $\infty^3$  Ebenen, aber  $\infty^4$  Geraden.*

74. Eine Bedingung heisst für eins dieser Grundelemente eine  $i$ -fache, wenn von den  $\infty^k$  überhaupt vorhandenen Grundelementen ( $k = 3$  bei Punkten, Ebenen,  $k = 4$  bei Geraden)  $\infty^{k-i}$  ihr genügen; mehreren Bedingungen, deren Vielfachensumme  $\sum i$  gleich  $k$  ist, wird durch eine endliche Anzahl genügt; ist sie kleiner als  $k$ , dann wird durch  $\infty^{k-\sum i}$  Elemente genügt; ist sie grösser als  $k$ , so kann den Bedingungen im allgemeinen nicht genügt werden.

*Für einen Punkt ist das Liegen in einer gegebenen Ebene eine einfache, das Liegen auf einer gegebenen Gerade eine zweifache Bedingung; da von den  $\infty^3$  Punkten des Raumes  $\infty^2$  in jener,  $\infty^1$  auf dieser liegen. Wir können dem Punkte auferlegen, in drei gegebenen Ebenen zu liegen, oder auf einer gegebenen Ebene und einer gegebenen Gerade. In beiden Fällen genügt ein Punkt. In zwei gegebenen Ebenen liegen  $\infty^1$  Punkte.*

*In gleicher Weise ist für eine Ebene das Hindurchgehen durch einen gegebenen Punkt eine einfache, das durch eine gegebene Gerade eine zweifache Bedingung; denn von den  $\infty^3$  Ebenen des Raumes gehen durch jenen  $\infty^2$ , durch diese  $\infty^1$ . Wir haben eine Ebene durch 3 Punkte, durch einen Punkt und eine Gerade,  $\infty^1$  durch 2 Punkte.*

Bei der Gerade haben wir wegen der grösseren Mannigfaltigkeit 4 eine grössere Reichhaltigkeit. Durch einen Punkt gehen  $\infty^2$  Geraden, ebenso viele liegen in einer Ebene; also sind für die Gerade die Bedingungen, durch einen gegebenen Punkt zu gehen, in einer gegebenen Ebene zu liegen, doppelte.

Weil in jeder der  $\infty^1$  Ebenen, welche durch eine gegebene Gerade gehen,  $\infty^2$  Geraden liegen, so giebt es  $\infty^3$  Geraden, welche mit ihr in einer Ebene liegen oder (nach der perspectivischen Ansicht) sie schneiden. *Es ist daher für eine Gerade eine einfache Bedingung, eine gegebene Gerade zu schneiden.* Wir haben eine endliche Anzahl von Geraden, welche zwei doppelte Bedingungen erfüllen: durch zwei gegebene Punkte zu gehen, oder in zwei gegebenen Ebenen zu liegen, oder zwei einfache und eine doppelte Bedingung erfüllen: zwei gegebene Geraden zu treffen und durch einen gegebenen Punkt zu gehen oder in einer gegebenen Ebene zu liegen. In allen vier Fällen giebt es eine Gerade, die den Bedingungen genügt. Wir werden diese und die obigen eindeutigen Aufgaben, soweit sie nicht zu einfach oder schon behandelt sind, sowie Specialfälle von ihnen nun noch constructiv erledigen. Die Zahl der Geraden, welche drei gegebene Geraden treffen, ist  $\infty^1$ , ebenso die derjenigen, welche eine gegebene Gerade treffen und durch einen gegebenen Punkt gehen oder in einer gegebenen Ebene liegen. Es giebt  $\infty^2$  Geraden, welche zwei gegebene Geraden treffen, und eine endliche Zahl von Geraden, welche vier gegebene Geraden treffen. Aber die Behandlung dieser nicht mehr eindeutigen Aufgabe\*) gehört nicht in diese Elemente.

75. a) *Durch eine Gerade  $g$  die Ebene zu legen, welche mit einer (zu  $g$  nicht parallelen) Gerade  $l$  parallel ist.*

Man ziehe durch einen Punkt von  $g$  die Parallele  $m$  zu  $l$ ;  $m$  und  $g$  bestimmen die verlangte Ebene.

Man erspart sich in der einen Projectionsebene das Parallelziehen, wenn man z. B.  $m_1 \equiv l_1$  nimmt; d. h. man verschiebt  $l$  parallel in ihrer ersten projicirenden Ebene, bis sie (als  $m$ ) die  $g$  schneidet.

b) Legt man auch durch  $l$  die zu  $g$  parallele Ebene, so ist die Aufgabe gelöst: *durch zwei windschiefe Geraden die beiden zu einander parallelen Ebenen zu legen.*

c) *Durch einen Punkt  $P$  die Ebene zu legen, welche zwei gegebenen Geraden  $g$  und  $l$  parallel ist.*

Die Parallelen durch  $P$  zu  $g$  und  $l$  bestimmen die verlangte Ebene.

Die Spuren der Ebene sind, wenn man sie wünscht, nach Nr. 60 zu construiren.

Die Aufgaben a), c) sind nach Nr. 36 specielle Fälle der Aufgaben: Durch eine Gerade und einen Punkt (ausserhalb), bez. durch drei Punkte (die nicht in gerader Linie liegen) die Ebene zu legen,

\*) J. Steiner's Gesammelte Werke Bd. I, S. 147 und 402.



haben deshalb wie diese Aufgaben nur eine Lösung und werden ebenso gelöst wie sie.

76. a) *Durch einen Punkt  $P$  die Gerade zu ziehen, welche zwei windschiefe Geraden  $g$  und  $l$  trifft.*

Die verlangte Gerade ist die Schnittlinie (Nr. 64) der beiden Ebenen  $Pg$  und  $Pl$ , oder verbindet  $P$  mit dem Schnittpunkte von  $Pg$  und  $l$  (oder  $Pl$  und  $g$ ) (Nr. 63) und wird auch so construirt und zwar auf die letztere Weise einfacher. Bei der ersteren Construction hat man als Controlle 'das Schneiden der construirten Gerade mit  $g$  und  $l$  (Nr. 54), bei der andern nur das mit  $g$  (oder  $l$ ).

b) *Parallel zu einer Gerade  $r$  die Gerade zu ziehen, welche die windschiefen Geraden  $g$  und  $l$  trifft.*

Die verlangte Gerade ist die Schnittlinie der Ebenen, welche bezw. durch  $g$  und  $l$  parallel zu  $r$  gehen und nach Nr. 75a) construirt werden, oder die Parallele zu  $r$  durch den Punkt, in dem die eine dieser Ebenen die andere gegebene Gerade trifft. Die Ebene durch  $g$ , welche zu  $r$  parallel ist, enthält von den  $\infty^2$  Geraden von der Richtung  $r$  diejenigen, welche  $g$  treffen.

Diese Aufgabe ist, nach der perspectivischen Ansicht, ein besonderer Fall von a), wird ebenso gelöst und hat dieselbe Controlle.

Eine interessante Anwendung von ihr ist folgende: *Vom Anfangspunkte nach dem Endpunkte einer gegebenen Strecke eine zweimal gebrochene Linie zu ziehen, deren drei Theile bezw. zu drei gegebenen Geraden parallel sind.* Nachdem die erste und dritte Parallele gezogen sind, ist die mittlere nach unserer Aufgabe zu construiren. Diese Aufgabe ist nothwendig für die constructive Zerlegung einer Kraft in drei Componenten, deren Wirkungslinien mit der ihrigen in einen Punkt zusammenlaufen (Nr. 54).

c) *Die Gerade zu construiren, welche in der Ebene  $E$  liegt und die windschiefen Geraden  $g$  und  $l$  schneidet.*

Man construirt die Schnitte von  $g$  und  $l$  mit  $E$  und verbindet sie.

d) *Den Schnittpunkt dreier gegebenen Ebenen zu finden.*

Man sucht die Schnittlinien von zweimal je zweien der Ebenen, hat eine Controlle in dem Schneiden derselben, sodann aber auch darin, dass die dritte Schnittlinie auch durch diesen Punkt, den gesuchten, gehen muss; oder einfacher, man sucht den Schnittpunkt der Schnittlinie zweier der Ebenen mit der dritten; dass jede der beiden andern Schnittlinien durch ihn geht, ist Controlle.

77. *Eine Ebene  $E$  ist gegeben; durch eine gegebene Gerade  $g$  die Ebene  $\Phi$  zu legen, welche auf  $E$  senkrecht ist.*

Man legt durch einen Punkt von  $g$  das Loth  $p$  auf  $E$  (Nr. 61);  $g$  und  $p$  bestimmen  $\Phi$ . Ob  $g$  ausserhalb  $E$  oder in  $E$  liegt, ist gleichgültig.

Nach Nr. 37 ist diese Aufgabe specieller Fall der Aufgabe (Nr. 60): Durch eine Gerade und einen (ihr nicht angehörigen) Punkt die Ebene zu legen, — der Punkt ist der unendlich ferne in senkrechter Richtung zu  $E$  — und wird wie diese gelöst; es wird auch hier eine Gerade durch diesen Punkt, welche  $g$  schneidet, construiert, also eine Senkrechte zu  $E$ .

78. Zu einer gegebenen Ebene  $E$  durch einen gegebenen Punkt  $P$  die Parallelebene  $\Phi$  zu legen.

Diese Aufgabe ist gleichfalls Specialfall der eben genannten Aufgabe; nur ist diesmal die Gerade eine uneigentliche, die unendlich ferne Gerade von  $E$ . Ist  $E$  durch zwei Geraden gegeben, so bestimmen die Parallelen zu ihnen durch  $P$  die Ebene  $\Phi$ . Ist aber  $E$  durch ihre Spuren gegeben, so sind die von  $\Phi$  ihnen parallel; hat man daher für eine von ihnen einen Punkt, so hat man beide. Steht  $E$  und dann auch  $\Phi$  auf  $\Pi_1$  senkrecht, so geht die erste Spur von  $\Phi$  durch  $P_1$ .

Ist aber  $E$  eine beliebige Ebene (Fig. 32), so lege man in sie eine Gerade  $g$  und durch  $P$  die Parallele  $l$  zu ihr, die in  $\Phi$  liegen muss; ihre Spuren sind Punkte der Spuren von  $\Phi$ ; man kann daher diese zeichnen und hat im Treffen auf der Axe eine Controlle. Die Construction vereinfacht sich, wenn man als  $g$  eine Spur von  $E$  nimmt; die  $l$  ist dann eine gleichnamige Spurparallele in  $\Phi$ ; aber die Controlle fällt weg.

79. Durch einen Punkt  $P$  die Ebene zu legen, welche auf einer gegebenen Gerade  $g$  normal ist.

Auch diese Aufgabe subsumirt sich derselben Aufgabe; die gegebene Gerade, durch welche die Ebene gehen soll, ist die gemeinsame unendlich ferne Gerade der auf  $g$  senkrechten Ebenen. Man lege zunächst eine beliebige Ebene  $E$ , die senkrecht zu  $g$  ist: ihre Spuren

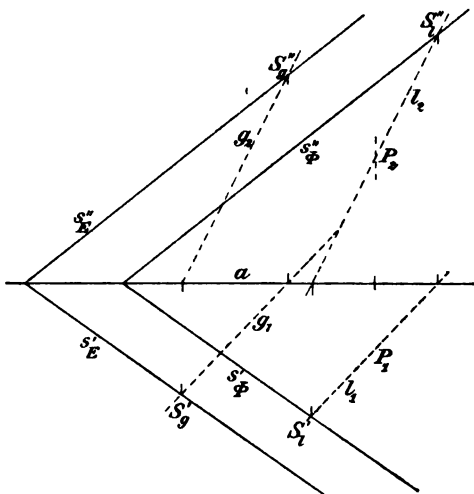


Fig. 32.

treffen sich auf  $a$  und sind bezw. normal zu  $g_1$  und  $g_2$  (Nr. 59); durch  $P$  führt man dann die Parallelebene  $E$  zu  $\Phi$ . Oder: Man ziehe durch  $P$  die Spurparallele  $h', h''$  der verlangten Ebene, also durch  $P_1$   $h'_1$  normal zu  $g_1$ ,  $h''_1$  parallel zu  $a$ , durch  $P_2$   $h'_2$  parallel zu  $a$ ,  $h''_2$  normal zu  $g_2$ . Durch  $h', h''$  ist  $E$  bestimmt; die endlichen Spuren dieser Geraden und der Parallelismus von  $s'$  mit  $h'_1$  und von  $s''$  mit  $h''_2$  liefern  $s', s''$  von  $E$ , wenn man sie haben will.

Ist  $F$  der Schnittpunkt von  $E$  mit  $g$ , so ist  $PF$  das Loth aus  $P$  auf  $g$  und man hat die Lösung der Aufgabe: *Aus einem Punkte  $P$  auf eine Gerade  $g$  das Loth zu fällen.* Als Specialfall der Aufgabe: Durch einen Punkt eine Gerade zu ziehen, welche eine Gerade  $g$  unter einem gegebenen Winkel schneidet, wird sie später (Nr. 86) noch eine andere Lösung finden.

Ist  $g$  zu der einen Projectionsebene parallel, so vereinfacht sich unsere jetzige Aufgabe wesentlich (Nr. 31 c).

80. *Die Entfernung zweier parallelen Ebenen  $E, \Phi$ , die durch ihre Spuren gegeben sind, zu finden.*

Aus dem Axenschnitt der einen  $\Phi$  fälle man das Loth auf  $s'_E$  und errichte in ihm das Loth auf  $a$  bis zum Schnitte mit  $s''_E$ ; die Hypotenusenhöhe des rechtwinkligen Dreiecks, das diese Lothe zu Katheten hat, ist die Entfernung; denn die beiden Lothe sind senkrecht zu  $s'_E$ , also ist ihre Ebene senkrecht zu  $s'_E$  und zu  $E$  und daher auch jene Höhe senkrecht zu  $E$ .

81. *Die Gerade, welche zu zwei windschiefen Geraden  $g$  und  $l$  rechtwinklig ist und beide schneidet, zu construiren.*

Diese Aufgabe ist ein Specialfall von Nr. 76 b); denn alle  $\infty^2$  Geraden, welche zu  $g$  und  $l$  rechtwinklig sind (Nr. 17), haben eine gegebene Richtung  $r$ , da sie auf den  $\infty^1$  parallelen Ebenen, die zu  $g$  und  $l$  parallel sind, senkrecht stehen; und umgekehrt jede Gerade, die dies thut, ist zu  $g$  und  $l$  rechtwinklig. Wir construiren (Fig. 33) die durch  $g$  gehende von jenen Ebenen, nach Nr. 75 a); sie sei  $E = gm$ , und in ihr Spurparallelen  $h', h''$  von beiden Arten. Die Geraden der Richtung  $r$  haben dann ihre Projectionen senkrecht bezw. zu  $h'_1, h''_2$ . Um die durch  $g$  gehende zur Richtung  $r$  parallele Ebene zu haben, durch deren Schnitt mit  $l$  nach Nr. 76 b) die gesuchte Gerade geht, zieht man durch einen Punkt  $P$  von  $g$  das Loth  $n$  zu  $E$ . Die zu  $E$  senkrechte Ebene  $\Phi = gn$  enthält dann alle  $\infty^1$  zu  $g$  und  $l$  rechtwinkligen Geraden, welche  $g$  schneiden. Man ermittelt nun nach Nr. 63, mit Hilfe einer in  $\Phi$  gelegenen Gerade  $q$ , die mit  $l$  eine Projection gemeinsam hat ( $q_1 = l_2$ ), den Schnittpunkt  $F = \Phi l$  und führt durch ihn die Parallele  $p$  zu  $n$  oder, was dasselbe ist, die Senkrechte zu  $E$ . Das

ist die verlangte Gerade. Sie fällt in  $\Phi$  und muss  $g$  (in  $N$ ) schneiden, was Kontrolle ist.

Die wahre Länge von  $FN$  wird nach Nr. 44 ermittelt. Sie ist die kürzeste Entfernung zwischen zwei Punkten von  $g$  und  $l$ . In der

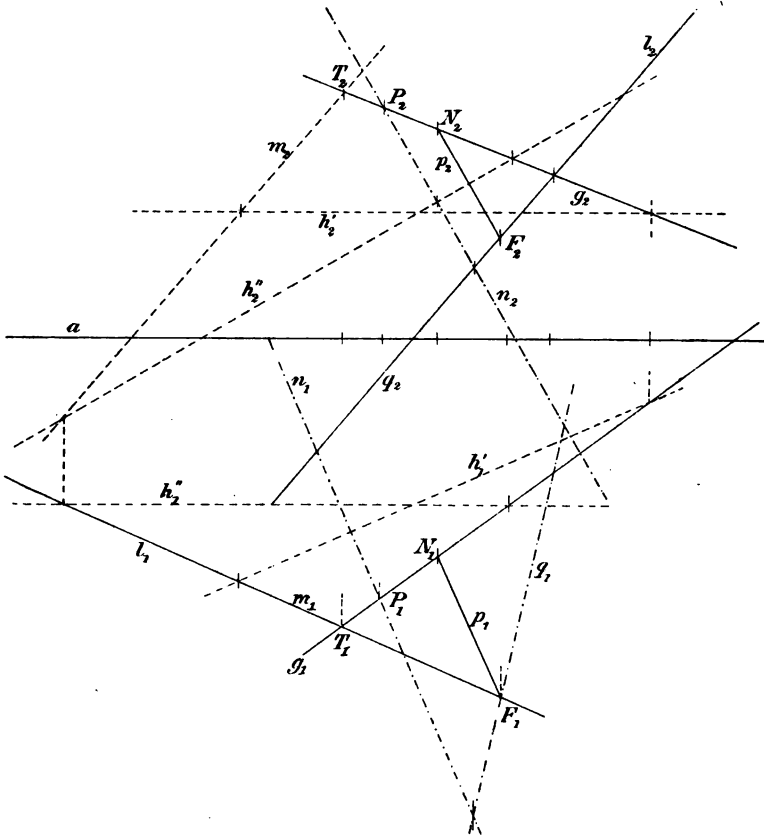


Fig. 33.

That, wenn  $X$  ein beliebiger Punkt von  $g$ ,  $Y$  einer von  $l$  und  $Z$  die Orthogonalprojection von  $Y$  auf  $E$  ist, so ist  $YZ = FN$ , weil  $FY$  oder  $l$  zu  $E$  parallel ist; wegen des rechten Winkels  $XZY$  ist  $XY > YZ$  oder  $FN$ .

Die Construction von  $p$  und  $FN$  vereinfacht sich erheblich, wenn  $g$  und  $l$  beide zu der einen Projectionsebene parallel sind (Nr. 32).

82. In den folgenden Aufgaben werden *Winkel* als gegebene oder gesuchte Stücke vorkommen.

Die Aufgabe, den Neigungswinkel einer Gerade  $g$  gegen eine der Projectionsebenen zu bestimmen, ist schon in Nr. 44 erledigt.

Die in Nr. 69 gelehrt Construction des Neigungswinkels  $\alpha'$  einer Ebene  $E$  gegen eine Projectionsebene, z. B.  $\Pi_1$ , nehmen wir aus der dortigen complicirtern Figur heraus. Man trägt (Fig. 34) am besten die Kathete  $P_1P'$  von  $P_1$  auf der Axe auf bis  $P_0''$ ; so dass  $P_2P_0''P_1$

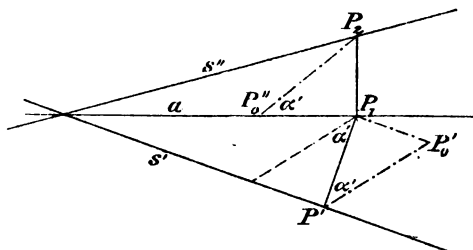


Fig. 34.

der Winkel  $\alpha'$  ist. Das Dreieck  $P_2P_1P_0''$  ist das rechtwinklige Dreieck in der Neigungswinkel-Ebene, um  $P_2P_1$ , die zweite Spur dieser Ebene, in  $\Pi_2$  umgelegt. Die Umlegung  $P_1P'P_0'$  um die erste Spur  $P_1P'$  erfordert die Construction eines neuen rechten Winkels; es ist

dann  $P_1P'P_0' = \alpha'$ ; verzichtet man auf die richtige Lage der Umlegung, so kann man den schon vorhandenen rechten Winkel bei  $P'$  benutzen.

Nähert sich  $s'$  der Normalität zur Axe, so nähert sich das Loth aus  $P_1$  auf  $s'$  der Axe selbst und man sieht, wie, wenn die Normalität eingetreten ist, also  $E$  auf  $\Pi_2$  senkrecht steht, der Winkel  $(s'', a)$  der Neigungswinkel  $\alpha' = (E, \Pi_1)$  geworden ist (Nr. 57).

Statt der Spur  $s'$  kann man sich wieder einer ersten Spur-parallele  $h'$  bedienen, indem ja  $E$  mit jeder Parallelebene zu  $\Pi_1$  denselben Winkel bildet, wie mit  $\Pi_1$  selbst. Es sei  $P$  dann ein beliebiger

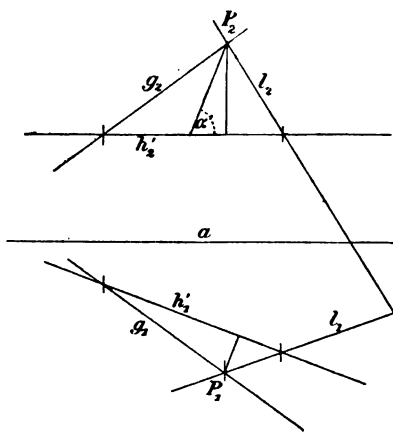


Fig. 35.

Punkt der Ebene, so wird man aus den Lothen aus  $P_1$  auf  $h_1'$  und aus  $P_2$  auf  $h_2'$  als Katheten das rechtwinklige Dreieck construiren, in dem dann wieder der Gegenwinkel der letzteren der  $\angle \alpha'$  ist.

Dies empfiehlt sich besonders, wenn  $E$  durch zwei sich schneidende Geraden oder durch eine Figur bestimmt ist und die Spur  $s'$  eine unbequeme Lage hat. Den Punkt  $P$  legt man dann offenbar auf eine der beiden Geraden oder auf den Umfang der Figur. (Fig. 35).

Die Lösung der Aufgabe: Die Spur  $s'$  und der Neigungswinkel  $\alpha'$  (gegen  $\Pi_1$ ) einer Ebene  $E$  ist gegeben; die zweite Spur  $s''$  zu finden, ist mit dem Vorhergehenden gegeben; es sind stets zwei Ebenen möglich (Nr. 24).

Wenn  $E$  der Projectiionsaxe parallel ist, so giebt das rechtwinklige

Dreieck, welches die Entfernungen der Spuren  $s'$  und  $s''$  von  $a$  zu Katheten hat und durch den Schnitt einer zu  $a$ ,  $s'$ ,  $s''$  normalen Ebene mit  $\Pi_1$ ,  $\Pi_2$ ,  $E$  entsteht, zugleich  $\alpha' = (E, \Pi_1)$  und  $\alpha'' = (E, \Pi_2)$ .

83. Die wahre Grösse des Winkels zweier Geraden  $g$  und  $l$  zu finden.

Wir setzen voraus, dass  $g$  und  $l$  sich (in  $P$ ) schneiden; denn im andern Falle können wir sie, ohne den Winkel zu ändern (Nr. 17), durch Parallelverschiebung der einen (Nr. 75) zum Schnitte bringen (Fig. 36). Von der Ebene, welche sie bestimmen, construirt man eine

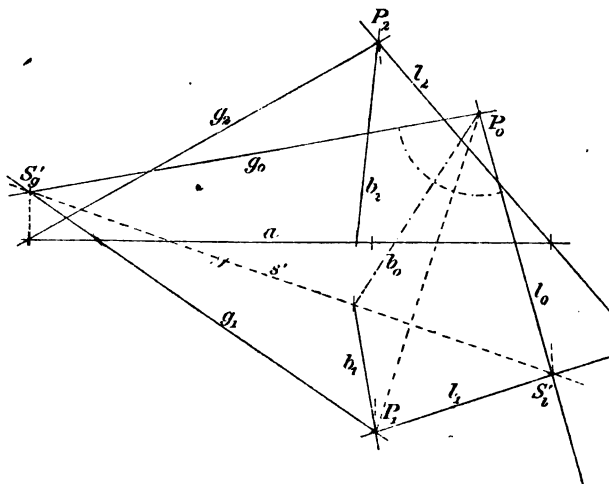


Fig. 36.

Spur  $s'$  oder bei unbequemer Lage eine Spurparallele  $h'$  und legt sie um  $s'$  oder  $h'$  in  $\Pi_1$ , bezw. die Parallelebene durch  $h'$  zu  $\Pi_1$  um. Beim Umlegen bleiben die beiden ersten Spuren von  $g$  und  $l$ , bezw. ihre Begegnungspunkte mit  $h'$  (also in der Projection die Punkte  $g_1h_1'$  und  $l_1h_1'$ ) fest und man hat nur noch die Umlegung  $P_0$  des Schnittpunktes  $P$  zu ermitteln, welche dann mit diesen festen Punkten durch  $g_0$  und  $l_0$  verbunden wird.

Ist etwa  $l$  parallel zu  $\Pi_1$  (also  $l_2 \parallel a$ ), so ist  $l_1 \parallel s' \parallel h_1'$  und auch  $l_0 \parallel s' \parallel h_1'$  (Nr. 21);  $l$  ist dann selbst eine erste Spurparallele in der Ebene  $gl$ .

Hat man es freilich mit dem Winkel zu thun, der von zwei bestimmten unter den vier Halbstrahlen, die durch  $P$  auf  $g$  und  $l$  entstehen, gebildet wird, so muss man sich überzeugen, ob diese Schenkel beide jene fest bleibenden Punkte enthalten; andernfalls erhält man durch die Umlegung den Neben- oder den Scheitelwinkel des gesuchten Winkels.

Jede *Theilung*, die bei einem Winkel überhaupt möglich ist, kann nun auch bei einem durch seine Projectionen dargestellten Winkel ausgeführt werden, indem man sie an dem umgelegten vornimmt und jede erhaltene Theilungslinie dann wieder aufrichtet, wobei ihr Begegnungspunkt mit der Geraden ( $s'$  oder  $h'$ ), um welche umgelegt ist, fest bleibt, d. h. gleichzeitig Umlegung und erste Projection ist, während die zweite Projection auf  $\alpha$ , bzw.  $h_2'$  liegt. In Fig. 36 ist der Winkel ( $g, l$ ) durch  $b$  halbirt.

84. Den Neigungswinkel einer Gerade  $g$  gegen eine Ebene  $E$  zu construiren.

a) Man führt durch  $g$  die Ebene  $\Phi$  normal zu  $E$  (Nr. 77), construirt die Schnittlinie  $k = \Phi E$  (Nr. 64, 65) und sucht durch Umlegung den spitzen Winkel ( $g, k$ ) nach Nr. 83. Oder einfacher:

b) Man fällt aus irgend einem Punkte von  $g$  auf  $E$  das Loth  $p$  (Nr. 61), sucht den spitzen Winkel ( $g, p$ ) durch Umlegung und erhält dadurch den Complementwinkel des gesuchten Winkels (Nr. 18).

Wenn die Winkel einer und derselben Gerade  $g$  mit verschiedenen Ebenen gefunden werden sollen, — z. B. die Winkel eines Lichtstrahls (bei parallelem Lichte) mit den verschiedenen Seitenflächen eines Polyeders, um die Beleuchtung dieser Flächen zu bestimmen, welche dem Sinus des Winkels proportional ist, — so wird man, bei Anwendung der im allgemeinen vorzuziehenden Construction b), die Lothe  $p$  durchweg aus demselben Punkte  $P$  von  $g$  fallen. Werden die verschiedenen Ebenen ( $g, p$ ) nach  $\Pi_1$  umgelegt, so kommen die Umlegungen von  $P$  alle auf den Kreis zu liegen, welcher die Spur  $S'_g$  zum Mittelpunkte und die wahre Länge von  $S'_g P$  zum Radius hat; nach der ersten Umlegung von  $P$  hat man diese, kann den Kreis schlagen, welcher die weiteren Umlegungsconstructionen abkürzt. Ja, wenn man die  $g$  so gezogen hat, dass sie die Axe trifft und vereinigte Spuren hat, so kann man denselben Kreis benutzen, mag man die Umlegungen nach  $\Pi_1$  oder  $\Pi_2$  vornehmen; ein solcher Wechsel ist, wenn die andere Projectionsebene zu günstigeren Lagen führt, oft erwünscht.

Um die Umlegung  $P_0$ , in  $\Pi_1$ , zu finden, muss man aus  $P_1$  das Loth auf die erste Spur der Ebene  $gp$  ziehen; die beiden Schenkel des so erhaltenen rechten Winkels gehen durch die festen Punkte  $P_1$  und  $S'_g$ , folglich liegt der Fusspunkt des Lothes auf dem Kreise über  $P_1 S'_g$  als Durchmesser. Man wird bald erkennen, dass dieser Kreis die Construction der Lothe erleichtert.

85. Den Neigungswinkel zweier Ebenen  $E$  und  $\Phi$  zu finden.

a) Man sucht die Schnittlinie  $k = E\Phi$ , errichtet auf ihr irgend

eine senkrechte Ebene  $\Delta$  (Nr. 79), sucht die Schnittlinien  $\Delta E$  und  $\Delta \Phi$  und durch Umlegung deren Winkel. Oder einfacher:

b) Man fällt aus irgend einem Punkt die Lothe  $p$  und  $q$  auf die beiden Ebenen und sucht durch Umlegung die wahre Grösse des spitzen  $\angle(p, q)$ , denn derselbe ist nach Nr. 18 dem spitzen  $\angle(E, \Phi)$  gleich.

86. Die in Nr. 79 erwähnte Aufgabe: *Durch einen Punkt  $P$  nach einer Geraden  $g$  unter gegebenem Winkel  $\gamma$  eine Gerade zu ziehen* (Fig. 37, Taf. II), wird einfach durch Umlegung der Ebene  $Pg$  und nachherige Wiederaufrichtung der in der Umlegung durch  $P_0$  nach  $g_0$  unter  $\gamma$  gezogenen

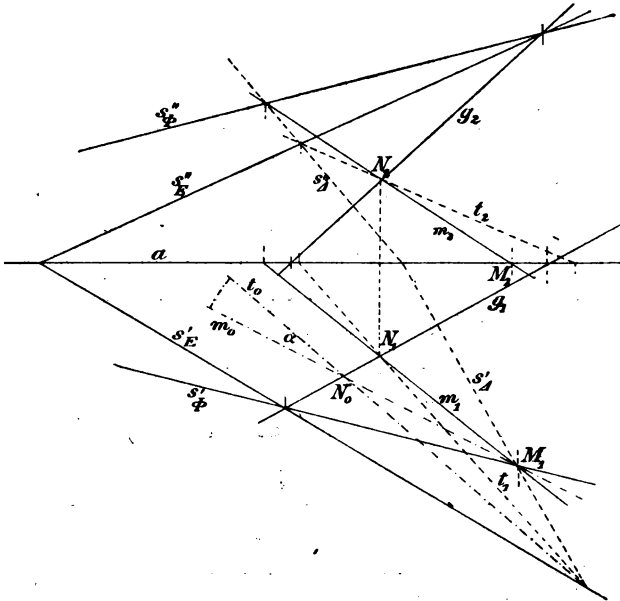


Fig. 38.

Gerade  $t_0$  gelöst, wobei natürlich (und so immer) die festen Punkte, wenn sie auf dem Zeichenblatte vorhanden sind, benutzt werden. Sind sie nicht vorhanden, so ist irgend ein Punkt der gewonnenen Gerade in der Umlegung in der früher beschriebenen Weise aufzurichten; am einfachsten ist der dem Punkte  $T_0 = g_0 t_0$  entsprechende  $T_1 = g_1 t_1$  zu finden, indem ja die Verbindungslinie normal zur ersten Spur von  $Pg$  sein muss.

Die Aufgabe hat zwei Lösungen ( $t$  und  $v$ ), wenn  $0^\circ < \gamma < 90^\circ$ .

87. Eine Ebene  $E$  ist gegeben und in ihr eine Gerade  $g$ ; es soll durch letztere eine Ebene  $\Phi$  gelegt werden, welche mit  $E$  den Winkel  $\alpha$  bildet (Fig. 38).



Jede Ebene, welche zu  $g$  normal ist, wird in  $E$  um  $\Phi$  die Schenkel des Neigungswinkels einschneiden. Man construiere also eine solche Ebene  $\Delta$ , d. h. ziehe aus irgend einem Punkte der Projectionsaxe  $s'_\Delta$  normal zu  $g_1$ ,  $s''_\Delta$  normal zu  $g_2$ , ermittle die Schnittlinie  $t = \Delta E$  und den auf ihr befindlichen Punkt  $N = g\Delta$ , lege die Ebene  $\Delta$  um  $s'_\Delta$  in  $\Pi_1$  um und construiere  $t_0$  und  $N_0$  (letzterer muss auf  $g_1$  fallen). In  $N_0$  lege man an  $t_0$  den Winkel  $\alpha$  an; sei  $m_0$  der zweite Schenkel, so ist derselbe die umgelegte Linie  $\Delta\Phi$ ; er werde aufgerichtet; trifft  $m_0$  die  $s'_\Delta$  in  $M_1 \equiv M_0$ , so liegt  $M_2$  auf  $a$  und  $N_1M_1$  ist  $m_1$ ,  $N_2M_2$  ist  $m_2$ . Die verlangte Ebene  $\Phi$  ist durch  $g$  und  $m$  bestimmt und können, wenn nothwendig, ihre Spuren nach Nr. 60 gefunden werden, was in der Figur geschehen ist.

Da die Winkelantragung, ausser wenn  $\alpha = 90^\circ$  ist, auf zwei Weisen geschehen kann, so hat die Aufgabe zwei Lösungen (die Figur enthält blos eine). Ist  $\alpha = 90^\circ$ , so erfolgt die Lösung einfacher nach Nr. 77.

88. Jede Gerade in  $E$  liefert also zwei Ebenen  $\Phi$ , welche mit  $E$  den Winkel  $\alpha$  bilden; folglich giebt es im Ganzen  $\infty^2$ ; und mit einer Normale auf  $E$  bilden sie auch einen festen Winkel, das Complement von  $\alpha$ . *Daher ist es für eine Ebene eine einfache Bedingung, mit einer gegebenen Ebene oder mit einer gegebenen Gerade einen gegebenen Winkel zu bilden*; durch einen Punkt gehen also  $\infty^1$  solche Ebenen, durch eine Gerade eine endliche Zahl.

Durch einen Punkt von  $E$  gehen  $\infty^1$  Strahlen, welche mit dem in ihm auf  $E$  errichteten Lothe  $p$  einen gegebenen Winkel und daher auch mit  $E$  selbst einen festen Winkel, das Complement des ersteren, bilden; folglich haben wir insgesamt  $\infty^3$  *Strahlen, welche mit  $E$  (oder  $p$ ) einen gegebenen Winkel bilden, und das ist für einen Strahl ebenfalls eine einfache Bedingung*;  $\infty^1$  von ihnen erfüllen noch die doppelte Bedingung, durch einen gegebenen Punkt zu gehen.

Alle diese  $\infty^1$  Strahlen durch einen Punkt  $P$ , welche  $E$  unter dem Winkel  $\alpha$  und daher das aus  $P$  auf  $E$  gefällte Loth  $PF$  unter dem Winkel  $90^\circ - \alpha$  schneiden, bilden ersichtlich einen geraden Kreis- oder Rotationskegel, dessen Axe  $PF$  ist und welcher über dem Kreise in  $E$  um  $F$  mit dem Radius  $PF \cdot \cotg \alpha$  steht; denn in dieser Entfernung von  $F$  liegen alle ihre Schnitte  $S$  mit  $E$ . Jede der Kanten  $PS$  projicirt sich (orthogonal) auf  $E$  in den Radius  $FS$  und ist demnach in der Berührungsebene des Kegels, welche die Tangente in  $S$  an den Kreis mit  $P$  verbindet, Spurnormale gegen  $E$ . Also haben die Berührungsebenen des Kegels gegen  $E$  und  $PF$  dieselben Neigungen  $\alpha$  und  $90^\circ - \alpha$  wie die Kanten. Umgekehrt, in jeder durch  $P$  gehenden

Ebene, welche gegen  $E$  unter dem Winkel  $\alpha$  geneigt ist, ziehen wir durch  $P$  die Spurnormale  $PS$  gegen  $E$ , welche also auch diese Neigung hat, sodass sie dem eben besprochenen Rotationskegel angehört und  $S$  dem Grundkreise. Die Spur der Ebene in  $E$  steht daher senkrecht in  $S$  auf der Projection  $FS$  dieser Spurnormale und ist Tangente des Kreises in  $S$ , die Ebene Berührungsebene des Kegels längs  $PS$ . Daher:

Die  $\infty^1$  Geraden und Ebenen durch  $P$ , welche gegen die Ebene  $E$  unter dem gegebenen Winkel  $\alpha$  geneigt sind, sind Kanten und Berührungsebenen eines und desselben Rotationskegels, der über dem Kreise in  $E$  steht, welcher um  $F$  mit dem Radius  $PF \cotg \alpha$  geschlagen ist, wo  $PF$  das Loth aus  $P$  auf  $E$  ist.

89. Die Aufgabe in Nr. 87 soll für den Fall gelöst werden, dass  $g$  ausserhalb  $E$  liegt (Fig. 39).

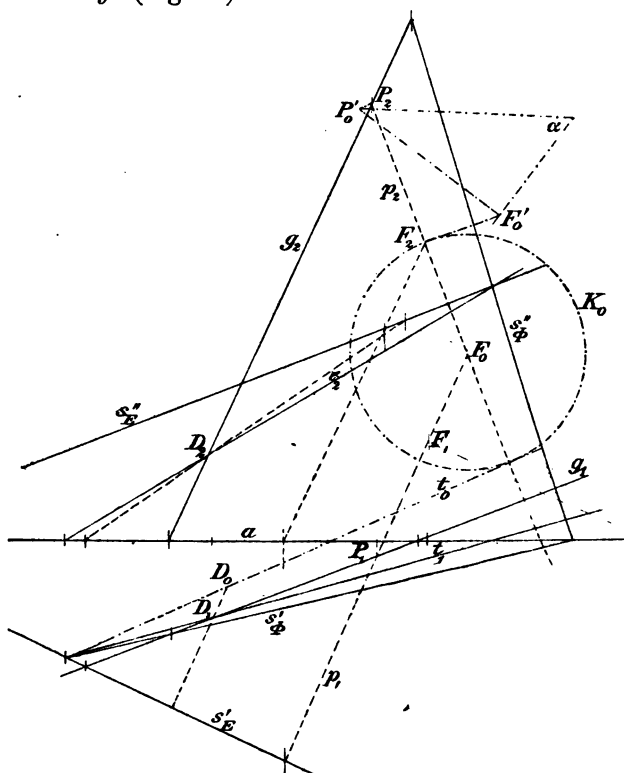


Fig. 39.

Es sei  $P$  ein beliebig auf  $g$  gewählter Punkt; so fälle man aus ihm das Loth  $p$  auf  $E$ , suche dessen Fusspunkt  $F$  und ermittle die wahre Länge  $P_0F_0$  von  $PF$ ; man construire ferner den Schnittpunkt

$D = gE$ , lege die Ebene  $E$  um ihre erste Spur  $s'_E$  um und ermittle die Umlegungen  $F_0$  und  $D_0$  von  $F$  und  $D$ . In der Umlegung wird der Kreis  $K_0$  um  $F_0$  mit dem Radius  $PF \cdot \cotg \alpha$  geschlagen. Führt man dann von  $D_0$  die Tangenten an ihn, so sind dies die umgelegten  $E$ -Spuren derjenigen mit  $E$  den Winkel  $\alpha$  bildenden Ebenen, welche nicht bloß durch  $P$ , sondern durch  $g$  gehen, also der verlangten Ebenen. Jede dieser  $E$ -Spuren (in der Figur ist bloß eine  $t_0$  gezogen) richtet man auf, wobei man event.  $D$  und den Punkt  $t_0 s'_E$  benutzt, welcher letztere fest bleibt. Mit jeder dieser Spuren bestimmt  $g$  eine der verlangten Ebenen.

Die Entfernung  $DF = D_0 F_0$  ist gleich  $PF \cdot \cotg \beta$ , wenn  $\beta = \sphericalangle(g, E)$  ist. Es werden mithin zwei oder eine oder keine Tangente von  $D_0$  an  $K_0$ , also zwei Ebenen, oder eine, oder keine möglich sein, je nachdem  $PF \cdot \cotg \beta >$  oder  $=$  oder  $< PF \cotg \alpha$ , folglich je nachdem  $\alpha >$  oder  $=$  oder  $< \beta$  ist (Nr. 16). Ist  $\alpha = 90^\circ$ , so ist  $PF \cdot \cotg \alpha = 0$ , also reducirt sich der Kreis auf den Punkt  $F$ ; die Tangenten vereinigen sich stets in die Linie  $DF$ ; mithin giebt es nur eine Lösung.

Die Aufgabe wird dann freilich nach Nr. 77 einfacher gelöst.

In der Aufgabe von Nr. 87 war  $\beta = 0^\circ$ ; also fällt der dritte Fall, wo keine Lösung sich ergibt, fort.

Wenn die Aufgabe gestellt ist: Durch  $g$  die Ebene zu legen, welche mit  $E$  den kleinsten Winkel ( $\beta$ ) bildet, in der also  $g$  Spurnormale gegen  $E$  ist, so ist deren  $E$ -Spur offenbar die Senkrechte durch  $D$  zu  $DF$ ; der Kreis  $K$  geht in diesem Fall durch  $D$ .

90. *Es sind zwei Ebenen  $E$  und  $\Phi$  gegeben und in  $\Phi$  ein Punkt  $P$ ; durch denselben soll in  $\Phi$  eine Gerade gezogen werden, welche mit  $E$  den Winkel  $\beta$  bildet (Fig. 40).*

Man construire die Schnittlinie  $k = E\Phi$ , fälle aus  $P$  auf  $E$  das Loth, construire dessen Fusspunkt  $F$  und wahre Länge  $PF$ , lege  $E$  um (um  $s'_E$ ), schlage um  $F_0$  mit dem Radius  $PF \cdot \cotg \beta$  den Kreis  $K_0$ . Die Punkte, in denen derselbe  $k_0$  trifft, — in der Figur ist nur einer,  $S_0$ , benutzt, — sind die umgelegten  $E$ -Spuren der verlangten Geraden. Dieselben richtet man mit  $E$  wieder auf. Die Aufgabe hat also zwei Lösungen, eine oder keine, je nachdem die Entfernung der Gerade  $k$  von  $F$  (oder  $k_0$  von  $F_0$ )  $<$  oder  $=$  oder  $>$  als  $PF \cotg \beta$  ist; mithin, da diese Entfernung gleich  $PF \cdot \cotg \alpha$  ist, wo  $\alpha = \sphericalangle(E, \Phi)$ , je nachdem  $\beta <$  oder  $=$  oder  $> \alpha$  ist (Nr. 15).

Will man durch  $P$  die Gerade in  $\Phi$  ziehen, welche gegen  $E$  die grösste Neigung ( $\alpha$ ) hat, also Spurnormale gegen  $E$  ist, so erhält man als ihre umgelegte  $E$ -Spur den Fusspunkt des Lothes aus  $F_0$  auf  $k_0$ ; der obige Kreis berührt dann die Gerade  $k_0$ .

Beide Aufgaben Nr. 89 und 90 vereinfachen sich erheblich, wenn  $E$  eine der Projectionsebenen ist.

91. Es sind zwei windschiefe Geraden  $g$  und  $l$  gegeben; durch  $g$  soll die Ebene gelegt werden, welche mit  $l$  den Winkel  $\beta$  bildet.

Man errichtet auf  $l$  irgend eine normale Ebene  $E$  und legt nach Nr. 89 durch  $g$  die Ebenen, welche gegen  $E$  unter dem Winkel  $90^\circ - \beta$

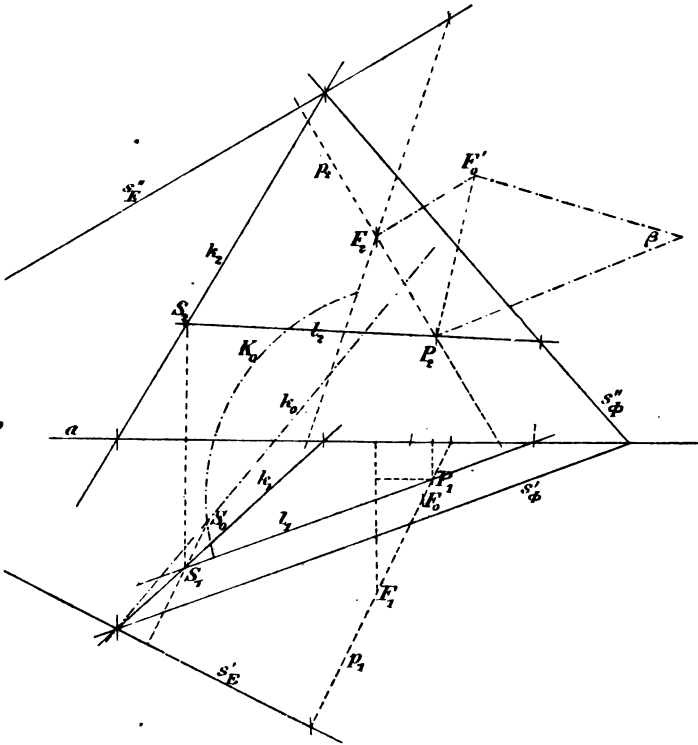


Fig. 40.

geneigt sind. Es giebt zwei Lösungen oder eine oder keine, je nachdem  $\beta <$  oder  $=$  oder  $>$   $\gamma$ , wo  $\gamma = \sphericalangle(g, l)$  ist (Nr. 19).

Man bekommt die Ebene durch  $g$ , welche gegen  $l$  den grössten Neigungswinkel, nämlich  $\gamma$ , hat, wenn man die Ebene sucht, welche mit  $E$  den  $\sphericalangle 90^\circ - \gamma$  bildet, d. i. den, welchen  $g$  mit  $E$  bildet.

Sie steht auf der durch  $g$  zu  $l$  parallel geführten Ebene senkrecht und kann also auch durch Nr. 75a) und 77 erhalten werden.

Ebenso führt man die Aufgabe: In einem Strahlenbüschel  $(P, \Phi)$  die Strahlen zu construiren, welche mit einer gegebenen Gerade  $l$  einen gegebenen Winkel bilden, vermittelst einer zu  $l$  normalen Ebene  $E$  auf Nr. 90 zurück (Nr. 17).

## Vierter Abschnitt.

## Drehung der dargestellten Gebilde um Axen.

92. Durch eine Drehung um eine Axe\*) kann man räumliche Gebilde sowohl in günstigere Lagen zu der einen oder andern Projectionsebene bringen, oder auch umgekehrt aus solchen Lagen, in denen oft die Projectionen wenig anschaulich sind, — man denke an einen Würfel, von welchem zu jeder der Projectionsebenen zwei Flächen parallel sind und daher je vier Flächen sich geradlinig projiciren — in andere mit anschaulicheren Projectionen versetzen. Wir begnügen uns mit Axen, die zu einer der Projectionsebenen normal sind. Es sei z. B.  $d'$  eine im Punkte  $D_1$  auf  $\Pi_1$  senkrechte Drehaxe.

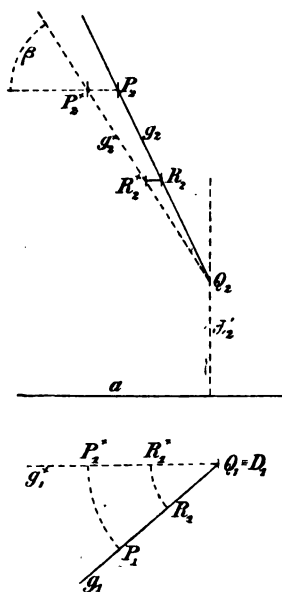


Fig. 41.

Bei der Drehung um  $d'$  beschreibt jeder Punkt  $P$  des Raumes einen Kreisbogen, dessen Mittelpunkt auf  $d'$  liegt und dessen Ebene zu  $d'$  normal, also zu  $\Pi_1$  parallel und auf  $\Pi_2$  senkrecht ist. Daraus geht hervor, dass die erste Projection  $P_1$  sich ebenfalls auf einem Kreisbogen um  $D_1$  etwa bis  $P_1^*$  bewegt und die zweite auf einer Parallelen zur Projectionsebene bis  $P_2^*$ , so dass  $P_1^*P_2^*$  normal zu  $a$  ist.

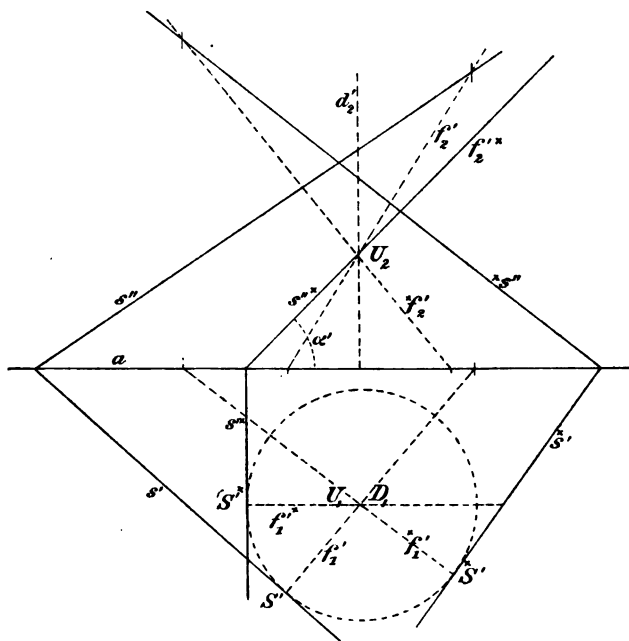
Die Centriwinkel, die zu den von verschiedenen Punkten (und ihren ersten Projectionen) bei derselben Drehung beschriebenen Kreisbögen gehören, haben offenbar gleiche Grösse und Drehrichtung, und werden diese Bögen deshalb, um die gleichen Centriwinkel zu erhalten, am besten auf einen alle umschliessenden concentrischen Kreis übertragen.

93. Man erhält durch diese Drehung ein neues Mittel, den Neigungswinkel einer Gerade  $g$  gegen die Projectionsebene, auf der die Drehaxe senkrecht ist, also hier  $\Pi_1$ , zu ermitteln, sowie die wahre Länge einer Strecke  $PQ$ , die auf ihr liegt (Fig. 41).

\*) Man mache sich den Unterschied zwischen einer Drehung um eine Axe und um einen Punkt im Raume klar; letztere ist unbestimmter und ermöglicht  $\infty^3$  Lagen, erstere nur  $\infty^1$ . Von dieser gelangt man zur Drehung um einen Punkt in einer Ebene, wenn man sich auf eine zur Drehaxe senkrechte Ebene beschränkt

Man legt die Drehaxe durch den einen Endpunkt, z. B.  $Q$ , so dass  $Q_1 \equiv D_1$ : dadurch erspart man sich die Drehung von  $Q$ . Man bewege nun  $P_1$  auf einem Kreisbogen um  $Q_1$  bis  $P_1^*$ , so dass  $Q_1 P_1^* \parallel a$  ist, also  $Q P^*$  parallel  $\Pi_2$ ;  $P_2$  bewegt sich dabei auf der Parallelen zu  $a$  bis  $P_2^*$ . Offenbar ist nun  $Q_2 P_2^*$  gleich der wahren Länge  $Q P$ ; ferner ist der Neigungswinkel  $\beta$  von  $g = Q P$  gegen  $\Pi_1$ , der sich bei der Drehung nicht ändert, in wahrer Grösse durch den Winkel, welchen  $Q_2 P_2^*$  mit  $a$  (oder mit  $P_2^* P_2$ ) bildet (Nr. 47), dargestellt.

Soll auf einer Gerade vom Punkte  $Q$  aus nach der einen Seite hin eine Strecke von gegebener Länge aufgetragen werden, so nimmt man



**Fig. 42.**

erst einen beliebigen Punkt  $P$  auf  $g$ , dreht  $QP$  nach  $QP^* = g^*$ , wie eben beschrieben, trägt dann auf  $Q_2P_2^*$  von  $Q_2$  die gegebene Strecke auf bis  $R_2^*$ , erhält durch Lothen auf  $Q_1P_1^*$  den Punkt  $R_1^*$  und dreht wieder zurück nach  $R$  auf  $g$  oder gelangt von  $R_2^*$  parallel zu  $a$  zu  $R_2$  auf  $g$ , und erhält  $R_1$  durch Lothen.

94. Wird eine Ebene  $E$  gedreht (Fig. 42), so bleibt der Punkt  $U = Ed'$  fest, ebenso verändern sich die Neigungen  $(E, d')$  und  $(E, \Pi_1)$  nicht; die erste Spur  $s'$  bleibt in der Ebene dieselbe Linie, während sie in  $\Pi_1$  einen Kreis um  $D_1$  umhüllt; derselbe Kreis wird von der

ersten Spur der durch  $Ed'$  gehenden ersten Spurnormale von  $E$  beschrieben (Nr. 88).

Die zweite Spur  $s''$  verändert sich auch in der Ebene selbst. Um die neue zweite Spur  $*s''$  für irgend eine Lage von  $*s'$  zu haben, muss man in  $E$  eine Gerade  $g$  besitzen, welche man dreht; der Centriwinkel, der zu dem von jedem Punkte von  $g$  beschriebenen Kreisbogen gehört, ist gleich dem Winkel, welcher von den nach den Berührungspunkten von  $s'$  und  $*s'$  gezogenen Radien, also von  $s'$  und  $*s'$  selbst gebildet wird. Am einfachsten gestaltet sich die Construction, wenn  $g$  die eben genannte Spurnormale  $f'$  ist, denn ihre erste Spur  $S'$ , bez.  $*S'$  ist der Berührungspunkt von  $s'$  und  $*s'$ .

Kommt durch die Drehung  $s'$  in senkrechte Lage  $s'^*$  zur Projectionsaxe  $a$ , also  $E$  zu  $\Pi_2$ , so ist der Winkel zwischen  $a$  und  $s'^*$  der Neigungswinkel ( $E, \Pi_1$ ) in wahrer Grösse (Nr. 57, 82). Bei dieser Lage ist die eben genannte Spurnormale parallel zu  $\Pi_2$ ; da dann  $s'^*$  ihre zweite Projection ist, so tritt deutlich hervor, dass die Neigungswinkel einer Ebene und ihrer ersten Spurnormalen gegen  $\Pi_1$  gleich sind.

Der bloss zu diesem Zwecke nothwendige Theil der Figur geht in die Figur 34 über, wenn  $d'$  in  $\Pi_2$  gelegt wird.

95. Da der Neigungswinkel einer Ebene gegen  $\Pi_1$  bei der Drehung um eine auf  $\Pi_1$  normale Axe erhalten bleibt, so bleiben z. B. auch alle zu  $\Pi_1$  parallelen Ebenen parallel und alle zu  $\Pi_1$  normalen normal. Die Geraden, in welche sich Figuren in solchen Ebenen in  $\Pi_2$ , bez.  $\Pi_1$  projeciren, gehen noch nicht in ordentliche Figuren über. Es ist daher, um solche zu erzielen, oft nothwendig, *zwei Drehungen hinter einander vorzunehmen*, die eine um eine Axe  $d'$  normal auf  $\Pi_1$ , die andere um eine Axe  $d''$  normal auf  $\Pi_2$ . Bei einer Ebene, die zu der einen Projectionsebene parallel ist, entfernt man ihre Normalität zur andern nur dadurch, dass man zuerst um eine zu der letzteren senkrechte Axe dreht, nicht bei der umgekehrten Reihenfolge.

Um *Collision* der Projectionen der ursprünglichen und der gedrehten, bez. wiederholt gedrehten Figur zu vermeiden, legt man entweder den Fusspunkt der Drehaxe ausserhalb der Figur oder, wenn Symmetriegründe einen Punkt innerhalb (z. B. einen etwaigen Mittelpunkt) für geeignet erscheinen lassen, verschiebt man die gedrehte Figur parallel zur Projectionsaxe, wobei man bloss nothwendig hat, die sämtlichen Projectionen um eine gleiche Strecke parallel zu  $a$  zu verschieben.

Durch zwei Drehungen um  $d'$  und  $d''$  kann man auch umgekehrt

eine Ebene  $E$  parallel zu einer Projectionsebene machen, also die Projection einer ebenen Figur zur Congruenz mit der Figur selbst bringen. Man dreht die Ebene um  $d'$ , bis  $s^{**}$  normal  $a$  ist; darauf um  $d''$ , bis  $s^{***}$  parallel  $a$  ist. Durch die erste Drehung ist die Ebene senkrecht zu  $\Pi_2$  geworden und bleibt es bei der zweiten, kann also parallel zu  $\Pi_1$  werden.

Ebenso kann man eine Gerade  $g$  zur Normalität auf der einen Projectionsebene bringen. Dreht man z. B.  $g$  zuerst um  $d'$ , bis sie parallel  $\Pi_2$  ist, so kann man nun durch eine Drehung um  $d''$  sie senkrecht zu  $\Pi_1$ , d. h. ihre zweite Projection normal zu  $a$  machen. Diese Operation ist einfacher als die vorangehende; lässt man daher an der Bewegung von  $E$  eine zu ihr senkrechte Gerade  $g$  theilnehmen, so wird man für die schwieriger zu construierenden Spuren  $s''^*$ ,  $s'^{**}$  die Normalität zu  $g_s^*$ ,  $g_1^{**}$  benutzen.

Einen Würfel z. B., dessen ursprüngliche Projectionen zwei Quadrate sind, kann man durch zweimalige Drehung so stellen, dass die Diagonale zwischen zwei Gegenecken normal zu  $\Pi_1$  ist. Die 12 Kanten projiciren sich dann in  $\Pi_1$  als die sechs Seiten und die sechs Hälften der drei Hauptdiagonalen eines regelmässigen Sechsecks: alle haben gleiche Neigungen gegen  $\Pi_1$ ; deshalb projiciren sich alle zwölf gleich gross und auch die Winkel zwischen zwei Kanten haben gleiche Projectionen in  $\Pi_1$  (Nr. 20).

Zu der zweiten Projectionsebene sind aber die ursprünglich zur  $\Pi_1$  parallelen Flächen noch normal und projiciren sich geradlinig, und erst eine nochmalige Drehung um eine  $d'$  entfernt auch diese Normalität.

Man versuche solche Drehungen auch mit dem Dodecaeder und Icosaeder, welche nach Nr. 108—110 in günstigeren Lagen zu einer Projectionsebene dargestellt sind.

## Fünfter Abschnitt.

### Einführung weiterer Projectionsebenen.

- a. Die neue Projectionsebene ist einer der früheren parallel.

96. Diese Lage der neuen Projectionsebene haben wir schon einige Male, bei Umlegungen von Ebenen um Spurparallelen, erwähnt. Die neue *Projectionsaxe*  $a^*$  ist parallel der alten. Ist die neue Projectionsebene  $^*\Pi_1$  zu  $\Pi_1$  parallel, so bleiben die zweiten Projectionen



ungeändert; die zweiten Ordinaten aber werden alle um die gleiche Strecke (algebraisch) verändert. Die neuen ersten Projectionen der Punkte müssen von  $*a$  dieselbe Entfernung haben, wie die alten von  $a$ ; die neue erste Projection einer Figur ist offenbar der alten vollständig congruent. Diese Verschiebung der ersten Projectiionsfigur ist aber umständlich und wird dadurch vermieden, dass man die *Projectiionsaxe*, insofern sie zur ersten Projectiionsebene gehört, an der alten Stelle  $a$  lässt und  $*a$  nur als die Lage der *Projectiionsaxe* in der zweiten Projectiionsebene auffasst. Es bleibt dann jede erste Projection ebenfalls an ihrer Stelle.

Die vertical über einander liegenden Punkte von  $a$  und  $*a$  entsprechen sich; die Spuren  $*s'$  und  $s''$  einer Ebene treffen  $a$  und  $*a$  in entsprechenden Punkten. Aufriss und Grundriss befinden sich übrigens in technischen Zeichnungen oft auf verschiedenen Blättern; jedes enthält dann die *Axe*, und ein Paar entsprechender Punkte der beiden *Axen* muss markirt sein.

Die *Schnittlinie* zweier durch ihre Spuren  $s'_E, s''_E; s'_\Phi, s''_\Phi$  gegebenen Ebenen  $E$  und  $\Phi$  soll mit Hilfe einer parallel verschobenen ersten

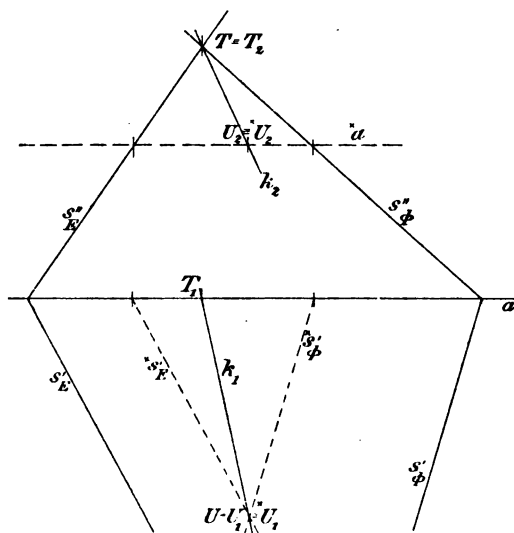


Fig. 43.

Projectiionsebene ermittelt werden, weil der Schnittpunkt der ersten Spuren unbequem liegt (Fig. 43). Die *Axe*  $*a$  in  $\Pi_2$  trifft die beiden zweiten Spuren in Punkten, durch deren entsprechende auf  $a$  die neuen ersten Spuren  $*s'_E, s'_\Phi$  parallel zu den alten gehen. Ihr Schnittpunkt  $*U$  ist ein Punkt der gesuchten Linie; er fällt mit seiner Projection in  $*\Pi_1$  zusammen, die zweite Projection liegt auf der *Axe*  $*a = \Pi_1 \Pi_2$ . Wir haben so einen Punkt  $*U$

von  $k$  an Stelle des unbequemen Schnittpunktes  $U$  der beiden ersten Spuren in  $\Pi_1$ .

Zu derselben Figur sind wir in Nr. 65 gelangt, wo wir die Ebenen  $E$  und  $\Phi$  mit einer zu  $\Pi_1$  parallelen Ebene in ersten Spurparallelen schnitten, um einen Punkt der Schnittlinie  $k$  zu erhalten.

b. Die neue Projectionsebene steht auf beiden früheren senkrecht.

97. Wir denken uns eine dritte Projectionsebene  $\Pi_3$  eingeführt, welche zu  $\Pi_1$  und  $\Pi_2$ , also zur Projectionssaxe  $a$ , die jetzt  $a_{12}$  heissen soll, senkrecht ist (Querriss, Seitenriss, Profil). Es ergeben sich zwei neue Projectionssachsen  $\Pi_1\Pi_3 = a_{13}$  und  $\Pi_2\Pi_3$ , welche beide auf  $a_{12}$  in demselben Punkte senkrecht stehen, dem Schnittpunkt  $O$  der drei Ebenen  $\Pi_1, \Pi_2, \Pi_3$ . Wird nun  $\Pi_2$  um  $a_{12}$  in  $\Pi_1$  umgelegt, so fällt (Fig. 44)  $\Pi_2\Pi_3$  als  $a_{23}$  auf dieselbe Linie wie  $a_{13}$  (senkrecht zu  $a_{12}$ ). Wird auch  $\Pi_3$  um  $a_{13}$  in  $\Pi_1$  umgelegt, und zwar so, dass der obere Theil von  $\Pi_3$  ( $\Pi_3^+$ ), der auf derselben Seite von  $\Pi_1$  sich befindet wie  $\Pi_2^+$ , nach rechts fällt, so fällt nun  $\Pi_2\Pi_3$  als  $a_{32}$  auf  $a_{12}$ , so dass durch den vorderen von den beiden Zeigern angedeutet werde, mit welcher Ebene  $\Pi$  die Axe umgelegt ist; die Namen sind an entsprechende Hälften geschrieben. Es entspricht also jedem Punkt  $P_{23}$  von  $a_{23} \equiv a_{13}$  ein Punkt  $P_{32}$  von  $a_{32} \equiv a_{12}$ , der von  $O$  eben weit absteht, wie jener, und zwar, wenn  $P_{23}$  auf  $a_{23}$  oberhalb (unterhalb)  $O$  liegt, rechts (links) von  $O$  fällt, so dass die Bewegung auf dem Quadranten von  $P_{23}$  nach  $P_{32}$  in dem Sinne der Uhrzeigerbewegung geschieht.

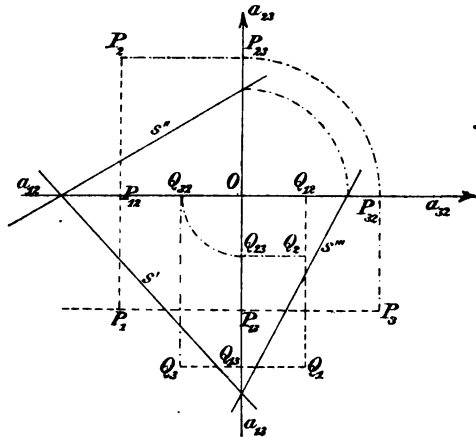


Fig. 44.

Es besteht ein ähnlicher Zusammenhang zwischen  $\Pi_1$  und  $\Pi_3$ , als zwischen  $\Pi_1$  und  $\Pi_2$ ; dagegen ist der zwischen  $\Pi_2$  und  $\Pi_3$  nicht so unmittelbar. Wie die aus  $P_1$  und  $P_2$  auf  $a_{12}$  gefällten Lothe diese Axe in demselben Punkte  $P_{12}$  (früher  $P_a$ ) treffen, so wird auch  $a_{13}$  von den aus  $P_1$  und der dritten Projection  $P_3$  des Punktes  $P$  auf sie gefällten Lothen in demselben Punkte  $P_{13}$  getroffen, während man durch die Lothe aus  $P_2$  auf  $a_{23}$ , aus  $P_3$  auf  $a_{32}$  zu entsprechenden Punkten  $P_{23}$  und  $P_{32}$  gelangt. Zwischen diesen Lothen (Ordinaten) und den Abständen des Punktes  $P$  von den drei Projectionsebenen finden offenbar folgende Gleichheiten statt:

$$\begin{aligned} P_2 P_{12} &= P_3 P_{13} = P P_1; \\ P_1 P_{12} &= P_3 P_{32} = P P_2; \\ P_1 P_{13} &= P_2 P_{23} = P P_3. \end{aligned}$$

Liegt  $P_2P_{12}$  oberhalb (unterhalb)  $a_{12}$ , so muss, entsprechend der obigen Festsetzung über die Umlegung von  $\Pi_3$ , die gleiche Ordinate  $P_3P_{13}$  rechts (links) von  $a_{13}$  fallen.

98. Die dritte Projection  $P_3$  eines Punktes  $P$  zu zeichnen, von dem die erste und zweite Projection bekannt sind (Fig. 44). Man ziehe  $P_1P_{13}$  normal zu  $a_{13}$  und trage auf dieser Ordinatenlinie  $P_3P_{13} = P_2P_{12}$  auch dem Vorzeichen nach auf; oder, was aber umständlicher ist: man ziehe  $P_2P_{23}$  normal zu  $a_{23}$ , übertrage  $P_{23}$  nach  $P_{32}$ , ziehe  $P_{32}P_3$  normal zu  $a_{32}$  und auch dem Vorzeichen nach gleich  $P_{12}P_1$ ; oder durch Vereinigung beider Operationen: man ziehe die Gerade  $P_1P_{13}$  normal zu  $a_{13}$ , ebenso  $P_2P_{23}$  normal zu  $a_{23}$ , übertrage  $P_{23}$  nach  $P_{32}$ , ziehe in  $P_{32}$  zu  $a_{32}$  die Normale, welche die  $P_1P_{13}$  in  $P_3$  treffen muss.

Ebenso soll aus  $P_1, P_3$  die zweite oder aus  $P_2, P_3$  die erste Projection gefunden werden.

Die dritte Projection  $g_3$  einer Geraden  $g = (g_1, g_2)$  findet man, indem man die dritten Projectionen zweier beliebiger Punkte von  $g$  ermittelt. Wenn die drei Spuren  $S', S'', S'''$  sind, so ist der Punkt  $g_3a_{13}$  der Fusspunkt des aus  $S'$  auf  $a_{13}$  gefällten Lothes, der Punkt  $g_3a_{32}$  der Fusspunkt des aus  $S''$  auf  $a_{32}$  gefällten Lothes, nach  $a_{32}$  übertragen. Das Loth auf  $a_{13}$  im Punkte  $g_1a_{13}$  oder das Loth auf  $a_{32}$  in dem entsprechenden Punkte des Punktes  $g_2a_{32}$  markirt auf  $g_3$  den Spurpunkt  $S'''$ . Ist  $g \parallel \Pi_1$ , so sind  $g_2$  und  $g_3$  bez. parallel zu  $a_{12}, a_{13}$  in gleichem Abstände; ist  $g \parallel \Pi_2$ , so fallen  $g_1$  und  $g_3$  in dieselbe zu  $a_{12} \equiv a_{32}$  parallele Gerade; ist  $g \parallel \Pi_3$ , so fallen  $g_1$  und  $g_2$  in dieselbe zu  $a_{13} \equiv a_{23}$  parallele oder zu  $a_{12}$  senkrechte Gerade (Nr. 51).

In Bezug auf die drei Spuren einer Ebene gilt, dass, wie sich  $s'$  und  $s''$  auf  $a_{12}$ , so auch  $s'$  und  $s'''$  auf  $a_{13}$  treffen, während  $s''$  und  $s'''$  den Axen  $a_{23}$  und  $a_{32}$  bez. in entsprechenden Punkten begegnen (Fig. 44).

99. Die dritte Projectionsebene ist besonders erwünscht für solche Geraden, die durch ihre beiden ersten Projectionen nicht vollständig bestimmt sind, d. i. die in zu  $a_{12}$  normalen Ebenen sich befinden (Nr. 51). Zunächst ist jede solche Gerade  $g$  durch ihre dritte Projection und eine der beiden andern dann ebenso eindeutig bestimmt wie die andern Geraden (die dritte Projection wird aus den beiden Punkten  $M, N$  erhalten, durch deren erste und zweite Projectionen die Gerade bestimmt war). Das unmittelbare Lothen ist bei diesen Geraden ersichtlich nie möglich; ebenso versagt die gewöhnliche Construction der Spuren. Hat man z. B. die erste Projection  $P_1$  eines Punktes einer solchen Geraden  $g$ , so muss man, wenn man nicht die in Nr. 45 erwähnte Proportionalität benutzen will, erst  $g_3 = M_3N_3$  construiren,

$P_1$  auf  $g_3$  als  $P_3$  lothen, wodurch sich dann  $P_2$  ergibt, indem  $P_3 P_{13} = P_2 P_{12}$  ist. Der Schnitt  $g_3 a_{13}$ , senkrecht zu  $a_{13}$  auf  $g_1$  gelothet, giebt die erste Spur von  $g$ .

Ferner stellt sich wegen des Parallelismus mit  $\Pi_3$  jede auf einer derartigen Gerade  $g$  gelegene Strecke in  $\Pi_3$  in wahrer Grösse dar, die Winkel, die sie mit  $\Pi_1$  und  $\Pi_2$  oder mit einer auf  $\Pi_1$ , bez.  $\Pi_2$  senkrechten Gerade bildet, sind in den  $\sphericalangle(g_3, a_{13})$ ,  $(g_3, a_{33})$ , bez. deren Complementwinkeln und der Winkel zweier solchen Geraden  $g, l$  in dem  $\sphericalangle(g_3, l_3)$  in wahrer Grösse zu sehen.

Liegen  $g$  und  $l$  in derselben zu  $a_{13}$  normalen Ebene, so dass  $g_1 \equiv l_1 \equiv g_3 \equiv l_3$ , so ist der Punkt  $g_3 l_3$  die dritte Projection ihres Schnittpunktes, dessen andere Projectionen dann leicht zu finden sind.

100. Ebenso bietet  $\Pi_3$  hinsichtlich der zu  $a_{13}$  parallelen Geraden und Ebenen einige Vortheile; dieselben projiciren sich auf  $\Pi_3$  als Punkte, bez. Geraden. Soll z. B. durch einen Punkt  $P$  und eine zu  $a_{13}$  parallele Gerade  $g$  die Ebene gelegt werden, so hat man in der Verbindungslinie der Punkte  $P_3$  und  $g_3$  unmittelbar die dritte Spur (und dritte Projection) dieser Ebene, die dann leicht zu den beiden andern (zu  $a_{13}$  parallelen) Spuren führt.

Die Strecke  $P_3 g_3$  ist die wahre Länge des Lothes aus  $P$  auf  $g$  (Nr. 31 b).

Wenn  $E$  eine zu  $a_{13}$  parallele Ebene ist, so stellen sich die Neigungswinkel  $\alpha' = (E, \Pi_1)$  und  $\alpha'' = (E, \Pi_2)$  in den Winkeln, welche die dritte Spur (Projection) von  $E$  mit  $a_{13}$  und  $a_{33}$  bildet, dar; und wenn  $\Phi$  eine zweite zu  $a_{13}$  parallele Ebene ist, so ist der Winkel  $(E, \Phi)$  gleich dem von den beiden dritten Spuren gebildeten (Nr. 31 e); der Schnittpunkt derselben ist die dritte Projection der Schnittlinie  $E\Phi$ .

Die Entfernung eines Punktes  $P$  von einer zu  $a_{13}$  parallelen Ebene  $E$  ist gleich dem Lothe aus  $P_3$  auf die dritte Spur (Projection) dieser Ebene (Nr. 31 a). Der Schnittpunkt einer beliebigen Gerade mit einer solchen Ebene ergiebt sich am schnellsten in der dritten Projection (Nr. 63).

### c. Die neue Projectionsebene steht nur auf einer der früheren senkrecht.

101. Es werde jetzt eine dritte Projectionsebene  $\Pi_3$  eingeführt, welche nur noch auf einer der beiden gegebenen, auf  $\Pi_1$ , normal ist und,  $\Pi_2$  ersetzend, mit  $\Pi_1$  ein eben solches Projectionsebenen-System bildet wie  $\Pi_1$  und  $\Pi_2$ .

Die Gerade  $\Pi_2\Pi_3$  ist, so lange  $\Pi_2$  und  $\Pi_3$  noch nicht in  $\Pi_1$  umgelegt sind, zu  $\Pi_1$  und daher sowohl zu  $a_{13} = \Pi_1\Pi_2$ , als zu  $a_{13} = \Pi_1\Pi_3$  in demselben Punkte  $O$  senkrecht. Wird sie aber als  $a_{23}$  mit  $\Pi_2$  umgelegt, so bleibt sie nur auf  $a_{13}$  senkrecht (in  $O$ ), ihre Umlegung  $a_{32}$  mit der Ebene  $\Pi_3$  bewahrt ihre Normalität zu  $a_{13}$  (in  $O$ ); aber es fällt nicht mehr  $a_{23}$  mit  $a_{13}$ ,  $a_{32}$  mit  $a_{12}$  zusammen;  $a_{23}$  und  $a_{32}$  haben auch hier entsprechende Punkte, die vorher vereinigt waren. Die einen entsprechenden Hälften sind durch Pfeile bezeichnet.

Auf die Seite von  $a_{13}$ , auf welche diejenige Halbebene  $\Pi_3^+$  fällt, die sich auf der nämlichen Seite von  $\Pi_1$  befindet wie  $\Pi_2^+$ , fallen die dritten Projectionen der Punkte, deren zweite Projectionen oberhalb

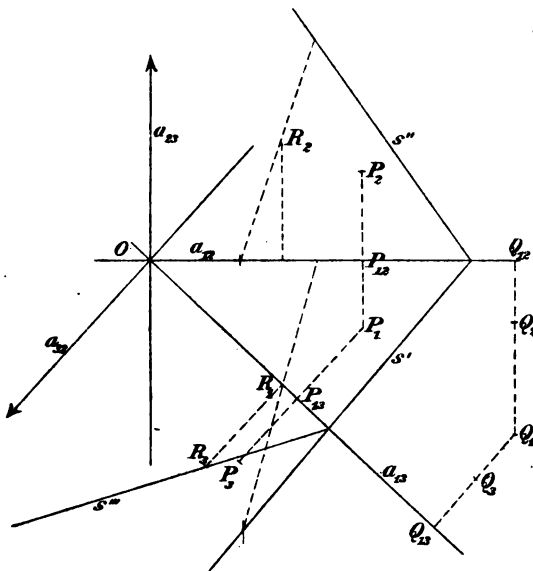


Fig. 45.

$a_{12}$  liegen.  $Q_3$  und  $P_3$  fallen auf dieselbe oder verschiedene Seiten von  $a_{13}$ , je nachdem  $Q_2$  und  $P_2$  auf derselben oder verschiedenen Seiten von  $a_{12}$  liegen (Fig. 45).

Ferner ist auch hier, wie  $P_1P_2$  in  $P_{12}$  auf  $a_{13}$  senkrecht steht,  $P_1P_3$  auf  $a_{13}$  in  $P_{13}$  normal und  $P_2P_{13} = P_2P_{12}$  auch dem Vorzeichen nach. Was über Geraden und Ebenen im vorigen Falle gesagt ist, bleibt bestehen; der Unterschied ist ja auch nur der, dass dort der  $\angle (a_{23}, a_{32}) =$

$90^\circ$ , hier von  $90^\circ$  verschieden ist. Hinsichtlich der Ermittlung der dritten Spur  $s'''$  einer Ebene, welche die  $a_{13}$  in dem Punkte  $a_{13}s'$  und die  $a_{32}$  in dem entsprechenden Punkte von  $a_{23}s''$  treffen muss, mag noch auf eine etwaige unbequeme Lage eines dieser Punkte Rücksicht genommen werden (Fig. 45). Man nehme dann einen Punkt  $R_1$  auf  $a_{13}$  an, suche  $R_2$  so, dass  $R$  in der Ebene  $E$  liegt (Nr. 64), construire  $R_3$ , welches auf  $s'''$  liegen muss.

Der Schnitt der dritten Spuren zweier Ebenen kann, wenn andere Spuren weniger günstig sind, einen Punkt der Schnittlinie derselben liefern.

Für viele Aufgaben genügt  $a_{13}$ , und  $a_{23}, a_{32}$  sind nicht notwendig.

Das System  $\Pi_1 \Pi_3$  hat natürlich auch eine Ebene der Deckelemente, und zwischen der ersten und der dritten Projection eines ebenen Feldes besteht Affinität.

102. Mit Hilfe einer solchen dritten auf  $\Pi_1$  senkrechten Projectionsebene kann man auch *die wahre Grösse einer Strecke PQ und den Neigungswinkel einer Gerade g gegen diese Projectionsebene  $\Pi_1$  finden*. Man hat  $\Pi_3$  parallel zu  $PQ$  oder  $g$  zu stellen, also  $a_{13}$  parallel zu  $P_1 Q_1$  oder  $g_1$  zu ziehen;  $P_3 Q_3$  ist dann  $= PQ$  und  $\sphericalangle (g_3, a_{13})$  ist der verlangte Winkel.

Diese Lösung ist jedoch im Grunde nicht wesentlich verschieden von der in Nr. 44 und geht in sie über, wenn  $a_{13}$  identisch wird mit  $P_1 Q_1$  oder  $g_1$ .

Man construirt entsprechend den Neigungswinkel  $(g, \Pi_2)$ .

Es hat sich gezeigt, dass Ebenen, die zu einer Projectionsebene normal sind, manche Vorzüge haben. *Ist also eine beliebige Ebene E gegeben, so stellen wir  $\Pi_3$  (Fig. 46, Taf. II) senkrecht zu  $\Pi_1$  und senkrecht zu E*, also senkrecht zur Schnittlinie  $s' = E\Pi_1$ ; weshalb auch  $s'$  und  $a_{13}$  senkrecht sind. Und umgekehrt, wenn  $a_{13}$  und  $s'$  normal zu einander sind, so steht  $s'$ , in der einen  $\Pi_1$  der beiden zu einander senkrechten Ebenen  $\Pi_1, \Pi_3$  normal zur Schnittlinie gezogen, senkrecht auf der andern  $\Pi_3$  und daher auch die durch sie gehende E senkrecht auf  $\Pi_3$ .

$\Pi_3$  ist also Ebene eines Neigungswinkels von E und  $\Pi_1$ ; d. h. *der Winkel  $(s''', a_{13})$  ist dieser Neigungswinkel  $\alpha'$* . Die Figur ist dieselbe wie in Nr. 82.

Die dritte Projection eines Punktes von E fällt auf  $s'''$ ; daher ist es leicht, *einen Punkt P in E zu legen*; seine dritte Projection  $P_3$  legt man auf  $s'''$  und erste Projection  $P_1$  kann jeder Punkt der Ordinatenlinie sein, die aus  $P_3$  senkrecht zu  $a_{13}$  geführt ist; daraus ergibt sich dann  $P_2$ . Die Projectionen *des Lothes p in P auf E* gehen durch  $P_1, P_2, P_3$  normal bzw. zu  $s', s'', s'''$ ; zu  $\Pi_3$  ist es parallel; daher wird man von *einer auf ihm etwa von P aus aufzutragenden Strecke PQ* (Nr. 44) zuerst die dritte Projection, die ihr gleich ist, auftragen und dann in die beiden andern übertragen. Ebenso liefert die Entfernung  $Q_3 P_3$  der dritten Projection  $Q_3$  eines beliebigen Punktes Q von  $s'''$  *die Länge des aus Q auf E gefällten Lothes QP*.

103. Für andere Zwecke, z. B. um eine Gerade  $g$  zur Normalität, eine Ebene E zum Parallelismus zu einer Projectionsebene zu bringen, genügt nicht bloß eine dritte, sondern es muss *noch eine vierte Projectionsebene  $\Pi_4$  eingeführt werden, welche senkrecht auf  $\Pi_3$  steht* und an Stelle von  $\Pi_1$  tritt; denn damit  $\Pi_3$  normal zu  $g$ , bez. parallel zu E und ausserdem senkrecht noch zu  $\Pi_1$  wäre, müsste  $g$  schon parallel,

E senkrecht zu  $\Pi_1$  sein. Hat man  $\Pi_3$  parallel zu  $g$ , bez. senkrecht auf E (also auf  $s'$ ) gestellt, so kann man nun  $\Pi_4$  so senkrecht auf  $\Pi_3$  stellen, dass sie normal zu  $g$ , bez. parallel zu E ist.

Hinsichtlich der Ebenen  $\Pi_4$ ,  $\Pi_3$ ,  $\Pi_1$  gilt nun ganz dasselbe, was vorher für  $\Pi_3$ ,  $\Pi_1$ ,  $\Pi_2$  galt; besonders wichtig für die Construction ist, dass, wenn  $P_4$  nun die vierte Projection des Punktes  $P = (P_1, P_2, P_3)$  ist,  $P_4 P_3$  auf  $a_{34} = \Pi_3 \Pi_4$  (in  $P_{34}$ ) senkrecht steht,  $P_4 P_{34} = P_1 P_{13} = P P_{13}$ , und dass die vierten Projectionen zweier Punkte auf derselben oder verschiedenen Seiten von  $a_{34}$  liegen, je nachdem sich die ersten auf derselben oder auf verschiedenen Seiten von  $a_{13}$  befinden. Die zuerst construirte vierte Projection eines Punktes kann man beliebig legen; dann ist das Entsprechen der Seiten von  $a_{13}$  und  $a_{34}$  bestimmt.

An der Figur wird nichts geändert, ob man sich  $\Pi_3$  um  $a_{13}$  in  $\Pi_1$ , wobei  $\Pi_4$  mitgenommen wird, und dann  $\Pi_4$  um  $a_{34}$  in  $\Pi_3$  umgelegt denkt, oder  $\Pi_1$  und  $\Pi_4$  um  $a_{13}$  und  $a_{34}$  in  $\Pi_3$ . Bei letzterem Umlegen erhält man die Axe  $\Pi_1 \Pi_4$  mit  $\Pi_1$  umgelegt nach  $a_{14}$  senkrecht auf  $a_{13}$  in dem Punkte  $O' = \Pi_1 \Pi_3 \Pi_4 = a_{13} a_{34}$  und mit  $\Pi_4$  nach  $a_{41}$  umgelegt senkrecht auf  $a_{34}$  ebenfalls in  $O'$ ; wobei dann wieder entsprechende Punkte auf  $a_{14}$  und  $a_{41}$  sich ergeben. Ueber die vier Spuren  $s', s'', s''', s^{IV}$  einer Ebene gilt, dass  $s', s''$  sich auf  $a_{13}$ ,  $s', s'''$  auf  $a_{13}$ ,  $s''', s^{IV}$  auf  $a_{34}$  treffen, während  $a_{33}$  und  $a_{33}$  bez. von  $s''$  und  $s'''$ ,  $a_{14}$  und  $a_{41}$  bez. von  $s'$  und  $s^{IV}$  in entsprechenden Punkten getroffen werden.

104. a) Um die Ebene E einer Figur parallel zu einer Projectionsebene zu machen, so dass die Figur sich congruent projicirt, legt man zuerst  $\Pi_3$  (und deshalb  $a_{13}$ ) senkrecht zu  $s'$ , also zu  $\Pi_1$  und E; es wird nun  $s'''$  construiert und die dritte Projection der Figur. Darauf wird  $\Pi_4$  eingeführt, welche senkrecht auf  $\Pi_3$  und parallel (oder identisch) mit E ist, also  $a_{34}$  parallel (oder identisch) mit  $s'''$ ; die vierte Projection der Figur giebt die wahre Gestalt.

b) Den kürzesten Abstand und den Neigungswinkel zweier windschiefen Geraden  $g = AB$  und  $l = CD$  findet man auch mit Hilfe der Einführung von  $\Pi_3$  und  $\Pi_4$  in folgender Weise (Fig. 47). Man construiert zunächst eine Ebene E, welche den beiden Geraden  $g$  und  $l$  parallel ist (Nr. 76); sie ist durch  $g$  und die zu  $l$  parallele Gerade  $m$  gelegt:  $h'$  ist eine erste Spurparallele dieser Ebene, also  $h'_1 \parallel s'$ .  $\Pi_3$  ist auf  $h'_1$ , also auf E und  $\Pi_1$ , mithin  $a_{13}$  senkrecht auf  $h'_1$ , sodann  $\Pi_4$  senkrecht auf  $\Pi_3$  und parallel zu E zu stellen wie in a). In Bezug auf  $\Pi_4$  und  $\Pi_3$  gilt nun ganz dasselbe, wie für  $\Pi$  und  $\Pi_2$  in Nr. 32;  $g_3$  und  $l_3$  werden also parallel;  $a_{34}$  ist mit ihnen ebenfalls parallel zu führen. Der Winkel  $(g_4, l_4)$  giebt den gesuchten Winkel;

der Punkt  $g_4 l_4$  ist die vierte Projection des beide Geraden schneidenden gemeinsamen Lothes;  $p_3$ , welche durch den Punkt  $p_4$  senkrecht zu  $g_3, l_3, a_{34}$  geht, giebt, soweit sie zwischen  $g_3$  und  $l_3$  liegt, den kürzesten

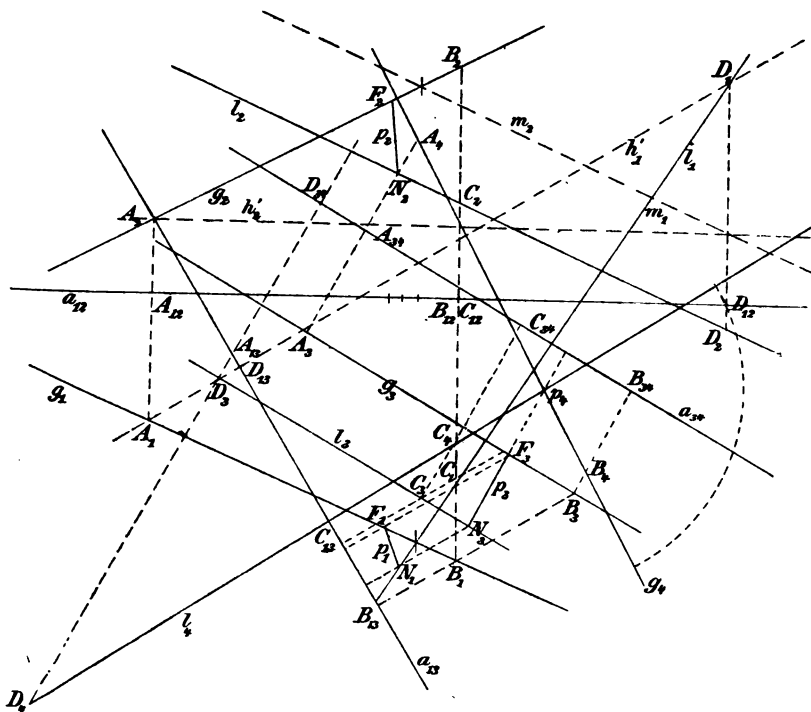


Fig. 47.

Abstand. Die Lage des Lothes erhält man, wenn man die dritten Projectionen  $F_3, N_3$  seiner Fusspunkte nach  $\Pi_1$  und  $\Pi_2$  zurückführt.

Die Axen  $a_{33}, a_{32}, a_{14}, a_{41}$  sind hier überflüssig; wohl aber sind sie in der folgenden Aufgabe für die Construction der Spuren nothwendig.

c) Wir wollen den Neigungswinkel zweier Ebenen  $E$  und  $\Phi$  durch  $\Pi_3$  und  $\Pi_4$  erhalten (Fig. 48, Taf. II). Man construire  $k = E\Phi$ , stelle  $\Pi_3$  senkrecht auf  $\Pi_1$  und parallel zu  $k$  (also  $a_{13} \parallel k_1$ ), wodurch  $s_E'' \parallel s_\Phi'' \parallel k_3$  werden muss, und dann  $\Pi_4$  senkrecht auf  $\Pi_3$  und  $k$ , also  $a_{34}$  normal zu  $k_3$ ; der  $\angle (s_E^{IV}, s_\Phi^{IV})$  ist dann der verlangte (Nr. 31e). Der Punkt  $s_E^{IV} s_\Phi^{IV}$  ist die vierte Projection von  $k$  und muss auf  $k_3$  liegen (Nr. 48).

d) Unter dem Normalschnitt eines Prismas versteht man die Schnittfigur desselben mit einer zu den Seitenkanten normalen Ebene. Führt man nun bei einem durch seine Projectionen in  $\Pi_1$  und  $\Pi_2$  dargestellten Prisma allmählig  $\Pi_3$  parallel zu den Seitenkanten und  $\Pi_4$  senkrecht



zu ihnen ein, so sind die vierten Projectionen der Seiten-Kanten und -Flächen Punkte und gerade Linien und bilden den Normalschnitt. Als schneidende Ebene kann  $\Pi_4$  selbst betrachtet werden. In  $\Pi_4$  stellen sich die auf den Seitenkanten befindlichen Strecken, z. B. je die von der Ecke des Normalschnitts bis zu der der Grund- oder Deckfigur, in wahrer Länge dar.

d. Die neue Projectionsebene ist zu keiner der gegebenen normal.

105. Statt mit zwei neuen Projectionsebenen, wie im Vorangehenden, zu arbeiten, kann man, die Normalität zu einer der früheren aufgebend, eine beliebig gelegene dritte einführen. Wir haben schon einige Male auf Eigenschaften hingewiesen, welche erhalten bleiben, wenn zwei Projectionsebenen nicht mehr rechtwinklig sind, aber auf beide orthogonal projicirt wird (Nr. 42, 48, 55, 67).

Es seien  $\Pi_1, \Pi_3$  zwei solche Projectionsebenen,  $a_{13}$  ihr Schnitt; ihre spitzen Flächenwinkel  $\vartheta$  kennt man und weiss, von welchen Halbebenen sie gebildet werden. Die Lothe aus  $P_1$  und  $P_3$  auf  $a_{13}$  haben denselben Fusspunkt  $P_{13}$  (Nr. 42), und die Betrachtung des eventuell verschlungenen Vierecks  $PP_1P_{13}P_3$  lehrt folgende Construction: man stelle zwei mit  $\vartheta$  gleiche Scheitelwinkel her (Fig. 49b, Taf. II), trägt auf den einen Schenkel vom Scheitel  $S$  ab die bekannte Ordinate  $P_{13}P_1$  als  $ST$  auf, nach der einen oder andern Seite von  $S$ , je nachdem  $P_1$  auf der einen oder andern Seite von  $a_{13}$  liegt, errichtet auf diesem Schenkel in  $T$  das Loth  $TU$  gleich der zweiten Ordinate  $P_{13}P_3$  und zwar nach der Seite, wo  $\vartheta$  liegt, oder nach der andern, je nachdem der Abstand  $P_1P$  auf der Seite des Flächenwinkels  $\vartheta$  liegt oder nicht. Von  $U$  fällt man dann auf den andern Schenkel das Loth  $UV$ , so ist  $SV = P_{13}P_3$ ; und dies trägt man auf der Ordinatenlinie  $P_1P_{13}$  von  $P_{13}$  auf, wo beim ersten Punkte die Seite von  $a_{13}$  wieder willkürlich ist, bei den weiteren aber ähnliches gilt wie in b., c.

Auf die mühsamere Construction von  $a_{23}$  und  $a_{32}$ , die nicht zu  $a_{13}$ , bzw.  $a_{13}$  normal sind, wird man verzichten und daher auch auf die Benutzung von Spuren von Ebenen in dieser  $\Pi_3$ ; man wird lediglich mit den Projectionen von Punkten arbeiten.

In der Aufgabe b) der vorigen Nummer nehmen wir (Fig. 49, Taf. II) die Ebene  $E$  als  $\Pi_3$ , haben daher ihre erste Spur  $a_{13}$  und ihren Winkel gegen  $\Pi_1$  zu ermitteln und festzustellen, von welchen Halbebenen der spitze Flächenwinkel gebildet wird. Nunmehr werden von vier Punkten  $A, B, C, D$  der beiden Geraden  $g, l$  die dritten Projectionen construirt; weil  $g$  in  $\Pi_3$  liegt, so sind für  $A, B$  die Lothe  $UV$  null.

Man hat dann  $g_3, l_3$  und in ihrem Winkel den von  $g$  und  $l$  selbst;  $g_3$  muss durch  $S'_g$  gehen, der hier auch  $S'''_g$  ist. Der Schnittpunkt  $p_3$  von  $g_3, l_3$  ist die dritte Projection der Geraden  $p$ , welche  $g$  und  $l$  rechtwinklig schneidet; die erste Projection  $p_1$  geht durch diesen Punkt und ist senkrecht zu  $a_{13}$  (Nr. 48); ihre Schnitte mit  $g_1, l_1$  sind die ersten Projectionen  $F_1, N_1$  der Fusspunkte, aus denen durch Lothen die zweiten sich ergeben. Die wahre Länge  $FN$  des kürzesten Abstandes muss, weil hier  $p$  zu keiner der benutzten Projectionsebenen parallel ist, nach der gewöhnlichen Methode ermittelt werden.

In a) und d) nimmt man  $E$ , bzw. eine zu den Kanten normale Ebene als  $\Pi_3$  und stellt die dritte Projection der Figur in  $E$ , der Grund- oder Deckfigur des Prismas her, wodurch sich die wahre Gestalt jener, bzw. des Normalschnittes ergibt.\*)

Für die Aufgabe c), in der mit Spuren gearbeitet wird, empfiehlt sich eine solche Projectionsebene nicht.

## Sechster Abschnitt.

### Polyeder.

#### a) Darstellung von Polyedern.

106. *Es möge ein Prisma construirt werden; von demselben ist die Grundfigur ihrer Gestalt und Lage nach gegeben, d. h. ihre Ebene  $E$  und ihre Umlegung  $A_0B_0C_0D_0E_0$  mit  $E$  in  $\Pi_1$ . Ferner sind noch die Länge der durch  $A$  gehenden Seitenkante  $AF$  und die beiden Winkel  $\beta$  und  $\gamma$ , welche sie mit den Grundkanten  $AE$  und  $AB$  bildet, gegeben (Fig. 50, Taf. III). Der Winkel der Grundfigur bei  $A$  sei  $\alpha$ . An die beiden Schenkel  $A_0B_0$  und  $A_0E_0$  lege man zu beiden Seiten  $\beta$  und  $\gamma$  an, trage auf ihren äusseren Schenkeln die Länge der Seitenkante  $AF$  auf als  $A_0F'_0$  und  $A_0F''_0$ , so dass  $F'_0A_0E_0$  und  $F''_0A_0B_0$  die zunächst mit ihren Ebenen in  $E$  und dann mit  $E$  in  $\Pi_1$  umgelegten Winkel  $FAE$  und  $FAB$  sind. Wie in Nr. 22 aus  $P'_0$  und  $P''_0$  die Projection  $P_1$  und die Höhe  $PP_1$  des Punktes  $P$  über  $\Pi$  gefunden wird, so finden wir hier ebenfalls den Fusspunkt  $L_0$  des aus  $F$  auf  $E$  gefällten Lothes (zu-*

\*) Es wird dem Leser empfohlen, einmal mehrere Lösungen derselben Aufgabe, z. B. folgende drei Lösungen von d) in Bezug auf die Anzahl der vorzunehmenden Operationen zu vergleichen: die obige, die in Nr. 104 und diejenige, bei der nur  $\Pi_1, \Pi_2$  benutzt, die Schnitte der Kanten des Prismas mit der Normalebene construirt werden und diese umgelegt wird. Solche Vergleichen sind sehr lehrreich.

nächst mit  $E$  umgelegt) und die Länge  $L_0 F_0'''$  dieses Lothes, die Höhe  $FL$  des Prismas. Für die Aufrichtung des Fünfecks  $ABCDE$  aus seiner Umlegung ist in der Figur das Verfahren von Nr. 72 benutzt worden; für diejenige von  $L$  ist die Gerade  $CL$  und ihr Schnitt  $M$  mit  $AE$  aus der Umlegung in die Projectionen übertragen worden. Auf dem durch  $L$  gehenden Lothe  $p$  zur Ebene  $E$  ist dann die eben ermittelte Länge nach der Methode von Nr. 93 aufgetragen. Man kann aber auch, da beim Aufrichten von  $E$  der Winkel  $\alpha'$  dieser Ebene gegen  $\Pi_1$  ermittelt worden ist, d. i. das Complement des Winkels, den das Loth mit  $\Pi_1$  bildet,  $L_1 F_1 = LF \sin \alpha'$  construiren und auf  $p_1$  auftragen. Durch die andern Ecken der Grundfigur sind dann Kanten parallel und gleich mit  $AF$  zu ziehen.

Aehnlich ist dieselbe Aufgabe für eine Pyramide zu lösen; es vereinfacht sich die Lösung wesentlich, wenn für das Prisma statt der Neigungen  $\beta$  und  $\gamma$  gleich von vornherein die Richtung der Seitenkanten gegeben ist, oder bei der Pyramide die Spitze.

Es empfiehlt sich, die Entfernung der Spitze der Pyramide oder eines Punktes der oberen Fläche des Prismas von der Ebene der Grundfläche nach Nr. 63 zu bestimmen und festzustellen, dass sie nicht zu klein ist, damit man nicht einen zu flachen, beinahe ebenen Körper erhalte.

Die Aufgaben, einen Würfel oder ein (reguläres) Tetraeder zu zeichnen, dessen Grundfläche der Lage nach gegeben ist, sind damit auch erledigt; und das Octaeder wird man als eine Doppelpyramide über einem Quadrate construiren, deren Höhe die halbe Diagonale des Quadrats ist.

107. Die Körper werden gewöhnlich materiell vorgestellt; es werden also die Ecken, Kanten und Flächen zum Theil unsichtbar sein und zwar im allgemeinen in der einen Projectionsebene anders als in der andern (Nr. 66). Für *convexe Polyeder* (auf deren Betrachtung wir uns beschränken), welche nur ausspringende Flächenwinkel haben und von keiner Gerade in mehr als zwei Punkten getroffen werden, gilt offenbar Folgendes: In einer sichtbaren Kante schneiden sich entweder zwei sichtbare oder eine sichtbare und eine unsichtbare Fläche. Im zweiten Falle gehört die Kante zu den *Umrisskanten* (oder *Randkanten*) des Polyeders, die man also, je nachdem es sich um die erste oder zweite Projection handelt, erste oder zweite Umrisskanten nennt. Die projecirende Ebene einer Umrisskante streift (berührt) das Polyeder, während die einer andern Kante es durchschneidet. Die *Umrisskanten*, welche die Projectionsfigur einschliessen, sind demnach jederzeit sichtbar, z. B. in der Figur 50 in der ersten Projection die Kanten  $EA$ ,

$AB, BC, CH, HJ, JK, KE$ , in der zweiten die Kanten  $DE, EA, AF, FG, GH, HJ, JD$ . Folglich handelt es sich darum, die übrigen Kanten, welche, weil ihre Projectionen ins Innere der vom Umriss eingeschlossenen Figur fallen, *innere* heissen mögen, in Bezug auf ihre Sichtbarkeit oder Unsichtbarkeit zu untersuchen. Die erste Projection z. B. von  $DE$  durchschneidet sich mit der von  $FK$ ; lothen wir diesen Schnittpunkt auf die beiden zweiten Projectionen der Kanten, so ergiebt sich bei  $KF$  der höhere Punkt; also ist sie sichtbar und  $DE$  unsichtbar. *Zwei sichtbare oder zwei unsichtbare Kanten können sich nicht scheinbar schneiden.*

Die Sichtbarkeit in der zweiten Projection wird in ähnlicher Weise an dem weiteren Vorliegen in der ersten Projectionsebene erkannt.

Man wird nicht für alle Kanten dieselbe umständliche Untersuchung zu machen brauchen; denn hat man es für einige Kanten auf diese exacte Art festgestellt, so lässt sich auf andere leicht schliessen. Wenn nämlich eine Fläche sichtbar ist, so sind alle ihre Kanten und Ecken sichtbar; von einer unsichtbaren Fläche hingegen sind alle innern Kanten und Ecken unsichtbar; ist demnach eine innere Kante schon als sichtbar oder unsichtbar erkannt, so sind alle innern Kanten, die mit ihr zu derselben Fläche gehören, sichtbar oder unsichtbar. Jede Kante, die durch eine sichtbare innere oder eine unsichtbare Ecke geht, ist selbst sichtbar, bez. unsichtbar.

So sind in Fig. 50 von den innern Kanten der ersten Projection sichtbar die drei von  $F$  ausgehenden und  $BG, GH$ , unsichtbar die von  $D$  ausgehenden, in der zweiten Projection sind sichtbar die drei von  $K$  ausgehenden, unsichtbar die von  $C$  ausgehenden und  $AB, BG$ .

Von zwei parallelen Flächen eines convexen Polyeders ist eine sichtbar, die andere unsichtbar.

108. Wir wenden uns zur Darstellung des (regelmässigen) *Dodecaeders* (Fig. 51, Taf. III)\*).

Wenn  $\epsilon, \epsilon'$  die Ebenen zweier Gegenflächen dieses Polyeders sind, so vertheilen sich seine 20 Ecken zu je fünf auf sie und zwei weitere zu ihnen parallelen Ebenen  $\varphi, \varphi'$  zwischen ihnen, die derartig gelegen sind, dass  $\epsilon$  und  $\varphi$  dieselbe Entfernung haben wie  $\epsilon'$  und  $\varphi'$ . Wir stellen diese 4 Ebenen parallel zu  $\Pi_1$  und lassen am besten die unterste  $\epsilon$  in  $\Pi_1$  fallen; ihre vier zweiten Spuren seien  $e \equiv a, f, f', e'$ , Parallelen von analoger Eigenschaft.

$ABCDEF$  sei das Fünfeck in  $\epsilon$  oder  $\Pi_1$  und  $\mathfrak{R}$  der ihm umgeschriebene Kreis; die fünf Kanten  $AF, BG, CH, DJ, EK$ , die von

\*) In ihr und einigen andern Figuren sind die Projections-Zeiger 1, 2, ... weggelassen.

seinen Ecken in die Höhe steigen, haben gleiche Neigung gegen  $\Pi_1$ , also gleiche Projectionen  $AF_1, \dots$ , welche ersichtlich in die Verlängerungen der aus den Ecken des Grundfünfecks auf die Gegenseiten gefällten Höhen über jene Ecken fallen, so dass die fünf Projectionen  $F_1, G_1, H_1, J_1, K_1$  der in  $\phi$  gelegenen Ecken auch ein regelmässiges Fünfeck bilden, das zu  $ABCDE$  ähnlich liegt in Bezug auf den Mittelpunkt  $Z$  von  $\mathfrak{K}$ ; der umgeschriebene Kreis sei  $\mathfrak{K}'$ . Die 10 übrigen Punkte in  $\phi'$  und  $\epsilon'$  projectiren sich ebenfalls in zwei regelmässige Fünfecke, welche diesen beiden Kreisen  $\mathfrak{K}$  und  $\mathfrak{K}'$  eingeschrieben sind und ähnlich zu einander liegen in Bezug auf  $Z$ ; von dem an das untere Fünfeck in  $AB$  anstossenden Fünfecke  $ABGLF$ , dessen höchster Eckpunkt  $L$  in  $\phi'$  liegt, projectiren sich die gleichen und gleich gegen  $\Pi_1$  geneigten Seiten  $LF, LG$  gleich lang; d. h.  $L_1$  halbirte den Bogen  $F_1G_1$ , und beide dem  $\mathfrak{K}'$  eingeschriebenen Fünfecke bilden ein regelmässiges Zehneck  $F_1L_1G_1M_1H_1N_1J_1O_1K_1P_1$ , und daraus folgt, dass dies auch die beiden dem  $\mathfrak{K}$  eingeschriebenen Fünfecke thun; dies Zehneck ist  $AQ_1BR_1CS_1DT_1EU_1$ .

*Für diese beiden concentrischen Zehnecke und die Entfernungen der vier Spuren in  $\Pi_2$  gelten überaus einfache die Construction erleichternde Eigenschaften.*

Wenn einem Kreise wie  $\mathfrak{K}$  vom Radius  $r$  ein regelmässiges  $n$ -Eck und ein regelmässiges  $2n$ -Eck eingeschrieben sind, so gilt für deren Seiten  $s_n$  und  $s_{2n}$  bekanntlich:  $s_n = \frac{s_{2n}}{r} \sqrt{4r^2 - s_{2n}^2}$ ; dieselbe Beziehung gilt dann auch für  $d_n$ , die eine Ecke überspringende Diagonale des  $n$ -Ecks, und  $s_n$ ; also  $d_n = \frac{s_n}{r} \sqrt{4r^2 - s_n^2}$ . Nun ist  $s_{10} = \frac{r}{2}(\sqrt{5} - 1)$ ; also:  $s_5 = r \sqrt{\frac{5 - \sqrt{5}}{2}}$ ,  $d_5 = r \sqrt{\frac{5 + \sqrt{5}}{2}}$  und daher:  $d_5 = \frac{s_5}{2}(\sqrt{5} + 1)$ .

Für die Herstellung von  $ABCDE$  wird man, von  $s_5$  ausgehend, mit Hilfe dieser leicht zu construierenden Grösse  $d_5$ , zu einer Seite die Gegenecke construiren und dann die beiden noch übrigen Ecken. Es empfiehlt sich aber, dies Fünfeck möglichst genau zu controlliren: in Bezug auf die Gleichheit der Diagonalen, der Höhen, das Zusammenlaufen dieser in  $Z$ , die Halbierung der Seiten durch die Höhen. Ferner vermeide man, dass eine von seinen Seiten ganz oder nahezu senkrecht zur Projectiionsaxe werde, weil sonst Seitenflächen in  $\Pi_2$  geradlinige oder sehr schmale Projectionen erhalten. Die Seiten des  $\mathfrak{K}'$  eingeschriebenen Fünfecks  $F_1G_1H_1J_1K_1$  sind die Projectionen von Fünfeckdiagonalen  $d_5$ , welche zu  $\Pi_1$  parallel sind, also gleich  $d_5$ . Ist daher

$r'$  der Radius von  $\mathfrak{R}'$ , so hat man:  $r':r = d_5:s_5$ ; daher:  $r' = \frac{r}{2}(\sqrt{5}+1)$   
 und  $r' - r = \frac{r}{2}(\sqrt{5} - 1) = s_{10}$ .

*Die Differenz der Radien der beiden concentrischen Kreise ist gleich der Seite des dem kleineren eingeschriebenen regelmässigen Zehnecks.*

Dies reicht, nachdem  $ABCDE$  hergestellt ist, zur Construction der ersten Projectionen aller weiteren Ecken hin; und die 10 Fünfecke, die an die Grund- und die Deckfläche anstossen, unterrichten, wie diese Punkte zu den Projectionen der 25 übrigen Kanten zu verbinden sind.

Für die zweite Projection sind nur noch die Entfernungen  $\overline{ef} = \overline{f'e'}$  und  $\overline{ff'}$  erforderlich. Die Kante  $AF$ , welche von  $\epsilon$  nach  $\phi$  geht, projectirt sich in die Differenz  $AF_1 = s_{10}$  der Radien; daher ist  $\overline{ef} = \sqrt{s_5^2 - s_{10}^2} = r$  nach der bekannten Euklidischen Formel  $s_5^2 = s_{10}^2 + r^2$ . Ferner ist  $s_{10} = \frac{s_{10} \cdot r'}{r} = \frac{s_{10}}{2}(\sqrt{5} + 1) = \frac{2s_{10}}{\sqrt{5} - 1} = r$ . In diese Zehneckseite projectiren sich die Kanten, welche von  $\phi$  nach  $\phi'$  gehen; daher ist  $\overline{ff'} = \sqrt{s_5^2 - r^2} = s_{10}$ .

*Die beiden gesuchten Entfernungen  $\overline{ef}$  oder  $\overline{\epsilon\phi}$  und  $\overline{ff'}$  oder  $\overline{\phi\phi'}$  sind also  $r$ ,  $s_{10}$ .*

Nun sind die ersten Projectionen auf diese vier Spuren  $e$ ,  $f$ ,  $f'$ ,  $e'$  zu lothen und in der entsprechenden Weise zu Kanten zu verbinden.

Die 10 Kanten des Dodecaeders, welche sich in  $\Pi_1$  in die 10 Seiten des  $\mathfrak{R}'$  eingeschriebenen Zehnecks projectiren, bilden ein regelmässiges windschiefes Zehneck, dessen gleiche Winkel ( $108^\circ$ ) abwechselnd auf der einen und andern Seite liegen.

Sie setzen den ersten Umriss zusammen; im Uebrigen ist in  $\Pi_1$  die Sichtbarkeit und Unsichtbarkeit unmittelbar zu erkennen, während in  $\Pi_2$  doch einige exacte Ermittlungen gemacht werden müssen.

Man construire nach Nr. 22 aus den drei Kantenwinkeln  $108^\circ$  den Flächenwinkel des Dodecaeders. — Die Höhe  $h_5$  einer Seitenfläche ist  $\sqrt{a_5^2 - \frac{s_5^2}{4}} = \frac{r}{2}\sqrt{15 + 5\sqrt{5}}$ ; eine von denen, welche von  $\epsilon$  nach  $\phi'$  gehen, lehrt, da sie mit ihrer Projection auf  $\Pi_1$  den Nebenwinkel jenes Flächenwinkels einschliesst, dass dessen Sinus  $\frac{s_{10} + r}{h_5} = \frac{2}{\sqrt{5}}$  ist und der Cosinus  $-\frac{1}{\sqrt{5}}$ .

109. Beim *Icosaeder* (Fig. 52) führen auch zwei Gegenflächen  $\epsilon, \epsilon'$  zu zwei zwischen ihnen befindlichen Parallelebenen  $\varphi, \varphi'$ , in denen die 6 übrigen Ecken liegen. Das Dreieck in  $\epsilon$  sei  $ABC$ , seine Seite, also die Kante des Icosaeders  $s_3$ , der umgeschriebene Kreis  $\mathfrak{R}$  und  $r$

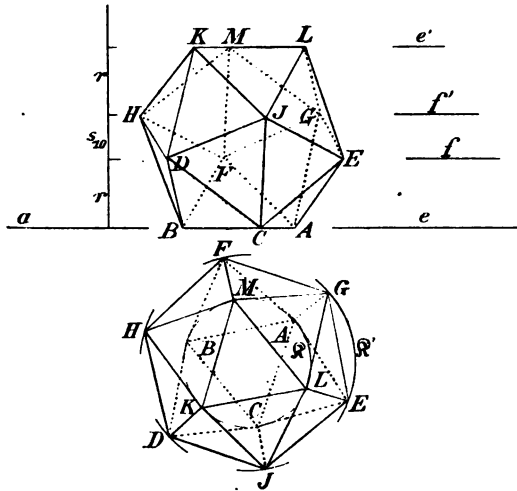


Fig. 52.

sein Radius. Die 3 Ecken in  $\varphi$  sind in den Dreiecken, die an  $ABC$  mit Seiten anstossen, die Gegenecken, ihre Projectionen in  $\Pi_1 \equiv \epsilon$  bilden ein gleichseitiges Dreieck in einem concentrischen Kreise  $\mathfrak{R}'$ , das so ähnlich zu  $ABC$  in Bezug auf den Mittelpunkt liegt, dass entsprechende Ecken sich auf verschiedenen Seiten desselben befinden. Dass diese beiden Dreiecke durch die ersten Projectionen der in  $\epsilon'$

und  $\varphi'$  befindlichen zu regelmässigen Sechsecken in  $\mathfrak{R}$  und  $\mathfrak{R}'$  vervollständigt werden, erkennt man wie vorhin. Von jeder Ecke gehen fünf Dreiecke aus, und die ihr gegenüber liegenden Seiten derselben bilden ein regelmässiges ebenes Fünfeck. Zu zwei Ecken in  $\varphi$  giebt es immer eine in  $\epsilon$ , mit der sie ein gleichschenkliges Dreieck bilden; seine Spitze ist diese Ecke, die Schenkel sind Kanten des Icosaeders, und der Winkel an der Spitze ist der Polygonwinkel eines solchen Fünfecks, wie es eben beschrieben wurde; es gehört zu derjenigen Ecke in  $\varphi'$ , die der dritten Ecke in  $\varphi$  gegenüber liegt. Die Basis des Dreiecks, welche mit ihrer ersten Projection gleich ist, sei  $s_3'$ ; dann haben wir:  $s_3' = 2s_3 \sin 54^\circ$ , und daher  $r' = 2r \sin 54^\circ$ . Aber  $\cos 54^\circ = \frac{1}{2} \frac{s_3}{r} = \frac{1}{2} \sqrt{\frac{5 - \sqrt{5}}{2}}$ ,  $2 \sin 54^\circ = \frac{1}{2} (\sqrt{5} - 1)$ ; folglich  $r' - r = s_{10}$ .

Die Differenz der Radien der beiden concentrischen Kreise  $\mathfrak{R}, \mathfrak{R}'$  ist daher auch hier gleich der Seite des dem kleineren eingeschriebenen regelmässigen Zehneckes.

In diese Differenz projiciren sich in  $\Pi_1$  die Kanten, welche von  $\epsilon$  nach  $\varphi'$  oder von  $\varphi$  nach  $\epsilon'$  gehen; daher ist die Entfernung  $\overline{\epsilon\varphi'} = \overline{\varphi\epsilon'} = \sqrt{s_3^2 - s_{10}^2} = r + s_{10}$ , weil bekanntlich  $s_3^2 = s_{10}^2 + (r + s_{10})^2$ . Die Kanten, welche von  $\varphi$  nach  $\varphi'$  gehen, projiciren sich in die Seiten des

$\mathfrak{R}$  eingeschriebenen regelmässigen Sechsecks, also in  $r' = r + s_{10}$ , und die Entfernung  $\overline{\varphi\varphi'}$  ist  $\sqrt{s_{10}^2 - (r + s_{10})^2} = s_{10}$ ; daher ist  $\overline{\epsilon\varphi} = \overline{\varphi'\epsilon'} = r$ .

*Hier wie vorhin haben die vier parallelen Ebenen (und ihre Spuren in  $\Pi_2$ ) die Entfernungen  $r, s_{10}, r$ ; wo  $r, s_{10}$  der Radius des einer Seitenfläche umgeschriebenen Kreises und die Seite des diesem Kreise eingeschriebenen regelmässigen Zehnecks sind.)\**

Steht das Polyeder mit keiner von seinen Flächen in einer der Projectionsebenen, sondern ist eine Fläche in eine beliebige Ebene  $E$  gelegt, so wird man dieselbe, etwa nach  $\Pi_1$ , umlegen und nach der vorangehenden Anweisung construiren; die ersten Projectionen stellen uns dann die Umlegungen der Fusspunkte der aus den Ecken auf  $E$  gefällten Lothe dar und die zweiten Ordinaten geben uns die Länge dieser Lothe. Jene wird man mit  $E$  wieder aufrichten, in ihnen die Lothe errichten und auf diesen, am besten mit Hilfe einer zu  $\Pi_1$  und  $E$  senkrechten Projectionsebene  $\Pi_3$  (Nr. 102), die Längen auftragen.

110. Stellt man das Icosaeder mit einer Hauptdiagonale senkrecht auf  $\Pi_1$ , so projeciren sich die 10 übrigen Ecken in ein regelmässiges Zehneck um die gemeinsame Projection der durch die Diagonale verbundenen Gegenecken. Sei auch hier  $s_{10}$  die Seite dieses Zehnecks und  $r$  der Radius des umgeschriebenen Kreises  $\mathfrak{R}$ , so haben die vier parallelen Ebenen  $\epsilon, \varphi, \varphi', \epsilon'$ , in denen je 1, 5, 5, 1 Ecken liegen, die Entfernungen  $\overline{\epsilon\varphi} = \overline{\varphi'\epsilon'} = s_{10}$ ,  $\overline{\varphi\varphi'} = r$ ; denn die von  $\epsilon$  nach  $\varphi$  oder von  $\epsilon'$  nach  $\varphi'$  gehenden Kanten projeciren sich in Radien des Kreises  $\mathfrak{R}$  und die von  $\varphi$  nach  $\varphi'$  gehenden in Seiten des Zehnecks, die in  $\varphi$  oder  $\varphi'$  gelegenen in Seiten  $s_5$  des  $\mathfrak{R}$  eingeschriebenen Fünfecks, so dass  $s_5$  die Kante ist.

Stellt man das Dodecaeder in ähnlicher Weise, so treten auch halbregelmässige Vielecke auf.

Constructiv erhält man (Nr. 22) den Flächenwinkel des Icosaeders mittelst einer dreikantigen Ecke, deren Kantenwinkel  $60^\circ, 60^\circ, 108^\circ$  sind, als Gegenwinkel des letzten Kantenwinkels; sein Sinus ist rational,  $\frac{2}{3}$ , der Cosinus —  $\frac{\sqrt{5}}{3}$ .\*\*) )

Hinsichtlich des Verbindens der Ecken des Icosaeders zu Kanten gilt Folgendes:

\*) Vgl. Gugler, Lehrbuch der descriptiven Geometrie, 4. Aufl. (1880) S. 127, 130, 141.

\*\*) Beim Octaeder hat die dreikantige Ecke die Kantenwinkel  $60^\circ, 60^\circ, 90^\circ$ ; der Cosinus des Flächenwinkels ist —  $\frac{1}{3}$ . Beim Tetraeder ist er  $\frac{1}{3}$ .



Von jeder Ecke des Grunddreiecks in  $\epsilon$  (in der ersten Stellung) gehen, ausser dessen beiden Seiten, noch 3 Kanten aus: zwei nach der Ebene  $\varphi$  und eine nach  $\varphi'$ , welche sich am stärksten in  $\Pi_1$  verkürzt, wie wir sahen, in die Differenz  $r' - r$ . Von jeder Ecke in  $\varphi$  gehen zwei nach  $\epsilon$ , zwei nach  $\varphi'$  und eine nach  $\epsilon'$ ; und ähnliches gilt für  $\epsilon'$  und  $\varphi'$ .

111. Man nennt Dodecaeder und Icosaeder zu einander *reciprok* oder *dual*; d. h. jenes hat so viele Ecken (12), bzw. Flächen (20), als dieses Flächen, bzw. Ecken hat; beide haben gleich viele Kanten (30); ferner hat das Icosaeder in einer Fläche so viele Ecken und Kanten (3), als beim Dodecaeder durch eine Ecke Flächen und Kanten gehen; und beim Icosaeder gehen durch eine Ecke so viele Flächen und Kanten (5), als beim Dodecaeder Ecken und Kanten in einer Fläche liegen.

*In ähnlicher Beziehung stehen Hexaeder und Octaeder, während das Tetraeder sich selbst dual ist.*

Mit dieser Erkenntniss meldete sich bei Maurolycus und nochmals bei Kepler das *Princip der Dualität oder Reciprocität* an; aber erst zwei Jahrhunderte später kam man wieder darauf zurück, und nun erkannte man auch bald die grosse Bedeutung dieses die ganze Geometrie beherrschenden Gesetzes. *Durch dasselbe wird jedem Satze, der es nur mit Lageeigenschaften zu thun hat, ein anderer gegenüber gestellt, in dem Punkt und Ebene ihre Rolle vertauschen, während die Gerade wieder in eine Gerade übergeht, neben die Geometrie, in der der Punkt das Grundelement der Betrachtung ist, eine andere Geometrie gestellt, in welcher die Ebene dies Grundelement ist.*

Wir begnügen uns hier, eine Anzahl von elementaren Sätzen einander dual gegenüberzustellen.

Auf einer Geraden liegen  $\infty^1$  Punkte.

Durch eine Gerade gehen  $\infty^1$  Ebenen.

In einer Ebene liegen  $\infty^2$  Punkte und  $\infty^2$  Geraden.

Durch einen Punkt gehen  $\infty^2$  Ebenen und  $\infty^2$  Geraden.

Im Raume giebt es  $\infty^3$  Punkte.

Im Raume giebt es  $\infty^3$  Ebenen.

Zwei Punkte bestimmen eine Gerade.

Zwei Ebenen bestimmen eine Gerade.

Eine Gerade und eine Ebene bestimmen im allgemeinen einen Punkt, der ihnen gemeinsam ist. Es giebt  $\infty^1$  Geraden in der Ebene, welche die Gerade treffen; sie gehen durch diesen Punkt.

Eine Gerade und ein Punkt bestimmen im allgemeinen eine Ebene, die ihnen gemeinsam ist. Es giebt  $\infty^1$  Geraden durch den Punkt, welche die Gerade treffen; sie liegen in dieser Ebene.

Wenn eine Gerade mit einer Ebene zwei Punkte gemein hat, so liegt sie ganz in ihr und hat alle ihre  $\infty^1$  Punkte mit ihr gemeinsam.

Drei Ebenen bestimmen einen Punkt, der ihnen gemeinsam ist.

Zwei Geraden derselben Ebene bestimmen einen Punkt.

Durch einen Punkt geht eine Gerade, welche zwei gegebene Geraden trifft; sie ist die Schnittlinie der Ebenen, die ihn mit denselben verbinden.

$n$  Punkte haben  $\frac{1}{2} n (n - 1)$  Verbindungs-  
bindungs- und

$$\frac{1}{6} n (n - 1) (n - 2)$$

Verbindungsebenen.

Nur wenn parallelen Geraden und Ebenen unendlich ferne gemeinsame Elemente zugeschrieben werden, sind durchweg beide Sätze in gleicher Weise *ausnahmslos* richtig.

Wenn eine Gerade mit einem Punkte zwei Ebenen gemeinsam hat, so enthält sie ihn und hat alle ihre  $\infty^1$  Ebenen mit ihm gemeinsam.

Drei Punkte bestimmen eine Ebene, die ihnen gemeinsam ist.

Zwei Geraden durch denselben Punkt bestimmen eine Ebene.

In einer Ebene liegt eine Gerade, welche zwei gegebene Geraden trifft; sie verbindet deren Schnittpunkte mit der Ebene.

$n$  Ebenen haben  $\frac{1}{2} n (n - 1)$  Schnitt-  
geraden und

$$\frac{1}{6} n (n - 1) (n - 2)$$

Schnittpunkte.

## b) Ebene Schnitte von Polyedern.

112. Ueber ebene Schnitte von Pyramiden und Prismen soll ausführlich gesprochen werden. Bei andern Polyedern wird man, um den ebenen Schnitt am schnellsten und sichersten zu erhalten, *mit einer Projectionsebene  $\Pi_3$  arbeiten, die zu einer der gegebenen,  $\Pi_1$ , und zur schneidenden Ebene  $E$  senkrecht ist*. Die Schnittfigur projicirt sich dann in dieser Ebene auf die dritte Spur von  $E$ . Man wird also sofort erkennen, ob überhaupt ein Schnitt zu Stande kommt und, wenn das der Fall ist, welche Kanten und Flächen geschnitten werden. Die dritte Projection des Schnitts, aus der die andern Projectionen durch Lothen sich ergeben, besteht aus zwei übereinander gelegten gleichen Strecken der dritten Spur, in die eine projicirt sich der sichtbare Theil der Schnittfigur, in die andere der unsichtbare; wobei die Richtung, in der auf  $\Pi_3$  gesehen wird, willkürlich gewählt werden kann; die Entscheidung über Sichtbarkeit und Unsichtbarkeit erfolgt aus scheinbaren Schnitten in  $\Pi_3$  durch Lothen nach  $\Pi_1$  (Nr. 107). Die Aufeinanderfolge der Schnitte der dritten Spur mit sichtbaren inneren Kanten,

einer Umrisskante, unsichtbaren inneren Kanten, der andern Umrisskante lehrt die Aufeinanderfolge der Ecken der Schnittfigur. Andererseits ist ja auch klar, dass benachbarte Ecken der Schnittfigur nur auf Kanten liegen können, welche derselben Seitenfläche des Polyeders angehören, und benachbarte Seiten der Schnittfigur in benachbarten Seitenflächen.

In Fig. 51 (Taf. III) ist sie  $ABCDEFGH$ . In ihr ist die zweite Projectionsebene parallel verschoben (Nr. 96), und das Lothen musste wegen schiefen Schnitts bisweilen durch Proportionalconstruction oder Benutzung der dritten Projection ersetzt werden.

Will man ohne Anwendung einer dritten Projectionsebene arbeiten, so ist nicht leicht zu erkennen, welche Kanten geschnitten werden, nämlich zwischen ihren begrenzenden Ecken. Man kann mit den ersten Versuchen verunglücken. Hat man eine Kante getroffen, welche von der Ebene  $E$  zwischen den Ecken geschnitten wird, so wird man nun besser  $E$  mit einer der beiden Seitenflächen, zu denen sie gehört, schneiden, durch die Schnittlinie die zweite getroffene Kante dieser Fläche bestimmen, dann über diese zur andern Nachbarfläche übergehen, und so weiter. Man hat am Schlusse die Controlle, dass durch den Ausgangs-Schnittpunkt die letzte zu construirende Schnittlinie gehen muss. Aber diese Construction dürfte doch im allgemeinen weniger empfehlenswerth sein, als die vorangehende, obwohl dieselbe die Herstellung der dritten Projection des Polyeders fordert.

Man kann aber auch das Polyeder und  $E$  drehen, bis diese Ebene zu einer der gegebenen Projectionsebenen senkrecht ist, nun den Schnitt construiren und dann zurtückdrehen.

Sichtbare Seiten der Schnittfigur liegen natürlich in sichtbaren Seitenflächen des Polyeders. Es tritt eine Modification ein, wenn man den einen Theil des Polyeders weggenommen denkt; wodurch manche Bedeckungen und scheinbaren Schnitte in Wegfall kommen.

113. Von unvergleichlich höherem theoretischen Interesse sind *die ebenen Schnitte von Pyramiden und Prismen*. Dabei wollen wir aber annehmen, dass wir es nur mit den Mänteln derselben zu thun, bei den Pyramiden mit *beiden* Halbmänteln, und dass keine Begrenzung durch die Grundfläche stattfinde. Der Umfang derselben ist uns nur *Leitfigur*, an der eine nach beiden Seiten hin unendlich lange Gerade, die ständig durch einen festen Punkt geht, hingeleitet und dabei mit ihren beiden Halbstrahlen die beiden Halbmäntel der Pyramide beschreibt. Beim Prisma ist der Punkt unendlich fern, die bewegliche Gerade bleibt sich parallel. Nennen wir *Erzeugenden* (oder Mantellinien) die verschiedenen Lagen der Gerade.

Wir könnten die Leitfigur auch uneben annehmen, aber wir beschränken uns auf den Fall einer *ebenen* Figur; ihre Ebene sei  $E$ , während  $\Phi$  die schneidende Ebene ist;  $s$  sei die Schnittnlinie  $E\Phi$ ,  $O$  die Pyramidenspitze, bezw.  $l$  irgend eine Gerade von der Richtung der Erzeugenden des Prismas, also  $O$  unendlich fern auf ihr. Es erhellt sofort, dass *wir jede der beiden Figuren als Projection der andern aus  $O$  ansehen können; sie sind entsprechende Figuren in zwei Feldern in  $E$  und  $\Phi$ , welche sich in der eindeutigen Beziehung befinden, die wir in Nr. 6 perspective Lage genannt haben.* Jedem Punkte, jeder Gerade der einen Ebene entspricht ein Punkt, eine Gerade der andern, und zwar, wie wir nunmehr sagen können, ausnahmslos, wofern wir unendlich ferne Elemente zulassen: wir werden uns gleich genauer darüber orientiren, wenn wir es mit solchen zu thun haben.

*Jede zwei entsprechenden Punkte sind durch einen Strahl des Bündels  $O$  verbunden und ebenso zwei entsprechende Geraden durch eine Ebene desselben; in dem Punkte, in welchem diese die Gerade  $s$  trifft, begegnen sie sich und sind daher, wenn sie etwa zu  $s$  parallel ist, beide zu  $s$  parallel, was wir aber nicht mehr besonders zu erwähnen brauchen. Wenn ein Punkt des einen Feldes auf einer Gerade desselben liegt, so gilt dasselbe für die entsprechenden Elemente des andern Feldes; beschreibt daher in jenem der Punkt eine Punktreihe, der Strahl einen Strahlenbüschel, so verhält sich das entsprechende Element ebenso.*

114. Im Falle  $O$  endlich ist, legen wir (Fig. 53) durch diesen Punkt die Parallelebenen  $E^*$  und  $\Phi^*$  zu  $E$  und  $\Phi$ ; jede dieser Ebenen ist Verschwindungsebene, wenn die parallele Ebene als Projectionsebene angesehen wird. Indem wir zunächst den allgemeinen Fall annehmen, dass  $E$  und  $\Phi$  nicht parallel sind, so erhalten wir endliche Schnittnlinien  $j = E\Phi^*$ ,  $i' = \Phi E^*$ , welche zu  $s$  und zu einander parallel sind. Wir erinnern uns (Nr. 5): wenn in  $E$  zwei Geraden  $a, b$  parallel sind, so fällt die Schnittnlinie der beiden Ebenen  $Oa, Ob$ , weil sie zu ihnen parallel ist, in die Ebene  $E^*$ , ihr Schnittpunkt mit  $\Phi$ , in dem sich die beiden entsprechenden Geraden  $a', b'$  begegnen, also auf  $i'$ ; und umgekehrt, bei zwei Geraden  $a', b'$  in  $\Phi$ , die sich auf  $i'$  schneiden, fällt die nach diesem Schnittpunkt gehende Schnittnlinie der beiden Ebenen  $Oa', Ob'$  in die Ebene  $E^*$ , ist also parallel zu  $E$ , und diese Ebenen schneiden in  $E$  zwei Geraden  $a, b$  ein, die ihr umd. einander parallel sind.

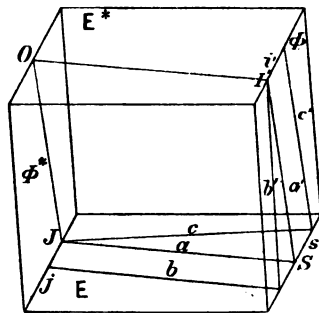


Fig. 53.

Somit hat jeder unendlich ferne Punkt von  $E$  seinen entsprechenden in  $\Phi$  auf  $i'$ , und jeder von  $i'$  seinen entsprechenden im Unendlichen; und indem sonst den Punkten einer Gerade die Punkte einer Gerade entsprechen, sehen wir, dass, wenn das ausnahmslos richtig sein soll, *wir die unendlich fernen Punkte von  $E$  als in einer Gerade liegend aufzunehmen haben*: der unendlich fernen Gerade von  $E$ , und die parallele Ebene  $E^*$  ist die Ebene durch  $O$ , welche sie mit der correspondirenden  $i'$  verbindet; diese uneigentliche Gerade heisst dem entsprechend  $i_\infty$ . Und in gleicher Weise entsprechen den unendlich fernen Punkten von  $\Phi$  die Punkte von  $j$  in  $E$ , also diese Gerade der unendlich fernen Gerade  $j_\infty$  von  $\Phi$ . Wie wir schon früher Punkte, welche durch Centralprojection unendlich fernen Punkten oder Richtungen correspondiren, Fluchtpunkte genannt haben, so nennen wir Geraden, deren entsprechende unendlich fern sind, *Fluchtgeraden*. Jedes unserer beiden Felder  $E, \Phi$  hat eine Fluchtgerade  $j$ , bzw.  $i'$ ; sie sind parallel zu  $s$ , und der parallelopipedische Raum, den  $E, \Phi, E^*, \Phi^*$  einschliessen, lehrt, dass *die Entfernung von  $O$  nach der einen Fluchtgerade in Grösse, Richtung und Sinn übereinstimmt mit derjenigen von der andern zur Schnittlinie  $s$* .

Wenn eine Gerade  $a$  in  $E$  die  $s$  in  $S$  und die  $j$  in  $J$  trifft, so geht die entsprechende  $a'$  in  $\Phi$  durch  $S$  und nach dem unendlich fernen Punkte von  $OJ$ , der dem  $J$  entspricht, ist daher zu  $OJ$  parallel; wie dies auch die Ebene  $Oaa'$  beweist, welche  $\Phi^*$  in  $OJ$  schneidet und daher  $\Phi$  in einer Parallele. Trifft nun  $a'$  die  $i'$  in  $I'$ , so ist ebenso  $OI'$  zu  $a$  parallel.

Man beweise, dass jeder Parallele in  $E$  zu  $j$  und  $s$  eine Parallele zu  $i'$  und  $s$  entspricht und umgekehrt; der Richtung von  $s$  entspricht kein endlicher Punkt in der andern Ebene, sondern wieder eine Richtung, und zwar sie selbst. Aber das ist nur ein besonderer Fall davon, dass *jeder Punkt von  $s$  sich selbst entspricht*, wie unmittelbar einleuchtet, und dass zwei entsprechende Geraden sich immer auf  $s$  begegnen, also auch zwei entsprechende Figuren.

115. Das Fünfeck  $ABCDE$  in  $E$ , das wir als Grund- oder Leitfigur der Pyramide annehmen wollen (Fig. 54), werde von der Fluchtgerade  $j$  der Ebene  $E$  in den Punkten  $K$  und  $L$  auf den Seiten  $AB$  und  $DE$  getroffen; so dass die Ebene  $\Phi^*$  den Mantel in den beiden Erzeugenden  $OK$  und  $OL$  schneidet; sie sind der Ebene  $\Phi$  parallel und ihre Schnitte mit ihr, die den Punkten  $K, L$  entsprechenden Punkte, sind unendlich fern (in der Richtung von  $OK, OL$ ). Der Schnitt  $A'B'C'D'E'$  hat infolge dessen nur drei Seiten  $B'C', C'D', E'A'$  von endlicher Länge; *die beiden andern Seiten sind nicht die endlichen*

Theile  $A'B'$ ,  $D'E'$ , sondern die unendlich langen Theile von  $A'$  über den unendlich fernen Punkt  $K_\infty$  nach  $B'$  und ebenso von  $D'$  über  $L_\infty$  nach  $E'$ .\*) Das Innere des Schnitts, welches wie das Innere von  $ABCDE$  die concaven Winkel enthält, besteht aus zwei unendlich grossen Theilen  $\mu' = L_\infty D'C'B'K_\infty$ ,  $\nu' = K_\infty A'E'L_\infty$ , welche den beiden (offenen) Theilen  $\mu = LDCBK$  und  $\nu = KAEL$  entsprechen, in die das Innere von  $ABCDE$  durch  $j$  getheilt wird; und wie die Umfänge dieser in  $K$  und  $L$  und sie selbst in der Strecke  $KL$  der Gerade  $j$  zusammenhängen, so hängen, nach der perspectiven Ansicht, die beiden Theile von  $A'B'C'D'E'$  in  $K_\infty$ ,  $L_\infty$  und die beiden Theile  $\mu'$ ,  $\nu'$  des Innern in der unendlich fernen Strecke  $K_\infty L_\infty$  zusammen. Die beiden Theile von  $A'B'C'D'E'$  befinden sich auf den beiden Halbmänteln der Pyramide, die in der Spitze zusammenstossen. Lassen wir continuirlich eine Erzeugende an  $ABCDE$  hingleiten, so trifft sie  $\Phi$  mit dem dem einen Halbmantel angehörigen Halbstrahle, so lange sie sich auf den Theil  $LDCBK$  stützt, und erzeugt den Theil  $L'D'C'B'K'$ ; kommt sie nach  $OK$ , so wird sie zu  $\Phi$  parallel und trifft im Unendlichen; stützt sie sich nunmehr auf den Theil  $KAEL$ , so trifft sie  $\Phi$  mit ihrem dem andern Halbmantel angehörigen Halbstrahle und erzeugt den Theil  $K'A'E'L'$ , und über die Erzeugende  $OL$  kehrt man zum ersten Halbmantel zurück. Die continuirliche Bewegung der Erzeugenden veranlasst uns, auch der Bewegung des Punktes, welcher den Umfang des Schnitts durchläuft, Continuität zuzuschreiben.

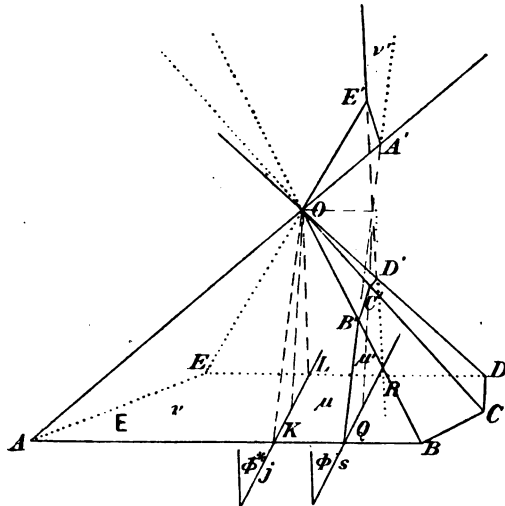


Fig. 54.

Enthält  $j$  nur einen Eckpunkt der Leitfigur, sie streifend, so geht dieser allein ins Unendliche und zwei benachbarte Seiten der Schnittfigur werden parallel; der Schnitt besteht hier nur aus einem Stücke. Schneidet endlich die Fluchtgerade  $j$  die Leitfigur gar nicht, dann ist die Schnittfigur ebenfalls eine im Endlichen geschlossene Figur.

\*) Nach Staudt's Bezeichnung die Strecken  $A'B'$ ,  $D'E'$ .

*Je nachdem also die Ebene, welche durch den Scheitel einer Pyramide parallel zur Schnittebene gelegt ist, die Pyramide in zwei Erzeugenden durchschneidet und daher jeden der beiden Halbmäntel in zwei Theile theilt, oder sie nur längs einer Kante streift, oder endlich gar keine Erzeugende enthält, so dass in diesem und dem vorigen Falle die beiden Halbmäntel zu verschiedenen Seiten dieser Ebene liegen; d. h. je nachdem jene durch den Scheitel gelegte Ebene die Leitfigur zweimal trifft, oder nur eine Ecke von ihr enthält, oder sie gar nicht trifft, so besteht der Schnitt aus zwei ins Unendliche verlaufenden und dort zusammenhängenden Theilen oder er besteht nur aus einem Theile, hat aber zwei benachbarte parallele Seiten, oder ist eine im Endlichen geschlossene Figur.*

116. Genau dieselben drei Fälle erhalten wir bei einem Kegel, der über einem Kreise steht; je nachdem  $j$  diesen Kreis in zwei Punkten schneidet oder ihn nur berührt oder ihn gar nicht trifft und daher die Parallelebene durch den Scheitel zur Schnittebene den Kegel in zwei Erzeugenden schneidet, oder ihn berührt, oder nur durch die Spitze geht und gar keine Erzeugende enthält, ergeben sich die drei Curven, welche Kegelschnitte genannt werden: im ersten Falle eine Hyperbel, welche aus zwei Zweigen besteht, die beide nach denselben zwei verschiedenen Richtungen ins Unendliche verlaufen, der eine in den einen Sinuen, der andere in den entgegengesetzten, und in diesen zwei unendlich fernen Punkten zusammenhängen; im zweiten Falle eine Parabel, die aus einem Zweige besteht, der nach beiden Seiten in derselben Richtung und demselben Sinne ins Unendliche strebt; im dritten Falle eine Ellipse.

Eine Tangente des Kreises geht in eine Tangente des Kegelschnitts über; seien im ersten Falle wieder  $K$  und  $L$  die Schnitte von  $j$  mit dem Kreise,  $k$ ,  $l$  die zugehörigen Tangenten desselben; so gehen wohl  $K$  und  $L$  in unendlich ferne Punkte über, aber nicht  $k$  und  $l$  in unendlich ferne Geraden; denn sie sind verschieden von  $j$ , und nur diese Gerade in  $E$  wird unendlich fern. Die Tangentialebenen des Kegels, welche  $k$  und  $l$  enthalten und, weil durch  $O$  gehend, die entsprechenden Tangenten  $k'$ ,  $l'$  einschneiden, treffen  $\Phi^*$  in  $OK$ ,  $OL$ ; also sind sie auch zu  $\Phi$  nicht parallel, schneiden sie in eigentlichen Geraden. Wir erhalten zwei Tangenten der Hyperbel, welche unendlich ferne Berührungspunkte haben, aber selbst endlich sind: die sogenannten Asymptoten der Hyperbel. Sie vermitteln den Uebergang von den Tangenten des einen Zweiges zu denen des andern.

Haben sich  $K$  und  $L$  vereinigt, so dass  $j$  den Kreis berührt, so erhält die entsprechende Curve in  $j_\infty$  eine Tangente. Die Parabel berührt die unendlich ferne Gerade.

Wenn man aber doch die Pyramide (Kegel) in der Spitze begrenzt annimmt, so wird dann natürlich ein Zweig des Schnitts, der dem fehlenden Halbmantel angehört, in Wegfall kommen. Schneidet die Ebene  $\Phi$  die Leitfigur, so liegen die Schnittpunkte  $Q$ ,  $R$ , als Punkt von  $s$  sich selbst entsprechend, auch auf der Schnittfigur, so dass, wenn man die Pyramide durch die Fläche der Leitfigur begrenzt denkt, ein Theil des Schnitts nicht vorhanden ist, und der im Innern der Pyramide befindliche zunächst offene Theil der Schnittfigur durch die Strecke  $QR$  geschlossen werden muss.

Theoretisch kann man jede von zwei entsprechenden Figuren in  $E$ ,  $\Phi$  als Schatten der andern ansehen, der auf ihre Ebene durch Lichtstrahlen geworfen wird, welche von  $O$  kommen; aber wirklicher Schatten ist nur ein solcher Punkt, der auf derselben Seite und weiter vom leuchtenden Punkt entfernt liegt, als der, welcher Schatten wirft. Wenn z. B. ein Kreis auf eine Wand Schatten wirft, der leuchtende Punkt aber so liegt, dass die Parallelebene durch ihn zur Wand den Kreis in zwei Theile theilt, so kommt als Schatten nur der eine Hyperbelzweig zu stande.

117. Lassen wir nun  $O$  unendlich fern werden, also Pyramide (Kegel) in Prisma (Cylinder) übergehen, die Centralprojection, durch welche jedes der beiden Felder  $E$ ,  $\Phi$  ins andere übergeführt wird, in Parallelprojection; während  $E$  und  $\Phi$  nach wie vor als nicht parallel angenommen werden. Dann entspricht jedem endlichen Punkte ein endlicher (Nr. 7). Endliche Fluchtgeraden  $j$  und  $i'$  können also nicht vorhanden sein. In der That, wenn sich  $O$  entfernt, so entfernen sich auch  $j$  und  $i'$ , sich parallel verschiebend, immer weiter, da die Ebenen  $\Phi^*$  und  $E^*$  es thun, und, wenn  $O$  unendlich fern geworden ist, so sind sie in die unendlich fernen Geraden von  $E$ ,  $\Phi$  gelangt; jede von diesen hat die andere zur entsprechenden: jedem unendlich fernen Punkt oder jeder Richtung des einen Feldes entspricht ein unendlich ferner Punkt, eine Richtung in dem andern, parallelen Geraden entsprechen parallele Geraden.

Ist die Leitfigur eines prismatischen Mantels eine im Endlichen geschlossene Figur, so gilt dasselbe für jeden ebenen Schnitt. Jeder Cylinder über einem Kreise hat keine andern ebenen Schnitte als im Endlichen geschlossene, Ellipsen; oder die Parallelprojection eines Kreises ist immer eine Ellipse.

Wenn aber die Ebenen  $E$ ,  $\Phi$  parallel sind und  $O$  endlich ist, so sind zwei entsprechende Geraden parallel, als Schnitte einer Ebene durch  $O$  mit den parallelen Ebenen  $E$ ,  $\Phi$ ; sie treffen sich im Unendlichen: auf der in diesem Falle unendlich fernen Schnittlinie  $s$ . Diese



*gemeinsame unendlich ferne Gerade entspricht sich selbst; also können wir auch nicht endliche Fluchtgeraden haben; und in der That, die beiden Parallelebenen  $E^*$ ,  $\Phi^*$  durch  $O$  sind in dieselbe durch  $O$  zu  $E$ ,  $\Phi$  parallele Ebene zusammengefallen, und  $s_\infty$  ist sowohl Schnitt  $j = E\Phi^*$ , als Schnitt  $i' = \Phi E^*$ . Wenn jeder Gerade der einen Ebene eine parallele in der andern entspricht, so entsprechen zwei parallelen Geraden zwei ebenfalls parallele von derselben Richtung; jede Richtung entspricht sich selbst, d. h. jeder Punkt von  $s_\infty$ .*

*Entsprechende Figuren sind parallele Schnitte einer Pyramide oder eines Kegels, also ähnlich; das Verhältniss entsprechender Strecken ist*

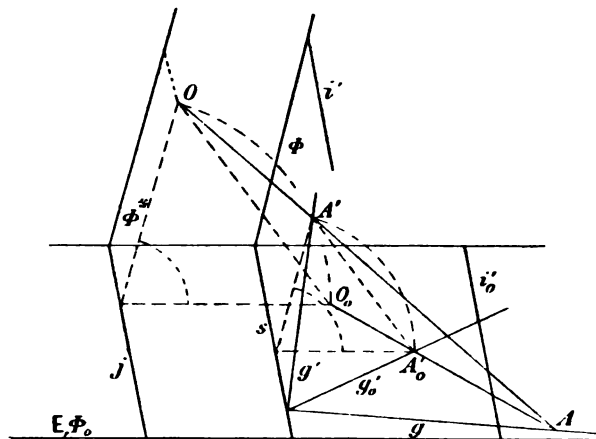


Fig. 55.

*offenbar das der Entfernungen der beiden Ebenen von  $O$ . Diese Ähnlichkeit geht in Congruenz, dies Verhältniss in 1 über, wenn auch  $O$  unendlich fern wird und wir es mit parallelen Schnitten von Prismen oder Cylindern zu thun haben.*

118. Wir wollen jetzt von den beiden in perspectiver Lage befindlichen Feldern das eine  $\Phi$  um die Schnittlinie  $s$  drehen bis zur Vereinigung mit dem andern; wenn  $O$  endlich ist (Fig. 55), so werde dann gleichzeitig und in demselben Sinne auch die Parallelebene  $\Phi^*$  um  $j = E\Phi^*$  umgelegt in  $E$ . Die Punkte der beiden Ebenen beschreiben bei diesen Drehungen Kreisbögen in Ebenen, welche senkrecht auf  $s$  und  $j$  stehen und daher auch auf  $E$  und  $\Phi$ , um die Schnitte dieser Ebenen mit  $s$ , bzw.  $j$  und mit gleichen Centriwinkeln, Neigungswinkeln der Ebenen  $\Phi$  und  $\Phi^*$  gegen  $E$ . Man erhält ähnliche gleichschenklige Dreiecke mit parallelen Schenkeln, Normalen in  $E$  und  $\Phi$  oder  $\Phi^*$  zu  $s$  oder  $j$ ; also sind auch die Basen, die Sehnen dieser Kreisbögen, parallel. Daher sind die Umlegungen der Punkte  $A', B', C \dots$

von  $\Phi$  und des Punktes  $O$  von  $\Phi^*$ , welche  $A_0', B_0', C_0', \dots, O_0$  heissen mögen, Parallelprojectionen dieser Punkte auf die Ebene  $E$  in der Richtung der Sehnen. Nun sind die Punkte  $A, A', O$  in gerader Linie gelegen, also auch ihre Projectionen  $A, A_0', O_0$ ; ebenso  $B, B_0', O_0$ ; ... Das Feld  $E$  und das Feld  $\Phi_0$ , ebenfalls in  $E$ , die Umlegung von  $\Phi$ , sind so bezogen, dass die Verbindungslinien entsprechender Punkte  $A$  und  $A_0', B$  und  $B_0', \dots$  alle durch denselben Punkt  $O_0$  laufen. Zwei entsprechende Geraden  $g$  und  $g'$  von  $E$  und  $\Phi$  treffen sich auf  $s$ , dieser Punkt bleibt bei der Umlegung; also treffen sich auch zwei entsprechende Geraden  $g$  und  $g_0'$  von  $E$  und  $\Phi_0$  auf  $s$ . Und wenn in dem einen Felde ein Punkt auf einer Geraden liegt, so gilt es für die entsprechenden Elemente im andern; denn es ist richtig für  $E$  und  $\Phi$ , und die Umlegung ändert daran nichts. Diese Beziehung heisst, wie wir schon in Nr. 23 erwähnten, *Homologie*,  $O_0$  das *Centrum* und  $s$  die *Axe* der Homologie.

*Wird also das eine von zwei Feldern, welche in perspectiver Lage sind, durch Drehung um die Schnittlinie mit dem andern vereinigt, so erhält man zwei Felder (derselben Ebene), welche in Homologie sind: Axe der Homologie, d. i. die Gerade, auf welcher durchweg entsprechende Geraden sich schneiden, ist die Schnittlinie, Centrum der Homologie, d. i. der Punkt, in den die Verbindungslinien entsprechender Punkte zusammenlaufen, ist der Punkt, in den sich das Centrum, durch welches die perspective Lage erzielt wird, legt, wenn es mit der Parallelebene zur umgelegten Ebene in demselben Drehsinne umgelegt wird.*

Geraden von  $E$ , die sich in einem Punkte  $J$  von  $j$  schneiden, entsprechen in  $\Phi$  parallele Geraden von der Richtung  $OJ$ , also in  $\Phi_0$  parallele Geraden von der Richtung  $O_0J$ . Daher ist  $j$  auch in der Beziehung zwischen  $E$  und  $\Phi_0$  der unendlich fernen Gerade von  $\Phi_0$  entsprechend oder *Fluchtgerade* in  $E$ . Ebenso entsprechen parallelen Geraden von  $E$  in  $\Phi$  Geraden, die sich auf  $i'$  in  $I'$  schneiden, also in  $\Phi_0$  Geraden, welche sich auf  $i_0'$  schneiden, der Umlegung von  $i'$ , welche somit *Fluchtgerade* von  $\Phi_0$  wird. Aus dem Satze von Nr. 114 über die gegenseitige Lage von  $s, j, i', O$  schliessen wir hier für  $s, j, i_0'$ , welche auch parallel sind, und  $O_0$ , dass ebenfalls die Entfernung von  $s$  nach  $j$  (oder  $i_0'$ ) in Grösse und Sinn übereinstimmt mit derjenigen von  $i_0'$  (oder  $j$ ) nach  $O_0$ .

Sind daher *Axe*, *Centrum* und die eine *Fluchtgerade* gegeben, so ist die andere leicht zu construiren. Hat man eine Gerade  $g$  in  $E$ , welche  $s, j$  in  $S, J$  schneidet, so geht  $g_0'$  durch  $S$  und ist zu  $O_0J$  parallel; denn  $J_{\infty,0}$  liegt auf  $g_0'$  und andererseits mit  $J$  und  $O_0$  in gerader Linie. Man zeige, dass, wenn  $g_0'$  die  $i_0'$  in  $I_0'$  trifft,  $g$  zu  $O_0I_0'$  parallel

ist. Wenn ein Punkt  $P$  in  $E$  gegeben ist, so liegt der entsprechende  $P_0'$  auf  $O_0P$  und, wenn  $g$  eine durch  $P$  gehende Gerade ist, auf  $g_0'$ .

Ist  $O$  unendlich fern, so haben wir, wie schon in Nr. 23 gesagt (und für den Fall, dass die Projectionsstrahlen auf  $E$  normal sind, bewiesen) wurde, *Affinität, d. h. parallele Verbindungslinien entsprechender Punkte* oder unendlich fernes Centrum. In der That, dann sind die  $AA', BB', \dots$  parallel und werden in der Richtung der oben genannten Sehnen, die ja von  $O$  unabhängig sind, in parallele Geraden  $AA_0', BB_0', \dots$  projectirt.

119. Wir schliessen hieran die Behandlung der Sätze über *zwei perspective Dreiecke im Raume und in der Ebene*. Liegen zwei Dreiecke  $ABC, A'B'C'$  in verschiedenen Ebenen perspectiv, d. h. so, dass  $AA', BB', CC'$  durch einen Punkt  $O$  gehen, so sind sie entsprechende Figuren in perspectiv gelegenen Feldern, also treffen sich die entsprechenden Seiten  $BC$  und  $B'C'$ ,  $CA$  und  $C'A'$ ,  $AB$  und  $A'B'$  auf der Schnittlinie  $s$  der beiden Ebenen. Umgekehrt, wenn die Seiten zweier Dreiecke  $ABC, A'B'C'$ , welche in verschiedenen Ebenen liegen, diese Eigenschaft haben, dass ihre entsprechenden Seiten sich schneiden und dann nothwendig auf der Schnittlinie, so laufen die Verbindungslinien entsprechender Ecken in einen Punkt zusammen; denn wir haben drei Ebenen  $\alpha = (BC, B'C')$ ,  $\beta = (CA, C'A')$  und  $\gamma = (AB, A'B')$ . In dem gemeinsamen Punkte derselben schneiden sich ihre drei Schnittlinien  $\beta\gamma, \gamma\alpha, \alpha\beta$ ; aber auf  $\beta\gamma$  liegen  $A$  und  $A'$ , auf  $\gamma\alpha$ :  $B$  und  $B'$ , auf  $\alpha\beta$ :  $C$  und  $C'$ . — Wenn die Ebenen parallel sind, so heisst das Schneiden auf der Schnittlinie, dass die entsprechenden Seiten parallel sind.

Aber auch bei zwei Dreiecken  $ABC, A'B'C'$  derselben Ebene, welche so liegen, dass die entsprechenden Seiten sich auf einer Geraden  $s$  (Axe) begegnen, laufen die Verbindungslinien entsprechender Ecken in einen Punkt (Centrum) zusammen; denn dreht man das eine um  $s$  aus der Ebene heraus, so findet die räumliche perspective Lage statt, da die Drehung an dem Schneiden auf  $s$  nichts ändert; also besteht nach Nr. 118 das Zusammenlaufen auch, wenn wieder die Vereinigung der Ebenen hergestellt wird.

Diesen ebenen Satz benutzt man, um eine oft vorkommende Aufgabe zu lösen, nämlich (Fig. 56) *nach dem unzugänglichen Schnittpunkte zweier Geraden  $a, b$  aus einem gegebenen Punkte  $C$  die Gerade zu ziehen*. Man legt auf  $a$  die Punkte  $A, A'$ , auf  $b$ :  $B, B'$ ; durch den Punkt  $\mathfrak{C} = (AB, A'B')$  zieht man die Gerade  $s$ , die von  $CA, CB$  in  $\mathfrak{B}, \mathfrak{A}$  geschnitten werde; ist dann  $C'$  der Schnitt von  $A'\mathfrak{B}$  und  $B'\mathfrak{A}$ , so genügen  $ABC, A'B'C'$  der Voraussetzung des Satzes, und  $CC'$  geht durch  $(AA', BB')$  ab. Natürlich muss man die Punkte und die Gerade  $s$  so

wählen, dass die erwähnten Schnitte zu stande kommen und scharf werden, so wie dass  $C'$  nicht zu nahe an  $C$  zu liegen kommt, weil dann die gesuchte Gerade nicht genau genug bestimmt wäre. Am einfachsten und exactesten verfährt man, wenn man  $\mathfrak{C}$  und  $s$  unendlich fern nimmt, wodurch auch  $\mathfrak{A}$ ,  $\mathfrak{B}$  unendlich fern werden; die Dreiecke  $ABC$  und  $A'B'C'$  haben dann parallele entsprechenden Seiten und sind ähnlich und ähnlich gelegen (man vergl. die Bemerkung in Nr. 65).

Den Umkehrungssatz: *Wenn zwei Dreiecke  $ABC$ ,  $A'B'C'$  derselben Ebene so liegen, dass  $AA'$ ,  $BB'$ ,  $CC'$  durch einen Punkt  $O$  gehen, so*

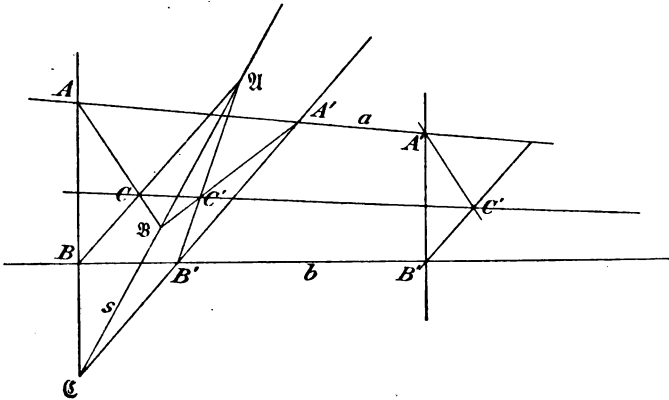


Fig. 56.

liegen die drei Schnittpunkte  $\mathfrak{A} = (BC, B'C')$ ,  $\mathfrak{B} = (CA, C'A')$ ,  $\mathfrak{C} = (AB, A'B')$  in gerader Linie, kann man, durch andere Auffassung der Figur, in den Satz, von dem er die Umkehrung ist, umwandeln. Bei den beiden Dreiecken  $AA'\mathfrak{B}$ ,  $BB'\mathfrak{A}$  nämlich liegen die Schnitte entsprechender Seiten  $(AA', BB') = O$ ,  $(A\mathfrak{B}, B\mathfrak{A}) = C$ ,  $(A'\mathfrak{B}, B'\mathfrak{A}) = C'$  in gerader Linie; also gehen  $AB$ ,  $A'B'$ ,  $\mathfrak{A}\mathfrak{B}$  durch denselben Punkt, oder, was dasselbe ist, der Punkt  $\mathfrak{C} = (AB, A'B')$  liegt auf  $\mathfrak{A}\mathfrak{B}$ , und das ist die Behauptung des Umkehrungssatzes.

120. Kehren wir zu den beiden Feldern in  $E$  und  $\Phi$ , die in perspectiver Lage sich befinden bei endlichem Perspectivitätscentrum  $O$  oder unendlich fernem auf  $l$ , zurück, um sie orthogonal auf eine unserer Projectionsebenen, zunächst auf  $\Pi_1$  zu projiciren; wir bevorzugen diesen für uns wichtigsten Fall der Parallelprojection, fordern jedoch den Leser auf, sich bei jedem Ergebnisse zu vergegenwärtigen, ob es auch für schräge Parallelprojection richtig ist.

Weil entsprechende Punkte  $P$ ,  $P'$  in  $E$ ,  $\Phi$  stets auf einer Geraden durch  $O$  oder einer Parallele zu  $l$  liegen, entsprechende Geraden  $g$ ,  $g'$

sich stets auf  $s$  schneiden, so gehen die Verbindungslinien  $P_1 P_1'$  stets durch  $O_1$  oder sind zu  $l_1$  parallel, die Schnittpunkte  $g_1 g_1'$  liegen auf  $s_1$ . Wenn  $P_1$  auf  $g_1$  liegt, so liegt  $P$  auf  $g$ , also  $P'$  auf  $g'$  und  $P_1'$  auf  $g_1'$ , und ebenso umgekehrt. Daraus erhellt: *Zwischen den ersten Projectionen  $E_1, \Phi_1$  zweier Felder  $E, \Phi$  in perspectiver Lage besteht Homologie, im Falle  $O$  endlich ist oder im Falle der Pyramide, wenn wir wieder auf die Ausgangsbetrachtung (Nr. 113) zurückkommen, Affinität, wenn  $O$  unendlich fern ist oder im Falle des Prismas. Axe der Homologie oder Affinität ist die Projection der Schnittlinie  $E\Phi$ , Centrum der Homologie ist die Projection des Perspectivitätscentrums  $O$  oder der Pyramidenspitze, die Affinitätsstrahlen haben die Richtung der Projectionen der Prismenkanten.*

Parallelen Geraden  $a, b$  von  $E$  entsprechen im ersten Falle sich auf  $i'$  schneidende in  $\Phi$ ; jene haben parallele Projectionen in  $\Pi_1$ , diejenigen dieser schneiden sich auf  $i_1'$ .

*Die Fluchtgeraden  $j$  und  $i'$  von  $E, \Phi$  projectiren sich in die Fluchtgeraden  $j_1', i_1'$  von  $E_1, \Phi_1$ , und die Uebereinstimmung der Entfernungen  $sj$  und  $i'O$  (oder  $si'$  und  $jO$ ) in Grösse und Sinn geht ersichtlich in die Projection über.*

Ebenso erhält sich, wenn  $E$  und  $\Phi$  parallel sind, der Parallelismus entsprechender Geraden, die Aehnlichkeit (bezw. Congruenz) entsprechender Figuren in der Projection.

Was für  $\Pi_1$  gilt, gilt ebenso für  $\Pi_2$ ; zu den Homologien (oder Affinitäten) zwischen  $E_1$  und  $\Phi_1, E_2$  und  $\Phi_2$  treten nun noch zwei Affinitäten hinzu (Nr. 67), die zwischen  $E_1$  und  $E_2$  und die zwischen  $\Phi_1$  und  $\Phi_2$ .

Weil  $s$  in  $E$  und  $\Phi$  liegt, so sind  $s_1$  und  $s_2$  entsprechende Geraden in diesen beiden Affinitäten; also treffen sie sich auf deren Axen  $m_{12,E}, m_{12,\Phi}$ . Folglich gehen die Axen  $s_1, s_2, m_{12,E}, m_{12,\Phi}$  aller vier Beziehungen oder Verwandtschaften, mit denen wir hier zu thun haben, durch denselben Punkt.

121. *Ein ebenes Fünfeck  $ABCDE$  in der Ebene  $E$ , durch seine Projectionen in  $\Pi_1, \Pi_2$  dargestellt, sei nach Nr. 68 oder 69 hergestellt (Fig. 57, Taf. IV). Ueber ihm sei eine Pyramide mit der Spitze  $O$  errichtet; es sollen die Projectionen ihres Schnitts  $A'B'C'D'E'$  mit einer Ebene  $\Phi$  construirt werden; diese sei durch ihre Spuren gegeben. Wir ermitteln zuerst die Schnittlinie  $s = E\Phi$ , Geraden der Ebene  $E$  mit  $\Phi$  schneidend; dann construiren wir die Parallelebene  $\Phi^*$  durch  $O$  zu  $\Phi$  (mit Hilfe einer Spurparallele) und die Schnittlinie  $j = E\Phi^*$ ; dass  $j \parallel s$ , wird besser als Controlle benutzt. Die andere Fluchtgerade  $i'$  ist nun nach dem obigen Satze sofort hinzuzufügen. Wir legen durch  $A_1$  eine*

Gerade  $x_1$  (zu  $E_1$  gehörig), welche  $s_1$  und  $j_1$  in  $S_1$  und  $J_1$  treffe; die entsprechende Gerade  $x_1'$  in  $\Phi_1$  geht durch  $S_1$  und ist zu  $O_1 J_1$  parallel; von dem durch  $A_1$  gehenden Homologiestrahle durch das Centrum  $O_1$  wird sie in  $A_1'$  getroffen. Ist  $I_1'$  der Schnitt von  $x_1'$  mit  $i_1'$ , so muss  $O_1 I_1'$  zu  $x_1$  parallel sein. In ähnlicher Weise werden  $B_1', C_1', \dots$  construirt; es empfiehlt sich die Hilfsgeraden, wie  $x_1$ , alle nach demselben Punkte  $J_1$  von  $j_1$  zu ziehen, weil dann die  $x_1'$  parallel werden und zugleich gezogen werden können. Als weitere Controlle haben wir das Schneiden der entsprechenden Seiten (und Diagonalen) von  $A_1 B_1 C_1 D_1 E_1$  und  $A_1' B_1' C_1' D_1' E_1'$  auf  $s_1$ .

Da man  $s_2, j_2, O_2$  (und  $i_2$ ) schon besitzt, so kann man nun ganz ebenso in  $\Pi_2$  verfahren, gewissermassen unabhängig von  $\Pi_1$ ; die Normalität zur Axe der Verbindungslinien zusammengehöriger Projectionen dient als Controlle, oder allgemeiner die Affinität zwischen  $\Phi_1$  und  $\Phi_2$ , insbesondere das Schneiden der Projectionen derselben Gerade in  $\Phi$  auf der Axe dieser Affinität. Andererseits empfiehlt es sich, eine oder die andere Ecke von  $A' B' C' D' E'$  als Schnittpunkt der Ebene  $\Phi$  mit einer Kante der Pyramide nach Nr. 63 zu ermitteln, so dass man eine reiche Fülle von Controllen zur Verfügung hat. In Fig. 57 ist der Fall behandelt, wo die Fluchtgerade  $j$  die Figur  $ABCDE$  nicht durchschneidet und daher  $A' B' C' D' E'$  eine ebenfalls im Endlichen geschlossene Figur ist.

122. Wir wollen noch den besondern Fall betrachten, dass die Ebene  $E$  mit einer der Projectionsebenen identisch ist, etwa mit  $\Pi_1$ ;  $s$  und  $j$  sind dann die ersten Spuren von  $\Phi$  und  $\Phi^*$ ;  $E_1$  deckt sich mit  $E$ . Wir haben zwei Homologien und eine Affinität. Die erste Homologie besteht zwischen  $E$  und  $\Phi_0$ , der Umlegung von  $\Phi$  (Nr. 118); die zweite Homologie besteht zwischen  $E = E_1$  und  $\Phi_1$  (Nr. 120), die Affinität zwischen  $\Phi_1$  und  $\Phi_0$  (Nr. 23). Für alle Beziehungen ist  $s$  die Axe, die erste Homologie hat  $O_0$ , den mit  $\Phi^*$  um  $j$  umgelegten Punkt  $O$ , zum Centrum, die zweite  $O_1$ , die Richtung der Affinitätsstrahlen ist senkrecht zu  $s$ . Die Leit- oder Grundfigur der Pyramide in  $\Pi_1$  sei  $ABCD$  (Fig. 58, Taf. IV). Man kann  $A_0' B_0' C_0' D_0'$  und  $A_1' B_1' C_1' D_1'$  gleichzeitig construiren. Geht z. B. wieder  $c$  durch  $C$  mit den Schnittpunkten  $S, J$  auf  $s, j$ , so sind  $c_0', c_1'$  durch  $S$  parallel zu  $O_0 J, O_1 J$  zu ziehen und mit  $O_0 C, O_1 C$  in  $C_0', C_1'$  zu schneiden; es empfiehlt sich wiederum den  $J$ , so lange er nicht zu ungünstigen Schnitten führt, beizubehalten; Controlle ist, dass  $C_0' C_1'$  zu  $s$  normal sein muss. Am werthvollsten als  $J$  ist, falls er nicht zu schleifenden Schnitten führt, der Schnitt von  $O_0 O_1$  mit  $j$ , weil dann die beiden Richtungen von Parallelen übereinstimmen und derselbe Strahl (senkrecht zu  $s$ ) durch  $S$  in  $O_0 C$  und

$O_1C$  die entsprechenden Punkte  $C'_0, C'_1$  einschneidet. Die dann verloren gehende Controlle kann man hinreichend durch andere ersetzen, wie dass z. B.  $B'_0C'_0, B'_1C'_1$  und  $BC$  alle durch denselben Punkt von  $s$  gehen müssen, was man natürlich auch für die Construction benutzen kann.

Die zweite Projection von  $A'B'C'$  wird man möglichst durch Lothen herstellen, und die Affinität zwischen  $\Phi_1$  und  $\Phi_2$  kann zur Controlle oder Construction benutzt werden; diejenige aber zwischen  $E_2$  und  $\Phi_2$  fällt hier weg, weil die zweite Projection von  $E$  kein Feld, sondern eine Gerade, die Projectionsaxe ist. Man controllire z. B. auch, dass die Schnitte  $(s, BC) = (s, B'_1C'_1) = (s, B'_0C'_0)$  und  $(a, B'_2C'_2)$  Projectionen desselben Punktes, der ersten Spur von  $B'C'$  sind; oder ermittle die zweiten Ordinaten aus Umlegungsdreiecken, dies insbesondere, wenn das Lothen zu schleifenden Schnitten führt, oder benutze Spurparallelen, wie es in der Figur geschehen ist. Andererseits wird man auch einige Ecken als Schnittpunkte von  $\Phi$  mit Kanten herstellen.

Sobald es sich um ein Prisma handelt, wird man, weil  $j$  nicht vorhanden ist, eine Ecke, etwa  $A'$ , so construiren müssen (dies gilt auch für Nr. 121) und zwar  $A'_1, A'_2$  und  $A'_0$ ; die drei Richtungen der Affinitätsstrahlen sind  $AA'_0, AA'_1, A'_0A'_1$ . Die Affinitätsconstruction liefert dann  $B'_0, B'_1$  und  $B'_2$ ; u. s. w.

123. Die beiden Centren  $O_0, O_1$  der Homologien liegen auf einer Senkrechte zur Axe  $s$  und das der Affinität unendlich fern in senkrechter Richtung zu  $s$ ; also liegen alle drei in gerader Linie. Dies führt zu folgendem allgemeinen Satze:

*Wenn zwei Felder derselben Ebene zu einem dritten so in Homologie sind, dass die Axe  $s$  gemeinsam ist, so stehen sie selbst in Homologie mit dieser Axe, und die drei Centren liegen in gerader Linie.* In der That, es seien  $A'', B'', C''$  drei nicht in gerader Linie liegende Punkte des dritten Feldes, denen  $A, B, C$  im ersten und  $A', B', C'$  im zweiten entsprechen. Daher treffen  $BC, CA, AB$  und  $B'C', C'A', A'B'$  die Gerade  $s$  in den Punkten, in denen sie von  $B''C'', C''A'', A''B''$  geschnitten wird. Also sind  $ABC$  und  $A'B'C'$  perspectiv und  $AA', BB', CC'$  laufen in einen Punkt  $O_2$  zusammen (Nr. 119), durch den auch die übrigen Verbindungslinien entsprechender Punkte der beiden ersten Felder gehen, da er durch  $AA', BB'$  schon bestimmt ist und  $C, C'$  ja durch jedes andere Paar ersetzt werden kann. Wenn  $A$  auf  $a$  liegt, so liegt  $A''$  auf  $a''$  wegen der ersten Homologie und  $A'$  auf  $a'$  wegen der zweiten; ebenso umgekehrt. Damit ist die Homologie zwischen den beiden ersten Feldern bewiesen. Liegt nun  $D''$  auf der Verbindungslinie  $OO_1$  der Centren der beiden ersten Homologien, so

sind auch  $D$  und  $D'$  auf derselben, als einem gemeinsamen Homologiestrahle, gelegen; und daher liegt auch das Centrum  $O$ , der neuen Homologie auf dieser Geraden, die als  $DD'$  Homologiestrahl für sie wird.

Sie geht ins Unendliche, wenn zwei der Homologien Affinitäten werden, und die dritte wird es daher auch.

### c) Gegenseitige Schnitte von Polyedern.

124. Wir wenden uns zuerst zur Construction *des gegenseitigen Schnitts von Pyramiden und Prismen*, wobei wir dieselben wiederum weder durch die Spitze, noch durch die Leitfigur begrenzt denken.

*Man durchschneidet beide Pyramiden durch Ebenen, welche aus ihnen Erzeugenden ausschneiden*, also durch die Spitzen von beiden gehen, demnach bei einem Prisma den Erzeugenden (und Kanten) parallel sind. Alle diese Hilfsebenen gehen dann durch die Verbindungslinie der beiden Spitzen  $S$  und  $T$ , d. i. wenn eine der beiden Flächen ein Prisma ist, durch die Linie, welche von der Spitze der Pyramide parallel zu den Prismenkanten geht, nach der unendlich fernen Prismenspitze. Sind aber beide Flächen Prismen, so ist diese Linie  $ST$ , weil sie zwei unendlich ferne Punkte verbindet, ganz unendlich fern, die Hilfsebenen sind parallel, sind sie ja doch alle sowohl den Kanten des einen, als denen des andern Prismas parallel.

Es seien  $E$  und  $\Phi$  die Ebenen, in denen sich die Leitfiguren  $\sigma$  und  $\tau$  befinden, und  $k$  ihre Schnittlinie. Die  $E$ -Spuren der Hilfsebenen gehen alle durch den Punkt  $U = (ST, E)$ , die  $\Phi$ -Spuren durch den Punkt  $V = (ST, \Phi)$ , und zusammengehörige Spuren treffen sich auf  $k$ . Wenn zwei Prismen vorliegen, befinden sich beide Punkte  $U, V$  in unendlicher Entfernung; und wir haben die Richtungen der einen und andern Spuren festzulegen. Dazu wird man durch irgend einen Punkt die Parallelen zu den einen und andern Prismenkanten ziehen und die verbindende Ebene mit  $E$  und  $\Phi$  schneiden; jenen Punkt legt man am besten auf eine Kante.

*Brauchbar* sind von den Ebenen des Büschels um  $ST$  nur solche, welche beide Mäntel schneiden, deren Spuren in  $E$  und  $\Phi$  also beiden Figuren  $\sigma, \tau$  begegnen; nach diesen Schnittpunkten zieht man aus den Spitzen  $S$  und  $T$  die Erzeugenden  $a, b$ , bzw.  $c, d$  und schneidet jene mit diesen, wodurch sich vier Punkte des Schnitts  $ac, bc, ad, bd$  ergeben, welche, wenn alle brauchbaren Ebenen durchlaufen werden, die vollständige Schnittfigur erzeugen. Da dieselbe aus begrenzten Geraden besteht, so ist es nur nothwendig, die Eckpunkte der Figur zu er-



halten; und weil diese auf Kanten liegen, so reicht es hin, mit solchen Hilfsebenen zu arbeiten, welche durch Kanten des einen oder andern Mantels gehen, und kann man dann bei dem betreffenden Mantel auch die zweite Erzeugende, die nicht Kante ist, unbeachtet lassen und nur jene Kante mit den beiden aus dem andern Mantel geschnittenen Erzeugenden zum Schnitte bringen. Aber für die folgende Betrachtung brauchen wir alle vier Erzeugenden  $a, b, c, d$ .

*Es können (sobald überhaupt ein Schnitt sich ergibt) drei Fälle eintreten.*

1) Es liege sowohl  $U$  innerhalb  $\sigma$ , als auch  $V$  innerhalb  $\tau$ ; dann schneiden *alle* Ebenen des Büschels die Mäntel, und indem man die Drehung um  $180^\circ$  vollzieht, um den ganzen Büschel zu durchlaufen, wobei auch die Spuren in  $E$  und  $\Phi$  sich um  $180^\circ$  drehen, führt man, von einer Anfangslage ausgehend, die Erzeugenden  $a, b; c, d$  in  $b, a; d, c$  und also die Punkte  $ac, bd; ad, bc$  in die Punkte  $bd, ac; bc, ad$  über. Infolge dessen besteht die Schnittfigur aus zwei getrennten Theilen, von denen der eine durch die Punkte  $ac$  und  $bd$ , der andere durch  $ad$  und  $bc$  gebildet wird. Jeder der beiden Mäntel wird von jeder Kante des andern getroffen; jeder durchdringt den andern.

2) Wenn aber z. B.  $V$  ausserhalb  $\tau$  liegt, so haben wir  $\Phi$ -Spuren, welche  $\tau$  streifen, d. h. durch eine Ecke von  $\tau$  gehen, ohne einzutreten; die zugehörigen Ebenen  $\tau_1, \tau_2$  des Büschels, („Grenzebenen“) schliessen dann denjenigen Theil  $\mathfrak{X}$  desselben ein, dessen Ebenen den Mantel  $(T, \tau)$  durchschneiden.

a) Liegt  $U$  innerhalb  $\sigma$ , so durchschneiden alle diese Ebenen  $(S, \sigma)$ . Alle Kanten von  $(T, \tau)$  treffen  $(S, \sigma)$ , aber es wird nicht umgekehrt  $(T, \tau)$  von allen von  $(S, \sigma)$  getroffen.

b) Dasselbe tritt ein, wenn  $U$  ausserhalb  $\sigma$  liegt, sodass auch bei  $(S, \sigma)$  sich zwei Ebenen  $\sigma_1, \sigma_2$  ergeben und ein  $(S, \sigma)$  enthaltender Theil  $\mathfrak{S}$  des Büschels  $ST$  vorhanden ist, dieser aber die Ebenen  $\tau_1, \tau_2$  und den Theil  $\mathfrak{X}$  einschliesst; was durch die beiden Spurenbüschel leicht festgestellt werden kann.

*In beiden Fällen durchdringt der Mantel  $(T, \tau)$ , ein- und austretend, den  $(S, \sigma)$ ; und wir haben einen aus zwei Theilen bestehenden Schnitt. Allein brauchbar ist vom Ebenenbüschel  $ST$  der Theil  $\mathfrak{X}$  zwischen  $\tau_1, \tau_2$ , der den Mantel  $(T, \tau)$  in sich hat, im Fall b) selbst sich ganz innerhalb  $\mathfrak{S}$  befindet. Durchläuft man ihn hin und zurück, so gehen beim Passiren von  $\tau_1$ , wo  $c$  und  $d$  sich vereinigt haben,  $ac$  und  $bc$  in  $ad$  und  $bd$  über und beim Passiren von  $\tau_2$  wieder zurück in  $ac$  und  $bc$ ; die  $ac$  und  $ad$  bilden daher den einen, die  $bc$  und  $bd$  den andern Theil*

des Schnitts. Würde hingegen  $(T, \tau)$  von  $(S, \sigma)$  durchdrungen, so bestände der eine Theil aus den  $ac, bc$ , der andere aus den  $ad, bd$ .

3) Verhalten sich aber, im Falle  $U, V$  beide ausserhalb liegen, die Grenzebenen gleichartig, sodass von jedem Paare nur eine den andern Mantel schneidet, die Theile  $\mathfrak{S}$  und  $\mathfrak{X}$  ineinander greifen, etwa  $\tau_2$  in  $\mathfrak{S}$ ,  $\sigma_1$  in  $\mathfrak{X}$  liegt und die Reihenfolge  $\tau_1\sigma_1\tau_2\sigma_2$  besteht, so hat jeder von den beiden Mänteln Kanten, welche den andern nicht treffen: jeder reisst aus dem andern ein Stück heraus (Ausreissung, arrachement). Die Schnittfigur besteht nur aus einem Theile; denn, indem wir den allein brauchbaren Flächenwinkel  $\sigma_1\tau_2$  viermal durchlaufen, geht ein Punkt  $ac$  beim ersten Durchgange durch  $\sigma_1$  in  $bc$ , bei dem durch  $\tau_2$  in  $bd$ , beim zweiten Durchgange durch  $\sigma_1$  in  $ad$  beim zweiten durch  $\tau_2$  in  $ac$  über: jede Ebene des genannten brauchbaren Theils (ausser  $\sigma_1, \tau_2$ ) ist viermal passirt worden, und es sind daher alle vier Punkte  $ac, bc, ad, bd$  an die Reihe gekommen, der Inbegriff aller dieser Quadrupel ist continuirlich durchlaufen worden.

125. Nachdem  $k, U, V$  construirt sind, kann man in jeder der beiden Projectionsebenen für sich arbeiten und hat das Uebereinanderliegen der zusammengehörigen Projectionen derselben Ecke des Schnitts als Controlle. Als Fundamentalregel für die Feststellung der Aufeinanderfolge der Ecken des Schnitts gilt, dass zwei benachbarte beide sowohl einer und derselben Fläche des einen Polyeders, als auch beide in einer und derselben Fläche des andern liegen, indem ja das Stück der Schnittlinie beider Flächen, welches innerhalb der Begrenzung der einen und der andern Fläche liegt, die jene Ecken verbindende Seite der Schnittfigur ist.)\*

Zu dem Zwecke ist es gut, ein genaues Verzeichniss darüber gleich bei der Construction aufzustellen, von welcher Kante des einen und Fläche des andern Polyeders jede Ecke der Schnittfigur herrührt.

In Fig. 59 (Taf. IV) liegen die beiden Dreiecke  $ABC$  und  $DEF$  in derselben Ebene  $E$ ; die Punkte  $P, Q, R$  sind Schnitte von Seiten des einen mit Seiten des andern. Die beiden Spurenbüschel haben sich also vereinigt (Scheitel  $U = (ST_\infty, E)$ ). Es ist der Fall der Ausreissung bei einem Prisma und einer Pyramide. Bezeichnet man, der Kürze halber, die Seiten-Kanten und -Flächen blos durch die Ecken und Seiten der Grundfigur, so ist Punkt  $1 = (A, ED)$ ,  $4 = (A, EF)$ ,  $5 = (C, EF)$ ,  $8 = (C, ED)$ ,  $2 = (AB, D)$ ,  $7 = (BC, D)$ ,  $3 = (AB, F)$  und  $6 = (BC, F)$ ; daher  $12 = (AB, ED)$ ,  $23 = (AB, DF)$ ,  $34 = (AB, EF)$ ,  $45 =$

\*) Die vorangehenden Betrachtungen sind aber auch dafür zu benützen.

$(AC, EF)$ ,  $56 = (BC, EF)$ ,  $67 = (BC, DF)$ ,  $78 = (BC, DE)$ ,  $81 = (AC, DE)$ .

In Fig. 60 (Taf. V) ist der Fall der Durchdringung eines vierseitigen Prismas durch ein dreiseitiges dargestellt; die Grundfiguren  $ABCD$  und  $EFG$  liegen in verschiedenen Ebenen:  $k$  ist die Schnittlinie, construiert durch Schnittpunkte von Geraden der einen Ebene mit der andern. Die Scheitel  $U$ ,  $V$  der Spurenbüschel sind unendlich fern; es sind z. B.  $u$ ,  $v$  die Spuren der durch  $AA'$  gehenden Hilfsebene. Wir haben:  $1 = (A, FG)$ ,  $3 = (A, EG)$ ,  $2 = (AD, G)$ ,  $6 = (BC, G)$ ,  $4 = (AB, E)$ ,  $7 = (BC, E)$ ,  $5 = (AB, F)$ ,  $8 = (BC, F)$ ; also:  $12 = (AD, FG)$ ,  $23 = (AD, EG)$ ,  $34 = (AB, EG)$ ,  $45 = (AB, EF)$ ,  $51 = (AB, FG)$ ;  $67 = (BC, EG)$ ,  $78 = (BC, EF)$ ,  $86 = (BC, FG)$ .

126. Die Seite der Schnittfigur, dasjenige Stück der Schnittlinie der Ebenen zweier Seitenflächen des einen und des andern Mantels, welches zu beiden Mänteln gehört, kann verschiedenartig ausfallen. Wenn  $SA$ ,  $SB$  zwei eine Seitenfläche der einen Pyramide begrenzende Kanten,  $TC$ ,  $TD$  zwei eben solche von der andern,  $A$ ,  $B$ ,  $C$ ,  $D$  die Schnittpunkte mit der Schnittlinie der beiden Ebenen sind, so sind drei Lagen möglich: 1) die beiden Punktepaare  $AB$ ,  $CD$  schliessen sich aus: wir wollen die Bezeichnung so wählen, dass die Reihenfolge  $ABCD$  ist, 2) eins schliesst das andere ein; die Reihenfolge sei  $ACDB$ , 3) die Paare greifen ineinander über; Reihenfolge:  $CADB$ . Sodann hat man auch zu unterscheiden, ob  $AB$  oder  $A \cdot B$  auf dem Mantel von  $(S, \sigma)$  liegt, und ebenso, ob  $CD$  oder  $C \cdot D$  auf dem von  $(T, \tau)$ ; wegen der Bezeichnung  $A \cdot B$ ,  $C \cdot D$  sehe man Nr. 115. Die folgende Tabelle giebt Auskunft, welches Stück der Schnittlinie in den zwölf Fällen als Seite der Schnittfigur angehört:

$(S, \sigma)$	$(T, \tau)$	Reihenfolge		
		$ABCD$	$ACDB$	$CADB$
$AB$	$CD$	nichts	$CD$	$AD$
$AB$	$C \cdot D$	$AB$	$AC, DB$	$DB$
$A \cdot B$	$CD$	$CD$	nichts	$AC$
$A \cdot B$	$C \cdot D$	$A \cdot D, BC$	$A \cdot B$	$C \cdot B$

In den Fällen, wo eine Seite der Schnittfigur durch das Unendliche geht, enthalten die beiden Seitenflächen, von denen sie herrührt, parallele Erzeugenden. — Um zu Mänteln zu gelangen, welche sich wirklich durchschneiden, wird man besser nicht Leitfiguren und Spitzen von vornherein geben, sondern wenn etwa jene gegeben sind, in der einen Projection geeignete Punkte, etwa  $U_1$ ,  $V_1$ , aufsuchen, in deren

Büscheln es entsprechende (d. h. auf  $k_1$  sich treffende) Strahlen giebt, welche  $\sigma_1$  und  $\tau_1$  schneiden; dabei kann man auch noch eine bestimmte Art der Durchschneidung erzielen. Nun werden  $U_2, V_2$  so ermittelt, dass  $U$  in  $E$ ,  $V$  in  $\Phi$  liegt, und auf der Gerade  $UV$  die Spitzen  $S, T$  angenommen. In Fig. 60 (Taf. V), wo  $U, V, S, T$  unendlich fern sind, sind  $u, v$  zwei entsprechende Strahlen der Spurenbüschel; sie schneiden sich auf  $k$  und  $u$  geht durch  $A$ ,  $v$  durch den Punkt  $H$  von  $FG$ ,  $l$  ist eine in die Ebene  $uv$  gelegte Gerade, und nach dem Punkte 1 derselben ist die Kante, aus  $A$ , des einen Prismas und die Erzeugende, aus  $H$ , des andern gezogen, so dass damit die Kantenrichtungen der beiden Prismen parallel zu der Ebene  $uv$  festgelegt sind. Die mit  $\tau_1, \tau_2$  bezeichneten Geraden sind die (ersten Projectionen der) Spuren der Grenzebenen.

Oder wenn die Ebenen  $E, \Phi$  und die Spitzen  $S, T$  gegeben sind, welche zu  $k, U, V$  führen, so wird man in der einen Projectionsebene  $\Pi_1$  die Projectionen  $\sigma_1, \tau_1$  der Leitfiguren so zeichnen, dass sie von entsprechenden Strahlen der Büschel  $U_1, V_1$  getroffen werden, und daraus  $\sigma, \tau$  in  $E, \Phi$  construiren. Will man  $\sigma, \tau$  aus den Umlegungen construiren, so muss man auf den beiden Umlegungen von  $k$  entsprechende Punkte feststellen, d. h. solche, in welche der nämliche Punkt von  $k$  umgelegt wird; denn nach solchen gehen entsprechende Strahlen der Büschel  $U_0, V_0$ .

127. Findet eine *Begrenzung* einer Pyramide durch die Spitze statt, so ist die Modification einfach, wenn diese Spitze innerhalb der andern Pyramide liegt; es ist ersichtlich, dass dann nur der Fall der Durchdringung eintreten kann und also von den beiden Theilen der Schnittfigur der eine wegfällt: man wird natürlich schon bei der Construction solche Punkte, die jenseits der Spitze fallen, weglassen.

Etwas umständlicher ist es, wenn eine der Pyramiden, z. B.  $(S, \sigma)$ , durch eine Grundfigur  $\sigma$  (bez. beim Prisma auch noch durch eine Deckfigur) begrenzt ist und die Ebene  $E$  derselben der Schnittfigur begegnet. Es ist zunächst selbstverständlich, dass alle Punkte der Schnittfigur, die jenseits dieser begrenzenden Ebene liegen, wegzulassen sind; diese Schnittfigur wird dann offen und durch den Schnitt der Ebene  $E$  mit der andern Pyramide  $(T, \tau)$  wieder geschlossen und zwar in folgender Weise: Sei  $\eta$  der Schnitt der Ebene  $E$  mit der Pyramide  $(T, \tau)$ , so durchschneiden sich in dem vorliegenden Falle die beiden Figuren  $\sigma$  und  $\eta$ : der Theil von  $\sigma$ , der innerhalb  $\eta$  liegt, liegt innerhalb der Pyramide  $(T, \tau)$  und ist als unsichtbar zu behandeln; dagegen der Theil von  $\eta$ , der innerhalb  $\sigma$  liegt, vervollständigt gerade den Schnitt der beiden Pyramiden, während der ausserhalb liegende ganz wegzulassen ist, da ja die Ebene  $E$  durch  $\sigma$  begrenzt ist.

Wenn also die Grundfigur der einen Pyramide in die andere eindringt, was man in vielen Fällen bald aus der Zeichnung erkennen wird, so empfiehlt es sich vielleicht, nicht der im Vorangehenden besprochenen Methode, welche unbegrenzte Mäntel voraussetzt, sich zu bedienen, sondern die im Nachfolgenden gezeigte allgemeine Methode der Construction des Durchschnitts zweier Polyeder anzuwenden.

128. In Betreff der *Sichtbarkeit* ist Folgendes zu merken: Zuerst hat man bei jedem der beiden Polyeder die Kanten und Flächen festzustellen, welche sichtbar oder unsichtbar wären, wenn das andere nicht vorhanden wäre, und damit auch die beiden Umriss<sup>e</sup>. *Eine Seite der Schnittfigur ist unsichtbar, wenn auch nur eine der beiden Flächen, die sich in ihr durchschneiden, unsichtbar ist.* Aus dem Lothen der scheinbaren Schnittpunkte der Umriss<sup>e</sup> nach der andern Projectionsebene erkennt man, welcher von den beiden Umrissen bei einem solchen scheinbaren Schnittpunkte unter (bez. hinter) dem andern verschwindet und also unsichtbar wird. Jede Figur, die auf dem Mantel eines Polyeders von einer Fläche zur andern herumläuft, wechselt offenbar ihre Sichtbarkeit, wo sie eine Umrisskante trifft, die an der betreffenden Stelle sichtbar ist; sie ist zu beiden Seiten des Begegnungspunktes unsichtbar, wenn die Umrisskante, verdeckt durch das andere Polyeder, dort selbst unsichtbar ist. *Die Durchschnittsfigur geht also von der Sichtbarkeit zur Unsichtbarkeit über (oder umgekehrt), wenn sie über eine Umrisskante des einen oder des andern Polyeders geht an einer Stelle, wo dieselbe sichtbar ist.*

Kanten ferner des einen Polyeders, welche sichtbar sind, wenn das andere nicht vorhanden ist, werden unsichtbar, sobald sie unter (hinter) den Umriss des andern treten, was wieder an scheinbaren Schnittpunkten mit diesem Umriss<sup>e</sup> durch Lothen nach der andern Projectionsebene zu ermitteln ist.

Stücke von Kanten des einen Polyeders, die in dem andern liegen, werden am besten ganz ausgelassen, besonders wenn sie einen Eintritts- und einen Austrittspunkt haben, sodass leicht das fehlende Stück ergänzt werden kann (Fig. 59 und 60, Taf. IV u. V); in dem andern Falle zieht man sie besser aus, weil sonst möglicherweise wichtige Theile des Polyeders fehlen könnten und dasselbe nicht zu erkennen wäre, jedenfalls aber mit einer andern Art Punktirung als sie bei vorhandenen, aber unsichtbaren Kanten, bez. Kantentheilen angewandt wird.

Die Zeichnung gewinnt an Deutlichkeit, wenn die Polyeder und die Durchschnittsfigur verschiedenfarbig ausgezogen werden. Es ist darauf zu achten, dass eine Kante, wenn sie in eine unsichtbare Fläche des andern Polyeders eindringt, vorher beim Passiren des Um-

risses desselben unsichtbar geworden ist, wofern sie nicht ganz unsichtbar ist.

129. Die Construction des Durchschnitts zweier Pyramiden- oder Prismen-Mäntel lässt sich unmittelbar auf *Kegel* und *Cylinder* über Kreisen (oder Kegelschnitten) übertragen. Man wird die Projectionen der Leitkreise am besten aus den Umlegungen herstellen, dann in den Ebenen  $E, \Phi$  derselben geeignete Punkte  $U, V$  construiren und auf ihrer Verbindungslinie die Spitzen  $S, T$ . Hier sind alle Erzeugenden Kanten geworden; man muss sich beschränken, mit möglichst vielen beide Mäntel durchschneidenden Hilfsebenen zu arbeiten; um das Continuum der Schnittcurve festzustellen, wird man nur einen der 4 Punkte, welche jede der (brauchbaren) Hilfsebenen liefert, verfolgen, eventuell zu derselben Ebene zurückkehrend, um zu ihren andern Punkten zu gelangen. Auch hier sind die drei oben beschriebenen Fälle möglich; das Streifen ist Berühren geworden. Die Schnittcurve kann zwei- oder viermal durch das Unendliche gehen.

Zu den construirten Punkten derselben kann man noch die *Tangenten* hinzufügen und dadurch die Richtigkeit der Zeichnung erhöhen. Es seien  $a$  und  $c$  zwei von derselben Hilfsebene ausgeschnittene Kanten der beiden Mäntel, also  $ac$  ein Punkt der Schnittcurve, ferner  $A, C$  die Punkte, in denen sie die Leitcurven treffen,  $a', c'$  die Tangenten in ihnen an diese (aus den Umlegungen construiert), so sind  $Sa', Tc'$  die Berührungsebenen der Kegel längs  $a, c$ , und ihre Schnittlinie ist die Tangente der Schnittcurve im Punkte  $ac$ . Sind etwa  $a$  und  $c$  parallel, so dass sich ein unendlich ferner Punkt der Schnittcurve ergibt, so werden im allgemeinen die beiden Berührungsebenen nicht auch parallel sein; ihr endlicher Schnitt ist die zu dem unendlich fernen Punkte gehörige *Asymptote*.

130. Soll der *Durchschnitt irgend zweier Polyeder* construiert werden, so muss zunächst mit einem Versuche angefangen werden.

Man hat also eine Fläche des einen und eine des andern herauszugreifen, von denen man vermuthet, dass ein Stück ihrer Schnittlinie innerhalb der Begrenzungspolygone beider Flächen liegt.

In Fig. 61, Taf. V, in welcher der Durchschnitt eines fünfseitigen Prismas und eines regulären Octaeders\*) construiert ist, wurde der Versuch in folgender Weise gemacht: Das Prisma ist zunächst mit der zweiten projicirenden Ebene der Octaederkante  $FG$  durchschnitten; die erste Projection des Schnitts, welche leicht herzustellen ist, wird von der begrenzten  $F_1G_1$  getroffen, und zwar auf  $\mathfrak{A}_1\mathfrak{B}_1$ ; diese und  $\mathfrak{B}_1\mathfrak{C}_1$  sind

\*) Dieselben sind nach Nr. 106 hergestellt.

von den Seiten der Figur  $\mathfrak{A}_1 \mathfrak{B}_1 \mathfrak{C}_1 \mathfrak{D}_1 \mathfrak{E}_1$  allein gezeichnet, weil unmittelbar ersichtlich ist, dass die andern den Schnitt nicht enthalten können. Dass  $\mathfrak{A}_1 \mathfrak{B}_1$  geschnitten wird, beweist, dass die Kante  $FG$  die Prismenfläche  $ABB'A'$  schneidet; also sind  $ABB'A'$  und  $FGL$  (ebenso  $FGK$ ) zwei Flächen, welche einen brauchbaren Schnitt haben. Ein (zweiter) Punkt  $S$  dieses Schnitts ergibt sich nach Nr. 64, indem die zweiten Projectionen  $l_2$  und  $m_2$  von Geraden gesucht werden, die bez. in diesen Flächen liegen und die erste Projection gemeinsam haben; der Genauigkeit halber wird man noch einen dritten construiren.

Von der so gefundenen Schnittlinie liegt das Stück 12 sowohl innerhalb  $AA'B'B$ , als innerhalb  $FGL$ ; dass die beiden Projectionen von 2 senkrecht über einander liegen, dient auch als Controlle. Da 2 auf  $AA'$  liegt, so bleibt die Schnittfigur noch in der Fläche  $FGL$ , verlässt aber  $AA'B'B$  und geht über auf die Nachbarfläche  $AA'E'E$ , deren Schnittlinie mit  $FGL$  nun zu suchen ist, d.i. ausser 2 noch ein oder zwei Punkte derselben; von derselben liegt nun nothwendig ein Stück innerhalb beider Figuren und zwar 23; bei 3 wird die Fläche  $FGL$  verlassen und zur Fläche  $GLH$  übergegangen, die nun mit  $AA'E'E$  zum Schnitt zu bringen ist.

Wir haben: 1 = ( $ABB'A', FG$ ), 2 = ( $AA', FGL$ ), 3 = ( $AA'E'E, FL$ ), 4 = ( $AA', GLH$ ), 5 = ( $ABB'A', GH$ ), 6 = ( $BB', GHK$ ), 7 = ( $B'C', GHK$ ), 8 = ( $A'B'C'D'E', GH$ ), 9 = ( $A'B'C'D'E', LH$ ), 10 = ( $C'D', LHJ$ ), 11 = ( $DD', LHJ$ ), 12 = ( $DEE'D', LH$ ), 13 = ( $DEE'D', GL$ ), 14 = ( $DEE'D', FL$ ), 15 = ( $DD', FLJ$ ), 16 = ( $CC', FLJ$ ), 17 = ( $BCC'B', FJ$ ), 18 = ( $BCC'B', FK$ ), 19 = ( $BB', FKG$ ).

Daher ist: 12 = ( $ABB'A', FGL$ ), 23 = ( $AA'E'E, FGL$ ), 34 = ( $AA'E'E, GLH$ ), 45 = ( $ABB'A', GLH$ ), 56 = ( $ABB'A', GHK$ ), 67 = ( $BCC'B', GHK$ ), 78 = ( $A'B'C'D'E', GHK$ ), 89 = ( $A'B'C'D'E', GHL$ ), 9, 10 = ( $A'B'C'D'E', LHJ$ ), 10, 11 = ( $CDD'C', LHJ$ ), 11, 12 = ( $DEE'D', LHJ$ ), 12, 13 = ( $DEE'D', GLH$ ), 13, 14 = ( $DEE'D', LGF$ ), 14, 15 = ( $DEE'D', FLJ$ ), 15, 16 = ( $CDD'C', FLJ$ ), 16, 17 = ( $BCC'B', FLJ$ ), 17, 18 = ( $BCC'B', FJK$ ), 18, 19 = ( $BCC'B', FKG$ ), 19, 1 = ( $ABB'A', FKG$ ).

Als Controlle dient, dass das Schnittpolygon zu dem Punkte 1 zurückkehrt.

131. Die Durchschnittsfigur kann aus mehreren Theilen bestehen und jeder Theil erfordert einen Anfangsversuch; und das ist das Unangenehme dieser Construction, wozu dann noch kommt, dass über die Zahl dieser Theile sich gar nichts bestimmen lässt.

Für die Untersuchung, ob *man den Durchschnitt erschöpft hat*, mögen folgende Bemerkungen dienen. Es werden sich jedenfalls leicht stets auf jedem Polyeder Ecken constatiren lassen, die ausserhalb des andern liegen, z. B. dadurch, dass mindestens eine Projection ausserhalb des Umrisses des andern sich befindet; ebenso haben sich auch vielleicht durch die Construction selbst Ecken ergeben, die innerhalb des andern liegen.

Jede Kante des einen Polyeders, deren beide Ecken ausserhalb des andern liegen, trifft dasselbe gar nicht oder zweimal (wofern wir convexe Polyeder voraussetzen); hingegen einmal, wenn die eine Ecke ausserhalb, die andere innerhalb liegt. Jeder Kantenzug des einen Polyeders (Reihe von zusammenhängenden Kanten), von dem beide Endpunkte innerhalb oder beide ausserhalb des andern liegen, muss letzteres in einer geraden Anzahl von Punkten oder in keinem treffen, z. B. also auch ein geschlossener Kantenzug, wovon der einfachste Fall der Perimeter einer Seitenfläche ist. Liegt aber der eine Endpunkt eines Kantenzugs innerhalb, der andere ausserhalb, so ist die Zahl der Begegnungspunkte ungerade.

Beindet sich ein Eckpunkt eines Kantenzugs auf einer Fläche des andern Polyeders und zwar so, dass die beiden in ihm zusammenstossenden Kanten auf derselben Seite der Fläche liegen, die Fläche mithin von dem Kantenzug nicht durchschnitten, sondern nur gestreift wird, so zählt diese Begegnung zweifach; es findet unmittelbar hinter einander Ein- und Austreten (oder umgekehrt) statt; ähnliches gilt, wenn eine Kante des einen Polyeders eine des andern trifft, aber letzteres streift (nicht in dasselbe eindringt). Auch bei der Construction der Durchschnittsfigur selbst bereitet das Liegen einer Ecke des einen Polyeders in einer Fläche des andern Schwierigkeit, weil zweifelhaft ist, auf welche Fläche überzugehen ist; es wird also ein neuer Versuch nothwendig. Hingegen, wenn zwei Kanten sich schneiden, geht man gleichzeitig auf beiden Polyedern zu neuen Flächen über.

Was in Nr. 128 hinsichtlich der Sichtbarkeit gesagt wurde, gilt allgemein.

#### d) Abwicklung der Polyeder.

132. Die Abwicklung eines *Pyramidenmantels* geschieht dadurch, dass die Seitenflächen in wahrer Gestalt hergestellt und an einander gelegt werden.

Einen *Prismenmantel* dagegen wickelt man am besten mit Hilfe eines Normalschnitts ab, den man entweder auf die gewöhnliche Weise oder nach Anleitung von Nr. 104d) ermittelt. Dieser Normalschnitt



verwandelt sich bei der Abwicklung in eine Gerade; die Kanten werden auf derselben in den Punkten, wo die Seiten zusammenstossen, normal errichtet und auf jeder die wahren Entfernungen der Ecke des Normalschnitts von den Ecken der Grund- und Deckfigur aufgetragen, welche bei Anwendung von Nr. 104d) unmittelbar aus der dritten Projectionsebene zu entnehmen sind.

Die Abwicklung des *Würfels* geschieht, indem alle vier Seitenkanten und drei Kanten der Deckfigur aufgeschnitten werden, die des *Tetraeders* durch Aufschneidung der 3 Seitenkanten. Beim *Octaeder* schneidet man von einem der drei Quadrate drei Seiten auf und von einem zweiten zwei anstossende Seiten, z. B. bei dem *Octaeder* von Fig. 61 die Kanten  $HJ, JF, FG; KG, GL$ ; beim *Dodecaeder* 9 von

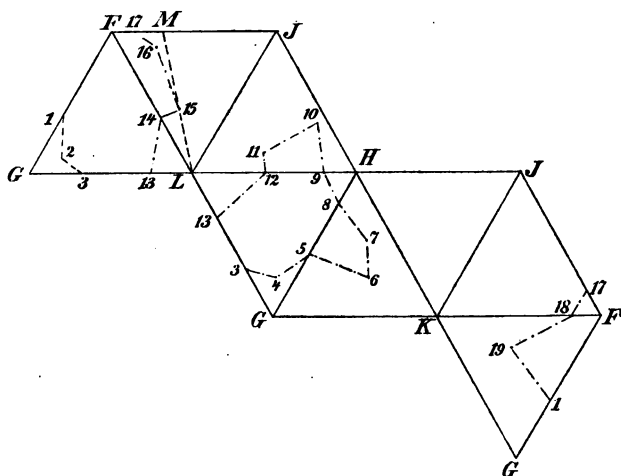


Fig. 62.

den 10 Kanten zwischen  $\varphi$  und  $\varphi'$  und die  $2 \cdot 5$  Kanten zwischen  $\epsilon$  und  $\varphi$  und  $\epsilon'$  und  $\varphi'$  (Nr. 108); beim *Icosaeder* endlich die 5 Kanten, die nach einer Ecke führen, die fünf nach der Gegenecke und noch eine Kante, welche vom zweiten Eckpunkte einer von jenen Kanten nach demjenigen einer von diesen führt.\*)

Durch Drehungen um die nicht aufgeschnittenen Kanten bringt man dann alle Flächen in eine Ebene. In der Abwicklung kommen

\*) Besitzt das Polyeder  $E$  Ecken,  $F$  Flächen,  $K$  Kanten, so dass, nach Euler's Satz,  $E + F = K + 2$ , so hat man, damit die Flächen im Zusammenhang bleiben,  $F - 1$  Kanten unaufgeschnitten zu lassen und daher  $E - 1$  aufzuschneiden. Beim ersten Aufschneiden einer von diesen werden zwei Ecken berührt, jeder weitere Schnitt führt von einer schon aufgeschnittenen Ecke zu einer neuen, und man gelangt zu allen (Staudt, Geometrie der Lage, Nr. 49).

natürlich die aufgeschnittenen Kanten zweifach, die Ecken, durch welche  $h$  aufgeschnittene Kanten gehen,  $h$ -fach vor.

*Es soll nun eine Figur, die durch verschiedene Flächen des Polyeders verläuft, in die Abwicklung eingetragen werden.* In Fig. 62 ist das Octaeder von Fig. 61 (Taf. V) und seine Durchschnichtsfigur mit dem Prisma abgewickelt. Sie hat im allgemeinen sowohl Ecken auf den Kanten des abgewickelten Polyeders, als auch im Innern der Flächen.

Erstere sind sehr leicht auf die Kanten der Abwicklung überzutragen und zwar zweimal, wenn die Kante in der Abwicklung zweimal vorkommt, was eine Zerreissung der Abwickelungs-Figur bewirkt; indem man das Theilverhältniss aus den Projectionen kennt. Im andern Falle, wo der einzutragende Punkt im Innern einer Fläche liegt, z. B. Punkt 15 innerhalb  $LJF$  in Fig. 61, sei  $M$  der Schnitt von

$\overline{15, L}$  mit  $FJ$ ; die Verhältnisse  $\frac{FM}{JM}$  und  $\frac{\overline{L, 15}}{\overline{M, 15}}$  kennt man aus den

Projectionen — es genügt,  $M$  in einer zu zeichnen —, und kann nun  $M$  und 15 in die Abwicklung übertragen. Diese ist, der Raumerparniss halber, verkleinert gezeichnet.

## Siebenter Abschnitt.

### Centralprojection oder Perspective.

133. Liegt von einem räumlichen Gebilde  $\mathcal{G}$  eine Zeichnung in Grundriss und Aufriss vor und ist das Centrum  $O$  der Perspective oder das *Auge*, wie es gewöhnlich genannt wird, auch durch Grund- und Aufriss gegeben, die Ebene  $\Pi$  der centralen Projection oder die *Tafel* durch ihre Spuren, so hat man die von  $O$  nach den Punkten von  $\mathcal{G}$  gehenden Projectiionsstrahlen mit  $\Pi$  zu schneiden (Nr. 63) und von der in  $\Pi$  so entstehenden Figur, deren beide Projectionen man besitzt, durch Umlegung die wahre Gestalt herzustellen.

$\Pi$  wird gewöhnlich vertical angenommen, also senkrecht zur horizontalen  $\Pi_1$  und mit verticaler zweiter Spur; obwohl die Umlegung in  $\Pi_1$  etwas einfacher ist, empfiehlt es sich doch, in  $\Pi_2$  umzulegen (Nr. 57), weil dann verticale Geraden verticale Bilder erhalten. Die Umlegungsconstruction wird erspart, wenn man  $\Pi$  parallel mit  $\Pi_2$  stellt oder in sie hineinfallen lässt.

Man construiren auf diese Weise die Perspective der in Fig. 51 und 52 dargestellten Polyeder und suche dazu Lagen von  $\Pi$  und  $O$ , bei denen nicht zu viel Zeichenraum erfordert wird.

134. Im Folgenden soll aber „*freie Perspective*“ behandelt werden\*), bei welcher keine Darstellung in Grundriss und Aufriss vorausgesetzt wird.

An der *verticalen Stellung der Tafel* halten wir fest. Die Entfernung  $d$  des Auges von ihr heisst die *Augdistanz* und ihr Fusspunkt  $A$  der *Augpunkt* oder Hauptpunkt. Jene muss ungefähr die Länge der deutlichen Sehweite haben (25—30 cm); dies führt jedoch zu manchen Unbequemlichkeiten der Construction, weshalb zunächst mit kürzerer Augdistanz gearbeitet werden mag.

Es ist üblich, die in der Tafel durch  $A$  gezogene horizontale und verticale Gerade die *Horizontale* und die *Verticale* schlechthin zu nennen. Man legt am besten  $A$  ungefähr in die Mitte des verfügbaren Zeichenraums.

Den darzustellenden Gegenstand denkt man sich meistens hinter der Tafel liegend, d. h. auf der andern Seite, als wo  $O$  liegt; das Bild hat dann kleinere Dimensionen.

Wir haben schon in Nr. 3 die Verschwindungsebene  $\Pi^*$  eingeführt, die Parallelebene zu  $\Pi$  durch  $O$ . Objecte in dem Raumtheile, der zwischen  $\Pi$  und  $\Pi^*$  liegt, werden durch die Perspective vergrössert; in dem Raume vor  $\Pi^*$ , also hinter dem die Tafel betrachtenden Auge kann vom Sehen nicht die Rede sein; theoretisch darf man jedoch diesen Theil des Raumes nicht ganz unberücksichtigt lassen.

135. Eine zur Tafel parallele Gerade  $g$  hat ein zu ihr paralleles Bild  $g'$ ; die Bilder von Strecken auf ihr verhalten sich wie diese (Nr. 4). Das Veränderungs-Verhältniss oder, entsprechend dem praktisch wichtigsten Falle, wo die Gerade *hinter*  $\Pi$  liegt, das „*Verjüngungs-Verhältniss*“ ist, wie man leicht findet,  $\frac{d}{y+d}$ , wo  $y$  die Entfernung der  $g$  von der Tafel und positiv hinter ihr ist.

*Alle Geraden der nämlichen Frontebene* (Parallelebene zu  $\Pi$ ) *haben dasselbe Verjüngungs-Verhältniss.*

Tafelparallel sind insbesondere die verticalen Geraden; ihre Bilder sind also auch vertical.

*Eine nicht zur Tafel parallele Gerade  $g$  hat eine (endliche) Spur  $S$ , in welcher sie sich mit ihrem Bilde  $g'$  begegnet. Auf  $g'$  zeichnet sich der (endliche) Fluchtpunkt  $F'$  aus, das Bild des unendlich fernen Punktes von  $g$ , der Schnitt von  $\Pi$  mit der Parallele durch  $O$  zu  $g$  (Nr. 5). Die Bilder aller Geraden der nämlichen Richtung haben denselben Fluchtpunkt.*

Man erkennt sofort:

---

\*) J. H. Lambert, Freie Perspective, Zürich 1759.

Für die zur Tafel normalen Geraden ist der Augpunkt  $A$  der Fluchtpunkt. Alle horizontalen Geraden haben ihre Fluchtpunkte auf der Horizontale. Auf der Verticale liegen die Fluchtpunkte derjenigen Geraden, die zu der Ebene parallel sind, welche in ihr senkrecht auf  $\Pi$  steht.

Jedem Neigungswinkel  $\alpha$  gegen die Tafel entspricht ein „Neigungskreis“ um  $A$  mit dem Halbmesser  $d \cotg \alpha$ , auf dem die Fluchtpunkte aller Geraden liegen, welche jene Tafelneigung haben; denn die Parallelen zu ihnen durch  $O$  erzeugen den Rotationskegel aus  $O$  über diesem Kreise (Nr. 88). Der der Neigung  $45^\circ$  entsprechende hat den Radius  $d$  und heisst deshalb *Distanzkreis*, seine Schnitte mit der Horizontale die *Distanzpunkte*; sie liefern uns die Distanz auf der Ebene  $\Pi$  verzeichnet.

136. Wie  $F'$  dem unendlich fernen Punkte  $F_\infty$  von  $g$  entspricht, so entspricht der Verschwindungspunkt  $V = g\Pi^*$  dem unendlich fernen Punkte  $V_\infty$  von  $g'$  (Nr. 5). Den drei Theilen  $F_\infty S$ ,  $SV$ ,  $VF_\infty$  von  $g$  entsprechen die Theile  $F'S$ ,  $SV_\infty$ ,  $V_\infty F'$  von  $g'$ , insbesondere also entspricht dem ganzen Theil von  $g$  hinter der Tafel der endliche Theil  $SF'$ .

Wir denken uns  $g$  von vorn nach hinten durchlaufen, also im Sinne  $VSF_\infty$ ; sie steigt dann oder fällt, je nachdem der Fluchtpunkt über oder unter der Horizontale liegt; ihr Bild hingegen steigt oder fällt, oder, wie man auch sagt, die Gerade steigt oder fällt *scheinbar*, je nachdem  $F'$  höher oder niedriger ist als  $S$ . Liegen sie in gleicher Höhe, so ist  $g$  scheinbar horizontal. Wenn also z. B.  $F'$  über der Horizontale liegt und  $S$  noch höher, so handelt es sich um eine Gerade, welche wirklich steigt, scheinbar fällt; liegt  $F'$  auf der Horizontale,  $S$  niedriger, so liegt eine wirklich horizontale Gerade vor, die scheinbar steigt. Der Leser nehme noch andere Fälle durch.

Durch  $S$  und  $F'$  ist die Gerade  $g$  vollständig und eindeutig bestimmt; denn sie ist die Parallele durch  $S$  zu  $OF'$ ; wir können sie daher mit  $(S, F')$  bezeichnen.

Einen Punkt  $P$  kann man nur mittelst einer ihn enthaltenden Gerade fixiren. Wenn  $P'$  auf  $g' = SF'$  liegt, so ist damit noch nicht gesagt, dass auch  $P$  auf  $g$  liegt (Nr. 4). Aber jedenfalls liegt  $OP'$ , auf welcher sich  $P$  befindet, in der Ebene  $Og'g$  und trifft  $g$ ; wird also festgesetzt, dass  $P$  auf  $g$  liegen soll, so ist er als Schnitt von  $OP'$  mit  $g$  eindeutig bestimmt.

Bei einer tafelparallelen Gerade vereinigen sich  $S$  und  $F'$  im unendlich fernen Punkte und sind nicht zur Festlegung geeignet; dieselbe geschieht, ausser durch das Bild, durch einen auf der Gerade befindlichen

*Punkt*, der in der obigen Weise durch eine nicht tafelparallele ihn enthaltende Gerade bestimmt ist.

Der Punkt  $P$  liege auf  $g = (S, F')$  und habe die Entfernung  $y$  von der Tafel (mit derselben Vorzeichen-Bestimmung wie oben), dann ist:

$$\frac{SP'}{P'F'} = \frac{P'P}{OP'} = \frac{y}{d};$$

also:

$$\frac{P'F'}{SF'} = \frac{d}{y + d}.$$

Wir schneiden den hinteren Theil von  $g$  mit den in den Entfernungen  $d, 2d, 3d, \dots$  gelegten Frontebenen in  $Q_1, Q_2, Q_3, \dots$ , so ergibt sich:  $Q'_{n-1}F' = \frac{1}{n} \cdot SF'$ ,  $Q'_nF' = \frac{1}{n+1} \cdot SF'$ ; mithin:

$$Q'_{n-1}Q'_n = \frac{1}{n(n+1)} \cdot SF';$$

man sieht, wie die gleichen Strecken  $SQ_1, Q_1Q_2, Q_2Q_3, \dots$  auf  $g$  rasch immer kleiner werdende Bilder haben.

137. *Eine nicht zur Tafel parallele Ebene  $E$  hat eine (endliche) Spur  $s$ . Die Parallelen durch  $O$  zu ihren Geraden (oder zu den zu ihr parallelen Geraden) fallen in die Parallelebene  $E^*$  zu  $E$  durch  $O$ . Deren Schnitt  $f'$  mit  $\Pi$ , der zu  $s$  parallel ist, enthält daher die Fluchtpunkte aller jener Geraden und heisst die Fluchtgerade der Ebene.*

*Spur und Fluchtgerade einer Ebene sind stets parallel; und zwei Geraden  $g = (S, F')$  und  $g_1 = (S_1, F'_1)$  befinden sich dann und nur dann in derselben Ebene, wenn  $SS_1 \parallel F'F'_1$  ist.*

*Die Fluchtgerade  $f'$  ist das Bild der unendlich fernen Gerade  $f_\infty$  von  $E$ ; während die Verschwindungsgerade  $v = E\Pi^*$  sich in die unendlich ferne Gerade  $v'_\infty$  von  $\Pi$  projicirt. Wir kennen aus Nr. 114 die Figur des von  $E, E^*, \Pi, \Pi^*$  eingeschlossenen parallelopipedischen Raums;  $\Pi, \Pi^*, v, f'$  entsprechen den dortigen  $\Phi, \Phi^*, j, i'$ .*

Den Theilen  $f_\infty s, sv, vf_\infty$  von  $E$  entsprechen im Bilde  $f's, sv'_\infty, v'_\infty f'$ , also wiederum dem ganzen Theile der Ebene hinter der Tafel der Streifen  $sf'$  von endlicher Breite. Theilt man jenen durch die obigen Frontebenen in die Streifen  $sq_1, q_1q_2, \dots$  von gleicher Breite, so ergibt sich für die Breiten der Bildstreifen Analoges wie oben.

*Fluchtpunkt für die Spurnormalen in  $E$  ist der Fusspunkt  $A_1$  des Lothes aus  $O$  auf  $f'$ , der zugleich derjenige des Lothes aus  $A$  ist; diejenigen Geraden in  $E$ , welche unter  $45^\circ$  die Spur schneiden, „fliehen im Bilde“ nach dem einen oder andern der beiden Punkte auf  $f'$ , welche von  $A_1$  die Entfernung  $OA_1$  haben.*

*Parallele Ebenen haben dieselbe Fluchtgerade; die einer tafelnormalen Ebene geht stets durch A. Für die horizontalen Ebenen ist die Horizontale die Fluchtgerade; je nachdem die ebenfalls horizontale Spur über oder unter der Horizontale liegt, fällt oder steigt die Ebene (nach hinten verfolgt) scheinbar.*

Die Ebenen durch  $O$  von der Tafelneigung  $\alpha$  umhüllen denselben Rotationskegel, der die Geraden durch  $O$  von dieser Neigung zu Kanten hat (Nr. 88). Also sind die Fluchtgeraden aller unter dem Winkel  $\alpha$  gegen die Tafel geneigten Ebenen Tangenten des Neigungskreises, der durch die Fluchtpunkte der unter diesem Winkel geneigten Geraden gebildet wird; die Berührungspunkte sind ja auch die Fluchtpunkte  $A_1$  der spurnormalen Geraden der Ebenen, welche dieselbe Neigung haben wie diese (Nr. 15).

Zwei parallele Geraden  $s, f'$  in  $\Pi$ , jene als Spur, diese als Fluchtgerade, bestimmen eine Ebene vollständig und eindeutig; sie ist die Parallelebene durch  $s$  zu  $Of'$ .

Eine Frontebene aber muss durch einen in ihr gelegenen Punkt bestimmt werden.

138. Man construiere die Schnittlinie zweier Ebenen ( $s, f'$ ), ( $s_1, f'_1$ ), den Schnittpunkt dreier Ebenen (Fig. 63), letzteren als Schnittpunkt zweier von den drei Schnittlinien; die dritte liefert eine Controlle. Es handelt sich um zwei perspective Dreiecke mit parallelen Seiten (Nr. 119). Um den Schnittpunkt einer Ebene ( $s, f'$ ) mit einer Geraden ( $S, F'$ ) zu ermitteln, schneide man jene mit einer durch diese gehenden Ebene und die Schnittlinie mit ( $S, F'$ ).

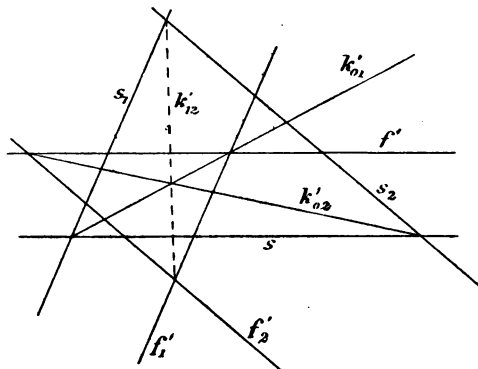


Fig. 63.

Man lege in ( $s, f'$ ) Geraden oder durch ( $S, F'$ ) Ebenen von gegebener Tafelneigung.

Man verbinde einen Punkt  $P$ , der auf ( $S, F'$ ) gegeben ist, mit der Gerade ( $S_1, F'_1$ ) durch eine Ebene (Fig. 64). Wir ziehen  $P'F'_1$  und schneiden sie in  $S_2$  mit der Parallelen durch  $S$  zu  $F'F'_1$ , so ist ( $S_2, F'_1$ ) die Parallele durch  $P$  zu ( $S_1, F'_1$ ); denn sie schneidet ( $S, F'$ ) und dann in  $P$ , weil

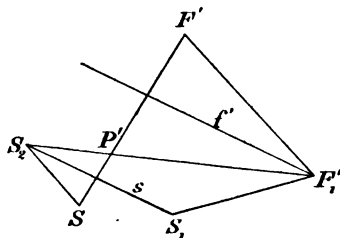


Fig. 64.

die Verbindungslinien der Spuren und der Fluchtpunkte parallel sind. Sie liegt in der verlangten Ebene; deren Spur  $s$  ist also  $S_1 S_2$ , und die Parallele zu ihr durch  $F_1'$  ist die Fluchtgerade  $f'$ .

Ist  $(S_1, F_1')$  die Gerade, die zur Fixirung eines zweiten Punktes  $P_1$  dient, so erhält man in den Schnitten von  $P'P_1'$  mit  $s$  und  $f'$  *Spur und Fluchtpunkt der Verbindungslinie  $PP_1$* .

Die Entfernung zweier parallelen Ebenen ist gleich derjenigen ihrer Spuren, dividirt durch den Cosinus der Tafelneigung, welche aus der gemeinsamen Fluchtgerade sich ergibt. Da es nun leicht ist, durch zwei windschiefe Geraden die Parallelebenen zu legen, so hat man auch die Länge ihrer kürzesten Entfernung.

Erst, wenn Masseigenschaften in Frage kommen, werden  $A$  und  $d$  nothwendig.

139. Wenn  $F'$  und  $f'$  zu Strahlen und Ebenen gehören, die zu einander normal sind, so ist  $OF' \perp Of'$  und daher die Ebene  $OF'A$  zur Schnittlinie  $f'$  von  $Of'$  und  $\Pi$  normal, weil zu beiden Ebenen; also ist auch  $F'A$  normal zu  $f'$ ; ist  $A_1$  der Fusspunkt, so ist  $\triangle F'OA_1$  bei  $O$  rechtwinklig,  $OA$  seine Hypotenusenhöhe; daher:

$$F'A \cdot AA_1 = d^2,$$

und zwar auch dem Vorzeichen nach. Legt man dies Dreieck um  $F'AA_1$  in  $\Pi$  um, so ergibt sich folgende Construction von  $F'$  aus  $f'$ : man ziehe  $AA_1$  senkrecht zu  $f'$ , senkrecht darauf  $AO_0 = d$ , dann  $O_0F'$  senkrecht zu  $A_1O_0$ , wo  $F'$  der Schnitt mit  $AA_1$  ist. Und ähnlich ergibt sich  $f'$  aus  $F'$ . Auf diese Weise erhält man *den Fluchtpunkt der Geraden, die zu einer gegebenen Stellung (Fluchtgerade  $f'$ ) normal sind, und die Fluchtgerade der Ebenen, die zu einer gegebenen Richtung (Fluchtpunkt  $F'$ ) normal sind*. Nähert sich eins dieser zusammengehörigen Fluchtelemente dem Augpunkte, so entfernt sich das andere.

140. Es soll der Winkel zweier Geraden  $(S, F'), (S_1, F_1')$  ermittelt werden; ersichtlich genügen die Fluchtpunkte: man ermittelt den Winkel der Parallelstrahlen  $OF', OF_1'$  und legt deren Ebene um ihre Spur  $f'' = F'F_1'$  um: eine uns bekannte Construction. Wir wollen die Umlegung  $O_0$  von  $O$ , dessen Orthogonalprojection  $A$  ist, haben, fallen daher  $AA_1$  senkrecht auf  $f''$ , errichten darauf in  $A$  das Loth  $A\bar{O}_0 = d$  und tragen die Hypotenuse  $A_1\bar{O}_0$  auf  $A_1A$  von  $A_1$  aus ab bis  $O_0$ ; es ist dann  $F'O_0F_1'$  der verlangte Winkel. Kommen bei Winkelbestimmungen Ebenen vor, so ersetzt man sie durch die Lothe auf ihnen (Nr. 18), ihre Fluchtelemente also durch die zugehörigen normalen. In der Fig. 65 ist in  $\beta$  der Winkel zwischen den Strahlen und Ebenen ermittelt, denen die Fluchtelemente  $F'$  und  $f'$  zugehören.

141. Auf  $g' = SF'$  ist das Bild  $P'Q'$  einer Strecke gegeben; man soll die wahre Länge bestimmen (Fig. 66). Legt man die Ebene  $g'O$  und mit ihr  $O$  nach  $O_0$  um in der eben beschriebenen Weise, so ist die Parallele durch  $S$  zu  $O_0F'$  die Umlegung  $g_0$  von  $g$ , die ja auch in dieser Ebene, der projectirenden Ebene, liegt. Die Strahlen  $O_0(P', Q')$  schneiden in  $g_0$  die wahre Länge  $P_0Q_0$  ein.

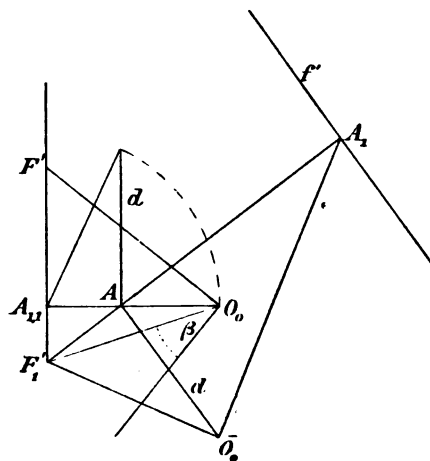


Fig. 65.

Und umgekehrt führt dies zur Auflösung der Aufgabe: Wenn das Bild  $P'$  eines Punktes  $P$  auf einer Geraden  $(S, F')$  bekannt ist, das Bild  $Q'$  des andern Endpunktes einer Strecke  $PQ$  von gegebener Länge zu construiren.

Ist  $R$  ein dritter Punkt auf  $g$  und  $R'$  sein Bild, so führt  $O_0R'$  zu  $R_0$  und  $\frac{P_0R_0}{Q_0R_0} = \frac{PR}{QR}$ ; dies lehrt, wie man eine Strecke, deren Bild vorliegt, nach gegebenem Verhältnisse zu theilen hat.

Man hat freilich hierbei meistens mit nicht günstig gelegenen Punkten zu thun.

Wird eine Ebene  $E$  um ihre Spur in  $\Pi$  umgelegt, so besteht zwischen der Umlegung und dem Bilde Homologie, mit welcher

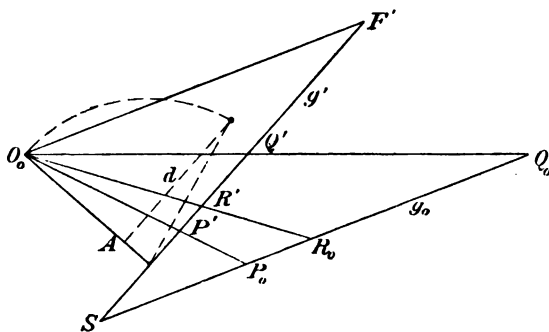


Fig. 66.

wir jedoch aus den Betrachtungen von Nr. 118 schon vollständig vertraut sind; es genügt, zu erwähnen, dass die Axe der Homologie, auf der sich entsprechende Geraden begegnen, die Spur  $s$  ist, das Centrum, durch das alle Verbindungslinien entsprechender Punkte laufen, die Umlegung  $O_0$  des Auges  $O$  mit der Parallelebene  $Of'$ . Die Fluchtgerade  $f'$  ist die zum Bildfelde gehörige Fluchtgerade, jetzt insbesondere durch diesen Namen ausgezeichnet, während die zur Umlegung gehörige Fluchtgerade die Umlegung  $v_0$  der Verschwindungsgerade  $v$  der  $E$  ist.



142. Die Aufgabe, eine Strecke auf  $g = (S, F')$  vom gegebenen Punkte  $P$  aus aufzutragen, und ihre Umkehrung, die wahre Länge einer im perspectiven Bilde gegebenen Strecke zu ermitteln, kann man auch mit Hilfe einer durch die Gerade gelegten Ebene lösen, indem

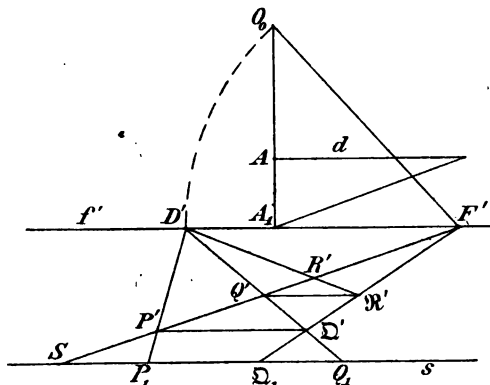


Fig. 67.

man einen der beiden Parallelstrahlenbüschel in der Ebene, deren Strahlen als Basen mit  $g$  und der Spur  $s$  (oder den Spurparallelen) gleichschenklige Dreiecke bilden, und seinen Fluchtpunkt benutzt (Fig. 67). Da auch in der Parallelebene  $Of'$  ein gleichschenkliges Dreieck entsteht, so hat dieser Fluchtpunkt  $D'$  auf  $f'$  von  $F'$  die Entfernung  $OF'$ , die ja durch Umlegung leicht bestimmt

werden kann, und durchläuft, wenn die Hilfsebene verändert wird, einen Kreis um  $F'$ . Zieht man also  $D'P'$  bis  $P_1$  auf  $s$ , trägt  $P_1Q_1$  gleich der gegebenen Strecke  $l$  auf  $s$  auf, so ergibt sich  $Q'$  auf  $g'$  durch Schnitt mit  $D'Q_1$ ; ebenso, wenn  $Q'$  gegeben ist, findet sich  $Q_1$  auf  $s$  und die wahre Länge  $P_1Q_1$ .

Hätte man  $F'D' = \frac{1}{m} \cdot F'O$  gemacht, so würde  $P_1Q_1$  der  $m$ -te Theil von  $PQ$  sein; dazu wird man greifen, wenn das vorhin construirte  $F'D'$  oder wenn  $l$  zu gross ist\*) und im verfügbaren Zeichenraum nicht Platz findet. Bleiben wir aber bei  $F'D' = F'O$ ; so möge durch  $P'$  die Parallele zu  $s$  und  $f'$ , das Bild einer spur- und tafelparallelen Gerade in  $E$ , gezogen werden. Schneidet  $D'Q'$  sie in  $\Omega'$ , so ist  $P'\Omega'$  das Bild einer auf ihr gelegenen mit  $PQ$  gleichen Strecke. Projicirt man es aus irgend einem Punkte von  $f'$  auf  $s$ , so ergibt sich, weil in Wirklichkeit ein Parallelogramm entsteht, die wahre Länge. Als diesen Fluchtpunkt der nicht spurparallelen Gegenseiten des Parallelogramms nimmt man am besten den Fluchtpunkt  $F'$  der Gerade  $g = PQ$ , so dass, wenn  $\Omega_1$  die Projection von  $\Omega'$  aus  $F'$  auf  $s$  ist,  $S\Omega_1$  die wahre Länge ist, die möglicherweise günstiger liegt, als das vorhinige  $P_1Q_1$ . Man hat also  $S\Omega_1 = l$  auf  $s$  aufzutragen,  $F'\Omega_1$  in  $\Omega'$  mit der Parallele durch  $P'$  zu  $s$  zu schneiden und  $g'$  mit  $D'\Omega'$  in  $Q'$ .

\*) Ein zu grosses  $l$  theilt man wohl auch in Theile, die hinter einander aufgetragen werden.



ziemlich zahlreich auf. Wenn die Augdistanz in richtiger Länge genommen wird, so fallen viele Fluchtpunkte ausserhalb des Zeichenraums; auch für  $O_0$  und andere Punkte gilt dies.

Oft ist ein unzugänglicher Punkt bekannt als Schnitt zweier in der Zeichnung vorhandenen Geraden  $g, l$ ; um von einem andern Punkt  $P$  nach ihm die Gerade zu ziehen, verfahren wir nach Anweisung von Nr. 119. Oder wir schneiden  $g$  und  $l$  mit zwei parallelen Geraden, von denen eine durch  $P$  geht, in  $G, L$ ;  $G_1, L_1$ , theilen  $G_1 L_1$  in  $P_1$  nach demselben Verhältnisse, wie  $GL$  durch  $P$  getheilt ist, so ist  $PP_1$  die verlangte Gerade.

Liegt auf einer Gerade  $g$  ein ausserhalb der Zeichenfläche fallender Punkt  $Q$   $m$ -mal weiter von einem Punkte  $C$  derselben entfernt, als ein anderer  $\frac{Q}{m}$ , der noch ins Zeichenblatt zu liegen kommt, so nähert man auch  $P$ , von dem nach  $Q$  die Gerade gezogen werden soll, dem  $C$  bis auf  $\frac{1}{m}$  der Entfernung, nach  $\frac{P}{m}$ ; ersichtlich ist  $PQ$  parallel zu  $\frac{P}{m} \frac{Q}{m}$ .

Solche „Reductionen“ ergeben sich durch Herannäherung des Auges an die Tafel. Jede Verlegung des Auges ändert die Fluchtelemente, lässt aber die Spuren.

Wird das Auge zunächst parallel zur Tafel verschoben von  $O$  nach  $O^*$ , so verschieben sich  $A$  und alle Fluchtpunkte um eine Strecke, die in Grösse, Richtung und Sinn mit  $OO^*$  übereinstimmt, die Bilder der endlichen Punkte durchlaufen Strecken von derselben Richtung; liegen sie hinter der Tafel, dann auch von gleichem Sinne, aber kleinerer Länge als  $OO^*$  ( $P'P^* = OO^* \cdot \frac{y}{y+d}$ ). Ist  $OO^*$  gleich der Entfernung der beiden Augen, so hat man zwei stereoskopische Bilder.

145. Wird nun aber  $O$  der Tafel in der Richtung auf den Punkt  $C$  derselben bis auf  $\frac{1}{m}$  der Entfernung genähert (Fig. 70), so dass  $\frac{O}{m} = \frac{1}{m} \cdot OC$ ,  $\frac{A}{m} C = \frac{1}{m} AC$  und die neue Augdistanz  $\frac{d}{m}$  \*) ist, so nähern sich auch alle Fluchtpunkte dem  $C$  auf  $\frac{1}{m}$ ;  $\frac{F'}{m} C = \frac{1}{m} \cdot F'C$ ; folglich gilt dies auch für die Fluchtgeraden. Mit den kleineren

\*)  $\frac{d}{m}$  ist Bruch;  $\frac{O}{m}, \frac{A}{m}$  u. s. w. sind bequeme Bezeichnungen.

Neigungskreisen construirt man zunächst die „reducirten“ Fluchtelemente, durch welche dann die Lage der eigentlichen bestimmt ist. Die Aehnlichkeit und ähnliche Lage in Bezug auf  $C$  aber geht noch weiter: auch  $A_1$  und  $\frac{A_1}{m}$ , die Fusspunkte der Lothe aus  $A$  auf  $f'$ , aus  $\frac{A}{m}$  auf  $\frac{f'}{m}$ ,  $O_0$  und  $\frac{O_0}{m}$ , die Umlegungen von  $O$  mit  $Of'$ , von  $O$  mit  $\frac{O}{m}$ , sind entsprechend, sowie  $D'$  und  $\frac{D'}{m}$ , die „Auftragspunkte“, die zu Geraden gehören, deren Fluchtpunkte  $F'$ ,  $\frac{F'}{m}$  auf  $f'$ ,

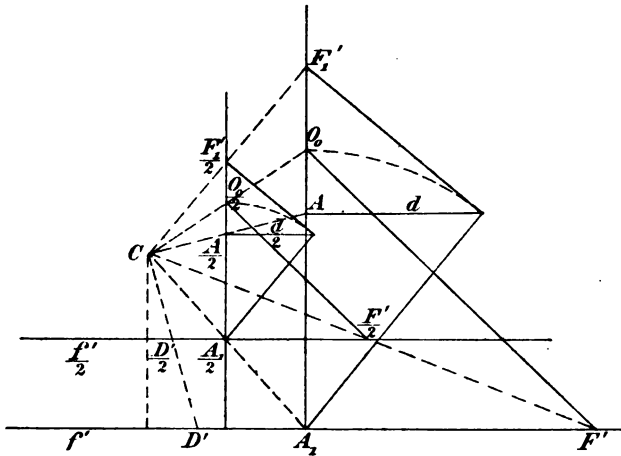


Fig. 70.

bezw.  $\frac{f'}{m}$  liegen, und die Fluchtpunkte  $F_1'$ ,  $\frac{F_1'}{m}$ , die zu den Strahlen gehören, welche auf den Ebenen mit den Fluchtlinien  $f'$ ,  $\frac{f'}{m}$  normal sind. Jedesmal, wenn man einen solchen reducirten Punkt erhalten hat, wird man versuchen, ob nicht der wirkliche doch noch innerhalb der Zeichenfläche vorhanden ist; z. B. wenn  $F'$  auf  $f'$  ungünstig liegt und mit  $\frac{F'}{m}$  gearbeitet werden muss, kann der Auftragspunkt  $D'$ , oder, wenn  $f'$  ungünstig liegt, kann  $F_1'$  günstig liegen.

Hat man längere Zeit mit derselben Ebene oder mit parallelen, also mit derselben  $f'$  zu thun, so wird man  $C$  darauf legen, am besten in  $A_1$ , weil dann einige Vereinfachungen eintreten. Am meisten empfiehlt sich der Augpunkt  $A$  als Punkt  $C$ .

146. Eine Reduction anderer Art wird erforderlich, wenn der darzustellende Gegenstand so grosse Dimensionen hat, dass mit ihnen auf

dem Zeichenblatte nicht gearbeitet werden kann. Man verjüngt ihn dann, so jedoch, dass das Bild davon nicht beeinflusst wird. Man rückt ihn so auf  $O$  zu, dass er sich ähnlich und ähnlich gelegen bleibt in Bezug auf  $O$  als Aehnlichkeitspunkt, also jeder Punkt seinen Projectionsstrahl und sein Bild behält. Die Annäherung erfolge bis auf  $\frac{1}{n}$  der Entfernung. Die Entfernungen von der Verschwindungsebene erleiden dieselbe Verkleinerung, während für diejenigen  $y, y^*$  von der Tafel gilt:  $y^* + d = \frac{1}{n}(y + d)$ . Nehmen wir ein rechtwinkliges Coordinatensystem an, von dem die  $x$ - und die  $z$ -Axe, in  $A$  sich schneidend, in der Tafel liegen, so gilt für die  $y, y^*$  das eben Gesagte, während  $x^* = \frac{1}{n} \cdot x, z^* = \frac{1}{n} \cdot z$ . Die Fluchtelemente werden nicht verändert, da die Geraden und Ebenen des Objects sich parallel verschoben haben.

147. Auf Grund dieser Erörterungen soll nun eine einfachere perspectivische Zeichnung entworfen werden. Es handelt sich um eine fünfstufige Treppe, die von zwei Pfeilern eingeschlossen ist (Fig. 71, Taf. VI). Die Pfeiler seien 90 cm hoch, 45 cm breit, die Treppe habe die Breite 180 cm zwischen den Pfeilern, die Höhe der Stufen sei 18 cm, die Tiefe 30 cm; die innere verticale Kante des linken Pfeilers befinde sich 330 cm hinter der Tafel; folglich ist, indem  $d = 30$  cm angenommen wird, ihr Verjüngungs-Verhältniss  $\frac{30}{30 + 330} = \frac{1}{12}$ , das Bild der Kante hat also die Länge  $\frac{1}{12} \cdot 90 \text{ cm} = 7,5 \text{ cm}$ .

Wir nähern das Object dem Auge bis auf  $\frac{1}{6}$  und haben es von nun an mit den kleineren Dimensionen zu thun: Pfeilerhöhe 15 cm, Pfeilerbreite 7,5 cm, Treppenbreite 30 cm, Stufenhöhe 3 cm, Stufentiefe 5 cm. Jene Kante liegt jetzt in der Frontebene, welche die Entfernung  $d$  von der Tafel und daher das Verkürzungs-Verhältniss  $\frac{1}{2}$  hat; das Bild der Kante hat also — unverändert — die Länge 7,5 cm.

Als Punkt  $C$ , auf den zu wir, behufs der Gewinnung reducirter Flucht- und Auftragspunkte, das Auge der Tafel nähern, sei der Augpunkt  $A$  gewählt, und zwar nehmen wir zunächst Annäherung bis auf ein Drittel;  $\frac{O_0}{3}$  sei die Umlegung des Auges mit der durch die Horizontale  $a$  gehenden Horizontalebene nach unten.

Die beiden an unserm Objecte auftretenden horizontalen Richtungen seien nahezu rechtwinklig und parallel zur Tafel; der Winkel  $\alpha$

der ersteren mit der Tafel sei  $\frac{O_0 F'}{3} A$ ; aus dem reducirten Fluchtpunkte  $\frac{F'}{3}$  ist der wirkliche  $F'$  hergestellt:  $AF' = 3 \cdot A \frac{F'}{3}$ . Von dem der andern Richtung entsprechenden Fluchtpunkte  $F'_1$  fällt nicht einmal  $\frac{F'_1}{3}$  innerhalb des Zeichenblatts; wir benutzen  $\frac{O_0}{12}$ , ziehen die Senkrechte durch diesen Punkt zu  $\frac{O_0 F'}{3}$ , welche zu  $\frac{O_0 F'}{12}$  und  $O_0 F'$  parallel ist, bis zum Schnitte  $\frac{F'_1}{12}$  mit  $a$ ;  $F'_1$  hat 12-mal so grosse Entfernung von  $A$ .\*)

Es ist  $F' O_0 = 3 \cdot \frac{F'}{3} \frac{O_0}{3}$  und es muss  $F' D' = F' O_0$  sein; beide eigentlichen Auftragspunkte kommen nicht zu Stande; wir ersetzen sie durch diejenigen, bei welchen mit einem Drittel der aufzutragenden Längen gearbeitet wird; diese beiden Auftragspunkte, welche mit  $D' \left( \frac{1}{3} \right)$  bezeichnet werden mögen, haben von  $F'$  die Entfernung  $\frac{1}{3} \cdot F' O_0$ , also  $\frac{F'}{3} \frac{O_0}{3}$ . Wenn ferner  $\frac{D'_1 F'_1}{12} = \frac{O_0 F'_1}{12}$  auf  $a$  gemacht wird, so muss  $D'_1$ , der zu den Geraden mit dem Fluchtpunkte  $F'_1$  gehörige Auftragspunkt, 12-mal weiter von  $A$  entfernt sein als  $\frac{D'_1}{12}$ .

Wir erhalten nur einen der beiden  $\frac{D'_1}{12}$  und diesen so nahe an  $A$ , dass die Vervielfachung mit Hilfe des Zirkels sich nicht empfiehlt; man wird besser mit einem möglichst genauen Massstabe arbeiten.

Zur Controllirung der mit diesem etwas unsicheren Auftragspunkte  $D'_1$  gemachten Auftragungen ist noch ein Fluchtpunkt  $F'_2$  hergestellt; der rechte Winkel bei  $\frac{O_0}{3}$ , der von den Umlegungen unserer beiden Richtungen gebildet wird, sei durch  $\frac{O_0 F'_2}{3}$  halbirt und aus  $\frac{F'_2}{3}$  sei  $F'_2$  construirt, so ist das der Fluchtpunkt solcher Hori-

\*) Es ist vorthellhaft, damit man, etwa unter Anwendung perspectiver Dreiecke, Geraden nach  $F'_1$  ziehen kann, sich noch eine zweite durch diesen Punkt gehende Gerade zu verschaffen: Man trage z. B. auf eine Gerade durch  $A$  möglichst genau  $A \frac{8}{12} = 1$  cm, dann  $A 8 = 12$  cm auf; so ist die Parallele durch 8 zu  $\frac{8 F'_1}{12}$  eine solche Gerade.

zontalen, welche mit unsern Richtungen gleiche Winkel bilden; so dass, wenn es sich um Gerade der nämlichen Horizontalebene handelt, die nach  $F'_2$  fliehenden auf denen, welche  $F''$  und  $F'_1$  zu Fluchtpunkten haben, gleiche Strecken einschneiden.

Die Horizontalebene durch  $O$  durchschneide unser Object in  $\frac{2}{3}$  der Höhe, so dass von den verticalen Pfeilerkanten 10 cm unter- und 5 cm oberhalb sind. Daher ist die Spur  $s$  der untersten Horizontalebene des Objects, der „Grundebene“, 10 cm unterhalb  $a$  und geht also durch  $\frac{O_0}{3}$ . Aber wir werden meistens mit derjenigen Spurparallele  $h$  dieser Ebene arbeiten, die in der oben erwähnten Frontebene liegt und durch den Fusspunkt  $P$  derjenigen Pfeilerkante  $PQ$  geht, die sich in dieser Frontebene befindet. Das Verjüngungsverhältniss auf  $h$  ist  $\frac{1}{2}$ , und das Bild  $h'$  liegt in der Mitte zwischen  $a$  und  $s$ . Die Spur  $s$  benützen wir nur für die Festsetzung der Lage  $P_1$  der Orthogonalprojection von  $P$  auf die Tafel; der Schnitt von  $AP_1$  mit  $h'$  ist dann  $P'$ . Nun wird  $P'Q' = 7,5$  cm vertical gezogen, ferner  $g'$  und  $l'$  aus  $P'$  nach  $F''$  und  $F'_1$ , letzteres dadurch, dass  $P'$  dem  $A$  auf  $\frac{1}{12}$  genähert bis  $\frac{P'}{12}$  und durch  $P'$  die Parallele zu  $\frac{P'F'_1}{12}$  gezogen wird, oder besser, nachdem oben eine zweite Gerade durch  $F'_1$  construirt ist, vermittelst perspectiver Dreiecke. Auf  $h'$  trägt man dann nach links die Pfeilerbreite, nach rechts zuerst die Treppen-, dann die Pfeilerbreite, aber halbt, also  $\frac{1}{2} \cdot 7,5$  cm, bzw.  $\frac{1}{2} \cdot 30$  cm und  $\frac{1}{2} \cdot 7,5$  cm auf und projicirt die erhaltenen Endpunkte aus dem Auftragungspunkte  $D'_1$  auf  $l'$  nach  $R', T', U'$ .\*) Um auf  $g$  von  $P$  aus fünfmal die Stufentiefe 5 cm zu erhalten, trägt man, den linken  $D'(\frac{1}{3})$  benutzend, nach rechts von  $P'$  aus auf  $h'$  fünfmal  $\frac{1}{3} \cdot \frac{1}{2} \cdot 5$  cm auf ( $\frac{1}{2}$ , weil auf  $h'$  gearbeitet,  $\frac{1}{3}$ , weil  $D'(\frac{1}{3})$  benutzt wird) und projicirt die erhaltenen Punkte aus  $D'(\frac{1}{3})$  auf  $g'$ . Theilt man noch  $P'Q'$ , das Bild einer Tafelparallele, in fünf gleiche Theile, zieht durch jene Punkte auf  $g'$  die Verticalen, durch diese die Geraden nach  $F''$ , so

\*)  $P'T'$  ist wegen der Wichtigkeit dieser Linie für die Construction ausgezogen.

erhält man das Bild des Schnitts der Treppe mit der innern Seitenwand des linken Pfeilers. Wenn auf  $g$  von  $P$  aus noch 7,5 cm im Bilde aufgetragen wird bis  $W'$ , so haben  $PW$  und  $PR$  gleiche Länge; also muss  $R'W'$  durch  $F_2'$  gehen.

Um auf der Verticale durch  $T'$  15 cm aufzutragen, zieht man aus irgend einem Fluchtpunkte auf  $a$ , etwa  $A$ , den Strahl nach  $T'$  bis zum Schnitte mit  $h'$ , durch diesen die Verticale von der Länge  $\frac{1}{2} \cdot 15$  cm und durch den Endpunkt wieder den Strahl nach  $A$ , der auf der ersten Verticale den gesuchten Endpunkt  $V'$  einschneidet.  $Q'V'$  muss durch  $F_1'$  gehen, was mit Hilfe perspectiver Dreiecke controllirt werden kann.

Auf  $T'F'$  wird jetzt ebenfalls, wie auf  $P'F'$ , fünfmal die Stufentiefe aufgetragen, diesmal mit Hilfe des rechten  $D'(\frac{1}{3})$ . Es ergibt sich das Bild des Schnittes der Treppe mit der innern Wand des rechten Pfeilers. Durch Verbindung entsprechender Punkte der Bilder der beiden Schnitte erhält man die Bilder der horizontalen Kanten der Treppe, die nach  $F_1'$  fliehen, unter Vermeidung dieses unbequemen Fluchtpunktes. Die oberen Stufenflächen werden im Bilde, wie nothwendig, immer schmaler, je mehr man sich der Horizontale nähert, und über ihr unsichtbar. Es erübrigt noch die Construction der verticalen Kanten durch  $R'$  und  $U'$ .

Wird auf  $T'F'$  sechsmal die Stufentiefe aufgetragen bis  $Z'$ , so ergibt sich eine Strecke, die der Treppenbreite (30 cm) gleich ist; daher muss  $Z'P'$  durch  $F_2'$  gehen, womit von neuem  $D_1'$  controllirt wird.

## Achter Abschnitt.

### Schräge Parallelprojection.

148. In die Beziehung zwischen einer Strecke  $PQ$  auf  $g$  und ihrer Parallelprojection  $P'Q'$  gehen ein die spitzen Winkel  $\beta$  und  $\sigma$ , welche  $g$  und die Projectionsstrahlen  $p$  mit  $\Pi$  bilden, und der Winkel  $\lambda$ , den sie mit einander bilden, und zwar genauer derjenige Winkel, den solche aus einem beliebigen Punkte in der Richtung von  $g$  und  $p$  gezogene Halbstrahlen einschliessen, welche beide die  $\Pi$  treffen. Wir schneiden (Fig. 72) mit der Parallelebene  $\Pi^*$  zu  $\Pi$  durch  $Q$  den Pro-



jectionsstrahl von  $P$  in  $P''$ ; dann sind die Geraden  $P''Q$  und  $P'Q'$  als Schnitte der Ebenen  $\Pi^*$  und  $\Pi$  mit der Ebene  $QPP''$ , in welche auch der Projectionsstrahl  $QQ'$  fällt, parallel und da auch  $PP''P'$  und  $QQ'$  parallel sind, so ist  $P''Q = P'Q'$ . Wenn noch  $P_1$  die Orthogonalprojection von  $P$  auf  $\Pi^*$  ist, so ist  $\sphericalangle PQQP_1 = \beta$ ,  $\sphericalangle PP''P_1 = \sigma$ , also  $PP'' = PQ \cdot \frac{\sin \beta}{\sin \sigma}$ ; ferner  $\sphericalangle QPP'' = \lambda$ . Der Cosinussatz, angewandt auf  $\Delta PQQ''$ , giebt die Beziehung:

$$P'Q' = PQ \cdot \sqrt{1 + \frac{\sin \beta}{\sin \sigma} \left( \frac{\sin \beta}{\sin \sigma} - 2 \cos \lambda \right)}.$$

Der Winkel  $\lambda$  befindet sich immer zwischen  $180^\circ - (\beta + \sigma)$  und der Differenz von  $\beta$  und  $\sigma$ ; denn als Kantenwinkel der dreiseitigen Ecke  $P(Q, P'', P_1)$  muss er kleiner als die Summe und grösser als die Differenz der beiden andern Kantenwinkel sein, welche  $90^\circ - \beta$  und  $90^\circ - \sigma$  sind. Fallen die drei Kanten in eine Ebene, welche dann zugleich schräg und orthogonal projecirende Ebene der  $g$  ist, so hat  $\lambda$  einen der beiden Grenzwerte.

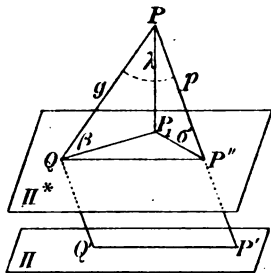


Fig. 72.

$\lambda$  hat nur einen Werth  $90^\circ - \beta$ , bezw.  $90^\circ - \sigma$ , wenn  $\sigma$  oder  $\beta$  gleich  $90^\circ$  ist; denn in diesem Werth fallen die Grenzwerte zu-

sammen. Daraus ergibt sich für  $\sigma = 90^\circ$  die bekannte Formel der Orthogonalprojection, für  $\beta = 90^\circ$  aber:

$$P'Q' = PQ \cdot \cotg \sigma,$$

die natürlich auch unmittelbar ersichtlich ist. Sie giebt die Länge der schrägen Parallelsprojection oder, wie einfacher gesagt werden soll, der schrägen Projection einer zur Projectionsebene senkrechten Strecke.

Ist  $\lambda \geq 90^\circ$ , so ist stets  $P'Q' > PQ$ ; insbesondere, wenn  $\lambda = 90^\circ$ , ist  $P'Q' = PQ \cdot \sqrt{1 + \frac{\sin^2 \beta}{\sin^2 \sigma}}$ .

Liegt also ein Kreis vom Radius  $r$  in einer zu den Projectionsstrahlen senkrechten Ebene vor, so wachsen die Neigungswinkel  $\beta$  seiner Durchmesser (Nr. 15) von  $0^\circ$  bis  $90^\circ - \sigma$ , der Neigung der Ebene gegen  $\Pi$ ; die grösste gehört zu demjenigen Durchmesser, der dieselbe Orthogonalprojection auf  $\Pi$  hat, wie der Projectionsstrahl des Mittelpunktes. Projection des Kreises ist daher eine Ellipse, deren Halbachsen, gelegen auf dieser Orthogonalprojection und senkrecht dazu,  $\frac{r}{\sin \sigma}$  und  $r$  sind und die nach Nr. 25 construiert werden kann.

149. Wenn *Grundriss und Aufriss eines Objects* weniger anschaulich sind, weil etwa verschiedene ebene Figuren sich geradlinig projectiren, so pflegt man noch eine schräge Projection hinzuzufügen, welche in folgender Weise leicht aus der orthogonalen herausgearbeitet werden kann. Wir nehmen die verticale  $\Pi_2$  auch als Ebene  $\Pi$  der schrägen Projection und haben dann nur die zweiten Abstände  $P_2P = P_aP_1$  (Nr. 44) schräg zu projectiren. Sind  $p_1, p_2$  die Orthogonalprojectionen eines schrägen Projectionsstrahls  $p$ , so ist  $p_2$  auch schräge Projection jedes der Lothe, die einen Punkt von  $p$  auf  $\Pi_2$  projectiren. Also ist die Richtung von  $p_2$  die der schrägen Projection der Lothe auf  $\Pi$ . Die Geraden in  $\Pi$  von dieser wichtigen Richtung mögen die *Schrägen* (fuyantes) genannt werden. Um  $P'$  zu erhalten, hat man also auf der Schrägen durch  $P_2$   $P_2P' = P_aP_1 \cotg \sigma$  aufzutragen; in Bezug auf den Sinn, in welchem aufzutragen ist, gilt: Die Projection  $P_2P'$  eines negativen, d. h. nach hinten gerichteten Abstandes geht, je nachdem die Projectionsstrahlen, von vorn nach hinten verfolgt (oder unter der Voraussetzung, dass die Beobachtung von vorn geschieht), von rechts oben, links oben, rechts unten, links unten kommen\*), ebenfalls nach rechts oben, . . . ; und die eines positiven Abstandes hat den entgegengesetzten Sinn.

Es ist nun üblich, zunächst die Bestimmung über diesen Sinn zu treffen; meistens wird der erst genannte Fall genommen; ferner wird als Winkel  $\alpha = \alpha_2$  der Schrägen mit der Projectionsaxe oder den Horizontalen ein leicht herzustellender genommen und auch dem Veränderungsverhältnisse  $q = \cotg \sigma$  ein einfacher Werth gegeben, z. B.  $\alpha = 30^\circ, 45^\circ$ ;  $q = \frac{1}{3}, \frac{1}{2}, 1$ .

Eine Projection mit solchen einfachen Daten, mit denen schnell gearbeitet werden kann („projection rapide“), heisst *Cavalierperspective* (perspective cavalière).\*\*)

Die zu den drei Werthen von  $q$  oder  $\cotg \sigma$  gehörigen Werthe von  $\frac{1}{\sin \sigma} = \sqrt{1 + q^2}$  sind  $\frac{\sqrt{10}}{3}, \frac{\sqrt{5}}{2}, \sqrt{2}$  oder 1,054; 1,118; 1,414.

\*) In den beiden ersten Fällen wird, mit freilich der heutigen Terminologie nicht entsprechender Anwendung des Wortes Perspective, die schräge Projection auch *Vogelperspective* genannt, und in den andern, kaum gebrauchten, scherzhaft *Froschperspective*.

\*\*) Die Projection mit  $q = 1$  und  $\alpha = 90^\circ$ , bei der also die Schrägen in Verticalen übergegangen und die Projectionsstrahlen zu den auf  $\Pi$  senkrechten Verticalebenen parallel und unter  $45^\circ$  gegen  $\Pi$  geneigt sind, heisst, weil früher vielfach zur Darstellung von Festungswerken benutzt, *Militärperspective*.

Selbst noch im zweiten Falle ist die Ellipse mit den Halbaxen  $\frac{r}{\sin \sigma}$  und  $r$ , in die sich ein zu den Projectionsstrahlen senkrechter Kreis projectirt, nicht sehr vom Kreise verschieden (obwohl die Brennpunkte eine ersichtliche Entfernung vom Mittelpunkte haben).

Man construire aus diesen Daten  $\alpha$  und  $q$  die Richtung von  $p_1$  und beweise die Relation:  $\operatorname{tg} \alpha_1 = \frac{\operatorname{tg} \sigma}{\cos \alpha}$ , wo  $\alpha_1$  der Winkel von  $p_1$  mit der Axe ist.

Von einem Würfel, der in Grund- und Aufriss sich als Quadrat darstellt, entwerfe man die schräge Projection für alle sechs Combina-

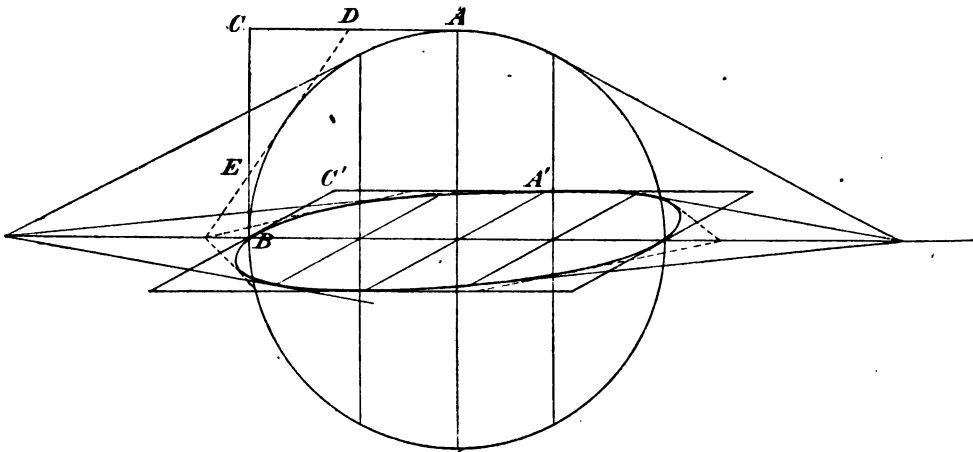


Fig. 73.

tionen der obigen  $\alpha$  und  $q$  und vergleiche die Zeichnungen; ebenso mache man die schräge Projection des in Fig. 51 dargestellten Dodecaeders etwa für  $\alpha = 30^\circ$ ,  $q = \frac{1}{2}$ .

Es genügt offenbar, wenn die Daten gegeben sind, die Orthogonalprojection des darzustellenden Punktes auf  $\Pi$  und seine Entfernung (Cote) von  $\Pi$  zu kennen. Danach ist in Fig. 73 ein horizontaler Kreis, ebenfalls für  $\alpha = 30^\circ$ ,  $q = \frac{1}{2}$ , dargestellt. Zur Construction der Tangenten an die Projection ist die *Affinität* zwischen dieser und der Umlegung benutzt.\*)

\*) Es sind auch einige Tangenten folgendermassen construirt: Wenn auf zwei rechtwinkligen Tangenten  $AC$ ,  $BC$  eines Kreises  $AD = \frac{1}{2} AC$ ,  $BE = \frac{1}{3} BC$  gemacht ist, so ist  $DE = AD + BE$  auch Tangente; diese Theilungen aber lassen sich auch in der Projection vornehmen.

Der Mittelpunkt ist in  $\Pi$  angenommen; andernfalls handelt es sich um eine indirecte Umlegung: der Kreis ist zunächst um seinen zur  $\Pi$  parallelen Durchmesser in die Parallelebene zu  $\Pi$  gedreht und dann — congruent — parallel projecirt.

150. Wie wir die Orthogonalprojection auf *eine* Ebene durch die auf eine zweite vervollständigen mussten, um zu erreichen, dass die Elemente auch im Raume fixirt sind; so können wir, wenn wir nicht auf die ursprüngliche Zeichnung in Grundriss und Aufriss recurriren wollen, damit die neue Zeichnung von jener unabhängig sei, *die schräge Projection* in anderer Weise *vervollständigen*, indem wir *die schräge Projection des Grundrisses hinzufügen*. Man bildet also nicht bloß  $P_2P$ , sondern auch  $P_aP_1$  ab, vermittelt der gleich langen und gleich gerichteten Schrägen  $P_2P'$ ,  $P_aP_1'$  und erhält die *beiden* Projectionen  $P'$ ,  $P_1'$ , welche — analog zu Nr. 42 — auf derselben Verticale liegen. Vermittelst zweier auf  $g = (g_1, g_2)$  gelegten Punkte erhält man  $g'$ ,  $g_1'$ , die beiden Projectionen von  $g$ . Sie treffen sich in der schrägen Projection der ersten Spur von  $g$ ; die Spur in  $\Pi$  und der Schnitt von  $g_1'$  mit der Axe liegen vertical übereinander. Zwei Geraden  $g$  und  $l$  liegen in derselben Ebene, wenn die Schnitte  $g'l'$  und  $g_1'l_1'$  auf der nämlichen Verticale sich befinden (oder zugleich  $g' \parallel l'$ ,  $g_1' \parallel l_1'$  ist). Man construirt  $P_1$ ,  $P_2$  aus  $P'$ ,  $P_1'$  und  $g_1$ ,  $g_2$  aus  $g'$ ,  $g_1'$ .

Die Spur einer Ebene in  $\Pi$  und die schräge Projection ihrer ersten Spur treffen sich auf der Axe.

151. Die schräge Projection ist die geeignetste für die Entwerfung *stereometrischer Figuren*; wegen der Erhaltung des Parallelismus und des einfacheren Construirens ist sie der Perspective vorzuziehen, und andererseits der Orthogonalprojection, weil, wie schon mehrfach bemerkt, bei dieser oft wichtige Bestandtheile des Objects nicht anschaulich zur Darstellung kommen.

So sind auch die Figuren 1—6, 11—14, 53, 54, 72 als schräge Projectionen anzusehen, mit einem ziemlich grossen Winkel  $\alpha$ : die mit  $\Pi$  bezeichneten Ebenen sind horizontal, die begrenzenden Rechtecke haben ihre Seiten parallel und senkrecht zur verticalen Ebene der schrägen Projection;  $\Pi_2$  in Fig. 12, 14 ist zu dieser parallel.

Wir schliessen hieran noch einige Bemerkungen über die Darstellung der *Kugel* und den sogenannten *Umriss*.

Der der Kugel umgeschriebene Cylinder, dessen Kanten den Projectionsstrahlen parallel sind, berührt sie längs desjenigen grössten Kreises  $U$ , dessen Ebene zu den Kanten senkrecht ist, und ist deshalb Rotationscylinder. Dieser Kreis ist *der wahre Umriss*; er trennt für den in der Richtung der Projectionsstrahlen Sehenden den sichtbaren

Theil der Oberfläche vom unsichtbaren. Der Schnitt dieses Cylinders mit  $\Pi$  oder die schräge Projection von  $U$  ist der *scheinbare Umriss*  $U'$ , und ihn haben wir bei der Darstellung der Kugel zu zeichnen. Er ist, wenn  $r$  der Radius der Kugel und des wahren Umrisses ist, die oben besprochene Ellipse mit den Halbachsen  $\frac{r}{\sin \varphi}$ ,  $r$ ; streng genommen ist er

nur dann Kreis, wenn orthogonal projicirt wird, aber bei kleinen Werthen von  $\varphi$  (und von  $r$ ), wie wir sahen, nicht ersichtlich vom Kreise verschieden; so dass, wenn in Lehrbüchern der Stereometrie oder der mathematischen Geographie als (scheinbarer) Umriss ein Kreis gezeichnet wird, auch wo ersichtlich *schräge* Projection vorliegt, der *theoretische Fehler* praktisch ohne Bedeutung ist, wofern es sich eben um ein kleines  $\varphi$  handelt; z. B., wenn der Umriss einer Projection der Erdkugel durch die Pole geht, also Meridian ist und Aequator und Parallelkreise nicht geradlinig, sondern als schmale Ellipsen gezeichnet sind.

152. Wenn der wahre Umriss  $U$  eine auf der Kugelfläche verlaufende Curve  $C$  in dem Punkte  $P$  schneidet, so liegen die Tangenten von  $P$  an beide Curven  $U$  und  $C$  in der Berührungsebene  $\tau$  der Kugel in  $P$ . Eine dritte Tangente der Kugel in  $P$ , die also auch in dieser Ebene liegt, ist die durch  $P$  gehende Kante des oben besprochenen der Kugel längs  $U$  umgeschriebenen Cylinders; da er  $U$  projicirt, so liegt die Tangente von  $U$  in  $P$  in der längs dieser Kante den Cylinder berührenden Ebene, die also zwei Geraden enthält, welche in  $\tau$  liegen, daher mit dieser Berührungsebene identisch ist und auch die Tangente in  $P$  an  $C$  enthält. Als Berührungsebene des Cylinders ist sie aber eine projicirende Ebene, demnach gemeinsame für die beiden Tangenten in  $P$  an  $U$  und  $C$ ; so dass dieselben die nämliche Projection haben und die Projectionen  $C'$  und  $U'$  sich in  $P'$  berühren. Folglich haben wir den Satz, der offenbar für jede Fläche und jede Projection gilt:

*Sobald eine Curve auf einer Fläche den wahren Umriss schneidet, berühren sich der scheinbare Umriss und die Projection der Curve in der des Schnittpunktes.*

Diese Eigenschaft wird sehr häufig in stereometrischen Zeichnungen vernachlässigt. Oft ist nur der sichtbare Theil einer auf der Fläche befindlichen Curve gezeichnet, aber so, dass er verlängert den Umriss nicht berührt, sondern schneidet; und bei vollständig gezeichneten Curven finden sich an den Stellen, wo die Berührung stattfinden soll, ganz unerklärliche Ecken: z. B. statt der Ellipse, die einen Kugelkreis darstellen soll, sind zwei sich auf dem Umriss schneidende symmetrische Kreisbogen gezeichnet.

Für Fig. 74, Taf. VII, sind die Daten  $\alpha = 30^\circ$ ,  $q = 1$  angewandt, letzteres, um eine ersichtliche Umriss-Ellipse zu erhalten. Die Zeichnung der Kugel ist dann noch mit den Projectionen von Kreisen auf ihr, die zu  $\Pi$  parallel sind und in gleich grosse Kreise sich projectiren, erfüllt.  $\Pi$  sei durch den Mittelpunkt  $M$  gelegt, so dass der grösste 0 von jenen Parallelkreisen seine eigene Projection ist; er berührt die Umrissellipse  $U'$  in den Scheiteln der kleinen Axe. Der zu  $\Pi$  normale Durchmesser  $d$ , auf dem die Mittelpunkte der Kreise liegen, projectirt sich auf die durch  $M \equiv M'$  gehende Schräge  $d'$  und zwar, wegen  $q = 1$ , in wahrer Länge, und ebenso die Entfernungen der Mittelpunkte der Kreise von  $M$ ; so dass die Projectionen dieser Mittelpunkte auch als Umlegungen angesehen werden können\*) und die Sehnen von 0, die durch die Projectionen senkrecht zu  $d'$  gehen, die Durchmesser der Kreise und ihrer Projectionen sind.

Es sind die Projectionen 0, 1', 2', 3', 4' von fünf Parallelkreisen 0, ... 4 (auf der vorderen Seite) gezeichnet; in der Figur sind die Accente weggelassen und mit denselben Ziffern auch die Mittelpunkte bezeichnet. Der Kreis 1 schneidet  $U$  zweimal; die Projection 1' berührt daher  $U'$  zweimal, in den mit 1' bezeichneten Punkte. Jene Schnitte und diese Berührungen nähern sich, je weiter sich der Kreis vom grössten 0 entfernt; bei 2' sind die Berührungspunkte II'. Beim Kreise 3 haben sich die beiden Schnitte mit  $U$  vereinigt: er berührt  $U$ ; bei 3' haben sich also die beiden Berührungen in eine vierpunktige Berührung im Scheitel III der grossen Axe vereinigt.\*\*). Der Kreis 4 schneidet  $U$  nicht mehr und 4' hat keine (reelle) Doppelberührung mit  $U'$ . Die Parallelkreise gehen schliesslich über in zwei Punktkreise, die Endpunkte des Durchmessers  $d$ ; ihre Projectionen sind hier bei  $q = 1$  die Schnitte von  $d'$  mit 0; bei beliebigem  $q$  haben sie die Entfernung  $rq$  von  $M$ .\*\*\*)

$U'$  ist nur zur Hälfte ausgezogen, damit die Berührungspunkte besser zu sehen sind; die andere Hälfte kann leicht mit dem Auge ergänzt werden.

153. Für die Construction der Projectionen von *sphärischen Dreiecken* ist es wichtig, folgende Aufgabe zu lösen: *Es seien  $A'$ ,  $B'$  zwei Punkte innerhalb des scheinbaren Umrisses  $U'$  einer Kugel, die wir als*

\*) Ein anderer Werth von  $q$  erfordert eine besondere Umlegung; doch kann diese leichte Modification dem Leser überlassen werden.

\*\*) 3' ist der sogenannte Krümmungskreis von  $U'$  in III', mit innigerer Berührung als die Krümmungskreise in beliebigen Punkten der Curve haben, die nur dreipunktig tangiren.

\*\*\*) Sie sind, da die Halbaxen  $r\sqrt{1+q^2}$ ,  $r$  sind, die Brennpunkte von  $U'$ .

*Projectionen von zwei Punkten der Kugel aufzufassen haben; die Ellipse genauer zu bestimmen, in die sich der durch diese Punkte gehende grösste Kugelkreis projecirt.*

Die Lösung setzt freilich Kenntnisse voraus, die über den Rahmen dieses Buches hinausgehen; weshalb wir sie nicht vollständig erörtern können; wir glauben jedoch, die folgende Betrachtung nicht unterdrücken zu dürfen.

*Ein grösster Kreis auf der Kugel schneidet  $U$  immer und zwar in den Endpunkten eines gemeinsamen Durchmessers; daher berührt seine Projection den  $U'$  in den Endpunkten eines gemeinsamen Durchmessers.*

Und umgekehrt, *jede innerhalb  $U'$  befindliche Ellipse  $E'$ , welche  $U'$  in den Endpunkten  $D', D_1'$  eines Durchmessers berührt, der dann auch für sie Durchmesser wird, ist Projection zweier grösster Kreise auf der Kugel, die sich in den Endpunkten des Durchmessers  $DD_1$  von  $U$  schneiden.* Denn die Berührungsebenen des projecirenden Cylinders, der nach  $E'$  geht, längs der Kanten  $DD', D_1D_1'$  enthalten auch die Tangenten von  $U'$  in  $D', D_1'$  und berühren deshalb die Kugel in  $D, D_1$ . Folglich zerfällt der Schnitt von Kugel und Cylinder in zwei Kreise; ist nämlich  $P$  ein Punkt dieses Schnitts, so berührt der durch  $D, D_1$  und  $P$  gehende Kreis auf der Kugel den Cylinder in  $D, D_1$  und schneidet ihn in  $P$  und ist, nach einem Kegelschnitt-Satze, mit dem Kegelschnitte identisch, welchen seine Ebene aus dem Cylinder ausschneidet. Da jede Cylinderkante noch einmal die Kugel schneidet, so hat der volle Schnitt ausser diesem Kreise noch einen zweiten Bestandtheil, der sich als ein ebenfalls durch  $D, D_1$  gehender Kreis vermittelst eines auf ihn gelegten Punktes herausstellt.

Die Punkte  $A', B'$  sind Projectionen von je zwei Punkten auf der Kugel; die auf dem sichtbaren Theile befindlichen seien  $A, B$ , die auf dem unsichtbaren  $\mathfrak{A}, \mathfrak{B}$ , und wir haben es eigentlich mit 4 grössten Kreisen zu thun, die bezw. durch  $A, B; \mathfrak{A}, \mathfrak{B}; A, \mathfrak{B}; \mathfrak{A}, B$  gehen. Die beiden ersten liegen auf demselben projecirenden Cylinder und projeciren sich in die nämliche Ellipse, und ebenso die beiden letzten. Also kommt es darauf an, *durch  $A', B'$  zwei Ellipsen zu legen, welche  $U'$  in den Endpunkten eines Durchmessers berühren.*

Indem wir noch den zu dem einen der beiden Punkte, etwa zu  $A'$ , in Bezug auf den Mittelpunkt  $M$  symmetrischen Punkt  $C'$  hinzunehmen, durch den beide Ellipsen gehen müssen, da  $M$  auch ihr Mittelpunkt ist, liegt die Aufgabe vor: *durch  $A', B', C'$  die Kegelschnitte zu legen, welche  $U'$  doppelt berühren.* Nach den Steiner-Schröter'schen Vorlesungen über synthetische Geometrie, § 52

(Nr. 256 der 3. Aufl.) giebt es deren vier, von denen aber nur zwei unserer Anforderung entsprechen. Die Berührungssehnen erhält man nach den dortigen Erörterungen folgendermassen: Auf jeder der drei Geraden  $A'B'$ ,  $A'C'$ ,  $B'C'$  ergiebt sich eine hyperbolische Involution, von der die beiden verbundenen Punkte ein Paar und die Schnitte mit  $U'$  ein zweites bilden. Von den Doppelpunkten liegt einer im Innern, der andere aussen; die äusseren seien  $G, G', G''$ , die inneren  $H, H', H''$ ; es liegen  $G, G', G''$ ;  $G, H', H''$ ;  $H, G', H''$ ;  $H, H', G''$  je in gerader Linie, und das sind die vier Berührungssehnens. Nun fällt aber  $H'$  offenbar in den Mittelpunkt  $M$ ; also sind die zweite und vierte von ihnen Durchmesser; sie führen zu den beiden Ellipsen, die wir wünschen. Diese sind dann durch die Durchmesser-Endpunkte, ihre Tangenten und die beiden Punkte  $A', B'$  mehr als nothwendig bestimmt. Aus der Lage des Berührungs-Durchmessers ist leicht zu entscheiden, ob es sich um die Projection der beiden durch  $A, B$ , bzw.  $\mathfrak{A}, \mathfrak{B}$ , oder der durch  $A, \mathfrak{B}$ , bzw.  $\mathfrak{A}, B$  gehenden grössten Kreise handelt.

154. Bei Kegeln (und Cylindern) besteht der scheinbare Umriss aus Geraden, den Projectionen derjenigen Kanten, längs deren zu den Projectionsstrahlen parallele Tangentialebenen berühren; falls solche vorhanden sind. Schneidet eine Curve auf der Kegelfläche eine derartige Kante, so entspricht dem in der Projection Berührung.

## Neunter Abschnitt.

### Axonometrie.

155. Vom Anfangspunkte  $O$  eines räumlichen Coordinatensystems kann man bekanntlich nach einem beliebigen Punkte  $P$  (in sechs Weisen) einen Coordinatenzug führen, dessen drei Bestandtheile mit den Coordinaten von  $P$  in Grösse, Richtung und Sinn übereinstimmen. Kennt man also die *Parallelprojectionen der drei Axen und die Strecken, in welche eine bestimmte Strecke, etwa die Längeneinheit, je nachdem sie auf der  $x$ -,  $y$ -,  $z$ -Axe liegt (oder ihr parallel ist), sich projecirt*, so kann man für jeden Punkt, dessen Coordinaten bekannt sind, die Projection des Zuges construiren und so zu seiner Projection gelangen. In Nr. 149 ist das für ein System geschehen, von dem zwei Axen in der Projectionsebene  $\Pi \equiv \Pi_z$  liegen, so dass zwei Theile des Zuges mit ihren Projectionen zusammenfielen und nur der dritte gezeichnet zu werden brauchte.



Lassen wir das Coordinatensystem, das wir jedoch *rechtwinklig* annehmen wollen, eine beliebige Lage zur Projectionsebene  $\Pi$  haben, so sei  $\sigma$  wieder der Winkel der Projectionsstrahlen mit  $\Pi$ ,  $\xi$ ,  $\eta$ ,  $\zeta$  diejenigen der Coordinatenachsen,  $\lambda_x$ ,  $\lambda_y$ ,  $\lambda_z$  die Winkel, welche *eine auf die drei Axen gelegte Längeneinheit* mit den Projectionsstrahlen bildet, mit der genaueren Definition, wie sie in Nr. 148 gegeben wurde, und  $q_x$ ,  $q_y$ ,  $q_z$  die *Projectionen dieser Strecke*, so ist nach der dortigen Formel:

$$q_x^2 = 1 + \frac{\sin \xi^2}{\sin \sigma^2} - 2 \cos \lambda_x \frac{\sin \xi}{\sin \sigma},$$

$$q_y^2 = 1 + \frac{\sin \eta^2}{\sin \sigma^2} - 2 \cos \lambda_y \frac{\sin \eta}{\sin \sigma},$$

$$q_z^2 = 1 + \frac{\sin \zeta^2}{\sin \sigma^2} - 2 \cos \lambda_z \frac{\sin \zeta}{\sin \sigma};$$

daher:

$$\begin{aligned} q_x^2 + q_y^2 + q_z^2 &= 3 + \frac{\sin \xi^2 + \sin \eta^2 + \sin \zeta^2}{\sin \sigma^2} \\ &\quad - 2 \frac{\cos \lambda_x \sin \xi + \cos \lambda_y \sin \eta + \cos \lambda_z \sin \zeta}{\sin \sigma}. \end{aligned}$$

$90^\circ - \xi$ ,  $90^\circ - \eta$ ,  $90^\circ - \zeta$  sind die Winkel des Lothes auf  $\Pi$  mit den Axen, daher

$$\begin{aligned} \sin \xi^2 + \sin \eta^2 + \sin \zeta^2 &= \\ &= \cos(90^\circ - \xi)^2 + \cos(90^\circ - \eta)^2 + \cos(90^\circ - \zeta)^2 = 1 \end{aligned}$$

nach bekanntem Satze und:

$$\begin{aligned} \cos \lambda_x \sin \xi + \cos \lambda_y \sin \eta + \cos \lambda_z \sin \zeta &= \\ &= \cos \lambda_x \cos(90^\circ - \xi) + \cos \lambda_y \cos(90^\circ - \eta) + \cos \lambda_z \cos(90^\circ - \zeta), \end{aligned}$$

also gleich dem Cosinus des Winkels zwischen dem Lothe und dem Projectionsstrahlen nach ebenfalls bekannter Formel aus den Elementen der analytischen Geometrie des Raumes; der ist aber  $90^\circ - \sigma$ . Und so ergibt sich:

$$q_x^2 + q_y^2 + q_z^2 = 3 + \frac{1}{\sin \sigma^2} - 2 = 2 + \cotg \sigma^2.$$

*Wird orthogonal projecirt, wie wir nun annehmen wollen, so ist:*

$$q_x^2 + q_y^2 + q_z^2 = 2$$

oder

$$\cos \xi^2 + \cos \eta^2 + \cos \zeta^2 = 2;$$

was freilich aus:  $\sin \xi^2 + \sin \eta^2 + \sin \zeta^2 = 1$  unmittelbar folgt.

Aus dieser Beziehung zwischen den drei Abkürzungs-Verhältnissen folgt, da sie  $\leq 1$  sind, dass jedes von den drei Cosinusquadraten, oder, was genügt, das grösste kleiner sein muss, als die Summe der beiden andern. Und sind  $p, q, r$  drei zu den Abkürzungs-Verhältnissen proportionale Zahlen, so gilt dieselbe Bedingung für  $p^2, q^2, r^2$ .

Aus der Beziehung und der Proportionalität folgt:

$$1 : \cos \xi : \cos \eta : \cos \zeta = s : p : q : r,$$

wo  $s = \sqrt{\frac{p^2 + q^2 + r^2}{2}}$  ist und leicht construiert werden kann.

156. Wir stellen uns nun die Aufgabe, wenn  $p, q, r$  der eben gefundenen Bedingung entsprechend gegeben sind, die Figur der Projection des Coordinatensystems zu construiren. Es seien  $A, B, C$  die Schnitte der drei Coordinatenachsen mit  $\Pi$ ,  $O'$  die Projection des Anfangspunktes  $O$ ; so steht die Ebene  $AOO'$  senkrecht auf  $\Pi$  und der  $yz$ -Ebene, also auf der Schnittlinie  $BC$ ; folglich gilt dies auch für ihre Spur  $O'A$  in  $\Pi$ ; diese ist Höhe von  $ABC$ , und  $O'B, O'C$  sind die beiden andern Höhen.

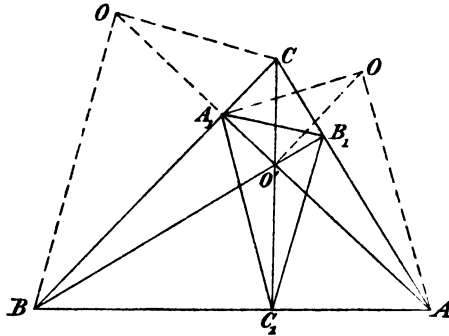


Fig. 75.

Die Projection des Anfangspunktes des Coordinatensystems ist daher Höhenpunkt des Spurendreiecks des Systems in der Projectionsebene, wofern orthogonal projectirt wird.

Das Dreieck der Höhenfusspunkte sei  $A_1, B_1, C_1$  (Fig. 75); es ist bekannt, dass  $O'$  der Mittelpunkt des ihm eingeschriebenen Kreises ist; sein Radius sei  $\rho$ .

Weil  $\triangle O'CB \sim O'B_1C_1$ , so ist  $B_1C_1 = \frac{\rho \cdot BC}{O'A_1}$ ; die beiden rechtwinkligen Dreiecke  $BOC$  und  $AOA_1$  mit den Höhen  $OA_1$  und  $OO'$  (deren Umlegungen in der Figur gezeichnet sind) liefern:

$$BC = \frac{OB \cdot OC}{OA_1}, \quad OA_1 = \frac{OO' \cdot OA}{O'A}, \quad O'A_1 = \frac{OA_1 \cdot OO'}{OA};$$

also:

$$\begin{aligned} B_1C_1 &= \rho \cdot \frac{OA \cdot OB \cdot OC}{OO'^3} \left( \frac{O'A}{OA} \right)^2 \\ &= \rho \cdot \frac{OA \cdot OB \cdot OC}{OO'^3} \cdot \cos^2 \xi; \end{aligned}$$

daher:

$$B_1 C_1 : C_1 A_1 : A_1 B_1 = \cos \xi^2 : \cos \eta^2 : \cos \zeta^2 = p^2 : q^2 : r^2;$$

woraus ebenfalls die Bedingung für  $p, q, r$  sich ergibt.

Stellt man also ein Fusspunktendreieck her, dessen Seiten dieser Proportion genügen, so geben die von den Ecken nach dem Mittelpunkt des eingeschriebenen Kreises gezogenen Strahlen die gewünschte Projection des Coordinatendreikants. Man pflegt sie dann so zu legen, dass die Projection der  $z$ -Axe vertical ist, gewöhnlich positiv nach oben, während die positive  $x$ -Axe nach rechts, die positive  $y$ -Axe nach links geht. Für  $p, q, r$  werden nicht zu grosse ganze Zahlen genommen; und die axonometrische Projection heisst *isometrisch*, *dimetrisch* (monodimetrisch),

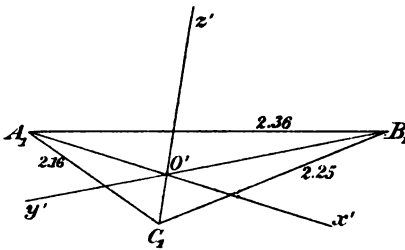


Fig. 76 a.

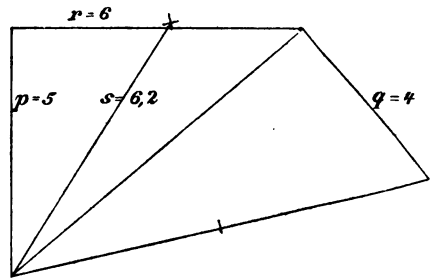


Fig. 76 b.

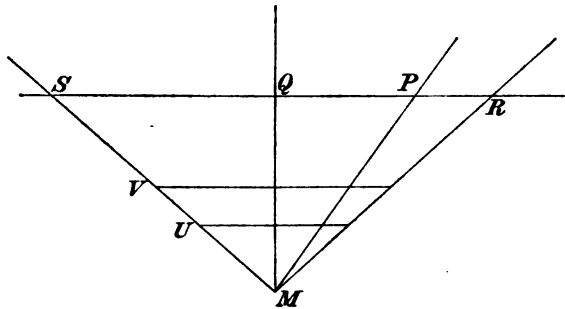


Fig. 76 c.

*trimetrisch* (anisometrisch), wenn alle drei Zahlen gleich oder nur zwei oder alle ungleich sind. Die dimetrische (7, 7, 8) führt zu  $s = 9$ ; es wäre interessant, noch andere (der obigen Bedingung genügende) Gruppierungen zu ermitteln, die zu einem rationalen  $s$  führen.

In Fig. 76 a ist die Projection des Axendreikants für  $p = 5$ ,  $q = 4$ ,  $r = 6$  construiert und in Fig. 76 b dazu  $s$  hergestellt, was nahezu 6,2 ist.

157. Um sodann die verkürzten Massstäbe zu erhalten, welche den Projectionen der Coordinaten entsprechen, ziehe man aus einem Punkte

$M$  nach einer Gerade vier Strecken  $M(P, Q, R, S)$ , die sich wie  $p:q:r:s$  verhalten, und überträgt jede auf  $MS$  gelegte Strecke durch Parallelen zu der Gerade auf  $MP, MQ, MR$ , je nachdem sie eine  $x$ -,  $y$ - oder  $z$ -Coordinate ist. Hat man viele Coordinaten zu verkürzen, so lohnt es sich, auf  $MS$  einen möglichst genauen Massstab zu legen und zu übertragen. In Fig. 76c sind diese Massstäbe für 5, 4, 6 construirt und  $SU = 4$  cm ist übertragen, so wie  $SV$ , die halbe Diagonale 2,83 cm des Quadrats über  $SU$ .

Diese Daten 5, 4, 6 sind den Figuren 77—79 zu Grunde gelegt.

Mit den verkürzten Coordinaten wird dann parallel zu den Projectionen der Axen die Projection des Coordinatenzugs jedes Punktes, den man darstellen will, construirt.

Umgekehrt kann man den Axen parallele Längen eines dargestellten Gegenstandes aus der Zeichnung mit Hilfe der verkürzten Massstäbe entnehmen.

158. Diese axonometrische Herstellung der Projection eignet sich besonders, wenn am darzustellenden Gegenstande drei zu einander rechtwinklige Richtungen sich auszeichnen und also viele den Axen parallele Längen auftreten, wodurch die Construction der Coordinatenzüge sich vereinfacht; wie vielfach bei Bauwerken, Maschinen, Polyedern (Krystallen). In Fig. 77 ist ein Archimedisches Polyeder dargestellt: das *abgestumpfte Hexaeder*, das von sechs regelmässigen Achtecken in den Hexaederflächen, von denen vier abwechselnde Seiten auf den Quadratseiten liegen, und von acht regelmässigen Dreiecken eingeschlossen ist, welche die Hexaederecken abstumpfen. Die 24 neuen Ecken erhält man, indem man auf jeder Kante des Hexaeders von beiden Endpunkten aus die halbe Quadratdiagonale aufträgt. Also handelt es sich bei der Construction nur um die zwei Längen  $SU, SV$  und ihre Verkürzungen, die oben construirt worden sind.

Die Figur zeigt, dass zwei abstumpfende Dreiecke sehr schmal zu stande kommen; so dass die Projection mit diesen Daten 5, 4, 6 einen kleinen Mangel für die Darstellung unseres Polyeders hat und

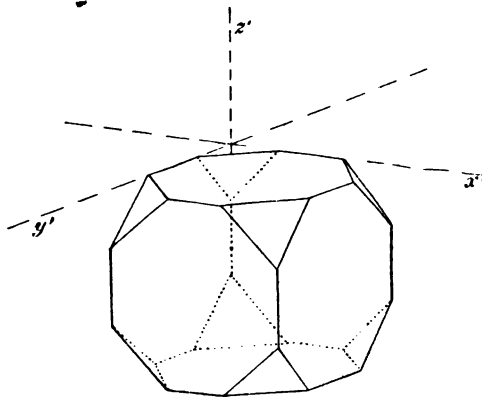


Fig. 77.

sich für die Darstellung eines Octaeders, mit dessen Flächen ja die abstumpfenden Ebenen parallel sind, nicht empfehlen würde.

Wollen wir daher z. B. dasjenige Polyeder darstellen, das durch Aufsetzen von regelmässigen Tetraedern auf die Flächen eines Octaeders entsteht, so werden wir besser andere Zahlen für  $p, q, r$  wählen, jedenfalls aber drei verschiedene; denn bei der isometrischen oder dimetrischen Projection entsteht eine symmetrische Figur, und es finden Coincidenzen von Projectionen verschiedener Kanten statt, die das Aussehen beeinträchtigen. Im übrigen hat man es bei diesem Polyeder nur mit einer einzigen Strecke und ihren Verkürzungen zu thun, nämlich der Entfernung  $c$  der Octaeder-Ecken vom Mittelpunkt; diese Ecken selbst sind unmittelbar einzutragen. Die acht andern Ecken haben alle drei Coordinaten  $\pm c$ .

Liegt von einem Gebilde Grundriss und Aufriss vor, so wird man wieder, wie in Nr. 149, dem Coordinatensystem die Lage geben, dass die  $xy$ - und die  $xz$ -Ebene in die  $\Pi_1$  und  $\Pi_2$  fallen, so dass die Co-

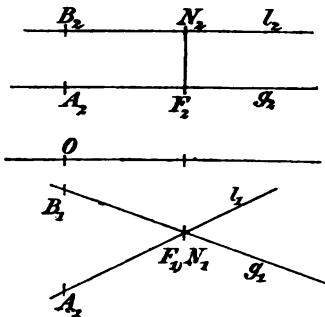


Fig. 78 a.

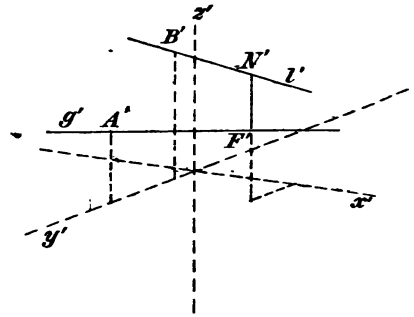


Fig. 78 b.

ordinaten aus diesen unmittelbar abgegriffen werden können. In Fig. 78a sind in Grundriss und Aufriss zwei windschiefe Geraden  $g, l$ , in der bequemen Lage: parallel zu  $\Pi_1$  (Nr. 32), und ihr kürzester Abstand  $FN$  dargestellt; Fig. 78b giebt die axonometrische Projection, bei der die Coordinatenzüge von  $A, B, F, N$  construiert und diese Punkte so gewählt sind, dass möglichste Vereinfachung statt hat. Man behandle andere Figuren der Stereometrie in ähnlicher Weise.

Fig. 79a und b, Taf. V, zeigt Grundriss und Aufriss und axonometrische Projection zweier in einander verzapfter Balken, die jedoch in letzterer auseinander genommen sind. Man entwerfe von demselben Objecte auch eine Cavalierperspective.

Von mehreren Strecken (oder Kräften) seien die Projectionen auf die Coordinatenachsen gegeben; man zeichne die axonometrische Projection ihres Polygons.

159. In einer beliebigen Ebene  $E$  haben wir ebenfalls ein Spurendreieck  $XYZ$  des Coordinatensystems; seine (axonometrische) Projection  $X'Y'Z'$  liegt zum Spurendreieck  $ABC$  in  $\Pi$  perspectiv mit  $O'$  als Centrum (Nr. 119). Die Axe der Perspectivität ist die Spur  $E\Pi$ . Denn  $BC$  und  $YZ$ , beide in der  $yz$ -Ebene gelegen, schneiden sich, und der Schnittpunkt ist, weil  $BC$  in  $\Pi$  liegt, Spur von  $YZ$  und daher auch auf  $Y'Z'$  befindlich, also auch Schnittpunkt  $(BC, Y'Z')$ ; durch ihn geht  $E\Pi$  und ebenso durch  $(CA, Z'X')$ ,  $(AB, X'Y')$ .

Rührt  $X_1'Y_1'Z_1'$  von  $E_1$  her, so sind auch  $X'Y'Z'$  und  $X_1'Y_1'Z_1'$  perspectiv, ebenfalls mit  $O'$  als Centrum, während die Projection von  $EE_1$  die Axe ist.

Es sei  $P_1$  der Grundriss von  $P$  in der  $xy$ -Ebene (Grundebene), der mit ihm in  $x, y$  übereinstimmt, während sein  $z$  null ist, so wollen wir die axonometrische Projection  $P_1'$  von  $P_1$ , die sich, wenn die Reihenfolge  $x, y, z$  gewählt wird, bei der Construction von  $P'$  ergibt, die *Grundrissprojection* von  $P$  nennen. Ersichtlich liegen  $P'$  und  $P_1'$  in derselben Verticalen. Ebenso haben wir die beiden Projectionen  $g', g_1'$  von  $g$ ; ihr Schnitt ist die Projection des Durchgangspunktes von  $g$  durch die Grundebene. Die axonometrische Projection eines ebenen Feldes und die seines Grundrisses sind *affin*; die Affinitätsstrahlen sind vertical; Axe ist die Projection der Schnittlinie der Ebene des Feldes mit der Grundebene.

Wir wollen in der Grundebene (oder allgemeiner in einer Ebene, welche die Stellung einer Coordinatenebene hat) rechte Winkel construiren. Man trage auf der Projection der  $x$ -Axe die Strecken  $O'A', O'A_1'$  nach beiden Seiten und auf der der  $y$ -Axe die Strecke  $O'B'$  auf, so dass sie sich wie  $p:p:q$  verhalten, also  $OA = OA_1 = OB$  ist. Wenn  $D'$  auf  $A'B'$  liegt,  $F'$  so auf dieser Gerade construirt wird, dass  $A'F' = D'B'$  (und  $F'B' = A'D'$ ), und  $F'E' \parallel A'A_1'$  gezogen wird bis  $A_1'B'$ , so ist  $D'O'E'$  Projection eines rechten Winkels; und wenn die Projection des einen Schenkels eines rechten Winkels in der Grundebene (oder einer Parallelebene) zu  $O'D'$  parallel ist, so ist die des andern zu  $O'E'$  parallel.

Von einer Ebene  $E$  sei  $s$  die Spur in  $\Pi$  und  $s_1'$  die Projection ihrer Spur  $s_1$  in der Grundebene, also die obige  $X'Y'$ . Ist  $P = (P', P_1')$  ein Punkt, so führt man, wenn  $g$  durch  $P$  senkrecht zu  $E$  gezogen werden soll,  $g'$  durch  $P'$  *geometrisch* senkrecht zu  $s$  und  $g_1'$  durch  $P_1'$  nach der eben geschilderten Construction *projectiv* senkrecht zu  $s_1'$  (Nr. 59).

160. Als *Fundamentalsatz der Axonometrie* (Satz von Pohlke) wird der Satz bezeichnet, der die Möglichkeit ausspricht, ein Tetraeder  $ABCD$  in ein vollständiges Viereck parallel zu projiciren, welches einem

gegebenen  $A_1B_1C_1D_1$  ähnlich ist. Wir wollen uns begnügen, die Frage in eine einfachere umzuformen.

Es seien

$$Q_1 = (A_1B_1, C_1D_1), \quad R_1 = (B_1C_1, A_1D_1), \quad S_1 = (A_1C_1, B_1D_1)$$

die drei Diagonalepunkte von  $A_1B_1C_1D_1$ ; man construirt dann auf den Kanten  $AB, CD, BC, AD, AC, BD$  des Tetraeders die Punkte  $Q, Q', R, R', S, S'$ , welche sie nach denselben Verhältnissen theilen, wie jene Diagonalepunkte die gleichnamigen Seiten des Vierecks. Dann lässt sich beweisen, dass die drei Verbindungslinien  $QQ', RR', SS'$  oder  $q, r, s$  parallel sind. Den von ihnen gebildeten prismatischen Raum hat man nun in einem mit  $Q_1R_1S_1$  ähnlichen Dreieck  $Q_2R_2S_2$  zu schneiden, was, da der Normalschnitt  $\Omega\mathfrak{H}\mathfrak{S}$  des Raumes als bekannt anzunehmen ist, sich leicht in die Aufgabe umwandeln lässt,  $Q_1R_1S_1$  orthogonal in ein Dreieck zu projiciren, welches dem  $\Omega\mathfrak{H}\mathfrak{S}$  ähnlich ist. Auf diese Aufgabe ist somit die gegebene zurückgeführt.

Ist  $Q_2R_2S_2$  gefunden, so giebt es nur ein Viereck  $A_2B_2C_2D_2$ , für welches  $Q_2, R_2, S_2$  Diagonalepunkte sind, und zwar so, dass sie die Seiten von  $A_2B_2C_2D_2$  nach denselben Verhältnissen theilen, wie die Ecken des ähnlichen Dreiecks  $Q_1R_1S_1$  die von  $A_1B_1C_1D_1$ .

Das Viereck  $A_2B_2C_2D_2$  ist dem  $A_1B_1C_1D_1$  ähnlich.\*)

Das Coordinaten-Dreikant  $D(A, B, C)$  ist dann in den Dreistrahl  $D_2(A_2, B_2, C_2)$  projicirt, der zu  $D_1(A_1, B_1, C_1)$  ähnlich oder, wenn es sich blos um die Strahlen handelt, congruent ist.

Jene Aufgabe löst man vermittelst der Affinität folgendermassen: Es sei  $Q_0R_0S_0$  das gegebene zu projicirende Dreieck, in die Projectionsebene  $\Pi$  gelegt, und mit  $Q'R_0S_0$  soll die Projection ähnlich sein. Der Kreis durch  $Q_0$  und  $Q'$ , welcher seinen Mittelpunkt auf  $R_0S_0$  hat, schneide diese Gerade in  $T_0$  und  $U$ , so dass  $UQ_0T_0$  und  $UQ'T_0$  rechte Winkel sind. Bei  $U$  sei  $\sphericalangle Q_0UT_0 > \sphericalangle Q'UT_0$ ; während  $Q_0T_0U < Q'T_0U$ . Man mache  $\sphericalangle Q_0UT_1 = \sphericalangle Q'UT_0$ , wo  $T_1$  auf  $Q_0T_0$  liegt, suche in der Affinität, von welcher  $UQ_0$  die Axe und  $T_0$  und  $T_1$  entsprechende Punkte sind, die den  $R_0, S_0$  entsprechenden Punkte  $R_1, S_1$  (auf  $UT_1$ );  $Q_1$  deckt sich mit  $Q_0$ . Die ganze Figur  $UQ_1R_1S_1T_1$  ist ähnlich der  $UQ'R_0S_0T_0$ , also insbesondere ist  $\triangle Q_1R_1S_1 \sim \triangle Q'R_0S_0$ . Folglich muss das gegebene Dreieck in einer Ebene liegen, deren Spur in  $\Pi$  die Gerade  $UQ_0$  (oder zu ihr parallel) und deren Neigungswinkel  $\alpha$  gegen  $\Pi$  gegeben ist durch:  $\cos \alpha = \frac{Q_1T_1}{Q_0T_0}$ .

\*) Weiteres sehe man in Reye's Aufsatz in Bd. XI der Vierteljahrsschrift der Naturforschenden Gesellschaft in Zürich.

## Zehnter Abschnitt.

## Schatten und Beleuchtung.

161. Es ist schon mehrfach gelegentlich bemerkt worden, dass, der *Schatten*, der von einem Punkte, einer Linie auf eine Ebene geworfen wird, nichts anderes ist, als die Projection des Punktes, der Linie aus dem endlichen oder unendlich fernen Lichtpunkte; und auf leuchtende *Punkte* wollen wir unsere Betrachtung beschränken.

*In dem Punkte, in dem eine Gerade, nöthigenfalls verlängert, die auffangende Ebene trifft, begegnet sie sich mit dem ebenfalls eventuell verlängerten Schatten; ist sie zur Ebene parallel, so ist ihr Schatten mit ihr parallel. Eine zur auffangenden Ebene normale Gerade wirft auf sie Schatten, der durch die Orthogonalprojection des leuchtenden Punktes auf die Ebene geht, bezw., wenn dieser unendlich entfernt ist, der Orthogonalprojection der Lichtstrahlen parallel ist; oder allgemeiner, wenn die Gerade beliebig gerichtet ist, so hat man den leuchtenden Punkt, bezw. die Lichtstrahlen in ihrer Richtung zu projeciren.*

162. Wenn der leuchtende Punkt unendlich fern ist, so ist auf den parallelen Lichtstrahlen der Sinn des Lichtes anzugeben; nur der unendlich ferne Punkt auf der einen Seite ist leuchtend. Trifft ein Lichtstrahl, vom leuchtenden Punkte aus durchlaufen, auf einen Körper, so hört seine Fähigkeit, Licht zu bringen, auf; der Treffpunkt befindet sich auf der *beleuchteten Seite* der Oberfläche des Körpers. Der nächste Schnittpunkt des Lichtstrahls mit der Oberfläche befindet sich in dem *Eigenschatten* des Körpers (*ombre propre*). Trifft dann weiter derselbe Lichtstrahl zum ersten Male die Oberfläche eines zweiten Körpers, so haben wir einen Punkt innerhalb des *Schlagschattens*, den der erste auf den zweiten wirft, und ein zweiter Schnittpunkt gehört dann wieder dem Eigenschatten des zweiten Körpers an. Es könnte sein, dass diese beiden Punkte dritter und vierter Schnitt mit der Oberfläche des ersten Körpers sind, so dass jener dem Schlagschatten angehört, den der erste Körper auf sich selber wirft. Doch mit derartigen Körpern, deren Oberfläche von einer Gerade mehr als zweimal getroffen werden kann, wollen wir uns nicht beschäftigen.

Vereinigen sich die beiden Schnitte mit der Oberfläche des ersten Körpers, so *berührt* der Lichtstrahl dieselbe oder, wenn der Körper ebenflächig ist, *streift* sie auf einer Kante, d. h. trifft diese, ohne jedoch in das Innere einzudringen. Bei einer gekrümmten Oberfläche, beispielsweise einer Kugel, sind solche Lichtstrahlen die Kanten des ihr aus dem leuchtenden Punkte umgeschriebenen Berührungskegels



bezw. -cylinders, und die Berührungscurve — der wahre Umriss, wenn aus dem leuchtenden Punkte projecirt wird — bildet *die Trennungslinie zwischen dem beleuchteten Theile der Oberfläche und dem Eigenschatten*, die sogenannte *Schattengrenze*. Bei einem Polyeder besteht sie aus einem geschlossenen Zuge von Kanten.

Der Schatten, den diese Linie auf den zweiten Körper wirft, bildet *den Umriss des Schlagschattens* auf dessen Oberfläche. Berührt oder streift ein nach einem Punkte dieses Umrisses gehender Lichtstrahl in ihm die Oberfläche dieses Körpers, also auf dessen Schattengrenze, so verlässt der Schlagschatten diese Oberfläche, um abspringend auf der eines andern Körpers sich fortzusetzen.

Schlagschatten fällt auf den Theil der Oberfläche des zweiten Körpers, der beleuchtet sein würde, wenn der erste nicht da wäre, und der Schlagschattenumriss, soweit er auf der Oberfläche des zweiten zu stande kommt, theilt diesen Theil von neuem in zwei Theile, einen, der beleuchtet bleibt, und einen andern, der durch den Schlagschatten verdunkelt wird.

163. Bei einer Darstellung in Grundriss und Aufriss *werden die beiden Projections-Halbebenen  $\Pi_1^+$  und  $\Pi_2^+$  auch als Schatten auf-fangend angesehen*. Ein Hauptgrund für die Einführung des Schattens ist, dass auch aus ihm auf die Gestalt der dargestellten Objecte geschlossen werden kann und so die Anschaulichkeit der Darstellung erhöht wird. Dazu tragen die auf jene Halbebenen geworfenen Schatten mit bei.  $\Pi_1^-$  wird durch  $\Pi_2^+$ ,  $\Pi_2^-$  durch  $\Pi_1^+$  verdeckt.

Es ist allgemeiner Gebrauch, *bei parallelem Lichte den unendlich fernen Lichtpunkt links vorn oben so anzunehmen, dass die Projectionen  $l_1, l_2$  eines Lichtstrahls beide mit der Axe einen Winkel von  $45^\circ$  bilden* und  $l_1$  von links vorn,  $l_2$  von links oben kommt. Die beiden Spuren von  $l$  liegen dann — bei vereinigten  $\Pi$  — auf derselben Parallele zur Axe, und es befindet sich nur eine von ihnen in einer positiven Halbebene. Diese wird Schlagschatten eines auf  $l$  befindlichen Punktes, falls nicht schon vorher ein anderer Körper getroffen wird. Die andere wird „virtueller“ Schatten, der aber für die Construction oft erforderlich ist.

164. Entwirft man den Schatten aller Kanten eines Polyeders auf eine der Projectionsebenen, unbekümmert, ob auch alle diese Schatten zu stande kommen, so erhält man, ähnlich wie in Nr. 107, ein Netz von Figuren, das aus zwei übereinander lagernden „Blättern“ besteht; das obere Blatt entspricht den beleuchteten Flächen, das untere den im Eigenschatten befindlichen. Die Schatten der Kanten, aus denen die Trennungslinie besteht, bilden den Umriss der ganzen Schatten-

figur, welcher den Uebergang vom obern zum untern Blatt vermittelt. *Dadurch wird im allgemeinen die Trennungslinie am einfachsten festgestellt.*

In Fig. 80 (Taf. VII) z. B. lehrt der Schlagschattenumriss auf  $\Pi_1$ , dass  $ABED$  die Schattengrenze ist und der beleuchteten Seite  $ABE$  und  $DAE$  angehören.

Man bestimme für das in Fig. 51 gezeichnete Dodecaeder die Schattengrenze und den auf  $\Pi_1+$  und  $\Pi_2+$  geworfenen Schatten.

Es habe von den zwei Endpunkten  $D, E$  einer Kante (Fig. 80)  $D$  auf  $\Pi_1+$  einen wirklichen Schatten  $D'$ , also einen virtuellen  $D''$  auf  $\Pi_2-$ , dagegen  $E$  einen wirklichen  $E''$  auf  $\Pi_2+$  und einen virtuellen  $E'$  auf  $\Pi_1-$ , dann schneiden sich  $D'E'$  und  $D''E''$  auf der Axe  $a$ , in dem Punkte  $T$ , in dem sie von der durch  $DE$  parallel den Lichtstrahlen gelegten Ebene geschnitten wird; Schatten von  $DE$  ist die gebrochene Linie  $D'TE''$ . Der Schlagschatten, den die Pyramide  $ABCDE$  auf beide Halbebenen wirft, ist  $A'B'UE''TD'$ .

165. Wir wollen den Schatten von folgendem zusammengesetzten Körper construiren. Ein quadratisches Prisma  $ABCD\mathfrak{A}\mathfrak{B}\mathfrak{C}\mathfrak{D}$  (Fig. 81, Taf. VII) steht auf der Projectionsebene  $\Pi_1$ ; auf seiner Deckfläche steht eine abgestumpfte Pyramide  $EFG\mathfrak{E}\mathfrak{F}\mathfrak{G}$  mit einem gleichseitigen Dreiecke als Grundfläche und auf deren Deckfläche liegt ein Prisma  $HIKLMN\mathfrak{H}\mathfrak{I}\mathfrak{K}\mathfrak{L}\mathfrak{M}\mathfrak{N}$  über einem regelmässigen Sechsecke; alle sechs horizontalen Flächen haben ihre Mittelpunkte in derselben Verticale. Es sollen die Schlagschatten gezeichnet werden, die alle auf die Projectionsebenen und die höheren auf die niedrigeren werfen. Die verticalen Kanten der beiden Prismen werfen auf  $\Pi_1$  Schatten, welche zu  $l_1$  parallel sind; da nun die Geraden von der Richtung  $l_1$  durch  $B, D, K_1, N_1$  die ersten Projectionen der Prismen streifen, so erhellt, dass  $B\mathfrak{B}, D\mathfrak{D}, K\mathfrak{K}, N\mathfrak{N}$  zu den Schattengrenzen derselben gehören; daher ist ersichtlich  $B\mathfrak{B}\mathfrak{C}\mathfrak{D}DA$  die Schattengrenze des untern Prismas und  $K\mathfrak{K}\mathfrak{L}\mathfrak{M}\mathfrak{N}NHI$  diejenige des obern. Wir construiren also den auf die Projectionsebenen geworfenen Schatten dieser Linien, die Schlagschattenumrisse, die vollständig zu stande kommen würden, wenn nicht die andern Körper da wären. Der erste dieser Umriss fällt auf  $\Pi_1+$  und ist  $B\mathfrak{B}'\mathfrak{C}'\mathfrak{D}'DA$ , der andere fällt auf  $\Pi_2+$  und ist  $K''\mathfrak{K}''\mathfrak{L}''\mathfrak{M}''\mathfrak{N}''N''H''I''$ . Es muss  $\mathfrak{B}'\mathfrak{C}' \# BC$ ,  $\mathfrak{C}'\mathfrak{D}' \# CD$  sein, und im andern Umriss sind jede zwei Gegenseiten gleich und parallel. Nun entwerfen wir die Schatten der drei Seitenkanten der Pyramide; sie sind in  $\Pi_1$ :  $E'\mathfrak{E}', F'\mathfrak{F}', G'\mathfrak{G}'$ ; da sie die Axe bei  $e, f, g$  schneiden, so wird jeder dieser Schlagschatten gebrochen, bezw. noch  $\mathfrak{E}'', \mathfrak{F}'', \mathfrak{G}''$ . Die Lage der Linien lehrt, dass  $F'f'\mathfrak{F}'', G'g'\mathfrak{G}''$  zum

Umriss gehören, und also  $F\mathfrak{F}$ ,  $G\mathfrak{G}$  zur Schattengrenze.  $E\mathfrak{E}$  befindet sich auf der beleuchteten Seite und keine Seitenkante der Pyramide innerhalb des Eigenschattens. Man wird bei einer Pyramide mit mehr Kanten den Schatten der Spitze in der Ebene der Grundfigur construierend und von ihm an diese die streifenden Geraden ziehend, so die zur Schattengrenze gehörigen Seitenkanten feststellen; von den im Eigenschatten befindlichen Seitenkanten hat man nicht nothwendig, die Schatten zu zeichnen. Dass man sich bei unserer Pyramide nicht mit den Schatten der Grund- und Deckfigur zu beschäftigen braucht, bedarf wohl keiner Erörterung.

Nun sehen wir, dass der Schatten von  $F\mathfrak{F}$  in  $O'$  sich mit dem von  $\mathfrak{B}\mathfrak{C}$  schneidet; dies lehrt, dass der nach  $O'$  gehende Lichtstrahl die Kante  $\mathfrak{B}\mathfrak{C}$  streift. Wir gehen, entgegengesetzt dem Sinne des Lichts, von  $O'$  nach dem Streifpunkte  $O$  zurück und zwar, weil  $O'$  auf  $\Pi_1$  geworfen ist, in dieser Projectionsebene, und erkennen, dass der Schatten von  $F\mathfrak{F}$  zunächst auf die Deckfläche des untern Prismas fällt, längs  $FO$ , bei  $O$  auf die Projectionsebene abspringt nach  $O'$  und längs  $O'f\mathfrak{F}''$  verläuft, jedoch nicht wirklich bis  $\mathfrak{F}''$  reicht, wie wir gleich sehen werden. Ingleichen läuft der Schatten von  $G\mathfrak{G}$  zunächst auch auf jener Deckfläche von  $G$  nach  $P$ , um da nach  $P'$  auf  $\Pi_1^+$  abzuspringen.

Der Umriss des Schlagschattens des oberen Prismas schneidet die Schatten von  $G\mathfrak{G}$ ,  $E\mathfrak{E}$ ,  $F\mathfrak{F}$ , und zwar die auf  $\Pi_2^+$  fallenden Theile, in  $Q''$ ,  $R''$ ,  $T''$ . Dies lehrt, dass derjenige Theil der Schattengrenze dieses Prismas, der dem Theile  $Q''R''T''$  des Umrisses entspricht, nicht auf  $\Pi_2^+$ , sondern auf die beleuchtete Seite der Pyramide Schatten wirft. Wir gehen also, zunächst in der zweiten Projection, in der Richtung der Lichtstrahlen zurück zu den Punkten  $Q$ ,  $R$ ,  $T$  auf den Kanten  $G\mathfrak{G}$ ,  $E\mathfrak{E}$ ,  $F\mathfrak{F}$ . Aber zwischen  $R''$  und  $T''$  befindet sich die Ecke  $I''$ ; also muss auch der auf die Fläche  $E\mathfrak{E}F\mathfrak{F}$  fallende Schatten gebrochen sein. Wir schneiden  $R''I''$  mit  $\mathfrak{F}''f$  und  $T''I''$  mit  $\mathfrak{E}''e$  in  $S''$  und  $U''$ , übertragen diese Punkte in der Lichtrichtung auf  $F\mathfrak{F}$  und  $E\mathfrak{E}$  nach  $S$  und  $U$ ; der gesuchte Brechungspunkt  $I^*$  ist der Schnitt von  $RS$  und  $TU$ ; seine Verbindungslinie mit  $I''$  ist den Lichtstrahlen parallel, was man controlliren. Die erste Projection dieses Schattenzuges  $QRI^*T$ , durch Herablotheten erhalten, ist unsichtbar, zieht sich dicht an  $\mathfrak{G}_1\mathfrak{E}_1\mathfrak{F}_1$  hin und bringt die Brechungsstelle kaum zur Erscheinung.

Sonach besteht der ganze Schlagschatten-Umriss aus vier Linien, der eben erwähnten Linie  $QRI^*T$  auf dem Pyramidenmantel, den beiden

Geraden  $FO$ ,  $GP$  auf der Deckfläche des untern Prismas und dem auf die Projectionsebenen fallenden Schatten

$$BB' O' f T'' K'' R'' S'' M'' N'' H'' Q'' g P' D' D.$$

166. *Endlich möge der perspectivischen Zeichnung Fig. 71 (Taf. VI) noch Schatten hinzugefügt werden.* Paralleles Licht wird durch den Fluchtpunkt  $L'$  der Lichtstrahlen dargestellt. Wenn eine verticale Gerade auf eine horizontale Ebene Schatten wirft, so fällt der Fluchtpunkt des Schattens auf die Horizontale und ist der Schnitt  $L_1'$  derselben mit der Verticale durch  $L'$ ; denn diese ist die Fluchtgerade der Ebene, welche durch die verticale Gerade parallel den Lichtstrahlen geht und den Schatten in die horizontale Ebene schneidet. Wir nehmen von links vorn oben einfallendes Licht und haben daher  $L'$  und  $L_1'$  rechts zu zeichnen,  $L'$  unter der Horizontale. Nur  $L_1'$  ist in der Figur vorhanden,  $L'$  liegt zu tief, ist aber gegeben durch die Verticale von  $L_1'$  und die durch  $Q'$  gehende Gerade  $b'$ , das Bild des Lichtstrahls durch  $Q$ . Zur Schattengrenze gehört ersichtlich  $PQ$ . Sie wirft zunächst auf die Grundebene Schatten, dessen Bild von  $P'$  nach  $L_1'$  flieht. Er reicht nur bis zur unteren Kante der ersten Stufe, bis  $B$ ; nun wirft die verticale Linie auf eine verticale Ebene Schatten; dieser und sein Bild  $B'C'$  sind vertical;  $C'E'$  flieht wieder nach  $L_1'$ . Der Endpunkt  $E'$  ergibt sich aber durch einen schleifenden Schnitt und bedarf einer Controlle, die bei der nächsten Stufe in gleicher Weise vorzunehmen ist. Die beiden Schatten  $PB$ ,  $CE$  sind parallel und gleich; projeciren wir daher ihre Bilder aus einem Fluchtpunkte auf  $a$ , etwa  $F'$ , auf die Horizontalen durch  $P'$ ,  $H'$ , die Bilder der Schnitte der beiden horizontalen Ebenen, in denen  $PB$ ,  $CE$  liegen, mit der Frontebene durch  $PQ$ , so müssen gleichlange Strecken sich ergeben.

Wir setzen die obige Construction fort, bis wir mit  $G'$  auf die  $b'$  gelangen.  $G$  ist der Schatten von  $Q$ , und schattenwerfend ist nunmehr die Kante  $QX$ , welche  $F'$  zum Fluchtpunkt hat. Die verticale Ebene, in welcher zuletzt der Schatten verlief, wird von  $QX$  in  $Y$  getroffen; nach  $Y$  muss also der weitere Schatten  $GM$  verlängert gehen. Der Schatten auf der nächsten horizontalen Ebene ist der schattenwerfenden Linie parallel, also geht — das sehr kurze — Bild  $M'I'$  nach  $F'$ , um dann wieder auf der folgenden verticalen Ebene nach dem zu  $Y$  analogen Punkte gerichtet zu sein ( $J'K'$ ). Nun kommt der Schatten auf einer unsichtbaren Stufe, der jedoch gezeichnet werden muss, weil nachher wieder sichtbarer Schatten kommt. Der sehr kurze unsichtbare Schatten flieht im Bilde ( $K'S'$ ) nach  $F'$ ; er ist zu begrenzen auf der hinteren Kante der horizontalen Stufenfläche, deren

(unsichtbares) Bild durch einige Striche angedeutet ist. Schliesslich sind wir in einer durch  $X$  gehenden verticalen Ebene angelangt und haben den — zunächst noch eine kleine Strecke unsichtbaren — Schatten nach  $X$  zu ziehen. Die Schattenlinie ist also von  $G$  ab:  $G M J K S X$ .

Es verbleibt noch der Schatten, den der rechte Pfeiler auf die Grundebene wirft. Die Kante  $UN$  wirft einen Schatten, der im Bilde nach  $L_1'$  flieht, und bis zum Schnitte mit dem Lichtstrahle durch  $N$  reicht; die horizontale Kante  $NO$  wirft einen Schatten, dessen Bild  $F''$  zum Fluchtpunkte hat; er reicht bis zum Lichtstrahle durch  $O$ . Nehmen wir an, dass auch die verticale Kante durch  $O$  auf die Grundebene Schatten wirft; er geht vom Endpunkte des vorigen nach dem Fusspunkte der Kante; und sein Bild hat  $L_1'$  zum Fluchtpunkte.

167. Hinsichtlich der *Beleuchtung* wollen wir uns auf folgende Bemerkungen beschränken. Ein cylindrischer Bündel paralleler Lichtstrahlen treffe auf einer zu ihm schrägen Ebene eine Fläche vom Inhalte  $f$  und auf einer zu ihm normalen Ebene eine Fläche vom Inhalte  $f_1$ ; da  $f_1$  Orthogonalprojection von  $f$  ist, so folgt:  $f_1 = f \sin \alpha$ , worin  $\alpha$  der Winkel der Lichtstrahlen mit der ersteren Ebene, also  $90^\circ - \alpha$  derjenige beider Ebenen ist. Die Intensitäten der Beleuchtung verhalten sich daher umgekehrt wie die Flächen, über welche sich dieselbe Lichtmenge ausbreitet; ist also  $i_0$  die Intensität der Beleuchtung auf der normalen,  $i$  die auf der schrägen Ebene, so gilt die *Beziehung*:

$$i = i_0 \sin \alpha = i_0 \cos \beta,$$

wo  $\beta$  der Winkel des Lothes auf der schrägen Ebene mit den Lichtstrahlen ist. Wie dieser Winkel  $\alpha$  oder  $\beta$  für die dem beleuchteten Theile der Oberfläche eines Polyeders angehörigen Flächen in der kürzesten Weise ermittelt werden kann, ist in Nr. 84 besprochen.

Eine krumme Oberfläche hat in jedem Punkte des beleuchteten Theils die Intensität, welche seiner Berührungsebene zukommt, da die unmittelbare Umgebung des Punktes auf der Fläche in dieser befindlich angesehen werden kann. Die Curven, welche durch die Punkte gleicher Beleuchtungsstärke gebildet werden, heissen *Isophoten*; die grösste oder normale Intensität  $i_0$  ist nur durch einzelne Punkte vertreten; der Schattengrenze oder Trennungslinie entspricht  $i = 0$ .

Man nimmt  $i_0$  gewöhnlich  $= 1$  und construirt dann die Isophoten, welche den Werthen

$$\frac{9}{10}, \frac{8}{10}, \dots, \frac{1}{10}, 0$$

von  $i$  zugehören. Ist  $i$  die so gemessene Intensität, so umhüllen auf der Kugel die Berührungsebenen, welche die Neigung  $\alpha = \arcsin i$  gegen die Lichtstrahlen haben, einen Rotationskegel, dessen Spitze auf dem den Lichtstrahlen parallelen Durchmesser  $d$  in der Entfernung

$\frac{r}{\sin \alpha} = \frac{r}{i}$  vom Mittelpunkte  $M$  liegt; der Berührungskreis, die zu  $i$

gehörige Isophote, liegt in einer zu  $d$  senkrechten Ebene, hat seinen Mittelpunkt auf  $d$  in der Entfernung  $ri$  von  $M$  und sein Radius ist  $r\sqrt{1-i^2}$ . Wegen der gleichen Lage der Lichtstrahlen zu den Pro-

jectionsebenen (Nr. 163) sind die beiden Projections-Ellipsen congruent, die in  $\Pi_1$  hat ihren Mittelpunkt auf  $d_1$  in der Entfernung  $ri \cos \lambda$  von  $M_1$ , wo  $\lambda$  der Winkel der Lichtstrahlen gegen die beiden Pro-

jectionsebenen ist:  $\operatorname{tg} \lambda = \sin 45^\circ$ ,  $\cos \lambda = \sqrt{\frac{2}{3}}$ ,  $\sin \lambda = \sqrt{\frac{1}{3}}$ .

Die kleine Axe fällt auf  $d_1$  und die Halbaxen sind  $r\sqrt{1-i^2}$  und  $r\sqrt{1-i^2} \cdot \sin \lambda$ . Die doppelte Berührung mit dem scheinbaren Umrisskreise, deren Sehne zur grossen Axe parallel ist, wird erst reell,

wenn  $i < \sqrt{\frac{2}{3}} = 0,81\dots$  ist. Die zweite Projection verhält sich

ebenso zu  $d_2$  und  $M_2$ .

$i = 1$  führt zu einem Punkte, dem dem Lichte zugewandten Endpunkte von  $d$ .











Fig. 9. a.

Nº 25.

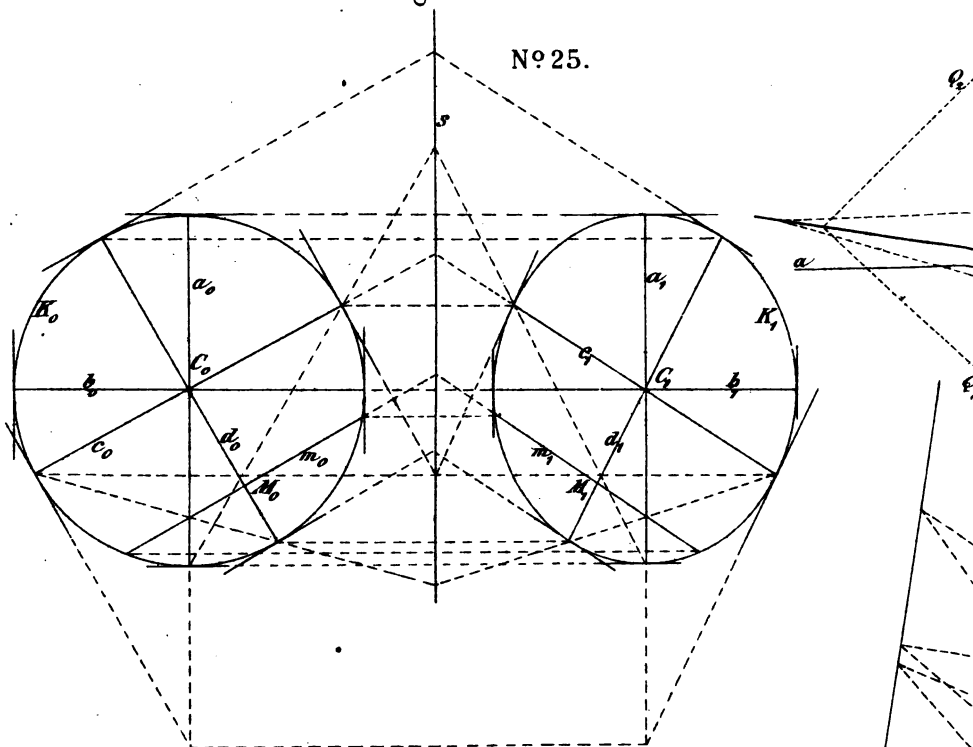


Fig. 9. b.

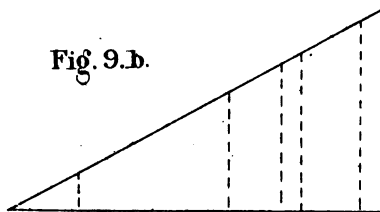
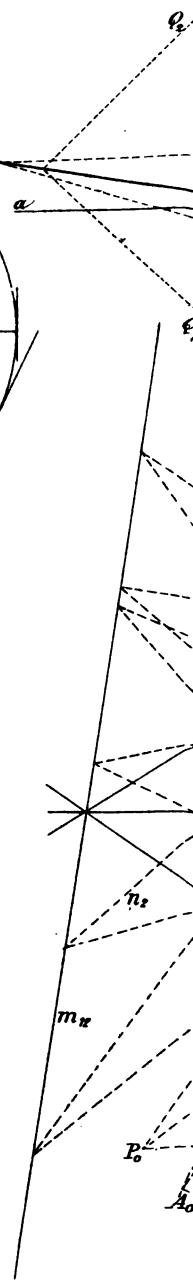
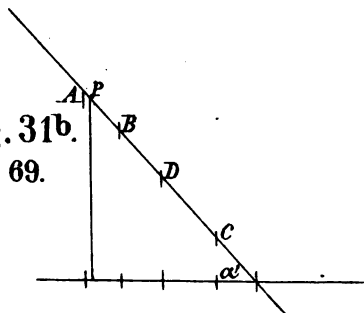
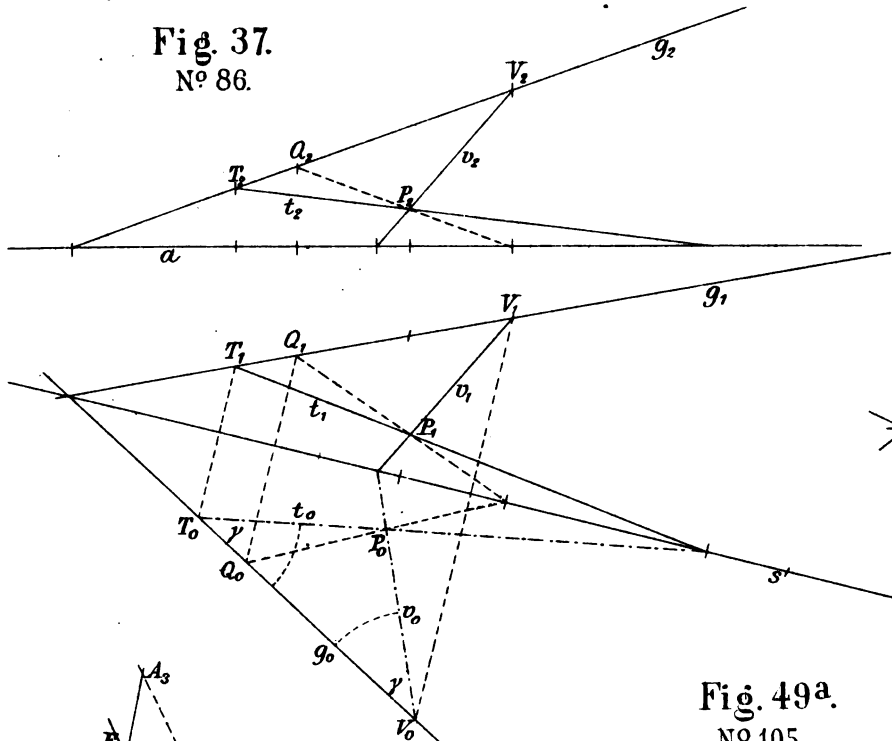


Fig. 31b.  
Nº 69.





**Fig. 37.**  
**Nº 86.**



**Fig. 49a.**  
№ 105.

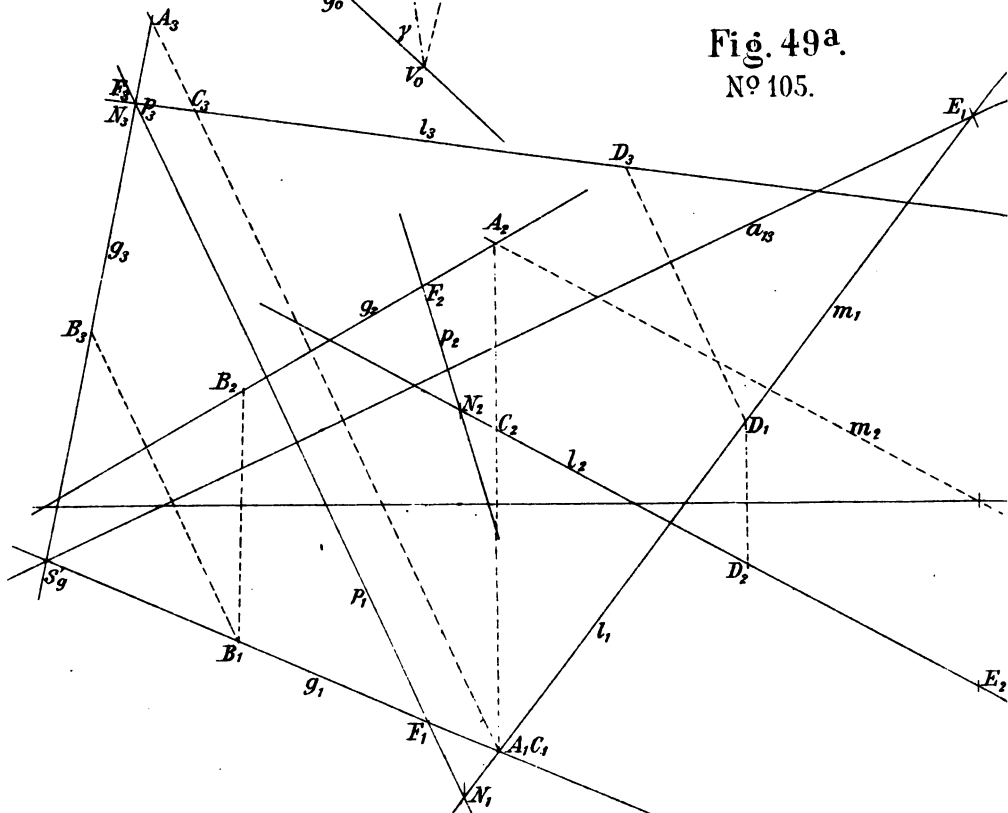




Fig. 37.  
Nº 86.

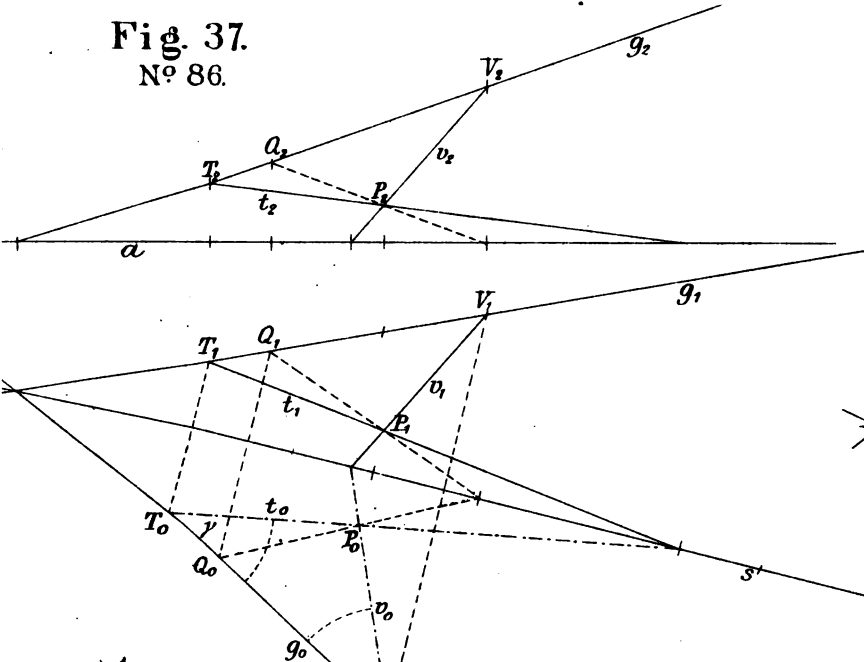


Fig. 49a.  
Nº 105.

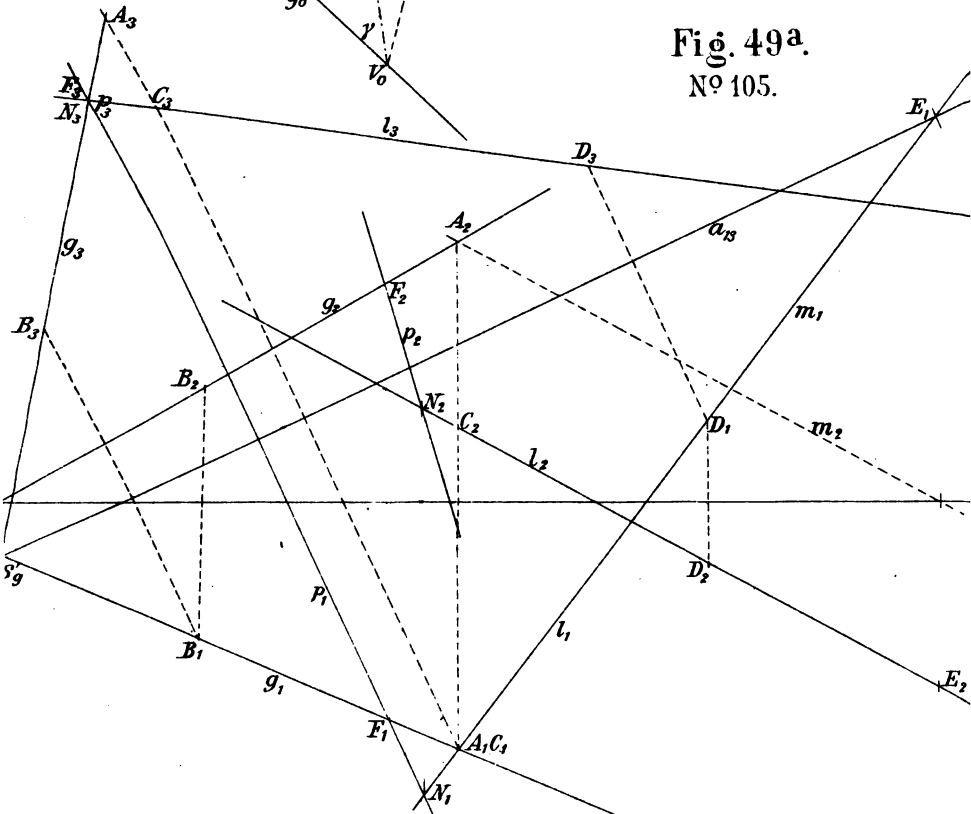
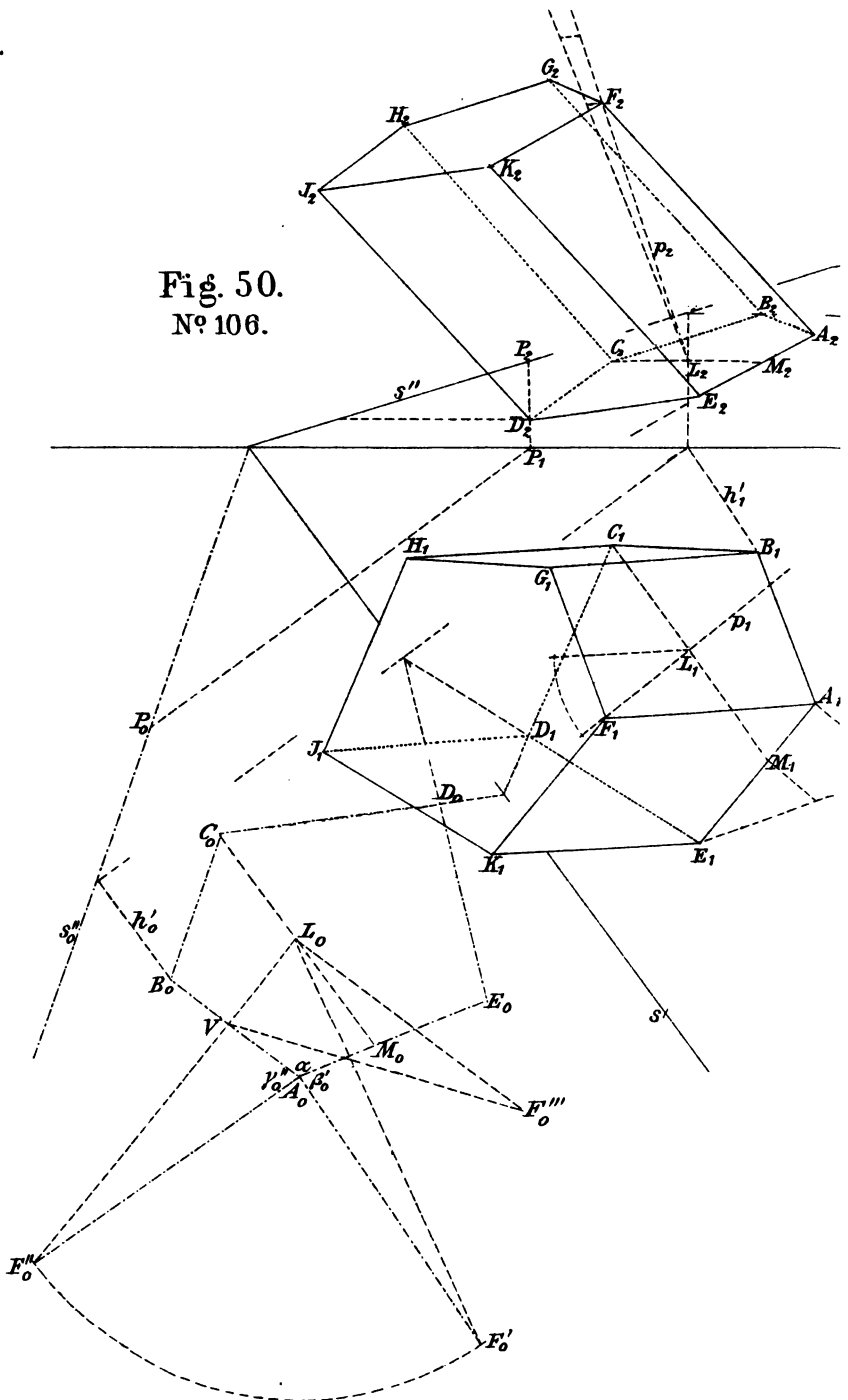




Fig. 50.  
N<sup>o</sup> 106.







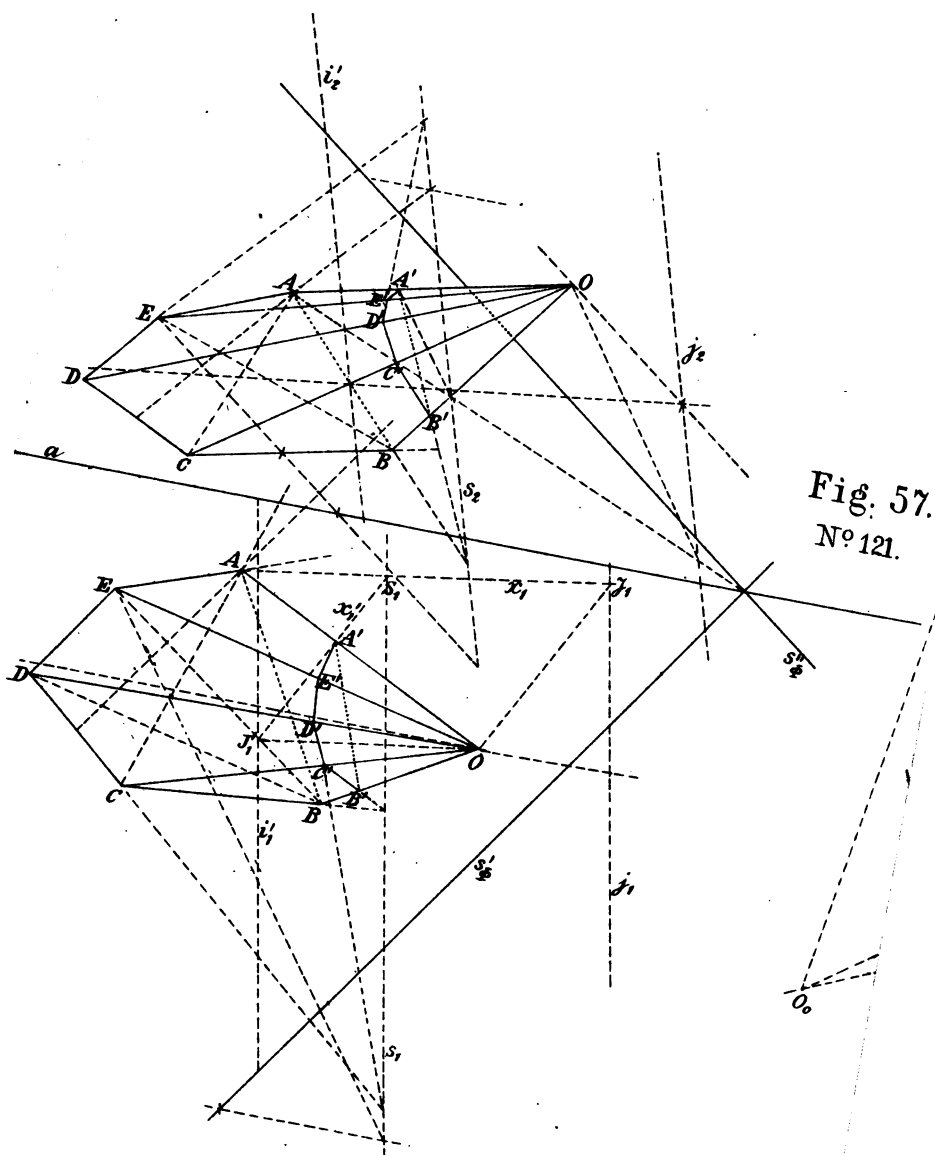


Fig. 57.  
N° 121.



Fig. 60.  
Nº 125-126.

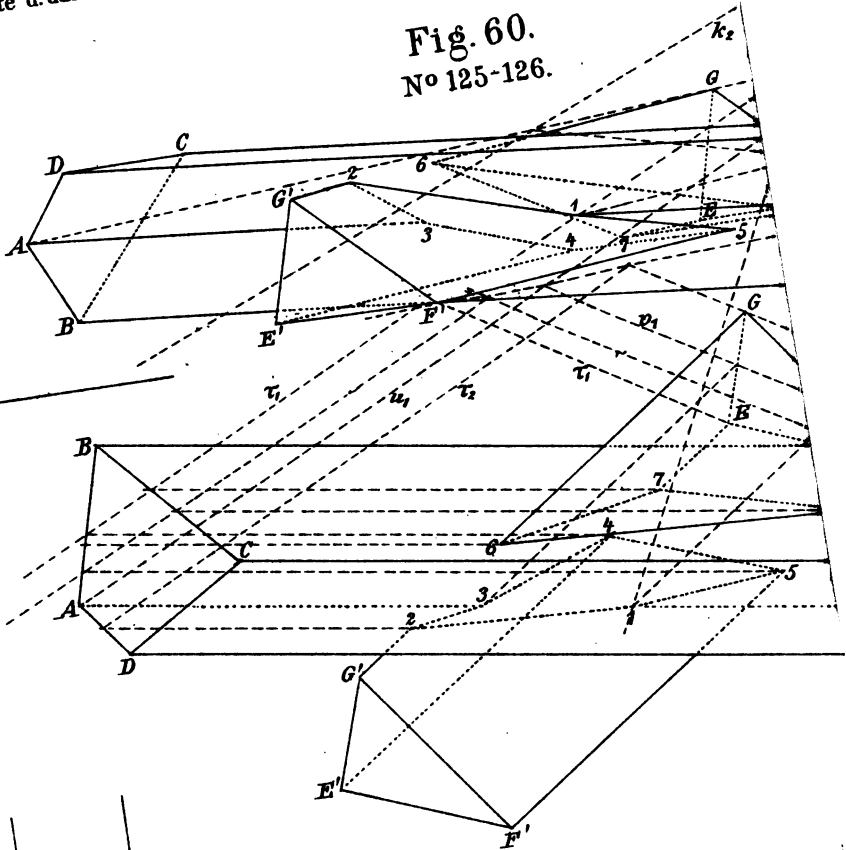
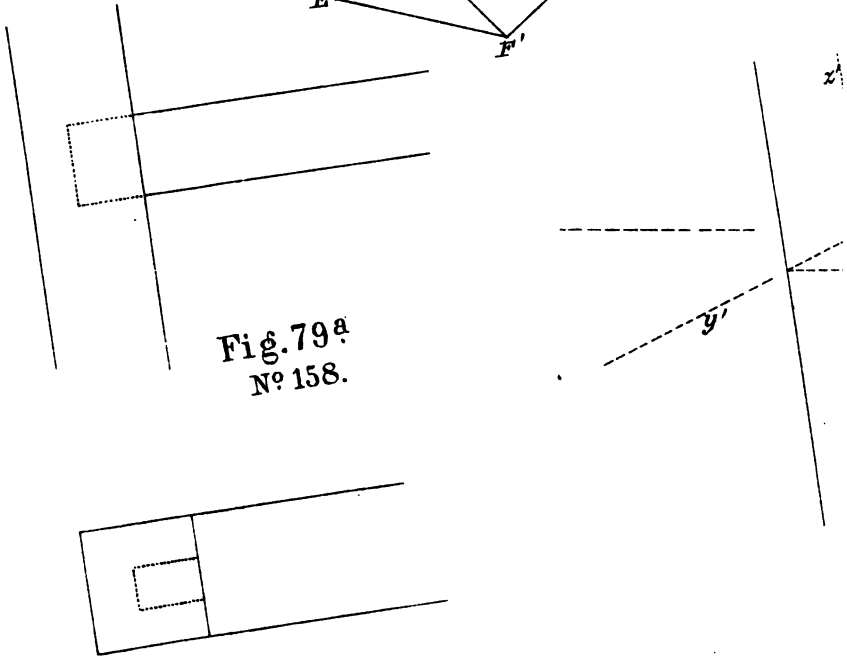


Fig. 79<sup>a</sup>  
Nº 158.





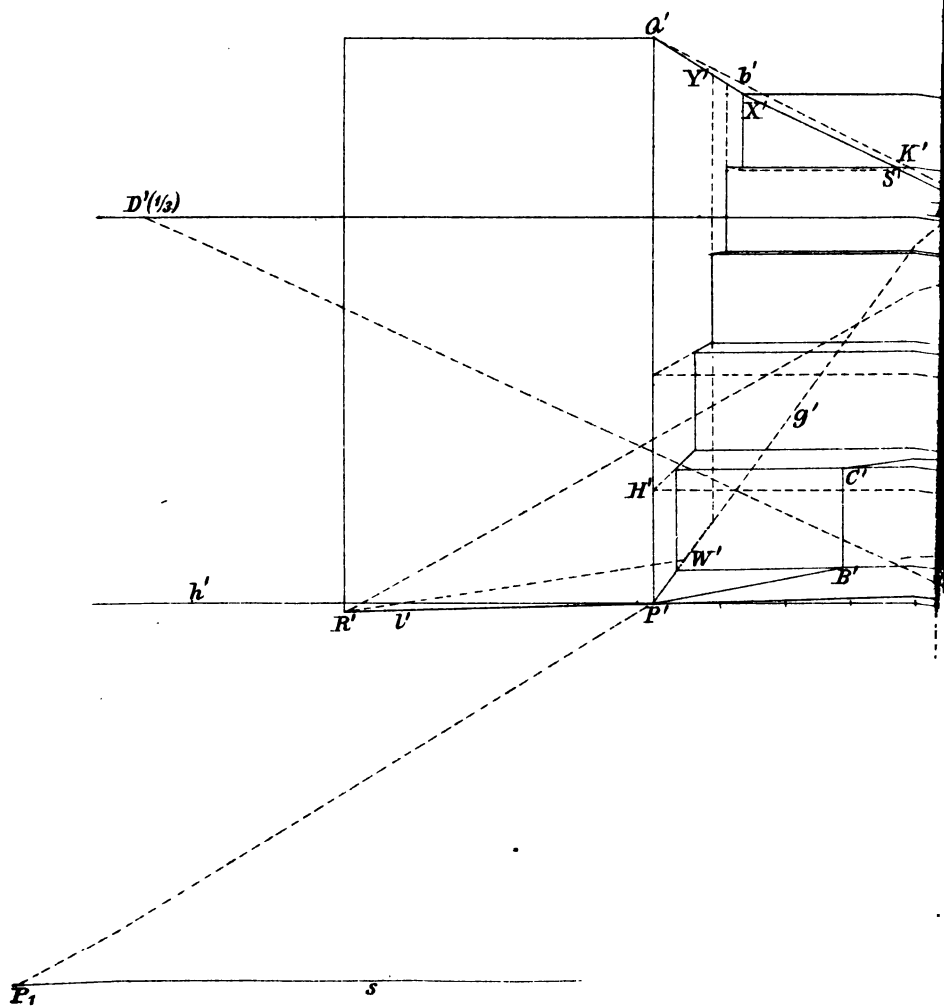
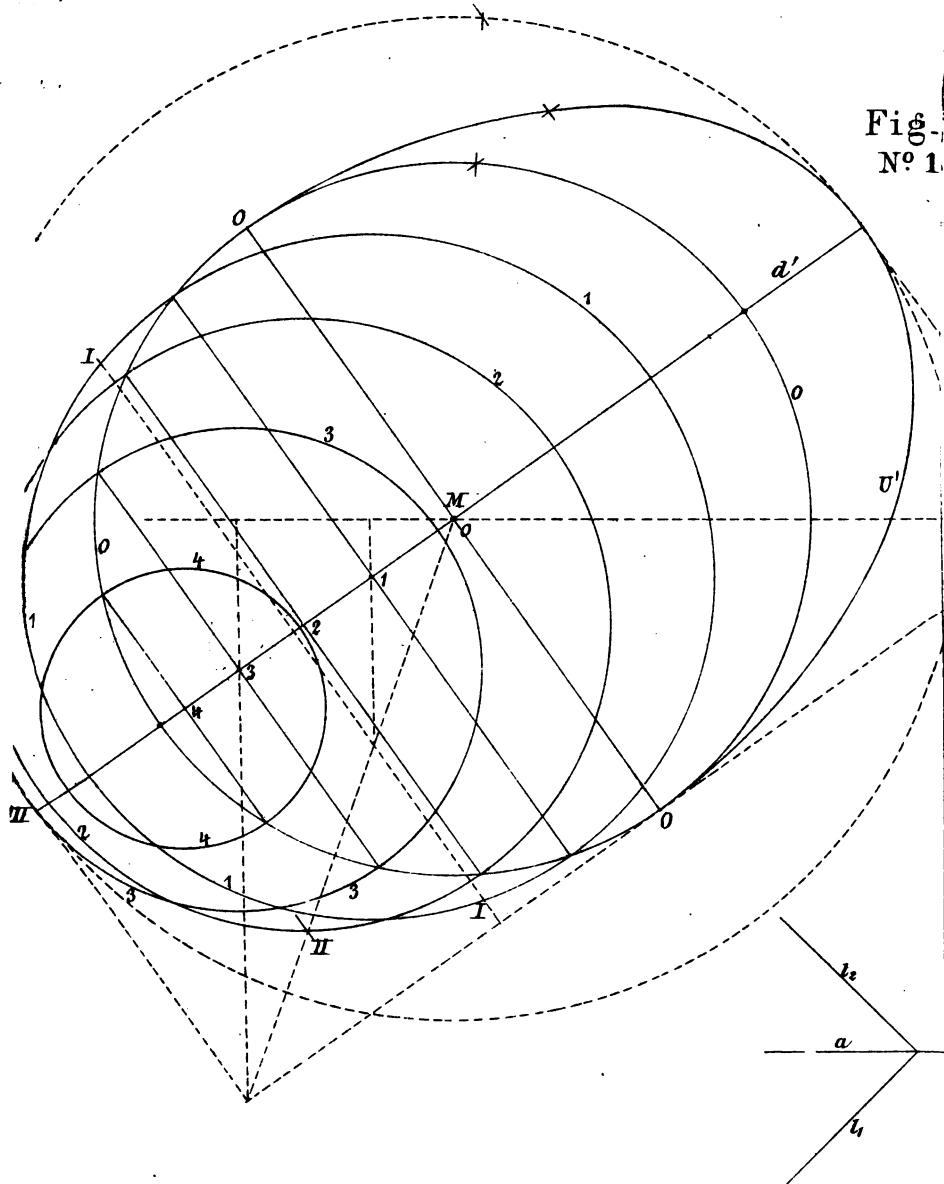




Fig-  
Nº 1.











3/6





UNIVERSITY OF MICHIGAN



3 9015 06829 2856

